

В.А. ТОПАЧЕВСКИЙ  
А.Ф. СКОРИК

# НЕОГЕННЫЕ И ПЛЕЙСТОЦЕННЫЕ НИЗШИЕ ХОМЯКОБРАЗНЫЕ ЮГА ВОСТОЧНОЙ ЕВРОПЫ



АКАДЕМИЯ НАУК УКРАИНЫ  
ИНСТИТУТ ЗООЛОГИИ им. И.И.ШМАЛЬГАУЗЕНА

В.А.Топачевский  
А.Ф.Скорик

НЕОГЕННЫЕ И ПЛЕЙСТОЦЕННЫЕ  
НИЗШИЕ ХОМЯКОБРАЗНЫЕ ЮГА ВОСТОЧНОЙ ЕВРОПЫ

# ОГЛАВЛЕНИЕ

---

ПРЕДИСЛОВИЕ . . . . .	3
ПЕРЕЧЕНЬ ГЛАВНЫХ МЕСТОНАХОЖДЕНИЙ ОСТАТКОВ НИЗШИХ ХОМЯКООБРАЗНЫХ (CRICETODONTINAE, CRICETINAE, LOPHIOMYIDAE) ПОЗДНЕГО МИОЦЕНА – ДРЕВНЕГО ПЛЕЙСТОЦЕНА ЮГА ВОСТОЧНОЙ ЕВРОПЫ . . . . .	6
СИСТЕМАТИЧЕСКАЯ ЧАСТЬ . . . . .	12
ОТРЯД RODENTIA BOWDICH, 1821 . . . . .	12
СЕМЕЙСТВО CRICETIDAE ROCHEBRUNE, 1883 . . . . .	12
Подсемейство Cricetodontinae Stehlin et Schaub, 1951 . . . . .	12
Триба Cricetodontini Simpson, 1945 . . . . .	12
Род <i>Byzantinia</i> Bruyn, 1976 . . . . .	12
Триба Megacricetodontini . . . . .	15
Род <i>Democricetodon</i> Fahlsbusch, 1964 . . . . .	15
Род <i>Cricetulodon</i> Hartenberger, 1965 . . . . .	16
Триба Microtocrinini Topachevski et Scorik, 1988 . . . . .	33
Род <i>Microtocricetus</i> Fahlsbusch et Mayr, 1975 . . . . .	36
Род <i>Sarmatomys</i> Topachevski et Scorik, 1988 . . . . .	37
Подсемейство Cricetinae Murray, 1866 . . . . .	39
Род <i>Kowalskia</i> Fahlsbusch, 1969 . . . . .	39
Род <i>Pseudocricetus</i> Topachevski et Scorik, gen. nov. . . . .	71
Род <i>Stylocricetus</i> Topachevski et Scorik, gen. nov. . . . .	110
Род <i>Odessamys</i> Topachevski et Scorik, gen. nov. . . . .	121
Род <i>Allocricetus</i> Schaub, 1930 . . . . .	148
Род <i>Cricetinus</i> Zdansky, 1928 . . . . .	177
Род <i>Cricetus</i> Leske, 1779 . . . . .	184
Семейство LOPHIOMYIDAE THOMAS, 1897 . . . . .	205
Род <i>Microlophiomys</i> Topachevski et Scorik, 1984 . . . . .	205
СООБЩЕСТВА НИЗШИХ ХОМЯКООБРАЗНЫХ (CRICETODONTINAE, CRICETINAE, LOPHIOMYIDAE) НЕОГЕНА И ПЛЕЙСТОЦЕНА ВОСТОЧНОЙ ЕВРОПЫ, ИХ БИОСТРАТИГРАФИЧЕСКОЕ ЗНАЧЕНИЕ . . . . .	208
НЕКОТОРЫЕ ПАЛЕОЗООГЕОГРАФИЧЕСКИЕ, ПАЛЕОКЛИМАТИЧЕСКИЕ И ПАЛЕОЛАНДШАФТНЫЕ АСПЕКТЫ РАЗВИТИЯ И СМЕНЫ ВО ВРЕМЕНИ СООБЩЕСТВ НИЗШИХ ХОМЯКООБРАЗНЫХ НЕОГЕНА, ЭОПЛЕЙСТОЦЕНА И ДРЕВНЕГО ПЛЕЙСТОЦЕНА ВОСТОЧНОЙ ПАРАТЕТИДЫ . . . . .	226
СПИСОК ЛИТЕРАТУРЫ . . . . .	236

## ПРЕДИСЛОВИЕ

В монографии дан критический анализ систематического положения родственных связей, биостратиграфического и палеогеографического значений миоценоценовых и золлестоценовых низших хомякообразных (*Cricetodontinae*, *Cricetidae*, *Lophiomyidae*) крупного естественноисторического региона – северного участка Восточной Паратетиды и Понтиды. Показаны изменения систематического и количественного составов ассоциаций низших хомякообразных в пределах указанной территории в отрезке времени средний сармат – золлестоцен. Эти данные рассматриваются в приложении к традиционной региоярусной схеме для Восточной Паратетиды и используются для широких сопоставлений неогеновых и золлестоценовых отложений Евразии, корреляции морских и континентальных толщ, а также для палеогеографических реконструкций. В историко-фаунистическом плане четко фиксируются временные уровни появления некоторых современных родов. Даны описания новых родов и видов.

Для научных работников и преподавателей вузов, работающих в области териобиологии, палеогеографии и геологов-стратиграфов.

В монографії наведено описи нових для науки таксонів різного систематичного рангу. Розглянуто принципові зміни асоціацій нижчих хом'якоподібних на території східної Паратетиди в просторі і часі, а також фактори, що їх обумовлюють. Показано біостратиграфичне значення групи, заложені мікротеріологічні основи кореляцій морських і континентальних відкладів.

Для зоологів, палеозоологів, геологів-стратиграфів, палеогеографів, викладачів і студентів вузів.

Отвественный редактор М.А.ВОИНСТВЕНСКИЙ

Утвреждено к печати ученым советом  
Института зоологии им. И.И.Шмальгаузена АН Украины

Все права принадлежат издательству "Наукова думка". Любое использование этого издания или его элементов (фрагментов), т.е. копирование, тиражирование, распространение и т.п., возможно только при наличии предварительного письменного соглашения с издателем.

Адрес издательства "Наукова думка": Украина, 252601 Киев 4, ул.Репина, 3.

All rights reserved. No part of this issue may be reproduced by any mechanical, photographic or electronic process or in the form of a phonographic recording, nor may it be stored in a retrieval system, transmitted or otherwise copied for public or private use without written permission of the Naukova Dumka Publishers.

Address of the Publishers: Ukraine, 252601 Kiev 4, Repin St., 3.

1907000000-197 395-92  
T 221-92

ISBN 5-12-002713-X

© В.А.Топачевский,  
А.Ф.Скорик, 1992

Широкое применение комплексно-ассоциационного и практически вытекающего из него биозонального подходов в современной палеотериологии в ее биостратиграфическом и палеогеографическом приложении в последние десятилетия резко повысило интерес к палеофаунистике (исторической фаунистике) как фундаментальному биологическому разделу, составляющему строго научную основу в решении перечисленных задач геологического и географического циклов. Однако историческая фаунистика сама по себе требует глубоких разработок в области конкретной филогенетики и в конечном счете систематики группы, составляющих палеофаунистические сообщества, определяющих положение комплекса, ассоциации и в итоге бионы в пространстве и времени. В сущности исследования подобного рода служат основанием для предельной точности систематической интерпретации изучаемого объекта, иными словами, определения материала, обеспечивая тем самым достоверность в базовой информативной основе. Естественно, что в указанном плане первоочередная роль принадлежит изучению доминантных и субдоминантных систематических групп, определяющих фаунистический фон сообщества, выявлению их филогенетических связей, автохтонности или аллохтонности происхождения. Практически на этом должны базироваться заключения о местном или миграционном происхождении группы в пределах естественноисторических регионов, выявление всей широты и глубины региональных связей, вплоть до континентальных. На этой основе, в сущности, и должны решаться вопросы общих (широко региональные и даже глобальные) и частных (сопоставления орнитоценозов, сопряженных с захоронениями, различными по генезису) корреляций.

Этим требованиям в полной мере отвечает предлагаемая монография, представляющая собой критический систематический анализ низших хомякообразных – *Cricetidae* подсемейств *Cricetodontinae* и *Cricetinae*, а также семейства *Lophiomyidae* крупного естественноисторического региона – юга Восточной Европы в период позднего миоцена – древнего золлестоцена, составляющего около 12 млн лет. Подавляющая часть материала происходит из Причерноморья и Приазовья Украины, т.е. попадает в зону исторического развития древней средиземноморской суши – северного участка Восточной Паратетиды. Актуальность изучения этой группы мелких млекопитающих вполне очевидна, поскольку ее представители в отрезке времени поздний миоцен – средний плиоцен преимущественно составляют один из

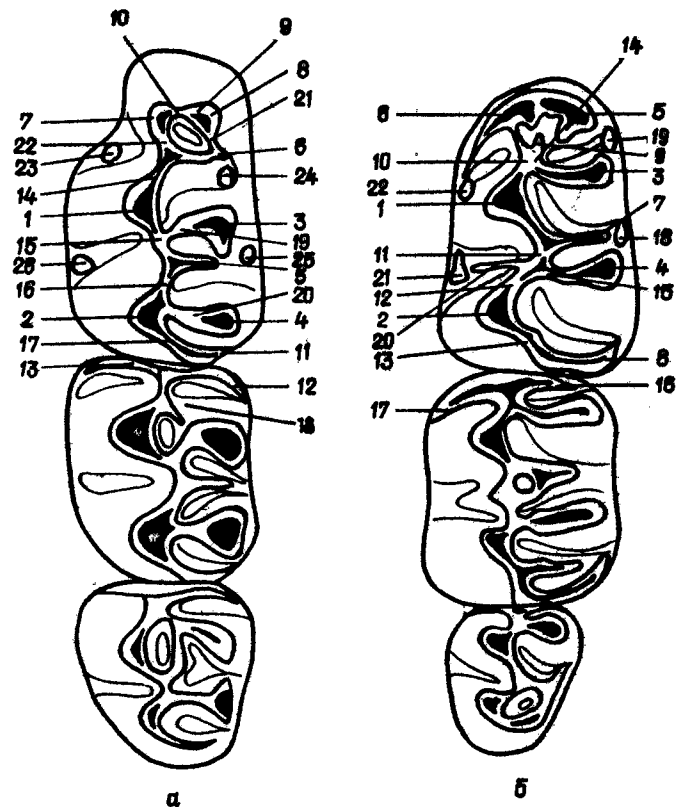


Рис. 1. Схема строения  $M_1^1 - M_3^3$  низших хомякообразных:  
 а – М верхние; 1 – протокон; 2 – гипокон; 3 – паракон; 4 – метакон; 5 – мезолоф; 6 – передняя шпора; 7 – интероантерокон; 8 – экстераантерокон; 9 – передний гребень экстераантерокона; 10 – передний гребень интероантерокона; 11 – задний воротничок (постеролоф); 12 – передний воротничок – наружная ветвь; 13 – передний воротничок – внутренняя ветвь, 14 – передний гребень протокона; 15 – задний гребень протокона; 16 – передний гребень гипокона; 17 – задний гребень гипокона; 18 – передний гребень паракона; 19 – задний гребень паракона; 20 – передний гребень метакона; 21 – задний гребень экстераантерокона; 22 – задний гребень интероантерокона; 23 – протостиль; 24 – паразтиль; 25 – мезостиль; 26 – энтостиль; б – М нижние; 1 – протоконид; 2 – гипоконид; 3 – метаконид; 4 – энтоконид; 5 – интероантероконид; 6 – экстераантероконид; 7 – мезолофид; 8 – задний воротничок (постеролофид); 9 – задний гребень антероконида; 10 – передний гребень протоконида; 11 – задний гребень гипоконида; 12 – передний гребень гипоконида; 13 – задний гребень гипоконида; 14 – передний гребень метаконида; 15 – передний гребень энтоконида; 16 – внутренняя ветвь переднего воротничка; 17 – наружная ветвь переднего воротничка; 18 – мезостилид; 19 – метастилид; 20 – эктромезостилид; 21 – эктостилид; 22 – протостилид.

импреложных элементов фаунистического фона в сообществах мелких мlekопитающих, т.е. уже сами по себе могут оказаться в числе руководящих форм в решении вопросов биостратиграфии. Учитывая в целом их удовлетворительную изученность для отдельных регионов Западной Европы, в меньшей мере – Северной Африки, Передней и Средней Азии, значение этих групп для соответствующих широкогеографических корреляций также велико. Это тем более очевидно, поскольку исследуемый район представляет собой зону интенсивной динамики морских бассейнов системы Восточного Паратетиса, что через точки прямой корреляции способствует сопоставлению основных палеогеографических событий в пределах древнего Средиземья.

Основу монографии составляют результаты исследований массовых сборов по низшим хомякообразным, проведенных сотрудниками отдела палеозоологии и Палеонтологического музея Института зоологии им. И.И.Шмальгаузена АН Украины, хранящихся в коллекциях этого учреждения. По ходу выполнения работы авторы имели возможность ознакомиться также с коллекциями изучаемой группы, хранящимися в фондах соответствующего профиля в России.

В работе применена традиционная восточноевропейская региональная схема, которая, по мере возможности, коррелируется с таковой для Центрального Паратетиса и Тетиса (Западный Паратетис).

В процессе морфосистематической обработки материала были использованы общепринятые методики, заложенные и обоснованные в научных работах [10, 61]. Принятая номенклатура в строении постоянных коренных приведена на рис. 1.

Авторы выражают глубокую признательность профессору И.М.Громову, кандидату географических наук А.К.Агаджаняну и кандидату геолого-минералогических наук В.С.Зажигину за содействие в работе, а также сотрудникам отдела палеозоологии и Палеонтологического музея Института зоологии им. И.И.Шмальгаузена АН Украины Л.И.Рековцу, В.А.Несину, Ю.А.Семенову, А.В.Пашкову – постоянным участникам экспедиций по сбору материала на протяжении последних 15 лет. Все рисунки выполнены художницей указанного отдела С.М.Ивановой.

**ПЕРЕЧЕНЬ ГЛАВНЫХ МЕСТОНАХОЖДЕНИЙ  
ОСТАТКОВ НИЗШИХ ХОМЯКОБРАЗНЫХ  
(CRICETODONTINAE, CRICETINAE, LORNIOMYIDAE)  
ПОЗДНЕГО МИОЦЕНА—ДРЕВНЕГО ПЛЕЙСТОЦЕНА  
ЮГА ВОСТОЧНОЙ ЕВРОПЫ**

**Средний сармат.** 1. С.Грицев Шепетовского р-на Хмельницкой обл. Описано в [17]. Карьеры вблизи села. Остатки крупных и мелких млекопитающих залегают в серых известковистых суглинках — заполнителях карстовых размывов в сарматских известняках, представленных водорослевыми рифами — биогермами. Биогермная зона залегает под толщей среднесарматских известняков и глин нижнего, новомосковского, горизонта среднего сармата.

2. С.Климентовичи Шепетовского р-на Хмельницкой обл. Описано в [17]. Карьер в окрестностях села. Авандельтовые, лагунодельтовые отложения представлены синезелеными глинами, погребенными в среднесарматских известняках. Кости мелких и крупных млекопитающих захоронены совместно.

3. С.Калфа Новоаненского р-на Молдовы. Описано в [19]. Линзоидные скопления остатков мелких и крупных млекопитающих в обломочных известняках и глинах среднего сармата.

4. С.Бужоры Котовского р-на Молдовы. Описано в [20]. Древняя аллювиальная толща песков и гравелитов, лежащая под пачкой глин и песков авандельтового происхождения. Перекрыты среднесарматскими известняками. В верхней части авандельтовых отложений — зона размыва, представленная мелкогалечным конгломератом. Остатки мелких и крупных млекопитающих захоронены совместно.

**Поздний сармат.** С.Новоелизаветовка 3 Ширяевского р-на Одесской обл. Монографически описано в [2, 3]. Впоследствии переописано в [17]. Верховья оврагов у северной окраины села. Гравелиты аллювиальной природы, залегающие на 4–6 м ниже мэотического местонахождения остатков крупных млекопитающих гипарионовой фауны (Новоелизаветовка 1) в слоях, относимых к верхнему сармату, и лежащих в непосредственной близости от границы сармат—мэотис. Диагностические остатки крупных млекопитающих неизвестны. Представлены преимущественно обломочным материалом различной степени окатки. Относятся к многослойным местонахождениям, где помимо отмеченных ориктоценозов в низовых оврагов зафиксированы находки верхнесарматских крупных млекопитающих (Новоелизаветовка 2) а выше — Новоелизаветовка 1; представлена толща песков и гравели-

6

тов, в изобилии содержащая остатки мелких млекопитающих (Новоелизаветовка 4), относимых к среднему мэотису.

**Мэотис.** 1. Черевичное Беляевского р-на Одесской обл. Восточный берег Хаджибейского лимана, береговой уступ на участке Черевичное—Морозовка. Полный разрез представлен в работах [37, 17]. Нижняя толща аллювиальных песков и гравелитов, лежащих несколькими метрами выше зоны контакта с верхним сарматом. В изобилии содержит остатки мелких млекопитающих древнего мэотиса и разрозненные кости крупных млекопитающих. Относится также к числу многослойных местонахождений. Выше залегает ориктоценоз крупных млекопитающих завершающей фазы мэотиса, а еще выше — толща куяльницких отложений, содержащая многочисленные остатки мелких млекопитающих хапровского фаунистического комплекса. В отдельных местах последние перекрыты толщей гравелитов, песков, алевритов и суглинков позднего зонплейстоцена, характеризующихся микротериофунарной завершающей фазой таманского фаунистического комплекса. К обоим уровням приурочены также находки остатков Cricetini.

2. Новоукраинка Раздельнянского р-на Одесской обл. Описано в [17]. Овражная сеть правого склона долины, выходящей к Хаджибейскому лиману. Представляет собой многослойное местонахождение. Включает, по крайней мере, два ориктоценоза, лежащих на различных уровнях вскрывающейся здесь толщи мэотиса. Более древний приурочен к небольшой прослойке гравелитов, залегающей с размывом на песках, включающих известное местонахождение позднесарматских крупных млекопитающих. В самых верхах мэотической толщи, почти непосредственно под понтом также обнажается толща песков и гравелитов аллювиальной природы, характеризующаяся микротериофунарной, свойственной завершающей фазе мэотиса. Нижележащий горизонт гравелитов тяготеет к первой половине мэотиса.

3. Протопоповка Беляевского р-на Одесской обл. Береговой уступ восточного берега Хаджибейского лимана южнее села. Толща песков и гравелитов возле уровня воды, образующая цоколь последующей зонплейстоценовой террасы. Средний мэотис.

4. Верхняя пачка песков и гравелитов — Новоелизаветовка 4. Обсуждалось выше.

5. Новая Эметовка Беляевского р-на Одесской обл. Описано в [17]. Овражная сеть в уступе восточного берега Хаджибейского лимана на южной окраине села. Пески и гравелиты, залегающие над более поздним местонахождением крупных млекопитающих гипарионовой фауны. Средний мэотис.

6. Андреевка Березанского р-на Николаевской обл. Овражная сеть в окрестностях села в левом борту долины Березанского лимана. Пески и гравелиты, залегающие непосредственно под понтом. Завершающая фаза мэотиса.

**Понт.** 1. Одесса, 16-я станция Большого Фонтана, береговой уступ Черного моря. Лектостратотип понтического региона. Местонахождение описано в [39]. Остатки мелких млеконитающих приурочены к тонкой прослойке авандельтовых гравелитов в нижней части разреза, залегающих на понтических глинах в основании толщи понтического известняка. Начальная фаза древнего понта.

2. Фрунзовка 2 одноименного района Одесской обл. Юго-западная окраина села, овражная сеть правого борта долины р. Кучурган. Местонахождение приурочено к пачке песков, гравелитов, алевритов и глин, слагающих, по всей вероятности, дровнюю террасу, в цоколе которой залегают перемытые иски с раковинами верхнесарматских макр. Терраса характеризуется глубоким врезом – лежит на уровне 10–12 м от донной части долины, т.е. значительно ниже собственно кучурганских отложений, которые представлены там же в наиболее высоких точках рельефа. На более высоких уровнях в зоне последовательного залегания известны и местонахождения мелких млеконитающих, приуроченные к мэотису, на котором и лежит собственно кучурганская толща. По-видимому, соответствует зоне размыва в пределах лектостратотипа, лежащей выше слоя белого ракушечника – шильного камня, откуда известны остатки *Camelidae*. Древнейшая фаза нижнего понта.

3. Виноградовка Болградского р-на Одесской обл., западный берег оз. Ялшуг, овраг у северной окраины села. Описано в [26]. Местонахождение остатков мелких млеконитающих приурочено к авандельтовым глинистым пескам и гравелитам нижней части обнажающегося цонта, обычно сопоставляемой с верхами лектостратотипа. Средняя фаза развития нижнего понта. Местонахождение многослойное, поскольку в нижней и верхней частях киммерийских отложений, перекрывающих виноградовский цонт, известны ориктоценозы мелких млеконитающих молдавского фаунистического комплекса.

4. Пески и гравелиты кучурганской толщи, повсеместно обнажающейся на высоких точках рельефа в верховых овражных системах по обоим бортам долины р. Кучурган между населенными пунктами Фрунзовка и Новоцетровка Великомихайловского р-на Одесской обл. Основная масса остатков *Cricetini* собрана по всей толще кучурганских отложений вблизи с. Краснополь Фрунзенского р-на и восточной окраины с. Фрунзовка. Проблематичный верхний цонт.

**Киммерий.** 1. Новочеркасск Ростовской обл., юго-западнее города, правый берег р. Грушевка (приток р. Тузлов), обуховский карьер. Описано в работе [40]. Нижний слой гравелитов, залегающих с размывом на белых мелкозернистых песках. Одна из древнейших фаз развития молдавского фаунистического комплекса. Многослойное местонахождение. Выше залегает толща гравелитов, включающая многочисленные остатки мелких млеконитающих ханровского фаунистического

комплекса. Отделена от гравелитов нижележащего слоя толстой зеленовато-серой глины.

2. Котовина Ренийского р-на Одесской обл., севернее села, овражная сеть и береговой уступ западного берега оз. Ялпуг. Местонахождение приурочено к нижней пачке гравелитов. Описано в работе [41]. Средняя фаза развития молдавского фаунистического комплекса. Многослойное местонахождение. Выше указанного ориктоценоза залегают две пачки гравелитов, содержащих микротериофауну конечного этапа развития ханровского фаунистического комплекса.

3. Одесса – катакомбы. Описано в [25]. Красно-бурая глина – заполнитель карстовых пустот и воронок в понтических известняках. Поздняя фаза развития молдавского фаунистического комплекса.

4. Виноградовка Болградского р-на Одесской обл. Обсуждено выше. Пачка песков и гравелитов в нижней части толши киммерия, перекрывающей виноградовский цонт. Гравелиты верхней части толши виноградовского киммерия. Соответственно средняя и, по-видимому, одна из конечных фаз развития молдавского фаунистического комплекса.

**Куяльник.** 1. Жевахова гора. Одесса, западный берег Куяльницкого лимана на территории одноименного санаторного комплекса. Описано<sup>1</sup>. Пачка песков и гравелитов, слагающая куяльницкие отложения, залегающие в нижней части жеваховогорского разреза, – третий и четвертый костеносный горизонты. Средняя фаза развития ханровского фаунистического комплекса в ее наиболее древнем и среднем (развитом) подразделениях [37]. Многослойное местонахождение. Пачка собственно куяльницких отложений перекрыта серней песков, гравелитов, супесей и глин зооплейстоценового возраста. Включает также два костеносных горизонта, приуроченных к нижней и средней частям зооплейстоценовой толщи.

2. Крыжановка. Восточная окраина Одессы, береговой уступ Черного моря. Описано в [43]. Стратотип куяльницкого яруса. Местонахождение остатков мелких млеконитающих приурочено к слоям крупнозернистых песков и гравелитов в нижней части разреза. Вероятно, соответствует верхнему костеносному слою жеваховогорского куяльника. Многослойное местонахождение. Как и в жеваховогорском разрезе, к пачке гравелитов, песков, алевритов и глин, перекрывающей собственно куяльницкие слои, приурочены ориктоценозы зооплейстоценовых мелких млеконитающих – таманский фаунистический комплекс.

3. Черевичное (средний слой). Обсуждалось выше. Пачка песков и гравелитов, входящая в состав собственно куяльницких отложений,

<sup>1</sup> Топачевский В.А., Скорик А.Ф., Чешалыга А.Л. Материалы по фауне моллюсков и мелких млеконитающих позднего плиоцена одесского куяльника // Вестн. зоологии. – 1979. – № 5. – С. 11–18.

перекрывающих мэотис. Завершающий этап средней фазы развития ханровского фаунистического комплекса.

4. Котловина (средний и верхний костеносные горизонты). Обсуждалось выше. Конечные этапы развития ханровского фаунистического комплекса.

**Заплайстоцен.** 1. Морское Березанского р-на Николаевской обл. Береговой уступ Черного моря у южной окраины села. Описано в [32]. Пачка песков и гравелитов. Начальная фаза развития таманского фаунистического комплекса, ее древний этап.

2. Жевахова гора (верхний слой). Обсуждалось выше. Древняя фаза развития таманского фаунистического комплекса, конечный ее этап.

3. Крыжановка (верхний слой). Обсуждалось выше. По возрасту сходно с предыдущим.

4. Тарханкут. Крым, береговой уступ Черного моря юго-западнее п. Черноморское одноименного района Крыма. Описано в [31]. Краснобурье суглинки – заполнители карстовых пустот в верхнесарматских известняках. Один из ранних этапов развития поздней фазы таманского фаунистического комплекса.

5. Ногайск. Береговой уступ Азовского моря восточнее устья р. Оби-точной вблизи п. Приморское Запорожской обл. Описано в [29]. Пески и гравелиты аллювиальной природы. Средний этап поздней фазы развития таманского фаунистического комплекса.

6. Черевичное (верхний слой). Обсуждалось выше. Пески и гравелиты, входящие в состав пачки заплайстоценовых отложений, залегающей на куяльнике. Конечная фаза развития таманского фаунистического комплекса.

**Древний плейстоцен.** 1. Лузановка. Восточная окраина Одессы, береговой уступ Черного моря. Пески и гравелиты низкой террасы. Древнейшая фаза развития тираспольского фаунистического комплекса.

2. Карайдубина. Окрестности с. Бережанка Верхнерогачинского р-на Херсонской обл. Описано в [22]. Береговой уступ левого борта Каховского водохранилища. Пески и гравелиты, слагающие низко лежащую террасу. Древняя фаза развития тираспольского фаунистического комплекса.

3. Семибалка Ростовской обл. Береговой уступ Азовского моря в окрестностях села. Толща древних аллювиальных отложений. Завершающая фаза древнего этапа развития тираспольского фаунистического комплекса (доарвикольные сообщества).

4. Большевик. Окрестности Одессы, береговой уступ Хаджибейского лимана. Толща древних аллювиальных отложений, представленная, по крайней мере, четырьмя разновозрастными костеносными слоями, фиксирующими этапы развития тираспольского фаунистического комплекса от древнего до среднего.

5. Морозовка Беляевского р-на Одесской обл. Береговой уступ восточного берега Хаджибейского лимана у северной окраины села. Пески и гравелиты, слагающие древнюю террасу. Одна из поздних фаз развития тираспольского фаунистического комплекса.

6. Тихоновка вблизи Мелитополя Запорожской обл. Правый борт балки Арабка в окрестностях одноименного села. Толща древнего аллювия низколежащей террасы. Одна из поздних фаз развития тираспольского фаунистического комплекса.

7. Гуньки Кременчугского р-на Полтавской обл. Описано в [22]. Толща песков и гравелитов аллювиальной природы, вскрывающаяся по правому берегу р. Псел между селами Гуньки и Ламаное. Вероятно, начальный этап формирования сингильских микротериофаун.

## ОТРЯД RODENTIA BOWDICH, 1821

## СЕМЕЙСТВО CRICETIDAE ROCHEBRUNE, 1888

ПОДСЕМЕЙСТВО  
CRICETODONTINAE STEHLIN ET SCHAUB, 1951

## ТРИБА CRICETODONTINI SIMPSON, 1945

Род *Byzantinia* Bruijn, 1976*B. aff. pikermiensis* Bruijn, 1976

**М а т е р и а л.** Изолированные постоянные коренные:  $M_1$  – 1,  $M_2$  – 1 экз.

**М е с т о н а х о ж д е н и е.** Протопоповка, нижний слой; Черевичное, нижний слой – соответственно начальная и конечная фазы древнего мэотиса.

**О писание и сравнение.** Род *Byzantinia* был выделен из состава *Ruscinomys* сравнительно недавно [47]. Он объединяет сравнительно поздние по времени своего существования *Cricetodontini*, распространенные преимущественно в позднем валлезии и древнем туролии древней Эгейды, где по частоте встречаемости остатков представляют собой обычный, хотя и не доминантный элемент в сообществах мелких млеконитающих в указанные отрезки позднего миоцена. В этом плане отмеченная находка расширяет ареал группы, по крайней мере, до древнего туролия Западного Причерноморья Восточной Европы. Характерные особенности этого рода: сравнительно длинный, по форме приближающийся к треугольнику  $M^3$ ; относительно крупный  $M_2$ , по размерам близкий к  $M_1$ , относительно узкий (отношение длины к ширине не более 1,65, обычно – менее 1,6);  $M_1$  с округлым, не сближенным с протоконидом, не расчлененным антероконидом, как правило, не усложненным лабиальным гребнем (рис. 2). Кроме того, протоконид этого зуба имеет приостренную вершину. В остальном проявляет значительное сходство с *Ruscinomys*. По всем отмеченным признакам описываемые постоянные коренные полностью соответствуют одно-

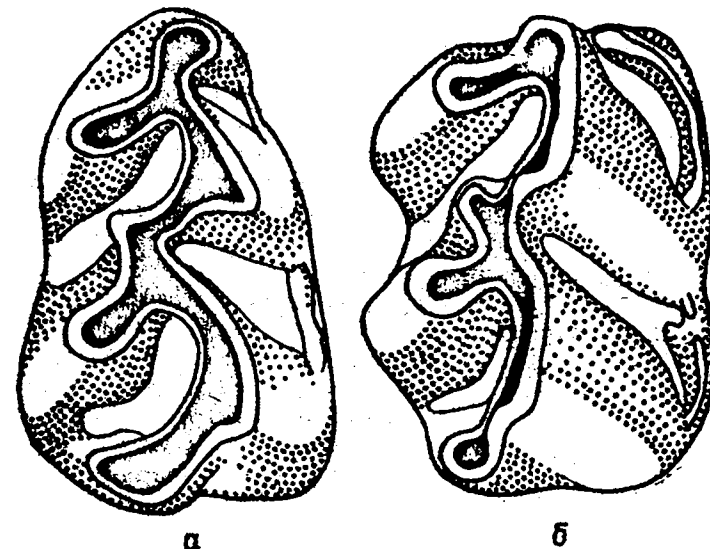


Рис. 2 *Byzantinia aff. pikermiensis* Bruijn, средний мэотис, жевательная поверхность:  
а –  $M_1$ , Протопоповка, нижний слой; б –  $M_2$ , Черевичное, нижний слой

именным зубам *Byzantinia*. В настоящее время род представлен тремя зафиксированными в номенклатуре видами: *B. pikermiensis* Bruijn, 1976; *B. hellenicus* Freudenthal, 1970 и *B. nicosi* Bruijn, 1976. Кроме того, по крайней мере, 2–3 формы, включая таковую из раннего мэотиса Западного Причерноморья Украины, зафиксированы в открытой номенклатуре.

По абсолютным размерам остатки из Черевичного и Протопоновки принадлежат к сравнительно крупной форме: длина  $M_1$  – 3,05, ширина – 1,9 мм; длина  $M_2$  – 2,69, ширина – 2,1 мм. По этому признаку близка *B. hellenicus* (длина  $M_1$ ,  $M_2$  приближается, либо равна 3,0 мм), заметно превосходя все остальные виды рода, у которых соответствующие показатели, за редким исключением, не превышают 2,5 мм.  $M_1$  относительно узкий: отношение длины к ширине – 1,55, что в полной мере соответствует величине этого показателя у *B. pikermiensis* и *B. nicosi*, но, вероятно, уже, чем у *B. hellenicus* (1,63). Антеролофид на  $M_1$  не расчлененный, округлый, лабиальный его гребень отсутствует как таковой, хотя в передней наружной складке имеется слабо развитый воротничок (рис. 2, а), последний сильнее развит в задней наружной складке. Вершина протоконида приострена. Передние гребни протоконида и особенно гипоконида – соответственно антеролофулид и эктолофулид продольно вытянуты. Этот признак в полной мере проявляется и на  $M_2$ .

## ТРИБА MEGACRICETODONTINI

### Род *Democricetodon* Fahlbusch, 1964

#### *D. aff. minor* (Lartet, 1851)

На обоих зубах также четко выражен укороченный, направленный вперед мезолофид.  $M_2$  свойственно сильное развитие наружного гребня антеролофида (рис. 2, б), внутренний гребень последнего отсутствует. Четко выражены базальные образования и в устье входящей складки между протоконидом и гипоконидом — прерванный краевой валик, соединяющий основание этих бугорков. Кроме того, на  $M_2$  четко проявляется тенденция к обособлению заднего воротничка. Оба зуба характеризуются высокой степенью гипсодонтности.  $M_2$  с раздвоенным задним корнем.

Таким образом, по размерным показателям *Byzantinia* sp. в целом сходна с *B. hellenicus*, а по степени развития наружной ветви переднего воротничка  $M_2$  — ближе к *B. pikermiensis*, занимая промежуточное положение между перечисленными формами.

З а м е ч а н и я. Обращает внимание, что в сообществах мелких млекопитающих древнего мэотиса Восточной Европы остатки *Byzantinia* очень немногочисленны. Вместе с тем, они до сих пор не найдены в отложениях среднего и позднего мэотиса с одной стороны, как и в предшествующих во времени верхнесарматских напластованиях. Это, по-видимому, следствие сравнительно короткого отрезка времени проникновения группы в Западное Причерноморье Украины по каналам расширявшихся сухопутных связей древней Эгейды с Восточной Паратетидой. Незначительная численность представителей этой группы *Cricetodontini* в пределах крайнего юго-запада Восточной Европы, вероятно, сопряжена с достаточно широким представительством здесь аборигенной группы настоящих *Cricetini* — *Stylocricetus*, а впоследствии и некоторых видов *Kowalskia*, проявивших, как будет показано далее, определенный параллелизм в строении постоянных коренных с хомяками русциномисно-бизантийной ветви, но на более эволюционно продвинутой основе. Очевидно, имея сходный тип питания, эти формы занимали примерно аналогичные экологические ниши, сокращение которых в конечном счете, привело к полному вымиранию малочисленных, более примитивных в целом *Cricetodontini* на этой территории. Во всяком случае, эта группа здесь так и не вышла из состояния депрессии. Отсутствие современных аналогов подобного типа строения постоянных коренных не позволяет в полной мере объяснить адаптивный смысл этого направления эволюции среди низших хомячьих, хотя высокая степень гипсодонтности зубов указывает на определенную тенденцию к усилению зеленоядности по сравнению с семеноядностью.

Вместе с тем, эта группа имеет определенное биостратиграфическое значение, поскольку появление в пределах Западного Причерноморья Украины формы *Byzantinia*, занимающей промежуточное положение между *B. hellenicus* и *B. pikermiensis*, достаточно четко фиксирует положение соответствующих слоев мэотиса на уровне 12-й биозоны Мейна.

Г е о л о г и ч е с к о е и г е о г r a f i ч e с k o e расп r o с t r a n e n i e. Средний мэотис — начальная фаза 13-й, возможно, включая границу 12-й и 13-й биозон Мейна.

М а т е р и а л. Изолированные  $M_1$  — 2 экз.; средний мэотис; Новоелизаветовка, верхний слой.

О п и с а н и е и с р а в н е н и е. Размеры мелкие: длина — 1,7; 1,8, ширина — 1,1; 1,2 мм. Антероконид без каких-либо следов расщепления, крайне мал, либо умеренно развит, овальный в поперечном сечении, сближен с последующей парой бугорков (рис. 3). Задний его гребень — антеролофида отсутствует. Продольный гребень — эктолофида короткий. Передние гребни метаконида и энтоконида (соответственно металофида и гиполофида) направлены вперед. Мезолофид длинный, заканчивается четко обозначенным мезостилидом. В отдельных случаях последний полностью дифференцирован. При этом длина мезолофода несколько сокращается, составляя примерно 2/3 возможной полной длины. При слабо развитом антерокониде очертания коронки со стороны жевательной поверхности близки к прямоугольнику, а при умеренно развитом — к треугольнику, поскольку спереди зуб сильно сужен. Подобные вариации формы коронки отмечены у поздних *D.m. sulcatus* Freudenthal, 1971. Однако форма из Новоелизаветовки четко отличается от последней несколько более крупными размерами, отсутствием заднего гребня антероконида, а главное — сильно развитым мезолофидом.

З а м е ч а н и я. Документально фиксирует наиболее позднюю находку одного из представителей рода в его распространении во времени. Однако не исключена и возможность переотложения остатков из более древних слоев, поскольку последние не лишены следов окатки. Верхний сармат, вероятно, исключается, поскольку здесь, кроме древнейших *Kowalskia*, пока не найдены остатки других низших хомячьих с элементами усложнения жевательной поверхности постоянных коренных (мезолоф и мезолофид).

Г е о л о g i ч e с k o e и г e o г r a f i ч e с k o e расп r o с t r a n e n i e. Средний мэотис — начальная фаза 13-й, возможно, включая границу 12-й и 13-й биозон Мейна.

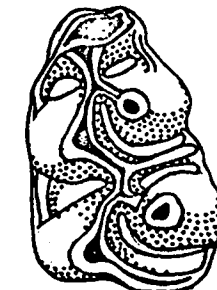
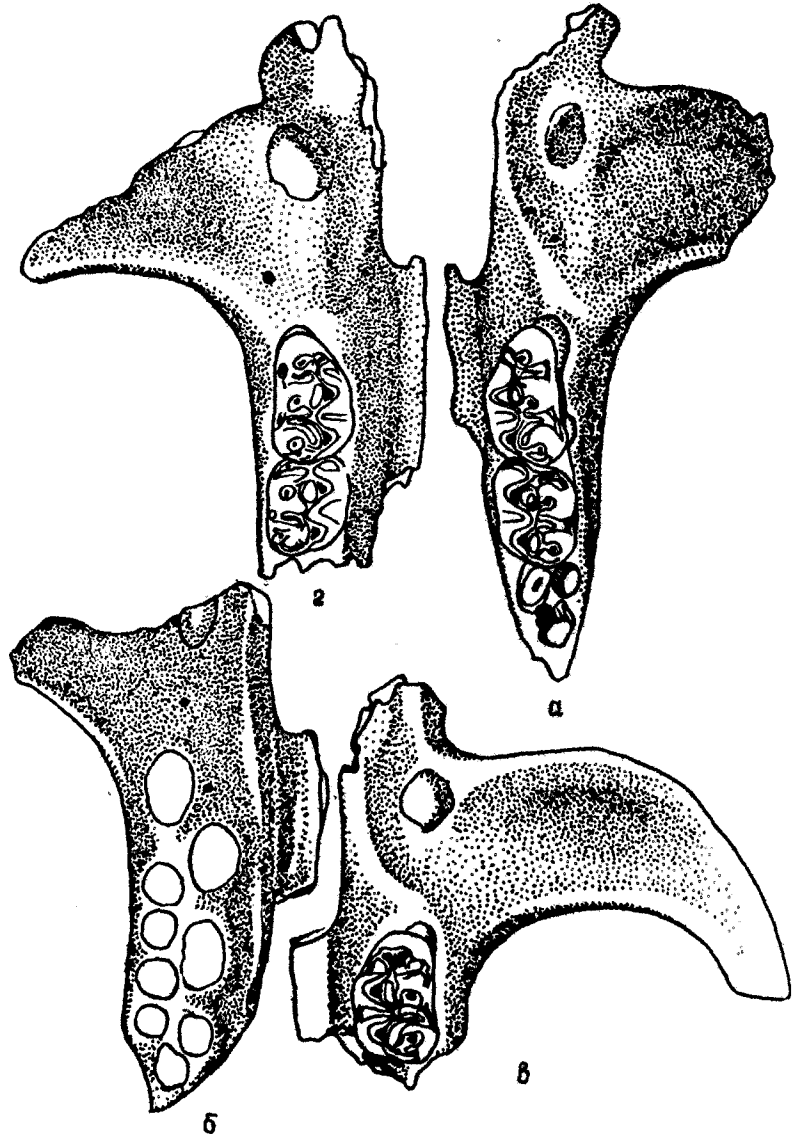


Рис. 3. *Democricetodon* aff. *minor* Lartet, средний мэотис,  $M_1$ , Новоелизаветовка, верхний слой; жевательная поверхность

Род *Cricetulodon* Hartenbergen, 1965

Hartenberger, 1965, Bull. Soc. geol. France, 7 ser., t. VII, p. 493, fig. 3, 5; Tabl. VII, fig. c-d; Rotundomys: Freudenthal, 1967, Proc. Nederl. Akad. Wet., Vol. LXX, N 3, p. 309, Pl. I, fig. 12-24, Pl. II, fig. 1-20.



Типовой вид. *Cricetulodon sabadellensis* Hartenberger, 1965; поздний миоцен – валлесий Испании, местонахождение Can Llobateres, 9-я биозона Мейна.

Диагноз.  $M^1 - M^2$  с тремя корнями: внутренний – не расщеплен на передний и задний корешки (рис. 4, б). Антерокон на  $M^1$  и, соответственно, антероконид на  $M_1$  дифференцированы на два самостоятельных бугорка – инtero- и экстeroантекон для верхних и

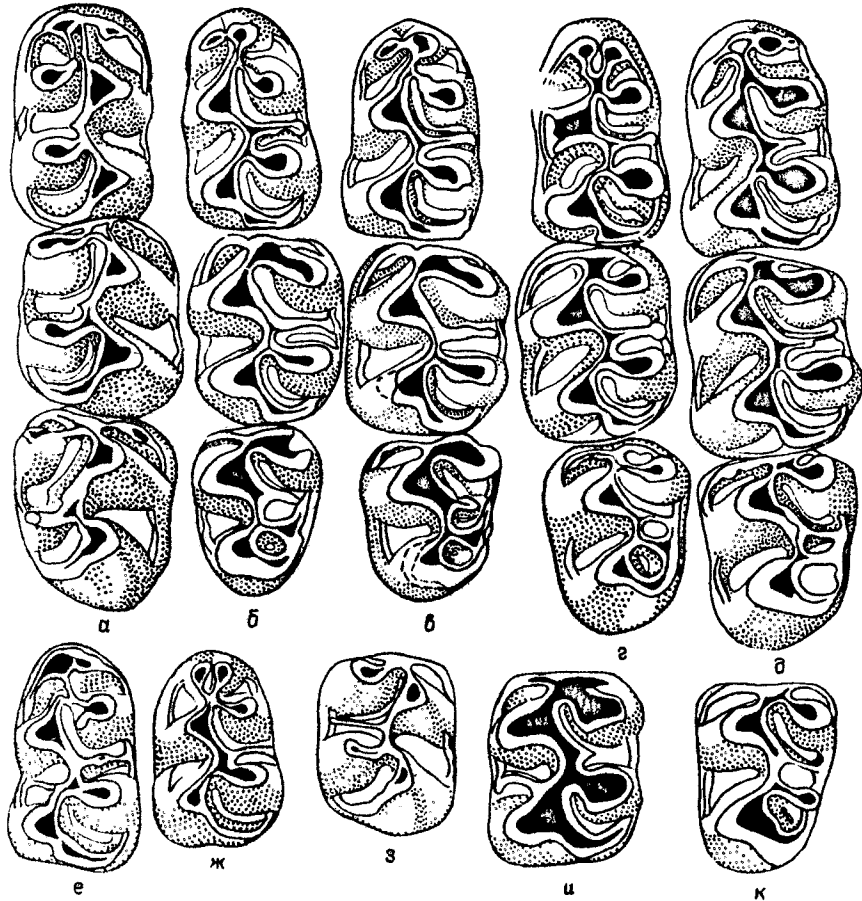


Рис. 5. *Cricetulodon complicidens* sp. nov., средний сармат, Грицев:

а–д – зубные ряды нижних постоянных коренных; е, ж –  $M_1$ ; з, и –  $M_2$ ; к –  $M_3$ .

Рис. 4. *Cricetulodon complicidens* sp. nov., средний сармат, задненебный отдел черепа, Грицев:

а – голотип; б – объяснение в тексте

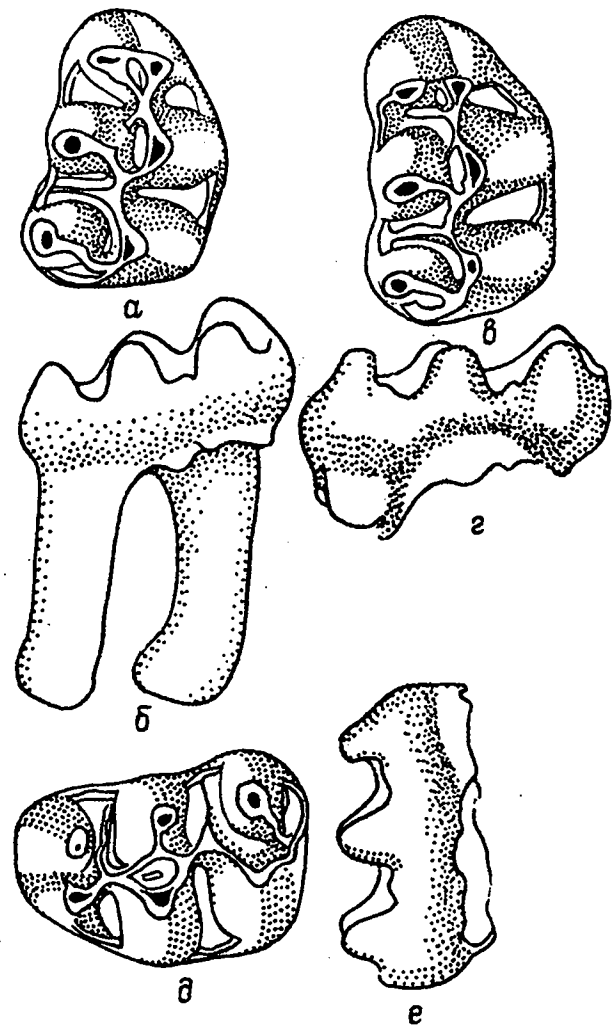


Рис. 6. *Cricetulodon complicidens* sp. nov., средний сармат,  
Грицев,  $M^1$ :  
а, в, д – жевательная поверхность; б, г, е – наруж-  
ная сторона

соответственно интеро- и экстероантероконид для нижних постоянных коренных (рис. 5). Моляры брахиодонтного типа, тенденция к гипсо-дентии, свойственная *Rotundomys*, не проявляется (рис. 6). Основные бугорки всех, без исключения, постоянных коренных построены по бугорчатому хомячemu типу. Тенденция к образованию складчатых,

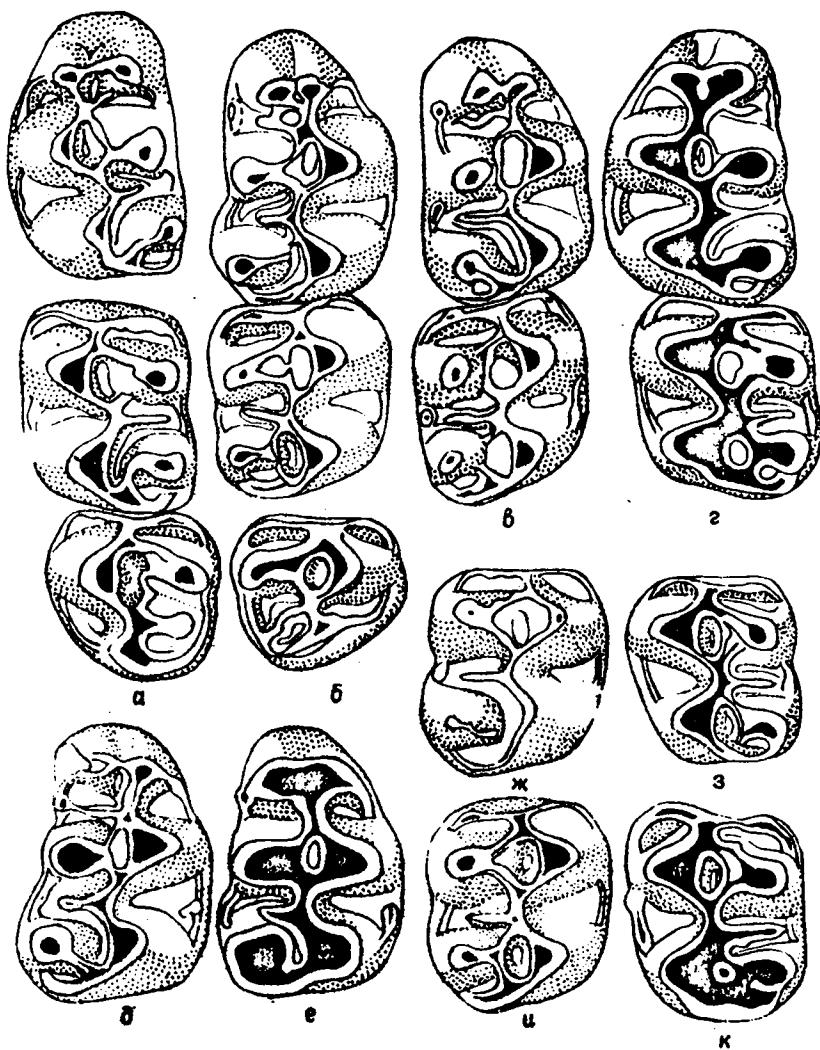


Рис. 7. *Cricetulodon complicidens* sp. nov., средний сармат,  $M^1 - M^3$ , Грицев; жева-  
тельная поверхность:  
а, б – зубной ряд составлен; в, г –  $M^1 - M^2$ ; д, е –  $M^1$ ; ж – к –  $M^2$

в сечении треугольных или близких к ним структур, образующих уплощенную жевательную поверхность, близкую к таковой *Microtinae*, не выражена (рис. 5, 7). Внутренняя ветвь переднего воротничка на  $M^2 - M^3$  хорошо развита, как правило, участвует в образовании рисунка стирания жевательной поверхности (рис. 7). Метакон  $M^1$  смешен ла-

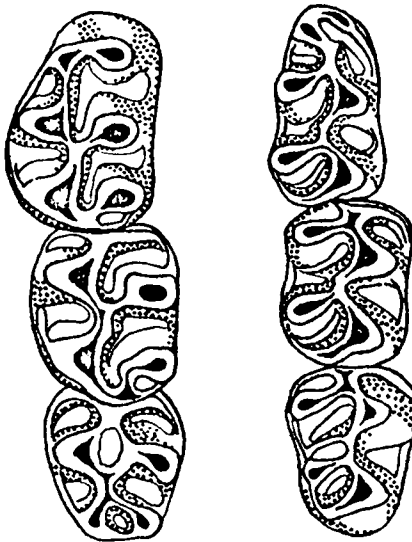


Рис. 8. *Cricetulodon sabadellensis* Hartenberger, поздний валлесий, Can Llobateres,  $M_1$  –  $M_3$ ; жевательная поверхность (по Аугсти)

иной мере усложнены дополнительными лофулями, а у отдельных видов – стилями и шиорами, соответственно, на нижних зубах лофтидами, стилидами и шиорами.

**Описание.** Размеры мелкие, приближающиеся к средним, близким к таковым современных *Allocricetus*: альвеолярная длина нижнего ряда постоянных коренных у наиболее мелкого вида – 4,01–4,19–4,45 мм, верхнего – 4,25; 4,50; 4,51 мм, длина  $M^1$  не более 2,20 мм,  $M_1$  – не более 2,10. Задние края резцовых отверстий черепа и передние края альвеол  $M^1$  сильно сближены: в отдельных случаях могут располагаться на одном уровне, либо даже смещаться назад по отношению к последним (см. рис. 4). Массетерная площадка (*ramus inferior*) черепа со слабо вогнутым задним и слегка выпуклым, почти сжатым передним краями (см. рис. 4, в), несколько расширенная (индекс ее ширины в средней части к альвеолярной длине  $M^1$  –  $M^3$  превышает 60), умеренная по высоте. Массетерная бугристость расположена несколько ниже основания последней, достаточно рельефна (см. рис. 4, а–в). Гребень, оконтуривающий задненаружный край резцового отверстия, выражен в редких случаях лишь в области последнего и едва намечен между ним и альвеолой  $M^1$ . Сочленовный отросток нижней челюсти относительно длинный (97,9)\*, расширенный в основании (79,8), однако резко суживается в направлении мышцел-

биально, в связи с чем наружный край коронки отчетливо вогнутый. Мезолоф на  $M^1$  –  $M^2$ , либо его следы, всегда имеются (представлен в редуцированном виде лишь у эволюционно далеко продвинутых форм *C. sabadellensis*). Мезолофид на  $M_1$  –  $M_3$  также хорошо развит, хотя у эволюционно продвинутых видов может редуцироваться вплоть до полного исчезновения на  $M_1$  –  $M_2$  (*C. sabadellensis*) (рис. 8).  $M_3$  сравнительно крупные, с четко обозначенными метаконом на верхних и энтоконидом на нижних зубах. В отдельных случаях эти элементы зубов могут быть представлены только поперечными гребнями с лабиальным метаконным, либо лингвальным энтоконидным расширением (рис. 5, 7). Все, без исключения, постоянные коренные в той или

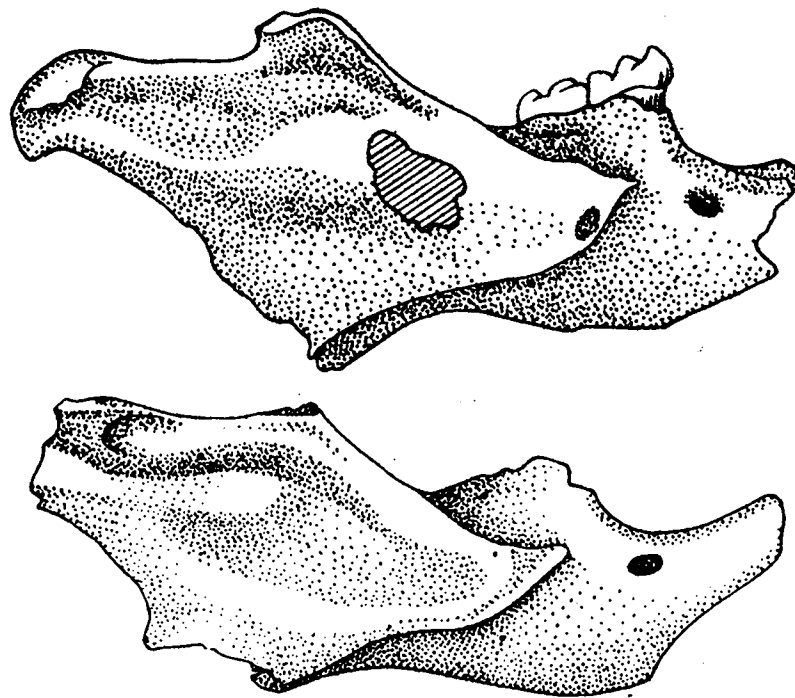


Рис. 9. *Cricetulodon complicidens* sp. nov., средний сармат, Грицев, горизонтальная ветвь нижней челюсти с лабиальной стороны

ка, чем больше напоминает таковой представителей многих *Cricetodontinae*, чем *Cricetinae* (рис. 9). Среди последних эту особенность строения *proc. condyloideus*, правда выраженную в меньшей степени, сохраняют лишь *Tscherskia* и, по-видимому, *Cricetinus*. Подбородочное отверстие сдвинуто назад: расположено почти на уровне переднего края альвеолы  $M_1$ . Массетерная площадка нижней челюсти четко оконтурена верхним и нижним гребнями, приострена спереди, заметно выступает лабиально. Альвеолярный бугор четко обозначен, располагается примерно на уровне середины основания венечного отростка, ниже последнего.

Расчленение антерокона на отдельные бугорки экстеро- и интэрантерокон на передней стороне коронки  $M^1$  четко выражено лишь на нестертых и начально стертых зубах, как правило, едва намечено на средние и не выражено на сильно стертых зубах. Передний гребень паракон (передний протолофуль) на  $M^1$  –  $M^2$  обычно хорошо выражен, хотя подвержен редукции, вплоть до полной у эволюционно продвинутых видов (*C. sabadellensis*) (рис. 8). Однако и у этих форм проявляет-

\* Несимонованные числа в тексте обозначают индексы в процентах.

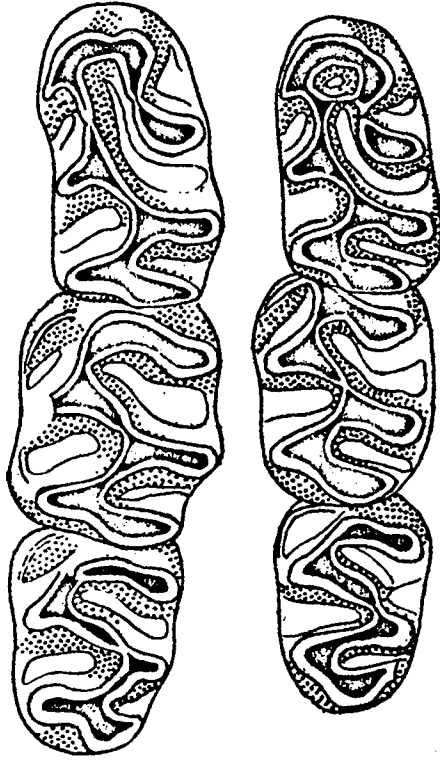


Рис. 10. *Rotundomys bressanus microtoides*, Can Perellada,  $M_1^1 - M_2^2$ ; жевательная поверхность (по Агусти)

сия у отдельных экземпляров. При наличии хорошо развитого гребня по мере стирания зубов образуется четко выраженная передняя марка. Преимущественно у более примитивных видов на  $M^1 - M^2$  может проявляться и передний гребень метакона (передний гиполофуль), принимающий участие в образовании задней марки (рис. 7). Последнее чаще наблюдается на  $M^2$ , чем на  $M^1$ . У наиболее древних представителей рода четко выражена передняя наружная шпора — поперечный лабиальный гребень антеролофуля (рис. 7, в). У этих форм (*C. complicidens* sp. nov.) проявляются наружные и внутренние стили, чаще в виде гребней, реже — бугорков) (рис. 7, б, в). Связь антерокона  $M^1$  с протоконом в большинстве случаев осуществляется через интероантекон посредством продольного гребня — антеролофуля (рис. 7, а, б). Реже имеет место дополнительная связь через задний гребень экстераантекона. В этом случае на средне и сильно стертых зубах образуется дополнительная антероконная марка (рис. 7, г). Вероятно, этот признак не проявляется у *C. hartenbergeri* и тем более у *C. sabadellensis*. Расчленение антероконида  $M_1$  на передней стороне последнего в большинстве случаев выражено на нестертых и начально стертых зубах (см. рис. 5). Связь антероконида с протоконидом чаще всего осуществляется через интероантекон реже — двойная (рис. 5, г). В обоих случаях связь осуществляется через антеролофулид. Непосредственная связь интероантеконида с метаконидом через внутренний краевой гребень первого; наблюдается у некоторых представителей рода *Rotundomys*, но, как правило, отсутствует, хотя может проявляться у эволюционно продвинутых видов (*C. sabadellensis*). Только у последней отмечено сильное отклонение энтоконида назад, наблюдавшееся у многих *Rotundomys* (рис. 10). Мезолофид  $M_1 - M_2$  всегда развит у примитивных видов

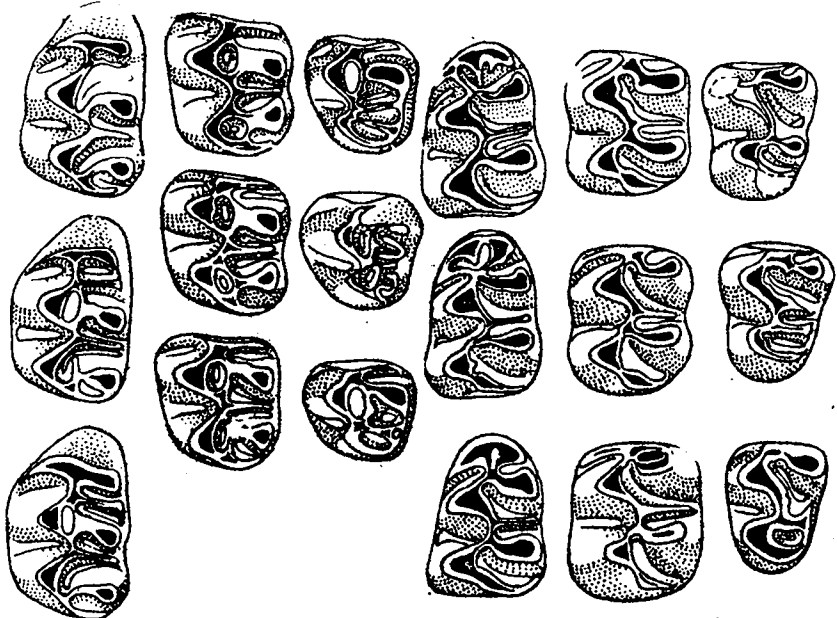


Рис. 11. *Democricetodon (Democricetodon) gailliardi freisingensis* Fahibusch, Giggenhausen,  $M_1^1 - M_2^2$ ; жевательная поверхность (по Фальбушу)

(см. рис. 5). В процессе эволюции подвержен значительной редукции, вплоть до полной у *C. sabadellensis*. На  $M_3$  всегда хорошо развит у всех представителей рода. В отдельных случаях может сохраняться задняя наружная шпора — эктомезолофид (см. рис. 5).

**Сравнение.** По размерам сходен с *Democricetodon*, хотя эволюционно продвинутые формы несколько крупнее (рис. 11). Проявляет черты сходства с последним по формуле корней  $M^2$  — три корня и наличие хорошо развитой передней наружной шпоры на  $M^1$ , а также сохранение у части экземпляров наиболее примитивных *C. complicidens* на  $M_1 - M_2$  задней наружной шпоры — эктомезолофида. Отличается:

- полностью сформировавшимся расчленением антерокона на  $M^1$  и соответственно антероконида на  $M_1$  на два бугорка, фиксируемых на задней и передней стенках этих элементов зубов. Как правило, не расчленены у *Democricetodon*. Даже у эволюционно наиболее продвинутых *D. gailliardi* этот процесс не выходит за рамки поверхностного расчленения (проявляется в виде марки, образованной за счет задних гребней антероконида) на  $M_1$  и едва намечен на  $M^1$  (рис. 11);

- смещенным лабильно по отношению к наракону метаконом  $M^1$ , что обуславливает четко выраженную вогнутость наружной стенки коронки последнего. Как правило, слегка выпуклая у *Democricetodon*,

поскольку паракон несколько сдвинут лабильно по отношению к метакону, либо располагается на одном уровне с последним. Правда, тенденция к лабиальному смещению метакона начинает проявляться у отдельных экземпляров *D. gaillardi*, однако не находит столь резкого выражения, как у *Cricetulodon* (см. рис. 7);

– наличием двойной связи метакона с гипоконом за счет развития переднего гребня последнего на  $M^2$  и отчасти на  $M^1$ . Отсутствует у подавляющего большинства видов *Democricetodon*, кроме *D. gaillardi* (рис. 11).

От *Rotundomys* четко отличается:

– брахиодонтным типом постоянных коренных, которые проявляют тенденцию к полуугисодонтии у *Rotundomys*;

– бугорчатым, свойственным преимущественно низших хомячим, типом строения постоянных коренных, проявляющимся на всех стадиях стертости зубов, за исключением крайних степеней стертости. Последнее обусловлено тем, что эти гребни, соединяющие основные бугорки – лофулы и соответственно лофулиды, как бы стекают с последних, располагаясь ниже их вершин. У *Rotundomys* построены по микротидному типу – складчатые структуры, треугольные, либо с закругленным концом, но сжатые в передне-заднем направлении, образующие жевательную поверхность, все элементы которой располагаются примерно в одной плоскости (см. рис. 10);

– наличием преимущественно хорошо развитых мезолофа на верхних и мезолофида на нижних постоянных коренных, либо четко выраженных следов этих структурных образований. Частичное исключение – *C. sabadellensis*, у которого при наличии четко обозначенного, хотя и несколько редуцированного мезолофа на  $M^1 - M^2$ , могут отсутствовать какие-либо следы мезолофида на  $M_1 - M_2$ . Однако на  $M_3$  последний всегда хорошо развит (см. рис. 8). У *Rotundomys* на всех зубах эти образования отсутствуют (см. рис. 10), в редких случаях проявляясь лишь на  $M^2$  (*R. montisrotundi* Mein);

– наличием передних гребней паракона и метакона, или хотя бы первого на  $M^1 - M^2$ . Всегда отсутствуют у *Rotundomys* (см. рис. 10);

– меньшими абсолютными размерами.

По степени сложности постоянных коренных слабо продвинутые виды близки к древнейшим представителям подсемейства *Cricetinae* – роду *Kowalskia*, практически отличаясь от его представителей сохранением корневой формулы, свойственной *Cricetodontinae* – три корня  $M^2$ . У *Kowalskia* их четыре. Существенным отличием *Cricetulodon* от *Kowalskia*, как и от всех прочих *Cricetinae*, по всей вероятности, является также заметно резче выраженное сужение коронки  $M^1$  на уровне антерокона – признак, свойственный *Cricetodontinae*, морфологически сходных с *Cricetinae* (триба *Megacricetodontini*). Даже у древнейших *Kowalskia* тенденция к расширению переднего отдела  $M^1$  выражена значительно сильнее. Указанный признак, несомненно, находится в

прямой корреляции со степенью дифференциации антерокона. Не исключено также, что отличается от последней крицетодонтинным типом строения сочленовного отростка. Во всяком случае, судя по фотографии нижней челюсти *K. polonica* Fahlbusch, этот отросток у последней имеет строение, сходное с таковым *Cricetini*: его края не характеризуются резким схождением в направлении мыщелка [56].

**З а м е ч а н и я.** Род впервые был выделен И. Гартенбергером [66], однако впоследствии рассматривался большинством исследователей как синоним *Rotundomys* [59, 62] и даже *Kowalskia* [56]. В дальнейшем родовой статус *Cricetulodon* неоднократно восстанавливается [52, 44]. Как следует из приведенного выше описания и сравнения, выделение *Cricetulodon* в самостоятельную родовую группировку представляется более оправданным, чем включение его в состав рода *Rotundomys*. Если оснаривать его таксономический ранг, то указанная группировка значительно ближе к *Kowalskia*, чем к *Rotundomys*. Между *Cricetulodon* и *Kowalskia* отсутствуют какие-либо существенные различия в строении постоянных коренных, за исключением формулы корней  $M^2$ . Однако таксономический вес этого признака достаточно высок – уровень таксонов надродового ранга. По крайней мере, в настоящее время не известны представители рода *Kowalskia*, имевшие три корня на указанном моляре. Наличие трех корней на  $M^1$  у представителей рода *Kowalskia* имеет переходный характер – три у эволюционно слабо продвинутых, преимущественно древних и четыре – у более поздних специализированных видов.

Вероятно, представляет собой одну из узловых групп в эволюции *Cricetodontinae* и *Cricetinae*, хотя не исключена прямая филогенетическая связь с *Rotundomys*, осуществляемая через *C. sabadellensis* [45], а через *C. complicidens* – с древнейшими *Cricetinae* рода *Kowalskia*.

**Состав рода.** 3–4 вымерших вида: *C. sabadellensis* Hartenberger, 1965, поздний валлэзий Испании, верхи 9-й биозоны Мейна, местонахождение Can Llobateres; *C. hartenbergeri* Freudenthal, 1967, древний валлэзий Испании, низы 9-й биозоны, местонахождения Pedregueras, Can Ponsic; *C. complicidens* sp. nov., средний сармат юго-запада Украины, низы 9-й биозоны, местонахождение Грицев Хмельницкой обл. Не определено систематическое положение *Kowalskia moldavica* Lungu, 1981 из местонахождений среднего сармата калфинско-бужорской группы в Молдове. Из описания неясна корневая формула  $M^2$  этого вида. Отнесение к роду *Kowalskia* оправдано лишь в том случае, если этот моляр имеет четыре корня. Если их три, то, по-видимому, мы имеем дело с *Cricetulodon*, близким к *C. hartenbergeri* или *C. levocati*. От *C. complicidens* его отличает отсутствие передней наружной шпоры на  $M^1$ .

Наконец, требует существенного уточнения родовая принадлежность *Cricetus levocati* Hugueni et Mein, 1965 из позднего турония

Франции (местонахождение Lisseu, 13-я биозона Мейна), безоговорочно рассматриваемого впоследствии большинством исследователей в составе рода *Kowalskia* [53, 47], при первоописании которого этот вопрос, в сущности, остался открытым [56] ввиду скучности имеющихся материалов ( $2 - M^2$ ,  $1 - M^3$  и  $1 - M_3$ ) и его недостаточной информативности — отсутствует  $M^1$ . Но если подтвердится факт, что форма из Lisseu имеет  $M^2$  с тремя корнями, то исключение ее из состава рода *Kowalskia* и включение в состав рода *Cricetulodon* представляется нам достаточно оправданным. Вместе с тем, этому как будто противоречит геологический возраст находки из Lisseu, а главное — наличие у форм, сходных с этим видом из близкой стратиграфической зоны (местонахождение Пикерми в Греции, 12-я биозона) — К. cf. *levocatī*, четырех корней на  $M^2$ . Однако как бы то ни было, вопрос о родовой принадлежности К. *levocatī* на существующей информативной основе приходится оставить открытым, констатируя лишь, что от всех известных представителей родов *Cricetulodon* и *Kowalskia* эту форму отличают крупные размеры  $M^3$  и особенно  $M_3$ . Исходя из этого, при дальнейшем сравнении этот материал учитываться не будет.

Геологическое и географическое распространение. Поздний миоцен — валлезий юго-запада Западной Европы, 9-я биозона; нижняя часть среднего сармата юго-запада Украины.

*Cricetulodon complicidens* Topachevski  
et Scorki, sp. nov.

Голотип. Фрагмент верхнечелюстной кости, сохранивший основание скелетного отростка (массетерная пластинка),  $M^1 - M^2$  и прилегающую часть небной кости с задним краем резцового отверстия; Грицев Хмельницкой обл. Украины, нижний горизонт среднего сармата. Сохраняется в фондах отдела палеозоологии и палеонтологического музея Института зоологии им. И.И.Шмальгаузена АН Украины (ИЗАН Украины), № 46 (рис. 4, а).

Дополнительный материал. Верхнечелюстные кости и их обломки — 23; нижние челюсти различной степени сохранности — 14 (те и другие преимущественно с  $M^1 - M^2$ , реже с полным рядом постоянных коренных); изолированные постоянные коренные  $M^1 - 17$ ,  $M^2 - 7$ ,  $M^3 - 2$ ,  $M_1 - 21$ ,  $M_2 - 9$ ,  $M_3 - 9$  экз. Все происходят из того же местонахождения, что и голотип. Хранятся там же.

Диагноз. Размеры в среднем более мелкие, чем у *C. hartenbergeri* и *C. sabadellensis* (рис. 12). Передняя наружная поперечная шпора на  $M^1$ , либо ее следы всегда имеются.

Описаниe. Помимо признаков в строении черепа и нижней челюсти, приведенных в описании рода, которые, в сущности, зафиксированы на основании изучения только материала из Грицева, в строе-

нии постоянных коренных можно отметить изложенные ниже особенности. Последнее тем более важно, поскольку многие из этих признаков, как будет показано далее, в какой-то степени заполняют хиатус между *Cricetulodon* и *Democricetodon*, в частности между первыми и наиболее поздними, эволюционно наиболее продвинутыми представителями вторых — *D. gillardii*.

Все без исключения

постоянные коренные характеризуются большой структурной сложностью строения жевательной поверхности по сравнению с другими представителями рода *Cricetulodon*. Наружная передняя поперечная шпора на  $M^1$  в подавляющем большинстве хорошо развита, достигает парагонтиля, который в этом случае проявляется как парагонтильное расширение в конце шпоры (см. рис. 7). Реже указанные элементы жевательной поверхности разобщены ввиду укороченности шпоры (рис. 7, г). Иногда преимущественно на сильно стертых зубах шпора может приобретать мозаичное строение, чаще сохраняясь либо в зоне переднего продольного гребня, либо в зоне парагонтиля. Сама шпора может проходить примерно по середине передней наружной входящей складки (параклексус), либо быть сближенной с основаниями паракона или экстероантекона. Мезолоф всегда имеется, хотя, как правило, по протяженности слегка не достигает лабиального края коронки зуба. В связи с этим мезолоф и мезостиль разобщены, если последний вообще представлен (см. рис. 7, в). Передний гребень паракона всегда хорошо развит, что обусловливает двойную связь этого бугорка с протоконом с постоянным образованием передней марки (см. рис. 7). Передний гребень метакона отсутствует, в связи с чем задняя марка как таковая не образуется. Однако на сильно и преимущественно конечно стертых зубах при прижатом к основанию метакона мезолоф она все же фиксируется (ложная задняя марка) (см. рис. 7, г, е). Прото- и энтомостиль изредка проявляются в виде слабо выраженных бугорков, чаще в виде валиков в устьях соответствующих входящих складок — прото- и гипофлексус, либо совсем не обозначены. Изредка протостиль может участвовать в образовании

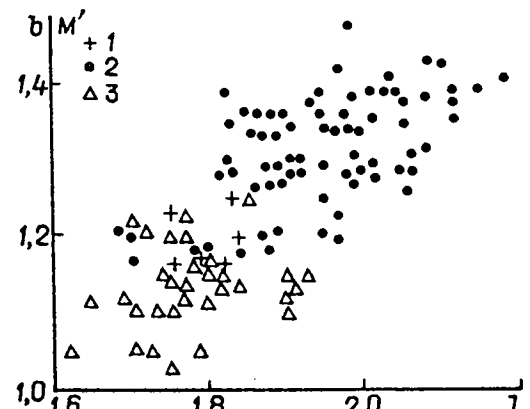


Рис. 12. Отношение длины ( $l$ ) к ширине ( $b$ )  $M^1$  *Cricetulodon*:

1 — *C. hartenbergeri*, Can Ponsich; 2 — *C. sabadellensis*, Can Llobateres (по Агусти); 3 — *C. complicidens*, Грицев

наружного гребня инteroантерокона, проходящего по внутреннему краю коронки к основанию протокона. Задний воротничок – постero-лоф умеренно развит, отделен от основания метакона дополнительной третьей входящей складкой наружного ряда (постерофлексус), которая вместе с задним гребнем метакона по мере стирания зуба может образовывать дополнительную постерофлексусную марку. В некоторых, крайне редких случаях, существует в образовании ложной задней марки (см. рис. 7, а, г). Зуб имеет три корня, поскольку внутренний не расщеплен на два самостоятельных корешка. Как правило, уплощен, вытянут в переднезаднем направлении. Какие-либо следы раздвоения внутреннего корня чаще не выражены (рис. 6, б). Лишь у 7,5 % экземпляров (в трех случаях) удалось наблюдать слабую вогнутость внутренней стенки корня и лишь в одном случае – тенденцию к раздвоению его конца.

$M^2$  с хорошо развитым раздвоенным передним воротничком (антеролоф). Внутренняя его ветвь располагается, как правило, в одной плоскости с наружной. Обе ветви отделены от последующей пары бугорков – соответственно протокона и паракона четко выраженными внутренней (протофлексус) и наружной (паофлексус) входящими складками (рис. 7). Сравнительно редко (3 экз. из серии 21 зуба) внутренняя ветвь сильно наклонена по отношению к плоскости жевательной поверхности. При подобном строении протофлексус оказывается не столь резко выраженным. Обычно ветви воротничка проявляются в рисунке жевательной поверхности вплоть до крайних стадий стертости зуба, причем внутренняя поглощается раньше наружной (рис. 7). Мезолоф всегда хорошо развит, обычно достигает лабиально-го края коронки, с метастильным расширением, либо без него. Реже оканчивается на небольшом расстоянии от последнего. Тогда мезостиль может быть, но может и отсутствовать. Крайне редок укороченный мезолоф – половинная длина либо мозаичное его строение (обычно на сильно стертых зубах). Передний гребень паракона всегда хорошо развит, в связи с чем зуб характеризуется постоянной двойной связью с протоконом с образованием передней марки (рис. 7, а–в). Метакон также отмечен очень часто двойной связью с гипоконом, в связи с чем задняя марка, как правило, имеется (рис. 7, б–г). Изредка может отсутствовать передний гребень. В этом случае, как и на  $M^1$ , может образовываться ложная задняя марка (рис. 7, г). Однако задний гребень метакона обычно проявляется слабее, чем таковой паракона, и следы его почти всегда имеются. В имеющейся серии не проявился только однажды. Задний воротничок развит сильнее, чем на предыдущем моляре всегда оконтуривает в виде гребня постерофлексус, который в сущности является маркой. Изредка на отдельных зубах наблюдается слабо выраженный энтистиль, как правило, не проявляющийся. По количеству и типу строения корней напоминает предыдущий моляр:

имеет три корня, из которых внутренний, как правило, продольно сильно вытянут, уплощенный. Единственный раз наблюдалась продольная борозда на его внутренней поверхности. В более частой повторности имеет место слабо выраженная вогнутость этой поверхности. При мерно у 10 % в той или иной степени проявляется раздвоенность окончания корня.

Особенности строения  $M^3$  установить крайне трудно ввиду отсутствия достаточной серии зубов. Практически доступны для исследования лишь три экземпляра, в той или иной мере сохранившие общий тип строения жевательной поверхности. Остальные зубы этой серии находятся на крайних стадиях стертости, в связи с чем пригодны только для измерений. Поэтому можно отметить, что в строении  $M^3$  *C. c. comprilicidens* в целом прослеживаются черты организации, свойственные *C. hartenbergeri*, а именно: сильное развитие раздвоенного переднего воротничка, двойная связь паракона с протоконом с образованием передней марки и, по-видимому, сходные пропорции длины в сравнении с предыдущим моляром. Степень развития метакона также варьирует, как у *C. hartenbergeri*: от четко обозначенного бугорка, связанного с гипоконом, до простого гребня, иногда со слабо выраженным метаконным расширением (см. рис. 7). Возможно, отличается более сильным развитием внутренней ветви переднего воротничка. Во всяком случае, на имеющемся материале не удалось наблюдать склоненного положения этого элемента зуба, четко просматриваемого на рисунках отдельных экземпляров  $M^3$  *C. hartenbergeri*. Зуб имеет три корня, внутренний продольно более вытянут, уплощенный.

Антероконид на  $M_1$  всегда четко подразделен на экстеро- и инteroантероконид, сближен с последующей парой бугорков, поскольку передний продольный гребень – антеролофулид укорочен (см. рис. 5, б, в). Следы разделения антероконида четко выражены и через бороздчатую структуру на передней его стенке, которая может сохраняться даже у некоторых экземпляров на стадии сильно стертых зубов. Однако для этой категории стертости характерно ее исчезновение, как и слияние наружного и внутреннего элементов антероконида. Чаще всего соединение антероконида с последующей парой бугорков осуществляется по связи инteroантероконид – протоконид посредством продольного гребня, реже – связь двойная, поскольку имеет место развитие и заднего гребня экстероантероконида (см. рис. 5, г). Как исключение наблюдается только связь экстероантероконид–протоконид. Всегда хорошо развитым оказывается наружный гребень экстериоантероконида, идущий от наружного края последнего к основанию протоконида по лингвальному краю коронки (см. рис. 5, а). Мезолофид хорошо развит, заканчивается непосредственно у лингвального края жевательной поверхности с мезостилидным расширением либо без него (см. рис. 5, б, в). В очень редких случаях проявляется мозаич-

ность мезолофида. Примерно у 20 % экз. имеется наружная задняя поперечная шпора — эктомезолофид, либо следы последней. Крайне редко (2 экз.) наблюдается метаконидная шпора — энтолофид. Обычно отсутствует хотя ее следы в виде соответствующего топографически метаконидного угла могут проявляться довольно часто. Энтоконид располагается поперечно продольной оси жевательной поверхности, хотя его гребень, как и таковой метаконида, скошен назад. Задний воротничок мощный, отделен от основания энтоконида хорошо развитой входящей складкой — постфлексидом. Зуб, как и последующие нижние моляры, характеризуется наличием двух корней.

$M_2$  с раздвоенным передним воротничком. Наружная его ветвь заметно превосходит по степени развития внутреннюю, сохраняясь почти на всех стадиях стертости зубов. Последняя может теряться на средние и сильно стертых. Мезолофид, как правило, хорошо развит, заканчивается в подавляющем большинстве случаев у лингвального края жевательной поверхности обычно с мезостилидным расширением (см. рис. 5, 2). Реже — немногого не достигает края. При подобном строении мезолофид и мезостилид разобщены. Очень редко (1 экз.) мезолофид может проявляться только в зоне продольного гребня, от которого он отходит. Иногда в процессе стирания приобретает мозаичную структуру. Изредка (в двух случаях из 19) наблюдается хорошо развитая задняя наружная поперечная шпора. В норме мета- и энтоконид характеризуются наличием только передних гребней. Однако очень редко наблюдается развитие задних гребней с образованием соответственно передней и задней марок. При этом наличие обоих упомянутых гребней на одном и том же моляре наблюдать не удалось. Развитие получает либо задний гребень метаконида, либо таковой энтоконида. Следует также отметить, что задний гребень энтоконида встречается более часто (три случая), чем аналогичные образования метаконида (один случай). При этом в последнем варианте осуществлялась связь метаконид — мезолофид — протоконид, а не метаконид — протоконид непосредственно. Задний воротничок хорошо развит, отделен от основания энтоконида глубокой или менее глубокой при наличии заднего гребня энтоконида входящей складкой. В последнем случае ее заглубленная часть трансформируется в заднюю марку.

$M_3$  с раздвоенным, как на предыдущем моляре, передним воротничком. Однако диспропорция в размерах наружной и внутренней его ветви менее выражена, чем на  $M^2$  (см. рис. 5). Энтоконид дифференцирован в виде самостоятельного бугорка по отношению к своему гребню (см. рис. 5). Лишь однажды расширение на энтоконидном гребне не выражено. Мезолофид обычно хорошо развит. Чаще всего достигает лингвального края жевательной поверхности, либо заканчивается на незначительном удалении от него. В меньшей мере представлены морфотипы с едва намеченными на продольном гребне элементами

основания последнего (рис. 5, 6). Как и  $M^3$ , сильно варьирует по ширине. При отношении длины к таковой предыдущего моляра, но всей вероятности, сохраняются те же пропорции, что и у *C. hartenbergeri*.

Сравнение. От всех известных в настоящее время видов рода четко отличается меньшими абсолютными размерами, постоянным наличием передней наружной поперечной шпоры на  $M^1$  и большей сложностью строения жевательной поверхности всех без исключения постоянных коренных.

По степени сложности постоянных коренных наиболее близким видом является *C. hartenbergeri*. От последнего, помимо указанных выше общих признаков, четко отличается всегда имеющимся длинным (достигающим лабиального края жевательной поверхности, либо превосходящим возможную половинную длину мезолофа) мезолофом на  $M^1 - M^2$ . У *C. hartenbergeri* в подавляющем большинстве случаев он короткий или умеренно (до половинной его длины) удлиненный — более, чем у 80 % экземпляров. Аналогично ведет себя и мезолофид на  $M_1 - M_3$ . Во всяком случае, у *C. hartenbergeri* он может вообще не проявляться более чем у 20 %  $M_1$ , 35 —  $M_2$  и 24 —  $M^3$ . Длинный мезолофид наблюдается у 23 %  $M_1$  и  $M_3$  и у 13 —  $M_2$ . Кроме того, на  $M^1 - M^2$  *C. complicidens* чаще и сильнее выражены стили и соответственно стилиды. Судя по описанию и рисункам, проявляются у *C. hartenbergeri* в исключительных случаях. Постоянное наличие у *C. complicidens* переднего гребня паракона на  $M^1 - M^2$ . У *C. hartenbergeri* уже встречаются морфотипы указанных зубов, где этот элемент жевательной поверхности полностью редуцируется, в связи с чем теряется двойная связь паракона с протоконом. Вероятно, у *C. complicidens* в более частой повторности встречается и хорошо развитый передний гребень метакона  $M^2$ . Для  $M_1 - M_2$  этого вида также часто свойственно наличие наружной поперечной шпоры — эктомезолофика. Всегда отсутствует у *C. hartenbergeri*.

Приведенные выше отличия *C. complicidens* и *C. hartenbergeri* еще более усугубляются при сравнении первой с *C. sabadellensis*, постоянные коренные которой испытывают еще больше, но-видимому, вторичное упрощение в сопоставлении даже с *C. hartenbergeri*. Так, *C. sabadellensis* свойственны в подавляющем большинстве случаев сильно укороченный мезолоф, чаще всего его следы на  $M^1 - M^2$  и, соответственно, мезолофид на  $M_1 - M_2$ , а также в исключительных случаях наличие переднего гребня паракона на  $M^1 - M^2$ . В числе других признаков, отличающих *C. complicidens* от *C. sabadellensis*, следует отметить поперечное расположение энтоконида  $M_1$  по отношению к продольной оси жевательной поверхности зуба. У последней этот бугорок сильно отклонен назад. Указанный признак, вероятно, отличает *C. sabadellensis* и от *C. hartenbergeri*.

**З а м е ч а н и я.** Из описанного выше сравнения *C. complicidens* с другими видами рода *Cricetulodon* можно установить, что в пределах последнего во времени четко проявляется общая тенденция к упрощению строения жевательной поверхности постоянных коренных. В этом плане наименее эволюционно продвинутым видом как раз и является *C. complicidens*. Не исключено, что в этом случае мы имеем дело с формой, если не исходной, то, по крайней мере, близкой к таковой для *C. hartenbergeri*, а через нее — к *C. sabadellensis*. Таким образом, указанная находка не противоречит существующим филогенетическим схемам, а скорее дополняет их [145]. В этом аспекте в целом подтверждается реальность филогенетического ряда *C. complicidens* — *C. hartenbergeri* — *C. sabadellensis*, ведущего, в конечном итоге к *Rotundomys*.

Однако *C. complicidens* более четко фиксирует филогенетическую связь *Cricetulodon* с *Democricetodon*, по крайней мере, с его эволюционно наиболее продвинутым видом — *D. gailliardi*. Во всяком случае, *C. complicidens* еще сохраняет ряд архаичных черт, свойственных последнему. Это прежде всего касается степени развития мезолофа на верхних и, соответственно, мезолофида на нижних постоянных коренных, а главное — сохранения у части популяций обеих обсуждаемых форм эктомезолофида на  $M_1 - M_2$ . В числе прогрессивных признаков сближает эти виды и степень развития передних гребней пара- и метакона на  $M^1 - M^2$ , обусловливающая образование двойной связи соответственно между основными бугорками наружного и внутреннего рядов. Этот признак оказывается доминантным также в популяциях *D. gailliardi*.

*C. complicidens* демонстрирует также отдельные черты в строении постоянных коренных, укладывающиеся в общую тенденцию эволюции линии, ведущей к появлению древнейших *Cricetinae*, в частности наиболее древних представителей рода *Kowalskia*. На этом эволюционном уровне уже достаточно четко проявляется тенденция, хотя и слабо выраженная, к приобретению формулы корней  $M^1 - M^2$ , свойственной всем последующим во времени евразиатским *Cricetini*. Так, в популяциях этого вида четко фиксируются первые следы к раздвоению внутреннего корня этих зубов. В этом плане особенно важным, по-видимому, является  $M^2$ , поскольку процесс образования четырехкорневого моляра практически полностью заканчивается на уровне *Kowalskia*, в то время как древнейшие представители этого рода *K. fahlbuschi* Bachmayer et Wilson и близкие к ней формы еще сохраняют практический трехкорневой  $M^1$ . Становление четырехкорневых  $M^1$  имеет место только у более поздних, глиоценовых видов этого рода.

**Геологическое и географическое распространение.** Поздний миоцен — низы среднего сармата Подолии; место-

нахождение Грицев Шепетовского р-на Хмельницкой обл. В корреляции с Западной Европой — древнейший вариант 9-й биоцоны Мейна или древний валлезий.

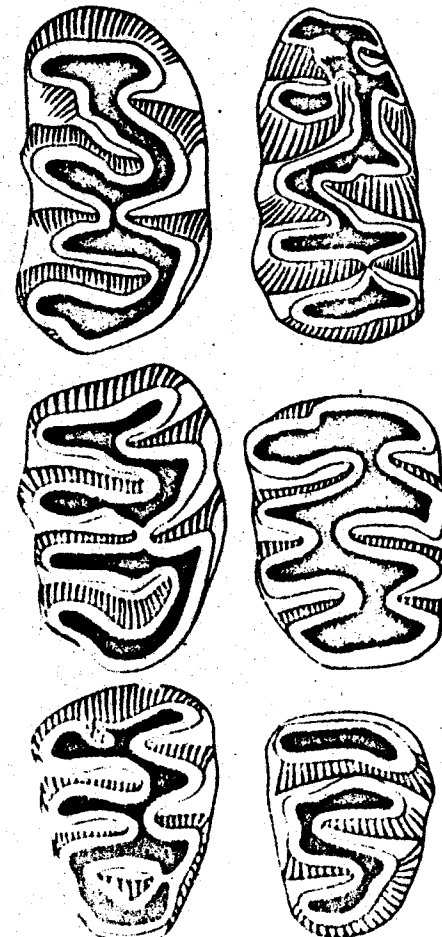
**ТРИБА MICROTOCRICETINI  
ТОРАСНЕВСКИ И СКОРИК, 1988**

**Т и п о в о й р о д:** *Microtocricetus* Fahlbusch et Mayr, 1975; поздний миоцен — валлезий Баварии.

**Д и а г н о з.** Жевательная поверхность постоянных коренных уплощенная.  $M^3$  и  $M_1$  построены по типу одноименных постоянных коренных *Microtinae* (рис. 13). Задний отдел  $M^3$  вытянут либо проявляет тенденцию к продольному вытягиванию и усложнен одной (*Microtocricetus*) либо двумя (*Tsaganocricetus*) марками. В последнем случае марки располагаются строго последовательно одна за другой. В случае наличия одной марки сохраняется только передняя, оконтуривающая сзади мезолоф и гипокон. Образование задней марки обусловлено почти полной дифференциацией метакона и заднего воротничка — постэрлофа.  $M_1$  сходен с таковым *Microtinae* — имеет аналог параконидного отдела (передняя петля), четыре альтернативно расположенных эмалевых поля (треугольники) и заднюю петлю. Однако происхождение перечисленных элементов принципиально иное. В этом он полностью сохраняет тип строения, свойст-

*Rис. 13. Microtocricetus mollassius* Fahlb. et Mayr., жевательная поверхность, валлезий, ФРГ, Бавария (по Фальбушу и Майру):

*a* —  $M^1 - M^3$ ; *b* —  $M_1 - M_2$ .



*5*

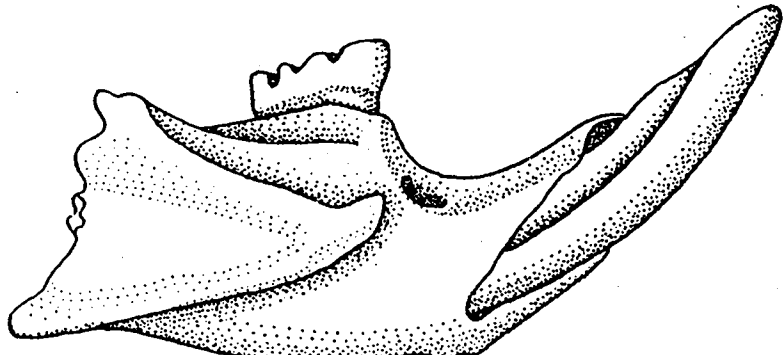


Рис. 14. *Sarmatomys podolicus* Top. et Scog., 1988, средний сармат, Грицев; горизонтальная ветвь нижней челюсти с  $M_1$  (голотип)

венный Cricetodontinae: переднюю петлю слагают антероконид и сильно развитый метаконид, энтоконид оттеснен мезолофицом назад, а между протоконидом и гипоконидом вклинивается наружная поперечная шпора. Нижняя челюсть с четко выраженным симфизным углом, однако его вершина расположена на уровне диастемы и не заходит в зону зубного ряда (рис. 14).

**Дополнительное описание.** Вытянутость коронок постоянных коренных в продольном направлении от умеренной до значительной. Моляры по высоте коронок типично брахиодонтные (рис. 13): длина жевательной поверхности  $M_1$  на слабо стертых зубах более чем вдвое превышает высоту коронки. Передний край передней наружной входящей складки  $M^1$  ступенчатый. Экстero- и интероантерокон слабо различаются по размерам. Расположены почти симметрично по отношению к гребню, соединяющему антерокон с протоконом. Мезолоф хорошо развит на всех без исключения верхних постоянных коренных. Мезолофид, равно как и наружная поперечная шпора, может отсутствовать на  $M_3$ . Внутренняя ветвь антеролофа на  $M^3$  имеется либо отсутствует. Передняя петля  $M_1$  на нестертых зубах может сохранять следы передних поперечных шпор, а на стертых — имеет 1–2 марки, образующиеся преимущественно за счет замыкания внутренних частей передних входящих складок. Однако не исключено, что в отдельных случаях образование марки может происходить и путем развития собственно переднего флексида, разделяющего антероконид на наружную и внутреннюю его части (рис. 13). На нестертых  $M_1$  задняя петля может быть полностью дифференцирована от лежащих впереди эмалевых полей — энтоконида и задней наружной поперечной шпоры. Последние у различных родов могут характеризоваться как противопоставленным, так и альтернативным расположением.

**Сравнение и замечания.** От всех известных в настоящее

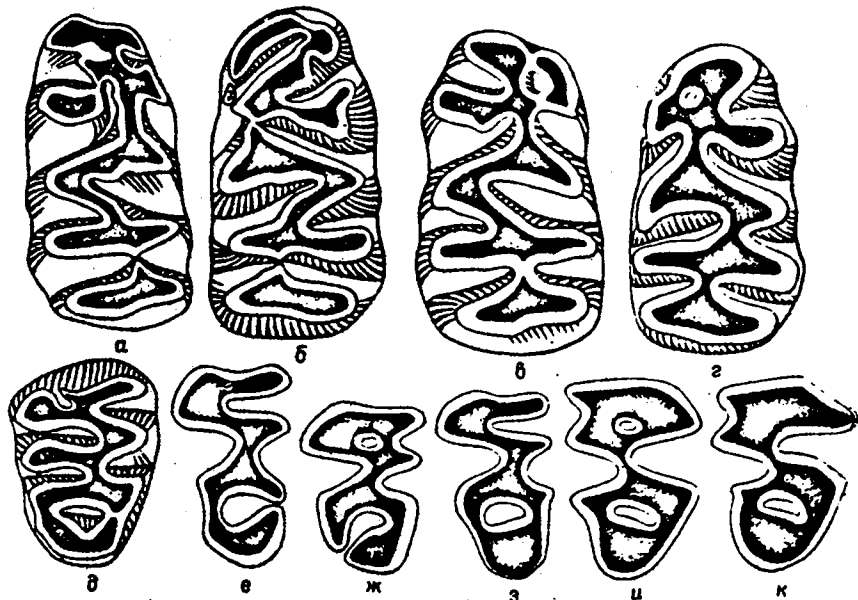


Рис. 15. Изменчивость  $M_1$  и  $M^3$  *Microtocricetus molassius* Fahl. et Mayr:  
а–г —  $M_1$ , д —  $M^3$  и древнейшего представителя Microtinae рода *Polonomys*;  
е–к —  $M^3$

время триб Cricetodontinae — Cricetodontini, *Fahlbuschini*, *Megacricetodontini* — *Microtocricetini* четко отличается полевкообразным типом строения  $M_1$  и  $M^3$ . Для обоих свойственно усложнение соответственно переднего и заднего отделов за счет их вытянутости в продольном направлении и более сильного развития элементов, слагающих эти отделы. В строении остальных зубов, если исключить приобретение полевкозубости, скорее всего просматривается тип строения, свойственный Cricetodontini. Это особенно заметно на примере  $M^1$ . Для представителей обеих триб свойственны выдвинувшее вперед положение антерокона по отношению к протокону, тенденция к раздвоению антерокона и наличие умеренно развитого мезолофа. По сложности нижних постоянных коренных более импонируют представители трибы *Megacricetodontini*. По степени сжатия бугорков в продольном направлении и склонности входящих складок отдельные представители проявляют черты сходства с эволюционно продвинутыми в направлении зеленоядности поздними *Rotundomys*. Группа не может рассматриваться в качестве исходной для Microtinae и Gerbillinae, поскольку постоянные коренные последних формировались на более упрощенной исходной схеме. У первых метаконид не входит в состав передней петли  $M_1$ , мезолофид и задняя наружная поперечная шпора отсутствуют. Их место

функционально занимают соответственно элементы параконидного отдела, энтоконид и гипоконид. Кроме того, *Microtocricetini* по сложности строения  $M_1$  и  $M^3$  оказываются эволюционно более продвинутыми, чем наиболее примитивные *Microtinae*, лежащие в основании всего филума полевковых (триба *Baranomyini*) (рис. 15, *e–к*). Если к этому добавить, что *Microtocricetini* в полной мере сохранили брахиодонтность постоянных коренных и тип строения нижней челюсти, свойственный *Cricetodontini*, симфизный угол у которых, хотя и выражен, но вершина симфизного бугра располагается примерно на уровне середины диастемы, то указанный путь развития едва ли можно считать оправданным в эволюционном плане. В этом аспекте его следует интерпретировать как инадекватный в понимании В.О.Ковалевского. Что касается полевкоzубых *Hesperomysinae* и *Nesomysinae*, то у них эволюция постоянных коренных протекала скорее всего по микротидному плану.

**Состав трибы.** Три рода: *Microtocricetus* *Fahlbusch et Mayr*, 1975, из вальдзия ФРГ, Бавария; *Sarmatomys* *Topachevski et Scorik*, 1988, из среднего сармата Хмельницкой обл. Украины; *Tsaganocricetus* *Topachevski et Scorik*, 1988, из возможных аналогов среднего сармата Восточного Казахстана, Семиналатинская обл.

**Геологическое и географическое распространение.** Начало позднего миоцена – средний сармат Восточной Европы и его возможные аналоги в Восточном Казахстане; астрагий (?) Западной Европы.

#### Род *Microtocricetus* *Fahlbusch et Mayr*, 1975

**Типовой вид:** *M. molassius* *Fahlbusch et Mayr*, 1975; ФРГ, Бавария, местонахождения Гигенхауссен, Марктль; верхние пресноводные моллассы позднего астрагия, 8-я биозона Мейна.

**Диагноз (измененный).** Размеры мелкие: длина  $M^1$  – 2,27 мм;  $M^3$  – 1,62;  $M_1$  – 2,12. Антерокон на  $M^1$  не разделен (см. рис. 13, *a*). Задний край протоконида на  $M_1$  слегка либо заметно вогнутый (рис. 13, *b*). Антеролоф  $M^3$  представлен наружной и внутренней ветвями. Цемент во входящих складках отсутствует.

**Дополнительное описание.** Энтоконид и задняя наружная поперечная шпора на  $M_1$  противостоят. Ширина задней петли заметно меньше таковой на уровне энтоконида – наружная поперечная шпора. Образование второй марки в области передней петли не наблюдается (рис. 15). На слабо стертых зубах задняя петля и предшествующая ей эмалевые полей полностью разобщены (рис. 15, *a, b*). Ширина устья шейки в месте слияния протоконида и мезолофида чаще заметно превышает толщину эмали.  $M^3$ , кроме слабо развитого переднего флексуса, имеет по две входящих складки с каждой стороны

(рис. 15, *d*). Образование единственной марки осуществляется, по-видимому, за счет дополнительной внутренней входящей складки. Все верхние постоянные коренные имеют три, нижние – два корня. Наиболее развитый внутренний – всегда занимает центральное положение, никогда не смещаясь даже на  $M^3$  до уровня переднего наружного.  $M^1$  сильно вытянут в продольном направлении: ширина жевательной поверхности на уровне гипокон–метакон вдвое меньше ее длины.

**Сравнение.** Будет проведено по мере описания рода *Sarmatomys*.

**Состав рода.** Представлен единственным типовым видом, подробно описаным Фальбушем и Майром [58].

**Геологическое и географическое распространение.** Конец среднего миоцена Западной Европы, позднеастрацийские фауны, соответствующие 8-й биозоне Мейна. Соответствующая фауна: *Cricetidae*, *Cricetodon*, *Democricetodon*, *Megacricetodon*.

#### Род *Sarmatomys* *Topachevski et Scorik*, 1988

**Типовой вид:** *S. podolicus* *Topachevski et Scorik*, 1988.

**Диагноз.** Размеры сходные с таковыми предыдущего рода: длина  $M^1$  – 2,05 мм; длина  $M_1$  – 1,95. Антерокон на  $M^1$  разделен (рис. 16, *a, б*). Задний край протоконида  $M_1$  выпуклый (рис. 16, *в, г*). Цемент во входящих складках отсутствует.

**Дополнительное описание.** Энтоконид и задняя наружная поперечная шпора на  $M_1$  характеризуются альтернативным расположением. Ширина задней петли примерно равна таковой зуба на уровне двух предыдущих эмалевых полей. Передняя петля с двумя марками (рис. 16, *е*). Ширина устья шейки в месте слияния протоконида и мезолофида меньше толщины эмали. Соотносительные размеры коронки  $M^1$  такие же, как у предыдущего рода. По строению корней также сходен с предыдущим.

**Сравнение и замечания.** Основные отличия от *Microtocricetus*: сильно раздвоенный антерокон на  $M^1$ , выпуклость заднего края протоконида на  $M_1$ , большая степень дифференциации протоконида и мезолофида, альтернативность в расположении энтоконида и задней наружной поперечной шпоры, наличие двух марок на передней петле этого зуба.

Таким образом, этот род сочетает в себе ряд примитивных признаков с чертами высокой эволюционной продвинутости. К числу первых относится, по-видимому, первичная расчлененность антерокона на  $M_1$ , ко вторым – все перечисленные выше особенности строения  $M_1$ , наблюдавшиеся впоследствии лишь у полевкоzубых *Hesperomysinae* и особенно у *Microtinae*.

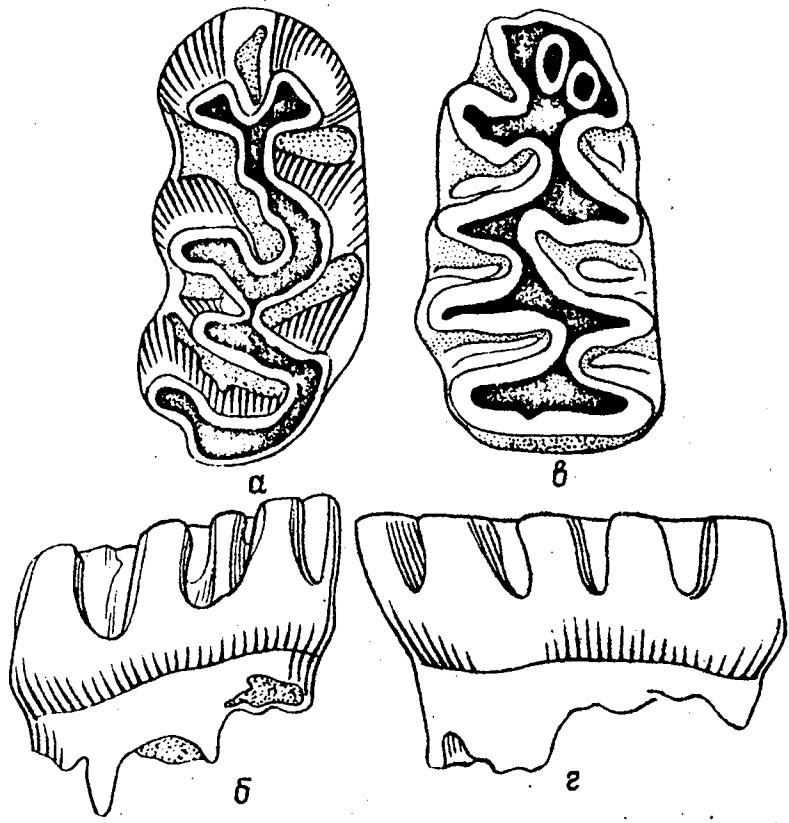


Рис. 16. *Sarmatomys podolicus* Top. et Scor., средний сармат, Грицев:  
а –  $M^1$ , в –  $M_1$ , жевательная поверхность; б, г – наружная сторона

От *Tsaganocricetus* резко отличается значительно меньшими размерами, отсутствием цемента во входящих складках и принципиально иным строением  $M^3$ .

**Состав рода.** Единственный вид *S. podolicus* Topachevski et Scorik, 1988, из среднего сармата окрестностей с. Грицев Шепетовского р-на Хмельницкой обл. Украины.

**Геологическое и географическое распространение.** Первая половина валлезия юга Восточной Европы. По всей вероятности, соответствует верхам 9-й биозоны Мейна.

*S. podolicus* Topachevski et Scorik, 1988

**Голотип:** горизонтальная ветвь нижней челюсти с  $M_1$ , средний сармат окрестностей с. Грицев Шепетовского р-на Хмельницкой обл.

Сохраняется в фондах отдела палеозоологии и палеонтологического музея ИЗАН Украины № 22–1772.

**Паратип:** изолированный  $M^1$ , происходит из того же местонахождения. Хранится там же, № 22–1773.

Диагноз, описание и сравнение совпадают с таковыми рода.

#### ПОДСЕМЕЙСТВО CRICETINAE MURRAY, 1866

##### Род *Kowalskia* Fahlfbusch, 1969

**Типовой вид.** *Kowalskia polonica* Fahlfbusch, 1969; древний шлиоцен – древний русиний Польши (Подлесница), 14-я биозона Мейна.

**Диагноз.** Размеры от мелких до средних, приближающиеся к таковым *Mesocricetus*. Тип строения жевательной поверхности по степени сложности также сходен с таковым эволюционно слабо продвинутых *Cricetulodon*. Однако  $M^2$  всегда с четырьмя корнями.

**Описания.** Антерокон на  $M^1$  всегда раздвоен. Это четко фиксируется на нестерптих, слабо и средне стерптих зубах. Степень дифференциации элементов антероконида на  $M_1$ : чаще 2, иногда 3 бугорка. Обычно вплоть до средней стадии стертости четко фиксируется на передней поверхности зуба, но может и не проявляться. Передний гребень паракона на  $M^2$  всегда хорошо выражен, что обуславливает образование передней марки. На  $M^1$  и  $M^3$  обычно развит в той или иной степени. В отдельных случаях может отсутствовать. Коронка  $M^1$  на уровне антерокона расширена – признак, свойственный всем последующим во времени евразиатским *Cricetinae*, проявляющий тенденцию к усилению. Корневая формула  $M^1$  варьирует: три-четыре корня у позднемиоценовых, эволюционно слабо продвинутых форм, четыре – у более поздних шлиоценовых видов. Мезолоф на  $M^1$  и мезолофид на  $M_1$  имеются, хотя проявляют тенденцию к редукции: в одних и тех же популяциях наряду с сильно развитыми могут встречаться экземпляры даже с полностью редуцированными этими элементами зуба. Это в полной мере касается и наружной передней поперечной шпоры. Стили на  $M^1$  –  $M^3$  в виде бугорков или валиков, слабо или умеренно развитые.  $M_2$  –  $M_3$  продольно не вытянуты. Резцы сильно вытянуты по передне-заднему поперечнику и сжаты по ширине, с уплощенной передней поверхностью. Эмаль не заходит на внутреннюю грань, четко оконтуривая в виде валика ребро – границу передней и внутренней граней. Сочлененный отросток нижней челюсти крицетинного типа: не характеризуется резким сужением в направлении нижнечелюстного мышелька. Задний край резцового отверстия располагается несколько впереди переднего края альвеолы  $M^1$ , однако на значительном удалении от по-

ледней. Гребень, оконтуривающий задненаружный край этого отверстия, отсутствует либо едва намечен.

Сравнение. По типу строения жевательной поверхности постоянных коренных и их корневой формуле занимает промежуточное положение между эволюционно наиболее продвинутыми *Cricetodontinae*, прежде всего рода *Cricetulodon*, и последующими во времени собственно *Cricetinae* Старого Света. С корнями их обнаружает схожение таких архаических признаков, как крайняя сложность в рамках указанного подсемейства в строении жевательной поверхности  $M_1 - M_2$  и нестабильность корневой формулы  $M^1$ . Существенное отличие — наличие четырехкорневых  $M^2$ .

От всех последующих во времени и синхронно существовавших евроазиатских *Cricetinae*, включая современных, что то отличается наличием у большей части популяций, входящих в состав рода видов, мезолофа и соответственно мезолофид на  $M_1 - M_2$ . У всех прочих вымерших и ныне живущих *Cricetinae* мезолоф и соответственно мезолофид на  $M_1 - M_2$  отсутствуют, хотя последний может проявляться на  $M_3$ . В отдельных случаях следы мезолофа могут сохраняться на указанных молярах у позднемиоценовых и древнеплиоценовых *Pseudocricetus* gen. nov. (включены *C. kottaei* и близкие к нему формы), а также у среднеплиоценовых *Odessamys* gen. nov. (описывается далее) Северо-Западного Причерноморья, плиоценовых центральноазиатских *Sinocricetus* и *Nannoocricetus*, а также у среднеплиоценовых западноевропейских, илио- и илестоценовых азиатских *Cricetinus*. Следы мезолофид на  $M_1 - M_2$  проявляются реже, хотя отмечены промежуточно на  $M_2$  у *Cricetinus* и близки к нему современных *Tscherskia*. Для всех них свойственна также полная корневая формула для  $M^1$  — четыре корня. Следует, однако, отметить, что трехкорневые  $M^1$  изредка встречаются у древнейших популяций видов *Pseudocricetus*, в равной мере как и наличие в довольно частой повторности свободного, правда наполовину укороченного, мезолофид на  $M^2$ . Однако чаще всего, а у позднемиоценовых и понтических (в приложении к восточноевропейской регион ярусной схеме) — почти всегда этот элемент зуба трансформируется либо, что вероятнее, поглощается передним гребнем метакона. Таким образом, и этот признак, свойственный более поздним низшим хомячим Евразии, полностью стабилизируется, начиная с позднего миоцена.

В числе других архаичных признаков, обуславливающих усложнение жевательной поверхности  $M^1$ , следует рассматривать наличие почты у всех видов *Kowalskia* в той или иной степени развитой передней поперечной шпоры, отсутствующей у прочих евроазиатских *Cricetinae*. Возможно, проявляется в нескольких случаях у современных *Tscherskia*.

Более часто встречаются перечисленные выше элементы сложности  $M^1 - M^2$  у мэотических *Stylocricetus* gen. nov. (описан далее)

40  
Западное Причерноморье Украины. Но *Kowalskia* четко отличается от последних заметно меньшей высотой коронок всех без исключения постоянных коренных, а главное значительно более слабым развитием всех стилей на  $M^2 - M^3$ , не трансформированных в дополнительные продольные гребни, замыкающие устья наружной и внутренней входящих складок — русциномисский тип, свойственный *Stylocricetus*. Кроме того,  $M_2^2 - M_3^3$  у *Kowalskia* не вытянуты столь сильно в продольном направлении, как это имеет место у *Stylocricetus* (рис. 17, 18). Последний признак также четко показывает разницу между коренными зубами *Kowalskia* и близкими по размерам *Mesocricetus*. Кроме того, от *Stylocricetus* отличается более сдвинутым вперед по отношению к передним краям альвеол  $M^1$  задним краем резцового отверстия и значительным расстоянием между последним и внутренними краями альвеол этого зуба (далее будет применяться термин расширенный или суженный костный мостик между ними; рис. 19).

Сравнение с *Calomyscus* не проводилось, поскольку, помимо принципиально иного типа строения постоянных коренных, этот род характеризуется рядом кариологических особенностей, ставящих под сомнение его принадлежность к собственно *Cricetinae*. Вполне возможно, что в дальнейшем, по мере специального изучения этого вопроса, его придется объединять с низшими хомячими Нового Света — подсемейством *Hesperomysinae*.

Замечания. Род *Kowalskia* объединяет древнейших настоящих *Cricetinae* Евразии, находящихся, как отмечалось, в прямой филогенетической связи с наиболее поздними по времени своего существования *Cricetodontinae* — род *Cricetulodon*. Этим и объясняется своеобразное сочетание архаичных и прогрессивных признаков в строении жевательного аппарата. В сущности, тип строения жевательной поверхности постоянных коренных, свойственный представителям этой группы низших хомячих, уже в полной мере оказывается сложившимся у наиболее поздних *Democricetodon* и *Cricetulodon*, будучи унаследованым в основных своих чертах древнейшими представителями рода *Kowalskia*. В дальнейшем развитие рода шло лишь в направлении частичной утраты сложности жевательной поверхности постоянных коренных и стабилизации корневой формулы  $M^1$ . Судьба рода в филуме *Cricetinae* на современном уровне информативности проблематична. Однако есть все основания полагать, что древнейшие представители его могут находиться у истоков *Pseudocricetus*, которые, в свою очередь, могли дать начало другим ветвям евроазиатских *Cricetinae*, по крайней мере *Allocricetus*, и, возможно, филогенетически близких *Cricetus*, *Allocricetus* и *Rhodopus*. Во всяком случае, черты свойственной *Kowalskia* архаики, хотя изредка, но все еще сохраняются у *Pseudocricetus*, что, несомненно, является веским свидетельством происхождения их от форм, имеющих мезолоф и соответственно мезолофид на двух перед-

них постоянных коренных и нестабильную корневую формулу  $M^1$ . В этом плане предками указанной группы в равной мере могли быть как Kowalskia, так и Cricetulodon, хотя первая предпочтительнее, поскольку на этом эволюционном этапе (позднесарматские в Восточной и древнетурецкие в Западной Европе *K. fahlbuschi*) уже достаточно четко выражены расширение коронки  $M^1$  на уровне антерокона, частичное упрощение жевательной поверхности, а главное – появление в популяциях особей с четырехкорневым  $M^1$ . Кроме того, геологически появление *Pseudocricetus* фиксируется несколько позже такового Kowalskia. Так, в пределах северного участка Восточной Паратетиды достоверные остатки представителей рода Kowalskia известны, начиная с позднего сармата, а первые *Pseudocricetus* появляются лишь в древнем мэотисе. В условиях Западного и Центрального Паратетиса находки первых зафиксированы в древнем туролии (11-я биозона), а вторых – в позднем туролии (13-я биозона). Исходя из этого, по-видимому, преждевременно отказываться от рассмотрения рода Kowalskia как одной из возможных узловых групп в филогении евроазиатских Cricetinae. В дальнейшем же четко прослеживается параллельное развитие филумов Kowalskia, с одной стороны, и *Pseudocricetus* – *Allocricetus* – с другой.

Валидность названия *Kowalskia* в последние годы ставилась под сомнение [72, 81], поскольку для одной из форм хомяковых из плиоцена Северного Китая С.Шаубом [87] было введено название *Neocricetodon*. Впоследствии к этому роду были отнесены остатки некрупных хомяков из позднего валлезия (10-я биозона) Венгрии (местонахождение Чаквар). Эта форма, равно как и китайская, по степени сложности жевательной поверхности постоянных коренных очень близка к Kowalskia и Cricetulodon. Поэтому проблема синонимики сопряжена со значительными трудностями, поскольку на скучной информативной основе требуется установить: тождественность в своей родовой принадлежности венгерских и китайских материалов, принадлежность их именно Kowalskia, а не Cricetulodon, поскольку оба рода в равной мере могут присутствовать в отложениях этого стратиграфического уровня. К сожалению, эти вопросы при недостатке одонтологического материала просто не находят ответа без непосредственного изучения типовых коллекций. Поэтому в настоящее время сохранение названия *Kowalskia* представляется вполне оправданным.

Состав рода. 6 вымерших видов: *K. polonica* Fahlbusch, 1969, древний плиоцен (древний руссийский, 14-я биозона) Польши, местонахождение Подлесицы; *K. magna* Fahlbusch, 1969, оттуда же; *K. intermedia* Fejsar, 1970, средний плиоцен (поздний руссийский, 15-я биозона) Чехо-Словакии; *K. fahlbuschi* Bachmayer et Wilson, 1970, поздний миоцен (туролий 11–12-я биозоны) Южной и Центральной Европы; *K. progressa* sp. nov., середина позднего миоцена (поздний сармат) Западного

Причерноморья Украины; *K. complicidens* sp. nov., древний плиоцен (нижний понт) Западного Причерноморья Украины, местонахождение Фрунзовка 2.

Как отмечалось ранее, *K. levocati* Hugueney et Mein, 1965 ввиду наличия в типовой серии только трехкорневых  $M^2$  подлежит исключению из состава рода. Описания под этим видовым названием формы из туролия юга Западной Европы – *K. cf. levocati* из Пикерми в Греции [47] и Pont-de-Gail во Франции [64] ни в коей мере не могут быть отождествлены с этим видом, поскольку имеют четырехкорневые  $M^2$ . Исходя из этого их принадлежность к роду Kowalskia сомнений не вызывает. Однако на основе имеющихся немногочисленных материалов видовая принадлежность остается открытой. Судя по мелким размерам имеющихся зубов, можно лишь утверждать проблематичную близость этих форм к сравнительно мелким туролийским видам *K. fahlbuschi* и *K. progressa*.

Геологическое и географическое распространение. Поздний миоцен – средний плиоцен (туролий – поздний руссийский, 11–15-я биозоны) Западной Европы; вторая половина позднего миоцена (поздний сармат, мэотис) – древний плиоцен (понт) юго-запада Украины.

#### *K. progressa* Topachevski et Scorik, sp. nov.

Голотип. Обломок верхнечелюстной кости с полностью сохранившимся рядом  $M^1$  –  $M^3$ ; Новоелизаветовка, нижний слой – гравелиты ниже известного местонахождения крупных млекопитающих гиппарионовой фауны; вторая половина позднего миоцена – поздний сармат. Сохраняется в коллекциях отдела палеозоологии и палеонтологического музея ИЗАН Украины, № 47.

До полнительный материал. Обломок верхнечелюстной кости с  $M^1$  –  $M^2$ , то же с  $M^2$  –  $M^3$ , изолированные верхние постолинные коренные:  $M^1$  – 17 экз.,  $M^2$  – 7,  $M^3$  – 10, обломок нижней челюсти с  $M_2$  –  $M_3$ , изолированные нижние постоянные коренные:  $M_1$  – 9,  $M_2$  – 8,  $M_3$  – 6 экз. Все происходят из того же местонахождения, что и голотип.

Диагноз. Один из наиболее мелких представителей рода по абсолютным размерам занимает промежуточное положение между более мелкой *K. polonica* и несколько более крупной *K. fahlbuschi* (рис. 17, 18). Антерокон  $M^1$  расщеплен сильнее, чем у всех прочих видов рода: глубина вырезки, разделяющей антерокон и экстераантерокон спереди и характеризующая свободную неслитую часть последних, не менее 1/3 передней высоты коронки (рис. 21). Последняя расширена в области антерокона. Мезолоф проявляет значительную тенденцию к редукции: примерно у 60 % экземпляров  $M^1$  имеет полу-

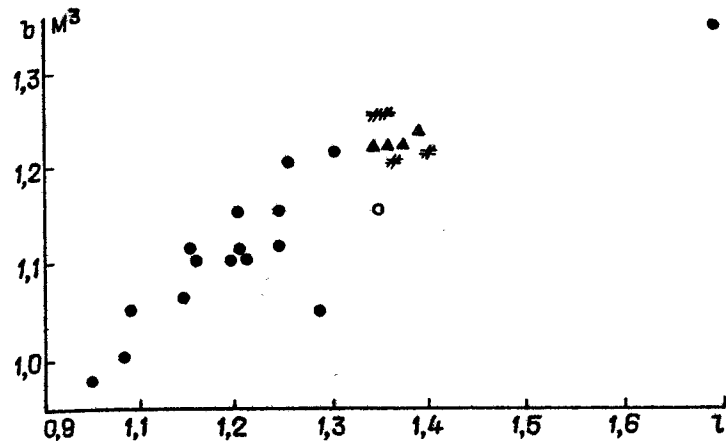
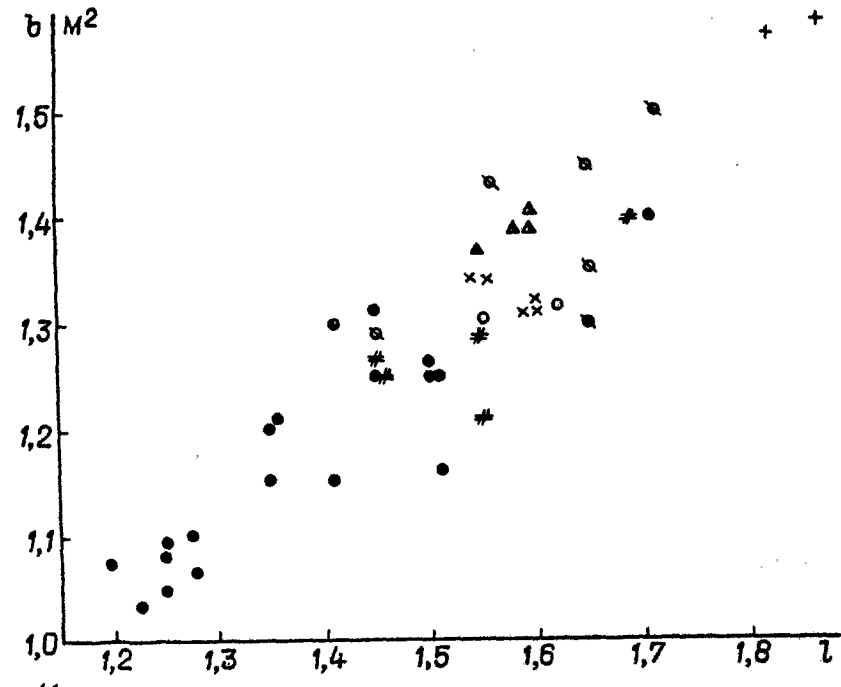
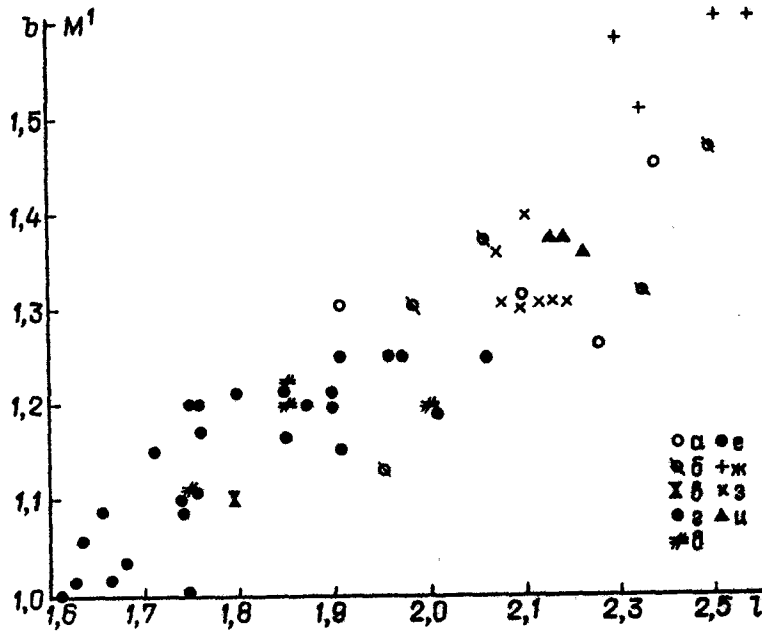


Рис. 17. Kowalskia отношение длины ( $l$ ) к ширине ( $b$ )  $M^1 - M^3$  видов:  
 $a$  - *Kowalskia complicidens* sp. nov., Фрунзовка 2;  $b$  - *K. aff. fahlbuschi*, Фрунзовка 2;  $c$  - *Kowalskia* sp., Виноградовка, нижний слой;  $d$  - *K. cf. fahlbuschi*, Новоелизаветовка 3;  $e$  - *K. polonica*, Польша;  $f$  - *K. magna*, Польша;  $g$  - *K. intermedia*, Чехо-Словакия;  
 $h$  - *K. fahlbuschi* Bachmayer et Wilson, Южная и Центральная Европа

винную длину или даже трансформируется в передний гребень метакона, или поглощен последним (рис. 20). Корневая формула  $M^1 - 3-4$ : примерно у трети популяций корней четыре, в остальных случаях четко выражены следы к раздвоению внутреннего корня (рис. 21).

**Описания.** Передняя вырезка антерокона четко фиксируется вплоть до сильно стертых зубов, исчезая практически только на конечных стадиях износа жевательной поверхности. Связь антерокона с протоконом обычно осуществляется через задний гребень интероантерокона. Тогда экстераантерокон сохраняется в виде изолированного бугорка (рис. 20,  $a, b$ ). Примерно у 30 % экземпляров имеет место двойная связь, что обусловлено наличием заднего гребня экстераантерокона, или, скорее всего, спецификой строения передней попоперечной щипоры. В обоих случаях по мере стирания зуба гребни антерокона и край антероконной вырезки образуют антероконную марку. У 50 % экземпляров наблюдается полное развитие передней попоперечной щипоры: длинной, заканчивающейся у лабиального края коронки вплотную к пастилю, либо с пастильным расширением (рис. 20,  $a, b$ ). У 25 % экземпляров она имеет половинную длину. И в том, и в другом случае эта щипора располагается попоперечно по отношению к продольной оси жевательной поверхности (рис. 20). У остальных либо не проявляется, либо в сильно укороченном виде оказывается прижатой к экстераантерокону, выполняя роль ложного заднего гребня последнего. Таким образом, не лишено основания высказанное выше пред-

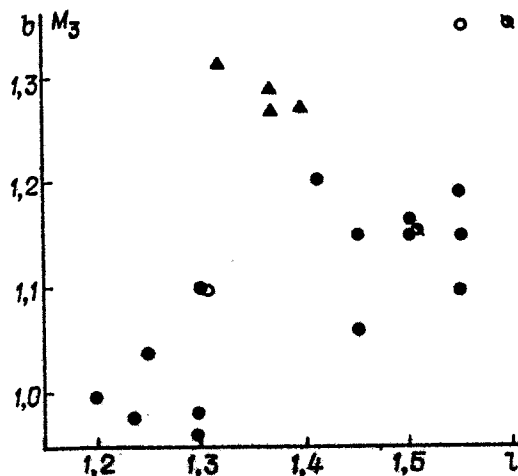
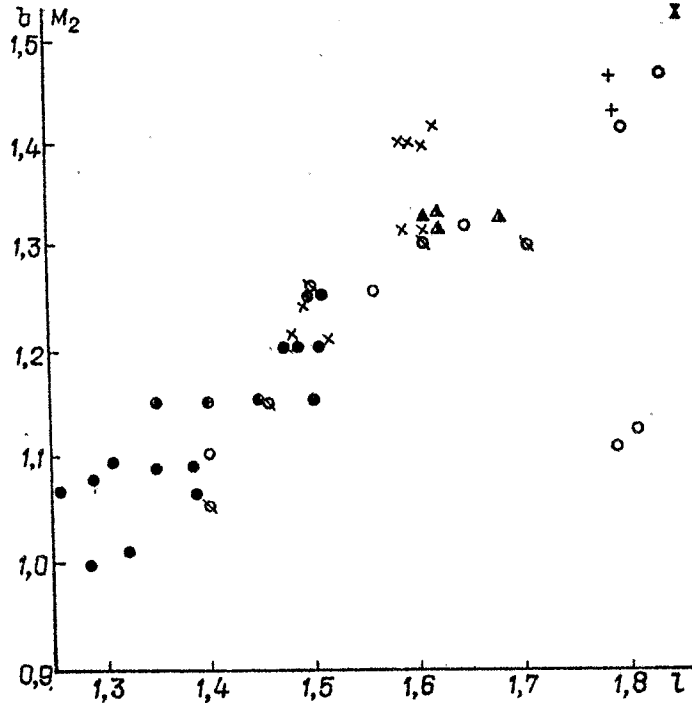
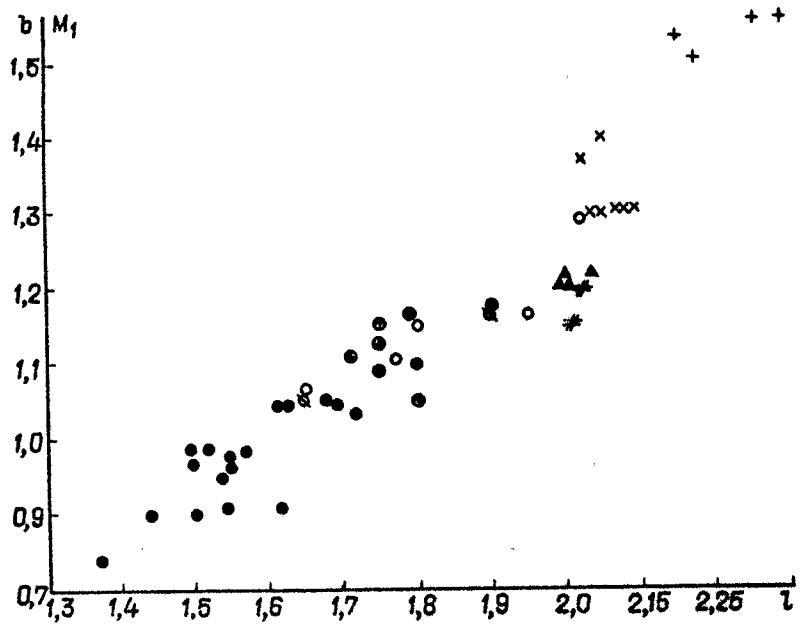


Рис. 18. Kowalskia, отношение длины ( $l$ ) к ширине ( $b$ )  $M_1 - M_3$ . Условные обозначения те же, что и на рис. 17

Не наблюдался в двух случаях. Передний гребень метакона, как правило, не выражен. Если имеется, то крайне укорочен, представляя собой, в сущности, небольшой, направленный назад вырост мезолофа (рис. 20, в). Его роль в образовании задней марки выполняет чаще всего укороченный, склоненный назад мезолоф.

При нонеречном положении последнего задней марка остается открытой (рис. 20, а). Задний гребень метакона всегда хорошо развит, контактирует с задним воротничком и образует относительно небольшую постлерофическую марку (рис. 20, а, б, г). Парастиль и мезостиль четко обозначены примерно у половины экземпляров. В менее четкой повторности могут слегка проявляться и внутренние стили — экто- и протостиль. Специфика строения корней отражена в диагностике вида.

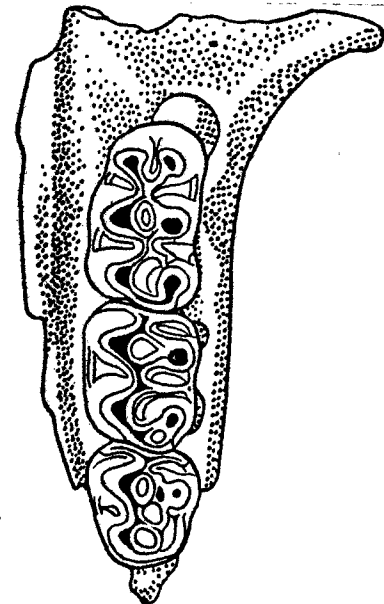


Рис. 19. Kowalskia progressa sp. nov., поздний сармат, Новоелизоветовка, нижний слой, задненебный отдел черепа с зубным рядом  $M^1 - M^3$  (голотип)

положение, что двойная связь антерокона с протоконом преимущественно осуществляется через ложный его задний гребень, который, в сущности, представляет собой изменившую свое положение — смещенную и склоненную вперед — переднюю поперечную шпору (рис. 20, г). Передний гребень паракона в подавляющем большинстве случаев в той или иной мере выражен, чаще хорошо развит, что и обуславливает почти постоянное наличие замкнутой передней марки.



Рис. 20. *Kowalskia progressa* sp. nov.,  $M^1 - M^2$ , поздний сармат, Новоелизаветовка, нижний слой, жевательная поверхность (зубные ряды составлены)

Передний воротничок на  $M^2$  всегда раздвоен (рис. 20). Однако часто его внутренняя ветвь сильно скошена по отношению к плоскости жевательной поверхности. У 3 экз. он располагается с ней в одной плоскости. Мезолоф всегда хорошо развит, как правило, длинный — достигает лабиального края жевательной поверхности, со слегка выраженным мезостильным расширением. В трех случаях немного не доходит до соответствующего края жевательной поверхности (рис. 20, 2). При этом обычно отсутствует и мезостиль. Передний гребень паракона всегда хорошо развит, метакона — чаще не проявляется (рис. 20, 3). Практически его наличие наблюдается менее чем у 50 % экземпляров. Обычно находится в прямой связи с мезолофом (рис. 20, 4). Задний гребень метакона всегда в той или иной мере развит. При подобном строении гребней наружных бугорков передняя марка всегда хорошо выражена на всех стадиях стертости зуба, задняя у большинства экз.

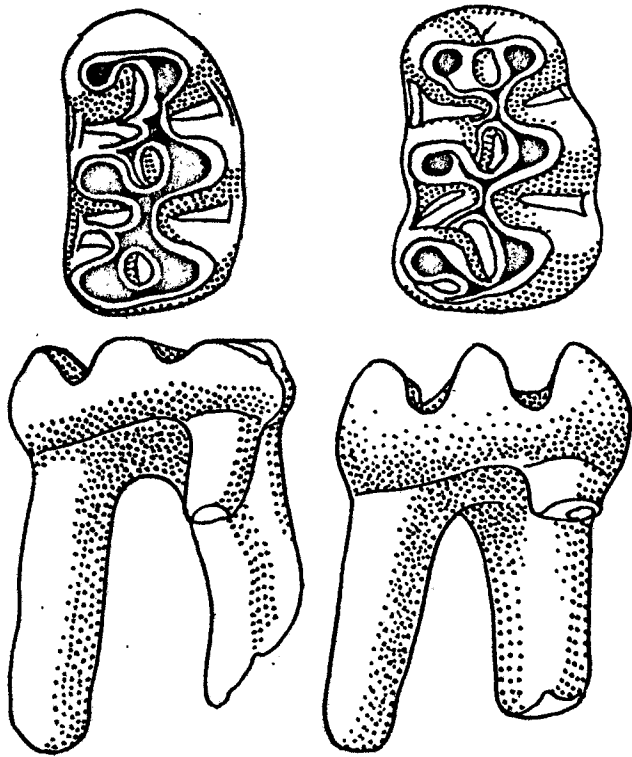


Рис. 21. *Kowalskia progressa* sp. nov., строение корней  $M^1$ , поздний сармат, Новоелизаветовка, нижний слой

зимшляров остается открытой. Задний воротничок всегда хорошо развит, оконтуривает сзади основание метакона и вместе с задним гребнем последнего образует небольшую наружную постеролофную марку. Зуб характеризуется постоянно установившейся корневой формулой — четыре корня. Какие-либо следы сращения внутреннего корня отсутствуют.

$M^3$ , по-видимому, относительно довольно крупный (см. рис. 17), с хорошо развитым гипоконом (рис. 20, а, б). Метакон также всегда четко обозначен, а у отдельных экземпляров даже крупный, в виде хорошо выраженного бугорка. Как и на  $M^2$ , передний воротничок всегда раздвоен. Его строение во многом напоминает таковое  $M^2$ , однако внутренняя ветвь более редуцирована — едва намечена примерно у 30 % выборочного материала. В менее частой повторности встречаются экземпляры с нескошенным положением этой ветви по отношению к плоскости жевательной поверхности. Передний гребень паракона почти всегда хорошо развит, что обуславливает соответствующее раз-

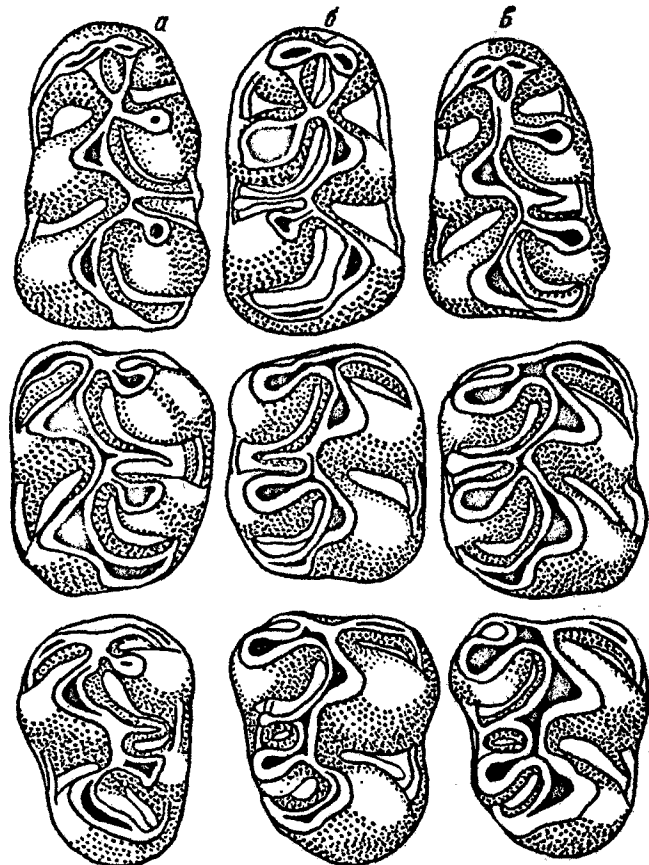


Рис. 22. *Kowalskia progressa* sp. nov.,  $M_1 - M_2$ , поздний сармат, Новоелизаветовка, нижний слой (зубные ряды составлены)

вление передней марки. Его отсутствие констатировано единожды (рис. 20, а). Мезолоф, вероятно, слит с передним гребнем метакона, что приводит к почти постоянному наличию задней марки. Открытая марка наблюдалась один раз. Как дополнительный элемент сложности, следует отметить наблюдающийся в очень частой повторности вырост мезолофа, направленный косо вперед, который, входя в контакт с основанием протокона, либо реже с задним гребнем паракона, приводит к образованию дополнительной марки в области внутренней части наружной входящей складки. Зуб имеет три корня.

Антероконид на  $M_1$  всегда четко разделен только на экстеро- и инteroантероконид (рис. 22). Наблюдающееся у многих других видов рода трех- и даже четырехбуторчатое его разделение отсутствует. Двой-

ная природа антероконида в разной степени фиксируется вплоть до конечных стадий стертости зуба (рис. 22, б). Связь его с последующей парой бугорков — протоконидом и метаконидом во всех наблюдающихся случаях двойная, посредством двух гребней (задних) — экстеро- и инteroантероконида, степень развития которых варьирует. Обычно сильнее развит задний гребень экстероантероконида, реже наблюдается обратная степень развития, либо гребни развиты примерно одинаково. При значительном развитии обоих, начиная со средней стадии стертости зуба, происходит образование антероконидной марки. Другие марки на этих зубах не образуются. Наружный гребень экстероантероконида всегда в какой-то мере выражен на нестертых и слабо стертых зубах. Проявляется на средне и сильно стертых зубах, поскольку принимает участие в образовании рисунка стирания. Разделение антероконида фиксируется и на передней его стенке — в виде двух зубцов, вырезка между которыми ниже переходит в продольное углубление, но не на стертых зубах, а, начиная со слабо стертых, — только в виде последнего. Метаконид и энтоконид имеют только передние гребни, направленные вперед (рис. 22). Мезолофид всегда есть, хорошо развит, преимущественно длинный — доходит или почти доходит до внутреннего края жевательной поверхности с мезостилидным расширением и без него. В двух случаях наблюдалась половинная длина мезостилида, а в одном он вообще не проявился. Задний воротничок хорошо развит, полностью оконтуривает основание энтоконида. Корней два, как и на всех последующих нижних постоянных коренных.

Передний воротничок на  $M_2$  хорошо развит, чаще всего раздвоенный (рис. 22). Однако внутренняя его ветвь проявляет заметную тенденцию к редукции. В единственном случае она почти полностью оконтуривает основание метаконида спереди, чаще имеет половинную, либо трехчетвертную длину. У 3 экз. передний воротничок едва намечен. Мезолофид всегда хорошо развит, преимущественно длинный — достигает лингвального края жевательной поверхности либо составляет 2/3 возможной полной длины (рис. 22, а). В отдельных случаях проявляются экто- и мезостилид. Почти на всех экземплярах в разной степени выражены мезокочид.

$M_3$  сравнительно крупный, возможно, в среднем крупнее  $M_2$  (см. рис. 18). Энтоконид всегда имеет вид бугорка, гребневидные aberrации не встречены (рис. 22). Передний воротничок, как и на  $M_2$ , раздвоен. Однако его внутренняя ветвь, по-видимому, в меньшей мере подвержена редукции, чем на предыдущем моляре. Во всяком случае, она остается четко выраженной на всех имеющихся экземплярах. Мезолофид хорошо развит, но изредка заканчивается на уровне внутреннего края жевательной поверхности. Обычно имеет трехчетвертную длину (рис. 22, а, в). Иногда может образовываться выступ в сторону основания метаконида, что способствует почти полному замыканию

внутренней части лингвальной входящей складки в марку. Обычно сильно развит мезостилидный гребень. В связи с этим уже на средие стертых зубах может проявляться и мезостилидная марка. На тех же стадиях стертости при слиянии заднего воротничка с энтоконидом образуется задняя марка (рис. 22, б).

*Сравнение.* От всех известных в настоящее время видов рода четко отличается значительно сильнее расщепленным антероконом  $M^1$ : вершины обоих бугорков — экстero- и интровертокона спереди остаются разобщенными на протяжении 1/3 и более высоты коронки. У всех прочих представителей *Kowalskia*, кроме, возможно, у части *K. intermedia*, эти элементы зуба спереди практически не разобщены, поскольку неслитые спереди экстero- и интровертокон фиксируются в виде зубцов на нестертых зубах — глубина вырезки, их разделяющей, спереди менее 1/4 высоты коронки. Четко отличается от *K. fahlbuschi* и особенно *K. magna* и *K. intermedia* меньшими, а от *K. polonica* заметно большими абсолютными размерами (рис. 17). Кроме того, у *K. progressa* практически отсутствует трехраздельный антероконид на  $M_1$ , встречающийся в популяциях прочих видов у половины и более особей. Не исключено также, что позднемиоценовые виды — *K. progressa* и *K. fahlbuschi* отличает от плиоценовых форм более длинный, менее прижатый к основанию метакон постлерооф  $M^1 - M^2$ , в связи с чем нестеролофная марка, особенно на  $M^2$ , остается более выраженной (рис. 20). Она едва помечена у *K. polonica* и *K. magna*, а у *K. intermedia* практически не образуется. От плиоценовых видов *K. progressa* четко отличается и корневой формулой  $M^1$  (3—4). У *K. polonica* и, по-видимому, *K. intermedia* — четыре корня, а у *K. magna* — три-четыре. Вместе с тем, *K. progressa* с плиоценовыми видами сближает четко выраженная тенденция к расширению коронки  $M^1$  в области антерокона.

По корневой формуле и характеру строения жевательной поверхности постоянных коренных наиболее близка к западноевропейской позднемиоценовой (ранний туролий) *K. fahlbuschi*. Однако сравнение с этой формой несколько затруднено в связи с недостаточным описанием типовой серии вида из *Kochfidisch* в Австрии [46]. Поэтому приходилось опираться на подробные описания близких форм — *K. cf. fahlbuschi* из примерно тождественных по геологическому возрасту и территориально отложений из местонахождения *Eichkogel* [53] и из местонахождений *Crevillente* 1—3 в Испании [48]. От *K. fahlbuschi* и близких к ней фаун, помимо меньших абсолютных размеров и сильнее выраженной дифференциации антерокона  $M^1$ , отличается:

- расширенным антероконным отделом  $M^1$ . Более сужен у *K. fahlbuschi* (рис. 20);
- постоянно двухраздельным антероконидом на  $M_1$ . Преимущественно трехраздельный (три бугорка) у *K. fahlbuschi*;

— сравнительно крупным  $M_3$ : несколько длиннее  $M_2$ . У *K. fahlbuschi* короче последнего;

— более развитым метаконом  $M^3$ : всегда проявляется в виде разной степени развития бугорка. У *K. fahlbuschi* преимущественно имеет гребенчатую структуру, проявляясь как бугорок у не более 10 % особей. Признак взят по *K. cf. fahlbuschi* из местонахождения *Eichkogel*. Однако, по всей вероятности, сходным образом ведет себя и серия остатков из *Crevillente*, безоговорочно относимая к этому виду;

— всегда хорошо выраженным в виде самостоятельного бугорка энтоконидом  $M_3$ . У *K. fahlbuschi* преимущественно имеет вид слегка расширенного гребня, а как самостоятельный бугорок проявляется у не более 20 % экземпляров;

— сильнее редуцированным мезолофом на  $M^1$ : имеет половинную длину либо вообще не выражен у более 60 % популяций. У более 85 % экземпляров *K. fahlbuschi* — длинный, достигающий лабиального края жевательной поверхности.

*Замечания.* Будучи одним из наименее древних представителей рода, *K. progressa* естественно сохраняет в своей организации ряд примитивных признаков — корневую формулу  $M^1$ , наличие мезолофа на верхних и соответственно мезолофида на нижних постоянных коренных и передней поперечной шпоры на  $M^1$ . Однако по многим особенностям в строении жевательной поверхности моляров оказывается эволюционно более продвинутой, чем даже многие из плиоценовых видов этого рода. К числу таких признаков относятся: четко выраженная редукция всех элементов сложности жевательной поверхности, хорошо дифференцированные метакон на  $M^3$  и энтоконид на  $M_3$ , а главное — значительная степень расщепления антерокона на  $M^1$  и полностью сложившаяся двойственная структура антероконида на  $M_1$ . В сущности, уже на этой эволюционной ступени в значительной степени начинает проявляться упрощенный общий план строения постоянных коренных, свойственный родовым группировкам последующих во времени евроазиатским *Cricetinae*, включая современных. Исходя из этого не исключена возможность прямой филогенетической связи *K. progressus*, или близких к ней форм, по крайней мере, с некоторыми, более поздними миоценовыми *Cricetinae*. Как показано далее, такая связь как будто намечается между ней и древнейшими мэотическими *Pseudocricetus* того же региона, т.е. не исключена прямая трансформация форм во времени. Об этом свидетельствует и тот факт, что в древнейшем мэотисе на той же территории фоновой группой *Cricetinae* становятся *Pseudocricetus*, но уже нет *Kowalskia*. В дальнейшем — средний мэотис и понт-периодически наблюдаются обратные проходрезы в западное Причерноморье Украины *Kowalskia*, причем определенное время развитие этих родов на указанной территории протекало параллельно — в ряде

местонахождений их остатки найдены совместно. Доминирование той или иной группы менялось в зависимости от смены ландшафтно-климатической обстановки. Есть все основания полагать, что преобладание *Pseudocricetus* приходится в основном на весь мэотис и древнейший понт. Последующие существенные палеогеографические события в зоне Паратетиса для изучаемого региона — трансгрессивные и регрессивные циклы понтического, а для Центральной Европы паннонского бассейнов, в сущности, и явились причиной всех многочисленных последующих изменений качественного состава низших хомячих северного участка Восточного Паратетиса в мэотисе и особенно в понте.

Геологическое и географическое распространение. Середина позднего миоцена — поздний сармат Западного Причерноморья Украины.

### *K. cf. fahlbuschi Bachmayer et Wilson, 1970*

Материал. Изолированные постоянные коренные:  $M^1$  — 4,  $M^2$  — 5,  $M^3$  — 4,  $M_1$  — 2 экз.; средний мэотис; Новоелизаветовка 3, гравелиты выше всемирно известного местонахождения крупных млекопитающих гиппарионовой фауны.

Описание. Размёры более крупные, чем у предыдущего вида, приближающиеся к таковым *K. intermedia* (см. рис. 17). Антерокон  $M^1$  заметно суженный, четко двураздельный. Однако спереди вырезка между экстero- и интероантероконом проявляется крайне слабо, либо вообще не выражена. Ее глубина заметно меньше  $1/4$  высоты переднего края коронки. Так же слабо развито переднее углубление, тянущееся по высоте антерокона. Корневая формула  $M^1$ , по-видимому, 3—4: на одном экземпляре, сохранившем корни, наблюдался полностью не разделенный внутренний корень, у другого — разделенный на половине своей длины. Связь антерокона с иротоконом осуществляется только через задний гребень интероантерокона (рис. 23). Передняя поперечная шпора в двух случаях длинная, в одном — приближается к половинной длине, в другом — вообще не проявляется. На трех зубах в разной степени выражен параптиль. Сама шпора всегда прижата к основанию экстeroантерокона, хотя направлена поперек продольной оси жевательной поверхности (рис. 23, б, в). Передний гребень паракона в трех случаях хорошо развит, в одном — не выражен. Передний гребень метакона наблюдается только у одного экземпляра. Степень развития мезолофа варьирует: у 3 экз. он длинный, доходит до наружного края жевательной поверхности, с хорошо выраженным мезостильным расширением, у 1 — имеет половинную длину. В последнем случае не проявляется и мезостиль: Постеролоф длинный, полностью оконтуривает основание метакона сзади и вместе с задним гребнем последнего обра-

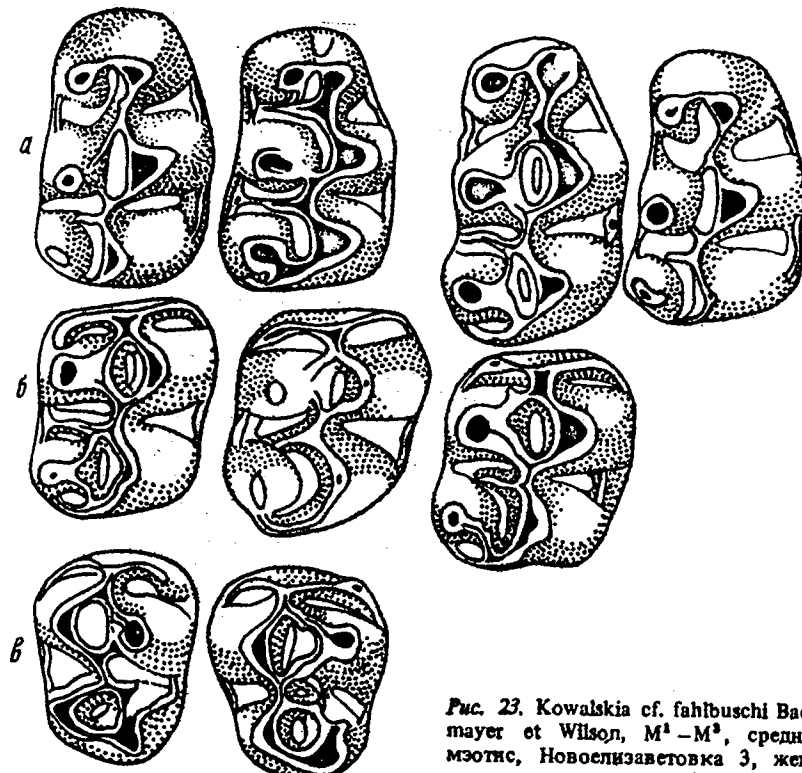


Рис. 23. *Kowalskia cf. fahlbuschi* Bachmayer et Wilson,  $M^1$ — $M^3$ , средний мэотис, Новоелизаветовка 3, жевательная поверхность

зует четко выраженную постеролофную марку. Энтостиль проявляется на всех экземплярах, протостиль оказался выраженным лишь на 2 экз.

Четырехкорневой  $M^2$  с раздвоенным передним воротничком (рис. 23). Лингвальная ветвь последнего всегда хорошо развита. Располагается преимущественно в одной плоскости с жевательной поверхностью (3 экз.). Реже (2 экз.) скосена по вертикали, хотя гребень сохраняет сильное развитие. Мезолоф всегда имеется. Преимущественно длинный: заканчивается у лабиального края коронки с обозначенным мезостильным расширением и без него (3 экз.). В остальных случаях имеет половинную длину. Всегда располагается поперечно. Передний гребень паракона всегда хорошо развит, в связи с чем передняя марка закрыта. Передний гребень метакона наблюдался в одном случае. Задний воротничок преимущественно длинный, полностью оконтуривает основание метакона сзади. На одном экземпляре имеет половинную длину. Однако во всех случаях происходит образование широкой постеролофной марки (рис. 23, а, в).

$M^3$ , как и предыдущий моляр, имеет преимущественно раздвоенный передний воротничок. Однако его внутренняя ветвь в большей

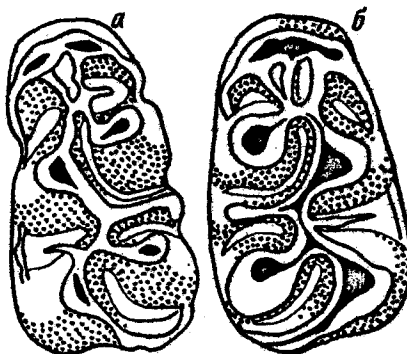


Рис. 24. *Kowalskia* cf. *fahlbuschi* Bachmayer et Wilson,  $M_1$ , средний мэотис, Новоелизаветовка 3, жевательная поверхность

двух случаях можно с известной долей вероятности предположить, что таковой имеется как самостоятельное образование, находящееся в прямом контакте с половиной длины мезолофом. Однако задняя марка оказывается всегда замкнутой, независимо от того, осуществляется ли это за счет переднего гребня метакона, или задней ветви вильчато раздвоенного конца мезолофа, даже если он не входит в контакт с последним через передний гребень, а связан с его задним гребнем. Иногда (1 экз.) имеет направленный назад и наружу вырост заднего гребня царакона, который, входя в контакт с передним, направленным косо вперед выростом вильчато раздвоенного конца мезолофа, может образовывать дополнительную мезолофную марку. В основном передняя ветвь мезолофа остается свободной. Во всех случаях мезолоф укорочен в пределах половинной длины. Постеролоф обычно слит с метаконом, хотя однажды наблюдался след постеролофной марки.

Антероконид  $M_1$  трехраздельный (двухбуторчатую структуру могут иметь или экстero- или интэроянтероконид), с невыраженным, либо слабо выраженным следами дифференциации бугорков на передней его стенке (рис. 24). Связан с протоконидом или посредством двух слабо выраженных задних гребней — интiero- и экстeroантеконида, или только последнего. На одном из зубов наблюдается след передней по-чечной щпоры — лингвальная ветвь антеролофулида, который также четко обозначен. Хорошо развиты также наружный и внутренний гребни антероконида, идущие соответственно к основаниям прото- и метаконида. Не исключено, что эти гребни принимают участие в образовании многовершинного антероконида. На одном из зубов имеется едва намеченный эктомезолофид (рис. 24, a). Мезолофид длинный, с четко обозначенным мезостилидным расширением. В обоих случаях

хорошо развит энтостилид. В гребенчатой структуре внутреннего гребня антероконида слабо проявляется метастилид. Передний гребень метаконида, располагаясь в одну линию с последним, направлен косо вперед, либо, сохраняя указанное направление, сильно изогнут, поскольку метаконид располагается трансверзально. Постеролофид хорошо развит, полностью оконтуривает основание энтоконида сзади.

**Сравнение.** Описанная форма по некоторым особенностям строения постоянных коренных выглядит явно более архаичной, чем предыдущий вид. Это, прежде всего, касается суженного антероконусного отдела  $M^1$ , и, по-видимому, многобугорчатой структуры антероконида  $M_1$ , хотя она повсеместно проявляется и у геологически более поздних древне- и среднеплиоценовых видов. Однако черты этой архаики как раз и сближают ее с популяциями *K. fahlbuschi* и близких к ней форм. Тем более, что в полной мере совпадают и их размерные показатели. Наиболее близки к новоелизаветовской форме популяции *K. fahlbuschi* из древнего туролия (11-я биозона) западного Паратетиса — местонахождения *Crevilente* 1–3. Очевидно, потому, что у них, как и у Новоелизаветовской формы, в отдельных случаях проявляются эктомезолофиды, что, по-видимому, не свойственно, по крайней мере, популяциям из зоны Паннонского бассейна, во всяком случае, у близкой к *K. fahlbuschi* серии зубов из *Eichkogel*. Вместе с тем, от всех без исключения видов рода новоелизаветовская форма отличается частичным сохранением такого древнего признака, как наличие элементов внутренней ветви антеролофулида. Однако для выделения ее на основании данного отличия в самостоятельный вид материала крайне недостаточно.

**Замечания.** *K. cf. fahlbuschi* среди низших хомячых указанного местонахождения не является фоновым видом. Численно здесь преобладают остатки в полной мере сложившихся *Pseudocricetus*. Следует также подчеркнуть, что местонахождение Новоелизаветовка 3 не отражает самого древнего этапа развития древнемезотических микротериофаун. В этом плане приоритет, несомненно, принадлежит червячанской древнемезотической фауне, лежащей почти в зоне контакта нижнемезотических и верхнесарматских отложений. Учитывая также, что в составе последней достоверные остатки *Kowalskia* не найдены, а также то, что по уровню эволюционной продвинутости древнечервячанская популяция *Pseudocricetus* более примитивна, чем таковая из Новоелизаветовки 2, появление в составе микротериофауны этого местонахождения представителя рода *Kowalskia* осуществилось, несомненно, путем повторного проходеза — второго, после некоторого перерыва во времени. Любопытно, что далее — в среднем и тем более позднем мэотисе в составе микротериофаун северного участка восточной Паратетиды группа вновь не проявляется.

Геологическое и географическое распространение. *K. fahlbuschi* в Западной Европе приурочена к древнему турилю, не выходя за границы 11-й биозоны. Близкие к ней формы из зоны западного Паратетиса, по всей вероятности, приурочены к низам 12-й биозоны (*Crevillente* 4, 5). По-видимому, новоелизаветовская *K. cf. fahlbuschi*, как и предыдущие формы 12-й биозоны, также отражает один из завершающих этапов существования видовых форм этой группы в условиях северного участка восточной Паратетиды, будучи приуроченной, очевидно, к отложениям верхних отделов нижнего, либо низам среднего мэотиса. Таким образом, геологический возраст и географическую приуроченность этой формы целесообразно определить так: завершающий этап древнего — начало среднего мэотиса западного Причерноморья Украины, местонахождение Новоелизаветовка 3, гравелиты выше всемирно известного местонахождения остатков крупных млекопитающих гиппарионовой фауны.

*K. complicidens* Topachevskii et Scorik,  
sp. nov.

Голотип. Обломок верхнечелюстной кости, сохранивший задний край резцового отверстия и  $M^1 - M^2$ ; древний шлюзен — поинт (вероятно, нижний) юго-запада Украины, местонахождение Фрунзевка 2; гравелиты, залегающие значительно ниже кучурганских отложений. Сохраняется в фондах отдела палеозоологии и палеонтологического музея ИЗАН Украины, № 48.

Дополнительный материал. Изолированные верхние постоянные коренные:  $M^1$  — 1 экз.,  $M^2$  — 4; обломок горизонтальной ветви нижнечелюстной кости с сохранившимся резцом и  $M_2 - M_3$ ; изолированные нижние постоянные коренные:  $M_1$  — 2,  $M_2$  — 2 экз. Местонахождение и место хранения — те же, что и для голотипа.

Диагноз. По размерам занимает промежуточное положение между *K. magna* и *K. intermedia*, отклоняясь в сторону последней (см. рис. 17). Антерокон на  $M^1$  сильно расщепленный: высота свободных частей интеро- и экстероантерокона спереди более 1/3 высоты коронки там же. Наружные стили на  $M^1 - M^2$  в виде высоких гребней, находящихся соответственно: пастиль на экстероантероконе; мезостиль на параконе сзади и метаконе спереди (рис. 25, а, б), участвуют в образовании общего рисунка стирания жевательной поверхности. Мезолоф всегда имеется, как правило, соединен с мезостильным гребнем. Корневая формула  $M^1 - 4$ .

Описаниe. По краиологическим показателям не может быть отнесен к *Stylocricetus*, хотя по степени развития стилей на верхних постоянных коренных параллелизм вполне очевиден. Так, у *K. complicidens* задние края резцовых отверстий расположены далеко впереди

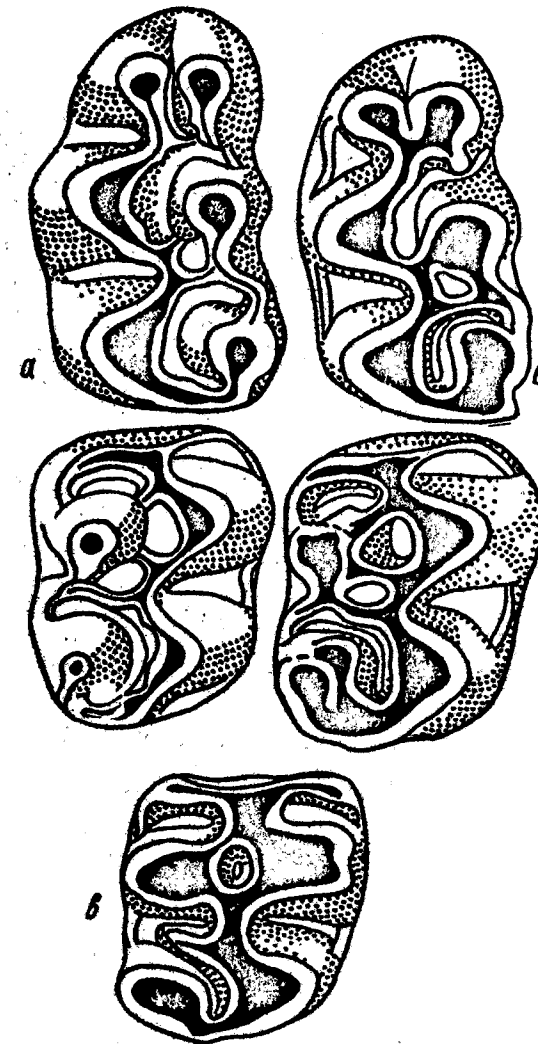


Рис. 25. *Kowalskia complicidens* sp. nov.,  $M^1 - M^2$ , поинт, Фрунзевка 2, жевательная поверхность

альвеоля  $M^1$  и значительно удалены от внутренних краев альвеол этого зуба (рис. 26). Характеризуется постоянным развитием мезолофа на  $M^1 - M^2$ , что, как правило, не свойственно представителям *Stylocricetus*. Не выражен также гребень, оконтуривающий задненаружные края резцовых отверстий.

Связь антерокона на  $M^1$  с протоконом даже на зубах средней

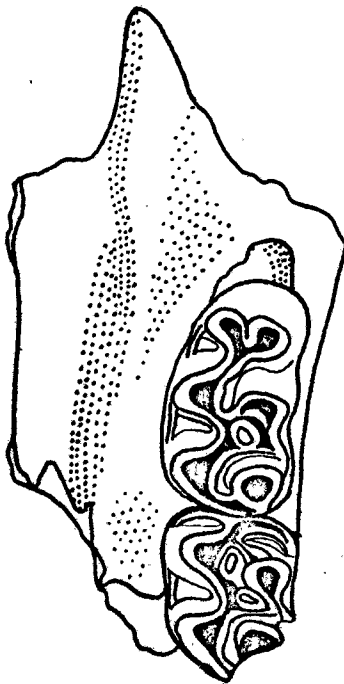


Рис. 26. *Kowalskia complicidens* sp. nov., задненебный отдел черепа с зубным рядом  $M^1 - M^2$ , понт, Фрунзевка 2 (голотип)

мощным мезостильным гребнем мезолоф образует четко выраженную почти на всех стадиях стертости дополнительную марку, оконтуренную спереди задним гребнем паракона (рис. 25, а, б). Задняя марка как самостоятельный элемент жевательной поверхности не образуется изза отсутствия переднего гребня метакона. Ее аналог представляет собой сложное образование, состоящее из закрытой мезостильным гребнем и мезолофом части задней наружной входящей складки и собственно задней марки. Постеролоф также трансформируется в сильно развитый высокий гребень, переходящий сзади на метакон, проявляясь вплоть до вершины последнего. Наружные стили не развиты. Характер строения корней отнесен в разделе "Диагноз".

$M^2$  в основном повторяет детали строения предыдущего моляра, естественно, без антерокона, который заменен передним воротничком. Кроме того, для него свойственно постоянное развитие переднего гребня, а следовательно, и обязательное наличие передней марки (рис. 25, а-в). Таким образом, паракон этого зуба характеризуется

стертыми осуществляется только через высокий задний гребень интероантерокона (рис. 25). Экстераантерокон сохраняет полную самостоятельность по отношению к протокону, поскольку его задний гребень сплачивается с пастильным, который не входит в контакт с основанием паракона. Передняя наружная поперечная шпора недоразвита, однако на значительно стертых зубах может входить в контакт с пастильным гребнем. Межгребневая антероконная ямка очень глубокая, остается сзади открытой вплоть до сильных стадий стертости. Как марка проявляется только на стадиях износа зубов, приближающихся к конечной (рис. 25, б). Передние гребни паракона и метакона отсутствуют, задние — хорошо развиты. Ввиду отсутствия переднего гребня паракона передняя марка представляет собой весьма сложное образование, поскольку включает почти закрытую пастильным гребнем наружную переднюю входящую складку и межгребневую антероконную ямку (рис. 25, а, б). Повсеместно контактирующий с

тройной, а в большинстве случаев даже четверной связью с остальными элементами жевательной поверхности — двойная с протоконом, через мезостильный гребень, проявляющийся вплоть до вершины этого бугорка, с мезолофом и в подавляющем большинстве случаев с наружной ветвью антеролофа, поскольку последняя также трансформируется в довольно высокий гребень, переходящий на переднюю стенку паракона, проявляющийся по высоте на большей части стенки, иногда вплоть до его вершины. В этом случае на всех стадиях стертости, за исключением, возможно, крайне изношенных зубов, происходит образование антеролофной марки. Внутренняя

ветвь переднего воротничка развита заметно слабее наружной, хотя всегда имеется. Как правило, она располагается в одной плоскости с жевательной поверхностью, реже скошена. Мезолоф, как и на  $M^1$ , чаще находится в тесном контакте с мезостильным гребнем и образует дополнительную марку, участвует также в образовании аналогов сложной задней марки. В единственном случае не входил в связь с мезостильным гребнем, в связи с чем дополнительная и аналог задней марки оказались слитыми. В отличие от  $M^1$ , вероятно, не происходит образования постлеролофной марки, поскольку задний воротничок чаще всего непосредственно переходит в смещенный лабильно задний гребень метакона (рис. 25, а-в). Зуб постоянно четырехкорневой.

В строении нижних постоянных коренных черты видовой специфики проявляются в меньшей мере, что полностью укладывается в общую схему эволюции такого признака, как общее усложнение коренных зубов у низших хомячих, что прослеживается в равной мере у Cricetodontinae и Cricetinae. Во всяком случае,  $M_1$  этого вида в целом сохраняет все черты организации, свойственные представителям рода Ковалския, хотя, как и у *K. progressa*, антероконид имеет двойственную

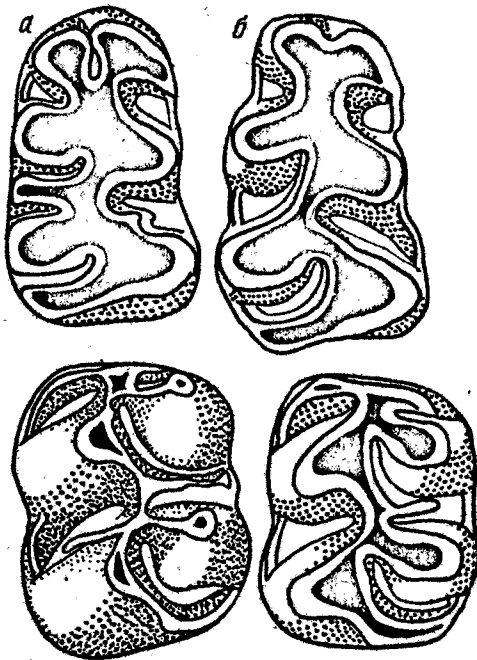


Рис. 27. *Kowalskia complicidens* sp. nov.,  $M_1 - M_2$ , понт, Фрунзевка 2, жевательная поверхность

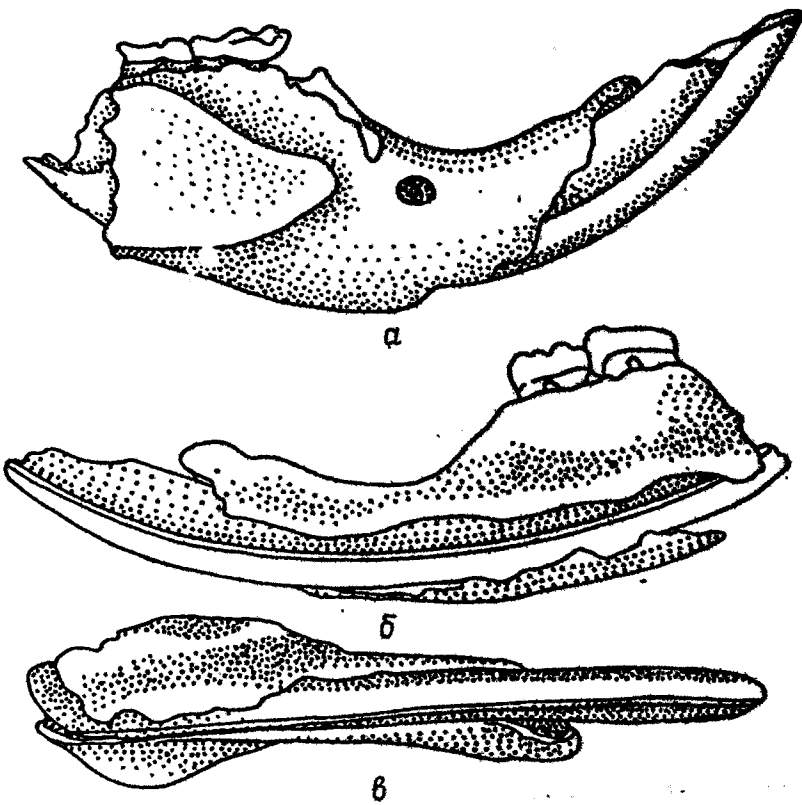


Рис. 28. *Kowalskia complicidens* sp. nov., строение нижней челюсти и резца, point 2:  
Фрунзовая 2:  
а – наружная сторона; б – внутренняя сторона; в – вид спереди

структуру – разделен на интеро- и экстероантеконид, причем следы такого разделения сохраняются на всех стадиях стертости, а вырезка между ними проявляется даже на сильно стертых зубах (рис. 27, б). Наверное, элементы антероконида соединены с протеконидом двойной связью, в связи с чем на отдельных сильно стертых зубах происходит образование антероконидной марки (рис. 27, а). Всегда хорошо развит наружный гребень экстероантеконида, который на сильно стертых зубах участвует в образовании общего рисунка стирания жевательной поверхности, проявляясь даже как вытянутый в продольном направлении дополнительный бугорок (рис. 27, а). Мезолофид длинный, достигает лингвального края жевательной поверхности, хотя может иметь мозичную структуру. В отдельных случаях проявляется также эктомезолофид (рис. 27, а).

$M_2$  с умеренно развитой внутренней ветвью переднего воротничка<sup>2</sup>,

которая может теряться на сильно стертых зубах (рис. 27, б). Мезолофид преимущественно с мезостилидным расширением и без него. Как и на  $M_1$ , в отдельных случаях проявляется половинной длины эктомезолофид (рис. 27, а).  $M_3$  крупный, не короче  $M_2$ , с длинным мезолофидом.

Нижний резец сильно сжат в широтном направлении, с почти уплощенной передней поверхностью (рис. 28). Эмаль практически не заходит на лингвальную сторону зуба, образует в зоне ребра между передней и внутренней его гранями продольный валик.

*Сравнение.* От всех известных в настоящее время видов рода четко отличается сильно развитыми, трансформированными в высокие гребни парап- и мезостилем на  $M^1$ , последним и наружной ветвью переднего воротничка на  $M^2$  и постлерофом на обоих упомянутых зубах, находящихся в вершинной связи с основными бугорками наружного ряда и мезолофом и участвующими в образовании единого специфического рисунка стирания наружной части их жевательной поверхности. Это и определяет усложненную структуру жевательной поверхности за счет образования не свойственных прочим представителям рода дополнительных марок, прежде всего мезолофной – на  $M^1$  и  $M^2$  и антеролофной – на  $M^3$ , что отражено в названии вида. По размерным показателям и степени сложности  $M^1$ – $M^2$  к ней наиболее близка среднешпиццевая центральноевропейская *K. intermedia*, имеющая наиболее сильно развитые стили из всех сравниваемых форм, кроме, конечно, *K. complicidens*. Однако эти образования у *K. intermedia* на  $M^1$  и особенно  $M^2$  развиты неизмеримо слабее и их нет в общем рисунке стирания для всего наружного края зубов. В связи с этим даже для *K. intermedia*, не говоря уже о других видах этого рода, не свойственно образование столь четко оконтуренных мезо- и антеролофной марок. Кроме того, перечисленные виды четко различаются по отсутствию у *K. complicidens* каких-либо следов внутренних стилей и переднего гребня паракона на  $M^1$ , всегда в той или иной мере развитых у *K. intermedia*.

*Замечания.* Гипертрофия в развитии стилей и воротничковых гребней в наружном ряду верхних постоянных коренных низших хомячих, очевидно, представляет собой одну из универсальных адаптаций к усилинию зеленоядности, свойственную многим независимым филумам этой группы грызунов, которая может рассматриваться как эволюционный путь по инадаптивному (но В.О.Ковалевскому) типу. Во всяком случае, это направление развития четко фиксируется среди *Cricetodentinae* в филуме *Cricetodon* – *Ruscinomys*, а среди *Cricetinae*, кроме *Kowalskia*, – в филуме *Pseudocricetus* – *Allocricetus*, боковую ветвь которого, по-видимому, составляют миоплиоценовые *Stylocricetus* юго-запада Украины. Все это, несомненно, типичное проявление параллелизма в отдаленно-родственных филогенетических ветвях. Подтверждением правильности отмеченной выше функциональной

оценки подобного адаптивного типа строения, хотя бы для обсуждаемых Cricetinae, может служить наиболее частое его проявление в пространственно-временных зонах аридности. Остатки *K. complicidens* как раз и приурочены к одной из наиболее аридных микротериофаун пойнта, возможно, соответствующей мессинскому кризису. Это сообщество мелких млекопитающих фиксирует первый проходез на уровне фона (доминанты I порядка) в северо-западное Причерноморье Украины пятипалых тушканчиков рода *Paralactaga* и достаточно далеко эволюционно продвинутых по типу строения жевательной поверхности постоянных коренных настоящих *Microtinae* рода *Ischytomys*. Вероятно, совпадает также с первым появлением среди крупных млекопитающих Camelidae в пределах западного Причерноморья Украины.

Геологическое и географическое распространение. Второй из древнейших этапов развития раннеплиоценовых – понтических микротериофаун западного Причерноморья Украины, местонахождение Фрунзовка 2, гравелиты, залегающие значительно ниже кучурганской толщи.

#### *K. aff. fahlbuschi Bachmayer et Wilson, 1970*

Материал. Изолированные верхние и нижние постоянные коренные:  $M^1 - 3, M^2 - 1, M^3 - 1, M_1 - 1, M_2 - 2$  экз. Все происходят из того же местонахождения, что и предыдущий вид.

Описание. Корневая формула  $M^1\ 4-3$ : в двух случаях наблюдалось наличие четырех корней и лишь в одном – трех. В сущности, этот признак и значительно более поздний геологический возраст находок заставляют воздержаться от их безоговорочного отождествления, как с типовыми *K. fahlbuschi*, так и со среднемезотической *K. cf. fahlbuschi* из Новоелизаветовки 3, которая имела корневую формулу 3–4. Кроме того, нижнепонтических *Kowalskia* этой группы отличает от *K. fahlbuschi* резко выраженная двойственная структура антероконида  $M_1$ . Преимущественно трехраздельный у *K. fahlbuschi* и *K. cf. fahlbuschi* из Новоелизаветовки 3. По остальным показателям проявляют значительные черты сходства. Примерно совпадают и их размерные признаки (см. рис. 17).

$M^1$  со сравнительно узким антероконом. Степень разобщенности интеро- и экстераантерокона спереди незначительна: вырезка, их разделяющая, спереди едва намечена, сзади – довольно глубокая и при наличии элементов заднего гребня экстераантерокона может образовывать небольшую антероконную марку. Соединение антерокона с протоконом осуществляется преимущественно через хорошо развитый задний гребень интероантерокона (рис. 29). Задний гребень экстераантерокона чаще слабо развит, реже – вообще отсутствует. В первом случае он крайне укорочен и входит в контакт с хорошо развитым задним гребнем интероантерокона (рис. 29, а). Строение передней наружной

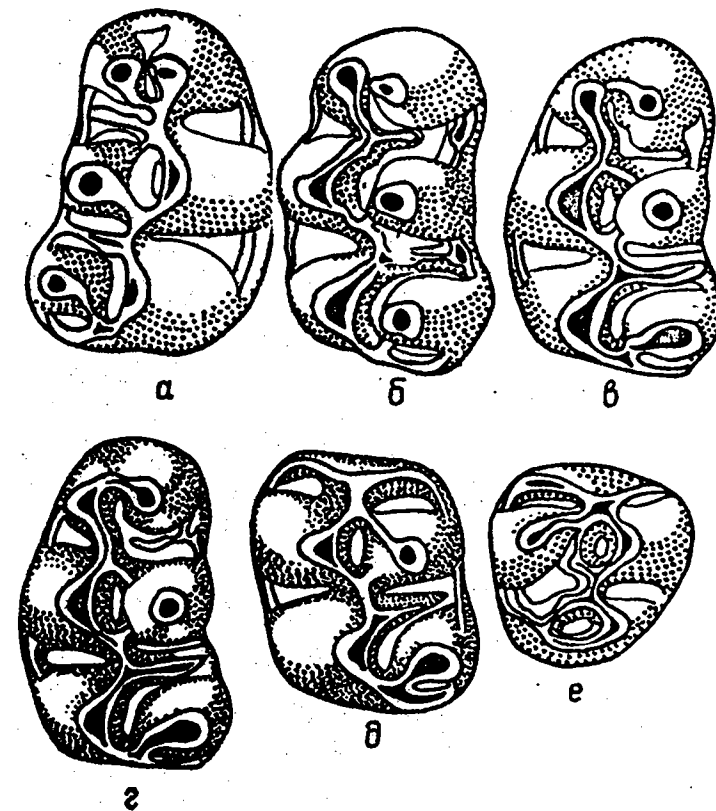


Рис. 29. *Kowalskia aff. fahlbuschi* Bachmayer et Wilson,  $M^1 - M^3$ , понт, Фрунзовка 2, жевательная поверхность:  
а-е –  $M^1$ ; д –  $M^2$ ; е –  $M^3$

шпоры сильно варьирует: обычно длинная с пастильным расширением, в одном случае имеет половинную длину, заканчиваясь на значительном удалении от хорошо развитого пастиля. При наличии длинной шпоры она образует спереди короткий гребень, заканчивающийся у основания экстераантерокона (рис. 29, г). Передний гребень паракона в двух случаях хорошо развит, в одном – отсутствует. На зубах первого типа строения передняя марка глубокая, четко оконтурена. Передний гребень метакона не выражен. Мезолофт всегда длинный, с мезостильным расширением и без него. Постлеролофт полностью оконтуривает метакон сзади. Вместе с хорошо развитым задним гребнем метакона в отдельных случаях образует неглубокую постлеролофную марку. Наружные стили не выражены, либо едва намечены.

$M^2$  с примерно одинаково развитыми наружной и внутренней ветвями переднего воротничка (рис. 29, д). Внутренняя ветвь слегка

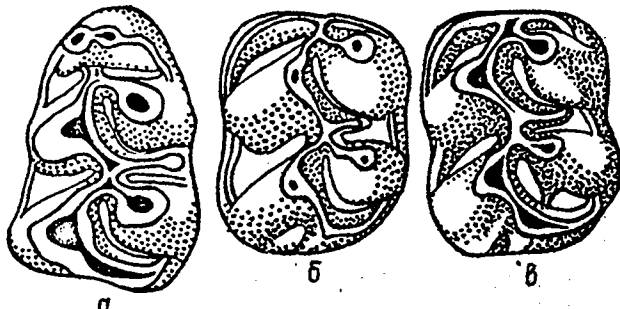


Рис. 30. *Kowalskia aff. fahlbuschi* Bachmayer et Wilson,  $M_1 - M_2$ ,  
понт, Фрунзовка 2, жевательная поверхность:  
а –  $M_1$ ; б, в –  $M_2$

скошена по отношению к плоскости жевательной поверхности зуба. Передний гребень паракона хорошо развит, в связи с чем передняя марка резко очерчена. Передний гребень метакона отсутствует. Мезолоф несколько укорочен – 2/3 его возможной полной длины, прижат к основанию метакона. Задний воротничок полностью оконтуривает основание метакона сзади. Вместе с хорошо развитым гребнем метакона образует неглубокую постлерофную марку. Имеются четко выраженные следы внутренней ветви постлерофа (рис. 29, д). Наружный и внутренний стили едва намечены. Корней четыре.

$M^3$  с хорошо развитым метаконом. Антеролоф раздвоен, однако его внутренняя ветвь развита слабее наружной и сильно скошена по отношению к плоскости жевательной поверхности. Задний гребень паракона прерванный – контактирует с протоконом, но не связан с параконом (рис. 29, е). Однако передняя марка все же образуется путем непосредственной его связи с хорошо развитым передним гребнем этого бугорка через дополнительный задний гребневидный вырост последнего. Роль переднего гребня метакона, по-видимому, выполняет укороченный до половинной длины, несколько скошенный назад мезолоф. Связь метакона с гипоконом двойная через мезолоф и непосредственно через постлерооф.

Антероконид  $M_1$  двураздельный в рисунке стирания, хотя передняя вырезка, разделяющая экстеро- и интэроянтероконид, спереди не выражена. Отсутствуют также задние гребни, в связи с чем не происходит соединения переднего отдела зуба с последующей парой бугорков (рис. 30, а). Гребни в устьях наружной и внутренней передних входящих складок четко обозначены, однако не находятся в вершинной связи ни с интэроянтероконидом, в связи с чем, скорее всего, являются стилидными, тем более, что элементы прото- и метастилида довольно четко обозначены. Таким образом, двойственная структура антероконида условна. По-видимому, здесь мы сталки-

ваемся с наиболее просто устроенным в пределах рода этим элементом зуба. Мезолофид длинный, с мезостилидным расширением. Постлерофид полностью оконтуривает основание энтоконида сзади, хотя задняя входящая складка внутреннего ряда остается открытой.

$M_2$  с раздвоенным на наружную и внутреннюю ветви антеролофидом, однако внутренняя ветвь, хотя и сохраняет гребенчатую структуру, значительно короче наружной (рис. 30, б, в). Мезолофид имеется, однако несколько укорочен – от 2/3 до 3/4 возможной полной длины. Следы мезостилида имеются. Отмечены также следы наружной ветви постлерофида, в отдельных случаях четко выраженные (рис. 30, б).

Сравнение. Из изложенного выше очевидно, что в нижнем понте в зоне третьего массового прохореза в западное Причерноморье Украины представителей рода *Kowalskia*, помимо описанной *K. complacidens*, появляется более мелкая форма, сохранившая некоторые черты примитивной организации, свойственные миоценовой *K. fahlbuschi*, но не лишенная, возможно, некоторой видовой специфики. Особенности строения зубов формы из Фрунзовки 2 в основном рассмотрены несколько ранее. К этому следует добавить крайнее упрощение антероконида на  $M_1$ . В этом плане, по-видимому, вообще не имеет аналогов среди представителей рода *Kowalskia*, хотя тенденция к разрыву антероконида и последующей пары бугорков фиксировалась у мэотических восточноевропейских *K. cf. fahlbuschi* из Новоелизаветовки 3. Вместе с тем, для последней свойственно все же более сильное развитие задних гребней антероконида при достаточно выраженным трехчленном строении этого бугорка.

По размерным показателям наиболее близка к среднешилоценовой *K. intermedia* и отчасти к наиболее крупным экземплярам древнемиоценовой *K. polonica*. Однако от обеих, помимо отмеченной выше специфики в строении антероконида  $M_1$ , ее четко отличает суженный антероконид на  $M^1$ , а главное – корневая формула этого зуба (4–3). Четырехкорневые – у сравниваемых видов. Кроме того, *K. intermedia* отличается и значительно более слабым развитием наружных и внутренних стилей на  $M^1$ .

Замечания. Описанная форма, по всей вероятности, относится к числу переходных между позднемиоценовой *K. fahlbuschi* и близкими к ней видами, с одной стороны, и шилоценовыми *Kowalskia* – с другой. Это в полной мере согласуется и со стратиграфическим ее положением. Однако для описания нового вида имеющийся материал беден. В связи с этим в обозначении формы из Фрунзовки 2 используется открытая номенклатура.

Геологическое и географическое распространение. Первая половина древнего плиоцена – нижний отдел нижнего понта западного Причерноморья Украины, местонахождение Фрунзовка 2.

*Kowalskia* sp. (мелкая форма)  
из среднего горизонта нижнего пункта Виноградовки

Близка к предыдущей, по-видимому, мелкая форма из средней части нижнего пункта Виноградовки 1, представленная единственным  $M^1$ . Однако по размерам (длина  $M^1$  – 1,85 мм, ширина – 1,1) она почти попадает в зону крайне больших значений этого признака у *K. polonica*, отличаясь от последней более суженным антероконом. Кроме того, характеризуется полным отсутствием каких-либо следов заднего гребня экстераантерокона, что также свойственно скорее *K. fahlbuschii* и близким к ней видам, чем *K. polonica*. Сближают их с *K. polonica*, помимо размеров, полное отсутствие гребней метакона. У *K. fahlbuschii* и близких к ней форм, в том числе и таковой из Фрунзовки 2, всегда хорошо развит задний гребень. В остальном характеризуется всеми признаками, свойственными для сравниваемых видов. Так, антерокон двураздельный, однако вырезка, фиксирующая это разделение, спереди не выражена, а почти едва намечена. Паракон характеризуется двойной связью с протоконом ввиду сильного развития в равной мере переднего и заднего гребней (рис. 31). В связи с этим передняя марка глубокая, четко очерченная. Передняя поперечная щюра, равно как и мезолоф, длиная с выраженным соответственно пара- и мезостильным расширением. На лингвальном крае наблюдаются небольшиеproto- и энтистиль. Постеролоф хорошо развит, оконтуривает метакон сзади. Однако из-за отсутствия заднего гребня метакона постеролофная марка не образуется. Корней четыре.

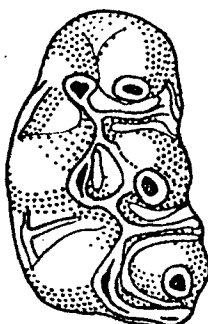


Рис. 31. *Kowalskia* sp.,  
мелкая форма  $M^1$ ,  
нижний пункт, Виноградовка,  
жевательная  
поверхность

млекопитающих в пределах западного Причерноморья Украины принципиально меняют свой качественный состав. В сущности, в это время происходит очередная смена аридных микротериофаун гумидными. По этой причине наличие здесь переходных форм, подобных описанной, едва ли может вызвать удивление. Однако описание нового вида, а для этого, как было показано выше, имеют ся некоторые основания, на столь фрагментарном материале невозможно.

*K. aff. magna Fahlbusch, 1969*

Из тех же слоев, что и *Kowalskia* sp. в местонахождении Виноградовка 1 найден изолированный  $M_2$  крупного представителя этого рода, близкого по размерам к *K. magna*, но несколько превосходящего последнюю (длина 2,0, ширина 1,5 мм). Помимо немного больших абсолютных размеров, по-видимому, отличается от *K. magna* наличием выраженного длинного эктомезолофида (рис. 32). Это образование не было зафиксировано у типовых *K. magna* из древнего плиоцена Польши. Правда, при описании этого вида  $M_2$  также был представлен всего двумя экземплярами, что не позволяет абсолютизировать значение этого признака. Кроме того, у формы из Виноградовки 1 значительно сильнее развиты элементы дополнительной входящей складки в зоне сопряжения постеролофида и гипоконида (рис. 32), а гребенчатый постеролофид входит в контакт с основанием эндоконида. У *K. magna* первый признак выражен гораздо слабее, а задний воротничок не находится в прямом контакте с эндоконидом, в связи с чем задняя входящая складка внутреннего ряда остается открытой в своей устьевой части. На степень развития дополнительной задней входящей складки мы вынуждены обратить особое внимание, поскольку, как показано далее, этот признак может оказаться видоспецифичным для наиболее крупных представителей рода *Kowalskia*. В остальном обе формы проявляют черты полного сходства. Так, форма из Виноградовки 1 характеризуется раздвоенным антеролофидалом, хотя его внутренняя ветвь едва намечена, а мезолофид длинный, заканчивающийся слабо выраженным мезостилидом.

Таким образом, из всех ассоциаций низших хомячих плиоцена западного Причерноморья Украины виноградовская наиболее близка к таковой из местонахождения Подлесицы в Центральной Европе (южная Польша), фиксирующему 14-ю зону в западно-европейской биозональной схеме. Вероятно, это в известной мере может служить отправной точкой для прямой корреляции восточноевропейского пункта с его аналогами в Западной Европе. Естественно, что это следует делать с определенной коррекцией на географическую зональность в прошлом.

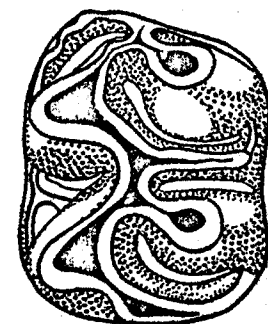


Рис. 32. *Kowalskia* aff.  
*magna* Fahlbusch,  $M_2$ , нижний  
пункт, Виноградовка  
1, жевательная поверхность

*Kowalskia (?)* sp. – очень крупная форма  
из кучурганских отложений

Из местонахождения Фрунзовка из среднего непосредственно подконтгломератного горизонта кучурганских отложений происходит изолированный  $M_2$ , не имеющий по размерным показателям аналогий среди всех известных в настоящее время представителей рода *Kowalskia* (длина – 2,45, ширина – 2,0 мм). По абсолютным размерам эта форма уже практически не отличается от крупных представителей рода *Cricetus*, включая современных. Однако сохраняет ряд примитивных особенностей строения, свойственных среди *Cricetinae* *Kowalskia*, а среди *Cricetodontinae* – примитивным *Cricetulodon* и наиболее эволюционно продвинутым *Democricetodon*. Это прежде всего касается значительной степени развития всех без исключения элементов сложности жевательной поверхности, что в общем не свойственно представителям рода *Cricetus*, хотя может проявляться в качестве реверсивных признаков в резервных морфотипах. Так, описываемый зуб характеризуется наличием длинного мезолофида, заканчивающегося сильно развитым мезостилидом (рис. 33). Он также имеет очень развитый половинной длины эктомезолофид, не входящий в контакт с мощным эктостилидом. Не имеет аналогий также значительная степень развития дополнительной задней входящей складки, резко дифференцирующей зону прямого контакта постеролофида с гипоконидом и обеспечивающей раздвоенность заднего воротничка. При подобном строении постеролофида происходит четкая дифференциация его наружной ветви, хотя последняя оказывается развитой неизмеримо слабее, чем внутренняя. Из других признаков следует отметить наличие двойной связи метаконида с протоконидом, поскольку, помимо обычного переднего гребня метаконида, хорошо развит и его задний гребень, находящийся в контакте с основанием мезолофида. Таким образом, происходит не свойственное большинству евразийских *Cricetinae* образование собственно передней марки на нижних постоянных коренных. Вместе с тем, этот признак проявляется в достаточно частой повторности у современных и некоторых плейстоценовых *Cricetus*. Следует также отметить структурную сложность переднего гребня метаконида: он образует направленный назад широкий гребень, проявляющийся даже как небольшой бугорок в рисунке стирания. Подобный гребень, но узкий и не участвующий в рисунке стирания, отходит от переднего гребня энтоконида; оконтуривая изнутри основание последнего. Передний гребень энтоконида направлен строго вперед и внутрь. Это же, видимо, присуще и соответствующему гребню метаконида, несмотря на несколько вываливающуюся сложность его строения. Антеролофид раздвоенный, хотя его внутренняя ветвь слабо развита. Задний воротничок находится в прямом контакте с основанием энтоконида, в связи с чем

задняя внутренняя входящая складка оказывается закрытой в своей устьевой части. Эмаль очень толстая.

Из приведенного выше описания следует, что форма из Фрунзовки, несомненно, представляет собой новый вид. Однако точная родовая ее принадлежность не выяснена. Отметим, что из среднего плиоцена Польши (местонахождение Венже) описан также  $M_2$  очень крупной формы (длина 2,4, ширина 1,87 мм), проявляющий некоторые черты сходства с таковым из Фрунзовки [56]. Однако он условно отнесен к роду *Democricetodon* (рассматривался в качестве подрода американского рода *Sorexus*, что на современном уровне их изученности преждевременно, если не маловероятно). В то же время среди *Democricetodon* нет видов, которые в какой-то мере могли бы приблизиться по размерным показателям к упомянутой форме. К тому же в Западной Европе *Democricetodon* в своем распространении не выходит за границы миоцена. Все это побуждает относить формы из Фрунзовки и Венже к роду *Kowalskia*, поскольку для выделения их в самостоятельный род, что не исключено; имеющегося материала очень мало.

Форма из Фрунзовки четко отличается от таковой из Венже сильным развитием дополнительной задней входящей складки, что определяет специфику строения постеролофида, а главное – наличием двойной связи метаконида с протоконидом. В этом плане Фрунзовская находка, несомненно, представляет определенный интерес в филогенетическом отношении, поскольку она фиксирует на глубоко примитивной основе первые проявления признаков, свойственных настоящим *Cricetus*. Это тем более очевидно, что в резервных морфотипах даже у современных *C. c. cicutus* L. изредка в качестве атавизма проявляются древние признаки – наличие мезолофида на  $M_2$ . Исходя из этого не исключено, что в плиоцене Европы начинают проявляться группы крупных низших хомячьих, которые по мере их дальнейшего изучения могут оказаться исходными для евразийских *Cricetus*. Ранее относимые к этому роду виды из позднего миоцена этого региона, как показано далее, должны быть выведены из его состава.

Род *Pseudocricetus* Topachevski  
et Scovik, gen. nov.

Типовой вид *Pseudocricetus orienteuropeus* sp. nov.; вторая половина позднего миоцена – средний мэотис северо-западного При-

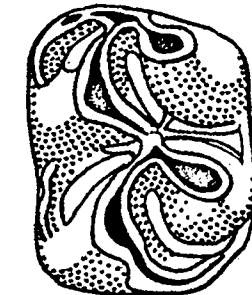


Рис. 33. *Kowalskia (?)* sp.,  $M_2$ , понт, Фрунзовка 2, жевательная поверхность

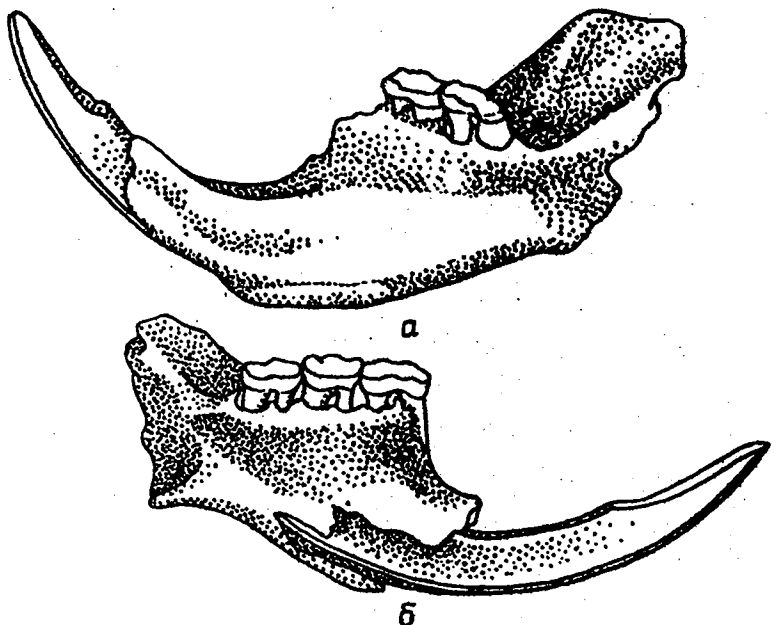


Рис. 34. *Pseudocricetus orienteuropeus* sp. nov.:  
а – горизонтальная ветвь нижней челюсти, средний мезотис, Протопоповка; б – *P. antiquus* sp. nov., древний мезотис, Череславское, нижний слой, внутренняя сторона

черноморья Украины, местонахождение Протопоповка, восточный берег Хаджибейского лимана, 10 км севернее Одессы. Гравелиты нижнего слоя – цоколь зооплейстоценовой террасы.

**Диагноз.** Размеры средние, приближающиеся к таковым современных *Allocricetus* и мелких *Mesocricetus*: альвеолярная длина верхнего ряда постоянных коренных – 5,25–6,10 мм; нижнего ряда – 5,15–6,7. Тип строения постоянных коренных в основном сходен с таковым современных палеарктических *Cricetini*, а среди вымерших позднеплиоценовых, эоплейстоценовых и древнеплейстоценовых родов – с *Allocricetus*: антерокон и соответственно антероконид на  $M_1^1$  раздвоены, преимущественно двойная связь между внутренними и наружными основными бугорками  $M^1$ – $M^3$ , стилевая связь паракона и м. акона отсутствует, почти полная редукция элементов сложности – мезолофа и соответственно мезолофида на  $M_1^1$ – $M_2^1$ . Нижний резец по типу такового *Cricetusulus*: эмаль не переходит на его внутреннюю грань, резко обрываясь в зоне ребра между передней и внутренней гранями (рис. 34, а, б). Однако на передней поверхности имеет 1, реже 2 дополнительных продольных валика. Задний край резцового отверстия заканчивается на уровне переднего края альвеолы  $M^1$ . Его задне-нут-

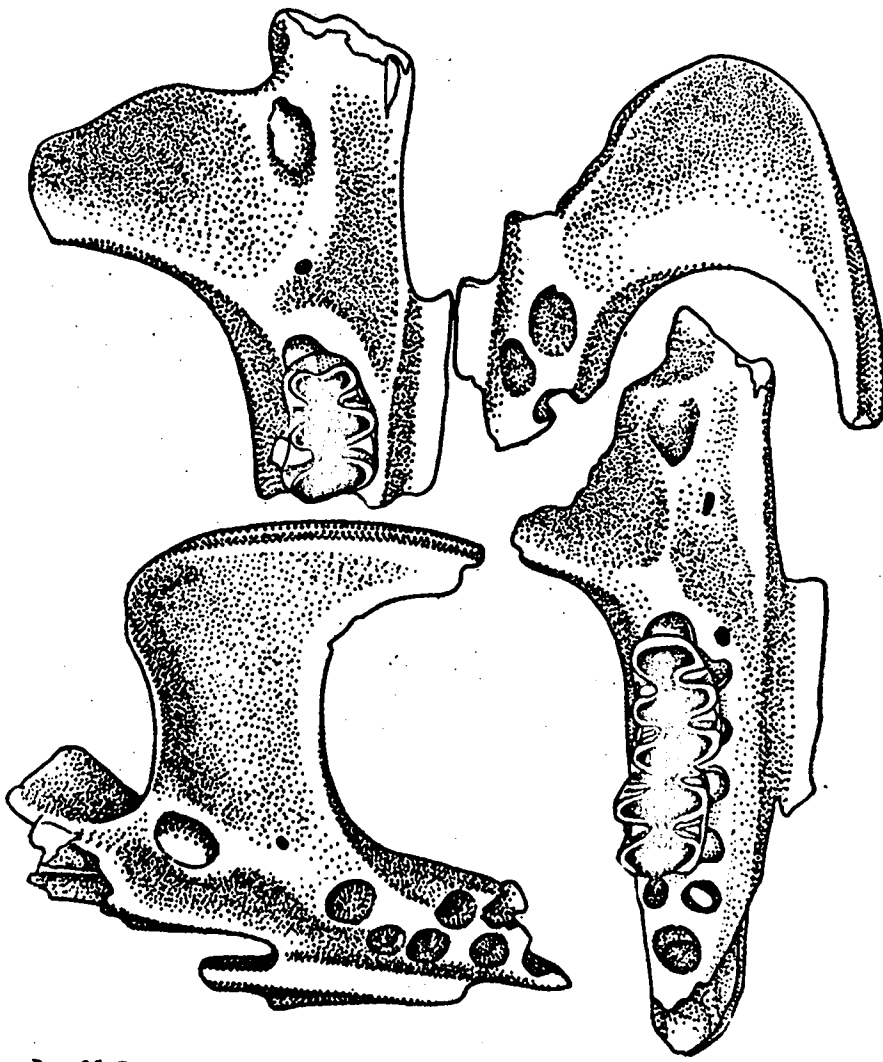


Рис. 35. *Pseudocricetus orienteuropeus* sp. nov., задненебный отдел черепа, средний мезотис, Протопоповка

рений край не сближен с внутренним краем альвеолы переднего внутреннего корня того же моляра (рис. 35, а, б). Венечный отросток нижней челюсти характеризуется крутой постановкой по отношению к верхнему краю сочленовного, слабо изогнут в сагиттальной плоскости, короткий: протяженность его заднего края, измеренная по хорде (косой промер), вдвое и более уступает длине сочленовного, измерен-

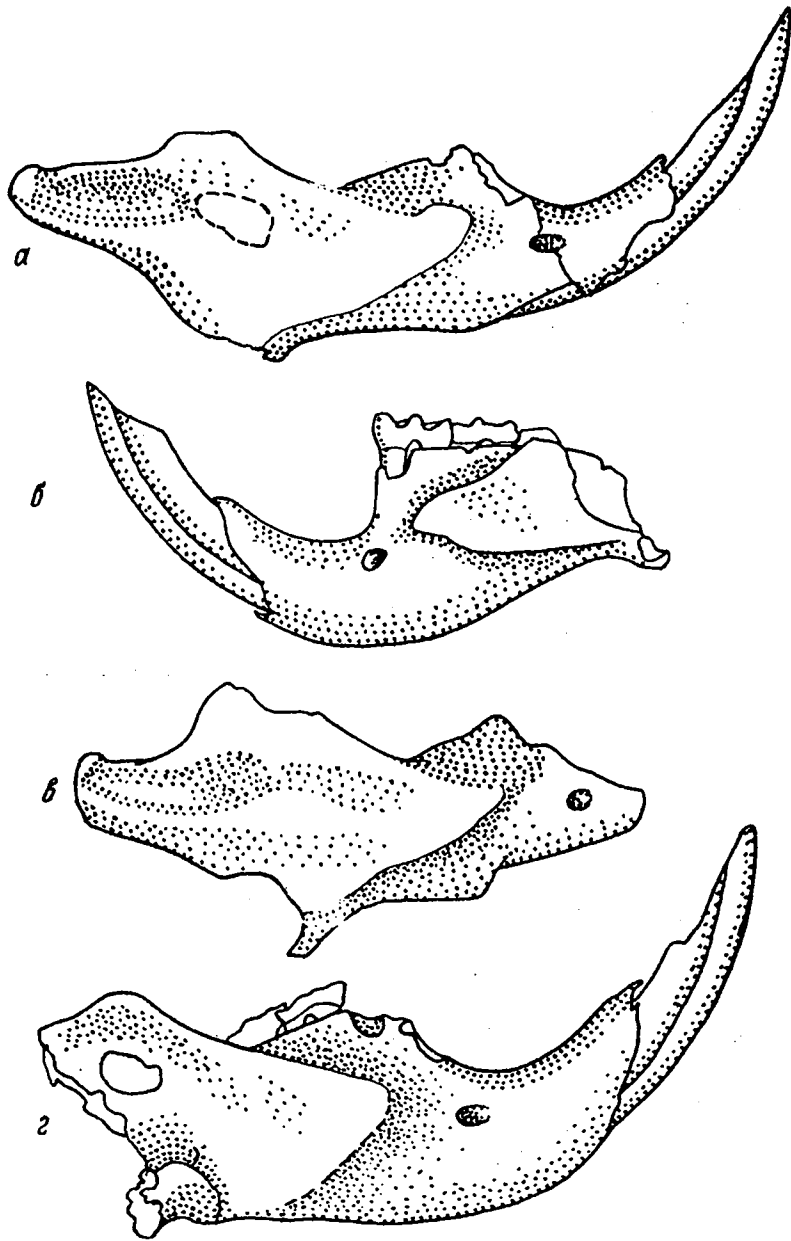


Рис. 36. *Pseudocricetus orienteuropeus* sp. nov., строение нижней челюсти, средний мэотис, Протопоповка

ной от основания венечного отростка до заднего края сочленового. Соchленовый отросток длинный, с резко выраженным сужением в направлении мышцелка (рис. 36, а, б, в): длина последнего в два раза и более меньше таковой основания сочленового отростка. Внутренняя ветвь переднего воротничка  $M^3$  всегда более-менее хорошо выражена — преимущественно гребенчатая. Нижняя диастема удлиненная: всегда большие длины  $M_1 - M_2$ .

**Онисаные.** В строении массетерной пластинки черепа сочетаются признаки, свойственные recentным *Cricetulus*, *Allocricetulus* и *Mesocricetus*, с одной стороны, и *Cricetus* — с другой. Как и у трех первых, она относительно узкая: наименьшая ширина примерно равна длине альвеолы  $M^1$  или превышает ее не более, чем в 1,2 раза. У *Cricetus* — более, чем в 1,5 раза. Однако по форме она ближе к таковой *Cricetus*, так как характеризуется сильно вытянутым вперед верхнелатеральным краем, что, вероятно, обеспечивает наличие четко выраженного переднего выступа в месте перехода скуловой дуги в kostный мостик над предорбитальным отверстием (рис. 35, б). Массетерная бугристость хорошо развита, располагается на верхнечелюстной кости у основания массетерной пластинки, ближе к ее переднему краю. Последний сильно вогнутый, задний — слегка выпуклый (выпуклость впереди) (рис. 35, а, б). Задненаружный край резцового отверстия часто оконтурен четко выраженным продольным гребнем. Срединный гребень твердого неба развит в разной степени на уровне альвеолы переднего постоянного коренного.

Нижняя челюсть с очень высокой восходящей ветвью: ее высота заметно превышает длину (рис. 36). Соchленовый отросток с сильно приподнятым по отношению к альвеолярному краю челюсти мышцелком: проекция расстояния нижнего края кондиллярного отдела заметно превышает длину мышцелкового отдела. Сам кондиллярный отдел также относительно короткий — его длина примерно равна таковой  $M_1$ . Массетерная ямка на наружной стороне сочленового отростка с хорошо развитым нижним мускульным гребнем (рис. 36, в). В подавляющем большинстве случаев сильно развит и верхний гребень. Альвеолярный бугор всегда четко обозначен. Подбородочное отверстие, как правило, несколько сдвинуто вперед по отношению к переднему краю альвеолы  $M_1$ . Степень его удаления от угла массетерной площадки варьирует в достаточно широком интервале. Так же варьирует и строение последней: с приостренным и закругленным передним концом, с хорошо развитым и слаженным передним массетерным бугорком.

Анterocon на  $M^1$  всегда раздвоенный. Межбуторковая вырезка, обеспечивающая высоту свободной части экстero- и интерантеконса спереди, вплоть до средних стадий стертости имеет глубину, составляющую 1/4—1/3 высоты коронки там же. Далее переходит в бороздку, прослеживающуюся почти по всей высоте коронки. Глубина меж-

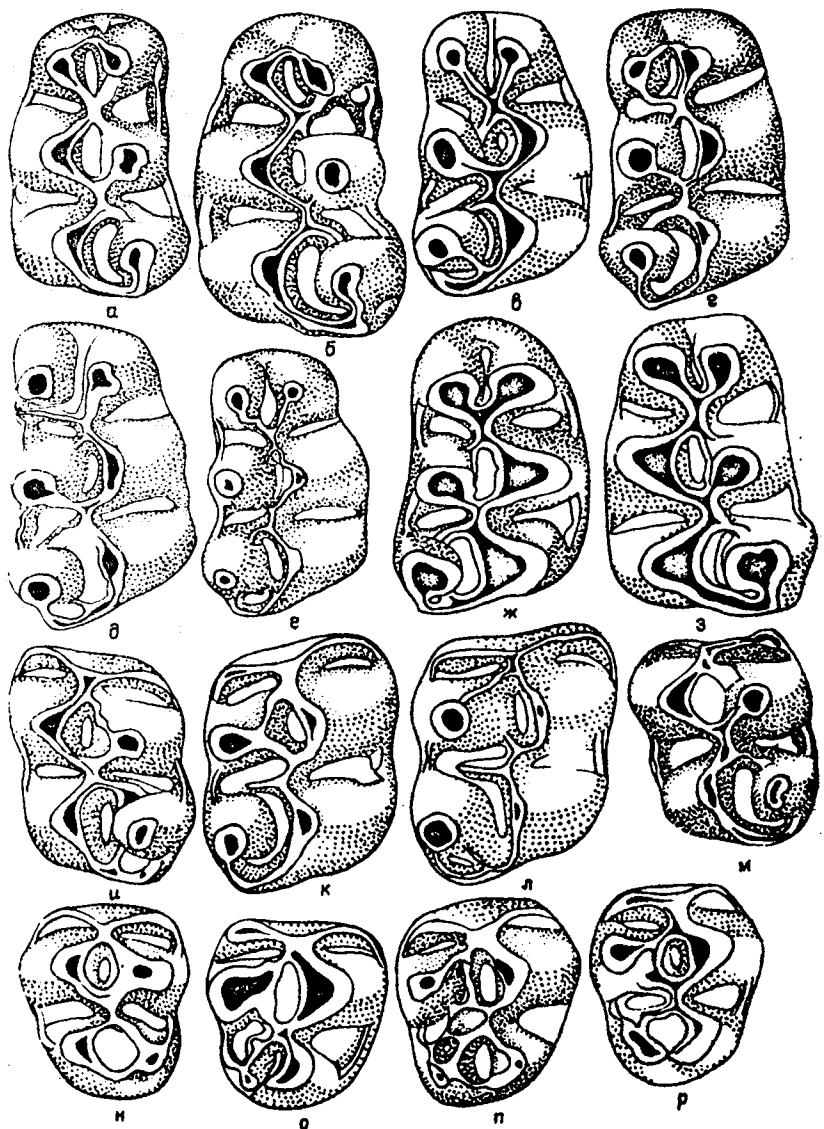


Рис. 37. *Pseudotricetus orienteuropeus* sp. nov.,  $M^1 - M^3$ , средний мэотис, Прото-поповка; *Pantiquus* sp. nov., древний мэотис, Черевичное, нижний слой; жевательная поверхность:  
а-е –  $M^1$ ; и, к, м –  $M^2$ , н-р –  $M^3$ , *P. orienteuropeus*; з, ж –  $M^1$ ; л –  $M^2$ ,  
*P. antiquus*

бугорковой вырезки лимитируется степенью развития передних гребней экстero- и интероантекона, обуславливающих замыкание антаконной марки спереди. Последние в той или иной степени развиты примерно у 75–85 % популяций древних видов. У геологических поздних форм проявляются реже – примерно у 50 % особей, показывая четко выраженную тенденцию к редукции в филуме. К тому же у геологически более молодых форм эти гребни характеризуются меньшей степенью развития. У значительной части экземпляров в основании антакона имеется хорошо выраженный валькообразный воротничок, трансформированный часто в дополнительный предантаконный бугорок (рис. 37, а). Ввиду развития у подавляющего большинства экземпляров задних гребней экстero- и интероантекона, связь антакона с последующей парой основных бугорков – протаконом и параконом двойная (рис. 37, а-в). Только в популяциях наиболее древних видов примерно у 10 % особей прослеживается одинарная связь – через задний гребень интероантекона, поскольку передний как таковой отсутствует. В этом случае, естественно, антаконная марка сзади остается открытой. Следует также отметить, что у эволюционно продвинутых представителей рода антаконная марка, по-видимому, сази закрыта у 100 % особей популяций. Дополнительные элементы сложности – передняя наружная поперечная шпора и мезолоф по степени редукции на уровне современных палеарктических Cricetini. Так, первая обычно функционально трансформируется в задний гребень экстeroантекона, а второй – в передний гребень метакона (рис. 37, г). Половиной длины свободная передняя шпора и длинный мезолоф наблюдались единственный раз (менее 1 %) у древнейшего вида рода. Слабо развитые – от четвертной до половинной длины относительно свободные, не скошенные по отношению к продольной оси жевательной поверхности, указанные элементы зуба прослеживаются не более чем у 2–3 % особей популяций более древних форм. Причем даже в этих случаях они оказываются прижатыми к основаниям соответствующих бугорков – передняя шпора к экстeroантекону, мезолоф к метакону. В отдельных случаях латеральные концы этих образований могут быть раздвоены, что, по-видимому, является показателем их слияния с соответствующими гребнями этих бугорков. Подобный тип строения указанных элементов сложности свойствен большинству вымерших среднешпиоценовых, позднеплейстоценовых, плейстоценовых и recentных палеарктических Cricetini. По типу последних осуществляется и связь паракона с протаконом. В подавляющем большинстве случаев она двойная, с постоянным образованием передней марки (рис. 37, а, б). Примерно у 3–4 % популяций древних видов теряется передний гребень, в связи с чем марка остается спереди открытой. По-видимому, у эволюционно продвинутых форм частота отсутствия переднего гребня паракона возрастает, что, вероятно, свойствен-

но и современным представителям родов *Cricetus* и *Cricetulus*, а также, в известной степени, вымершим *Allocricetus*. В более частой повторности не выражен задний гребень метакона (до 10–12 % у древних видов). Тогда, естественно, происходит поглощение обычно самостоятельной постеролофной марки задней. Частота этого признака резко возрастает у эволюционно продвинутых видов, составляющих до 40–50 % популяции. Как исключение наличие заднего гребня метакона проявляется у вымерших *Allocricetus* и современных *Cricetus* и *Cricetulus*. Задний воротничок всегда полностью оконтуривает основание метакона. Его вершина плотно примыкает к последнему, ограничивая лабильно постеролофную, а при отсутствии заднего гребня метакона – заднюю марку. Корневая формула 4, у древних видов – 4–3 – три корня имеют не более 6 % популяции.

Антеролоф  $M^2$  раздвоен (рис. 37). Его внутренняя ветвь всегда хорошо развита, чаще всего скошена по отношению к плоскости жевательной поверхности зуба, реже располагается в одной плоскости с последней. Как правило, имеет гребенчатую структуру. Валькообразная форма проявляется не более, чем у 3–7 % экземпляров. Изредка наблюдается дополнительная связь наружной ветви переднего воротничка с передним гребнем паракона. Связь паракона с протоконом всегда двойная, из-за сильного развития переднего и заднего гребней первого (рис. 37, и, к). В связи с этим передняя марка всегда закрыта и проявляется на всех стадиях стертости, вплоть до конечной. Задний гребень метакона не выражен примерно у 10 % популяции видов. Поэтому постеролофная марка имеется примерно у 90 % экземпляров, во всех случаях на стадиях стертости от начальной до средней. Таким образом, по степени развития постеролофной марки на  $M^2$ , а следовательно и заднего гребня метакона *Pseudocricetus* наиболее сходен с *Cricetus*. У *Cricetulus* и близких к нему родов евразиатских *Cricetini*, как правило, отсутствует. При невыражении заднем гребне метакона постеролофная марка поглощается задней. Строение последней полностью зависит от такого мезолофа, который всегда, выполняя функциональную роль переднего гребня метакона, по степени дифференциации в полной мере не трансформируется в последний. Хотя, будучи сближенным с основанием метакона и имея длину от 1/3 до 3/4 возможной, у древнейшего вида он почти не склонен назад, а в отдельных случаях располагается даже попречно к продольной оси жевательной поверхности, оконтуривая заднюю марку спереди (рис. 37, к, л). Иногда этот элемент зуба не полностью прижат к основанию метакона, в результате чего задняя марка может сообщаться с соответствующей наружной входящей складкой посредством щелевидного устья. В связи с этим она на нестертых и слабо стертых зубах может оставаться частично открытой спереди. По степени свободы мезолофа древнейшие виды рода, очевидно, превосходят *Cricetus*. Сравнительно

свободный мезолоф сохраняется у *P. antiquus* у более 60 % экземпляров. С подобным типом строения мезолофа, по-видимому, связана почти полная редукция переднего гребня метакона, который проявляется примерно у 20 % популяций древнейшего вида как преимущественно слабо развитый склоненный назад вырост мезолофа (рис. 37, к, л). У более поздних видов резервные (примитивные) морфотипы со сравнительно свободным мезолофом составляют значительно меньшие величины – 20–40 %. Вероятно, на этом уровне отмеченный признак сохраняется у *Cricetus*. У мелких *Cricetini*, близких к *Cricetulus*, – полностью теряется. Наверное, во времени сокращается и число морфотипов, сохранивших развитый в разной степени задний гребень метакона. Задний воротничок полностью оконтуривает основание метакона сзади. Корней четыре.

Антеролоф на  $M^3$  всегда раздвоен (рис. 37). Его внутренняя ветвь в подавляющем большинстве случаев хорошо развита, имеет преимущественно гребенчатую структуру, оконтуривая четко выраженную интероантеролофную ямку. Как правило, не склонен либо слегка склонен по отношению к плоскости жевательной поверхности зуба. Частота встречаемости морфотипов с относительно слабо развитой, вальковатой по форме внутренней ветвью переднего воротничка крайне мала. Так, в популяциях древнейшего вида *P. antiquus* sp. nov. она составляет не более 5–6 %. Естественно, при этом исчезают какие-либо следы интероантеролофной ямки. Так же редки морфотипы с невыраженным интероантеролофом. Очевидно, это соотношение в полной мере сокращается и у более поздней среднемезотической формы – *P. orienteuropaeus* sp. nov. Однако у геологически наиболее молодых видов *P. kormosi* Schaub частота встречаемости этого признака, видимо, резко возрастает. По крайней мере, из семи имеющихся  $M^3$  из позднего мэотиса, принадлежащих этому виду, один был со слабо развитой вальковатой внутренней ветвью переднего воротничка, который на одном вообще не выражен, среди понтических (древний понт) представителей *P. kormosi* эти морфотипы составляют 20 %. Во всех случаях подобная тенденция к редукции интероантеролофа оказалась сопряженной с сильно склоненным его положением по отношению к плоскости жевательной поверхности зуба. Связь паракона с протоконом всегда двойная ввиду постоянного наличия сильно развитого переднего и в меньшей мере заднего гребней паракона (рис. 37, и, о). В связи с этим передняя марка всегда хорошо развита, сохраняясь на всех стадиях стертости, вплоть до конечной. В довольно частой повторности (до 30 % экземпляров) имеется дополнительный продольный гребень между передним и задним гребнями паракона (рис. 37, и). В связи с этим происходит распад передней марки на две части – глубокую около-протоконную, сохраняющуюся на всех стадиях стертости, и мелкую, небольшую, прижатую к внутренней стенке паракона. Меньшая глуби-

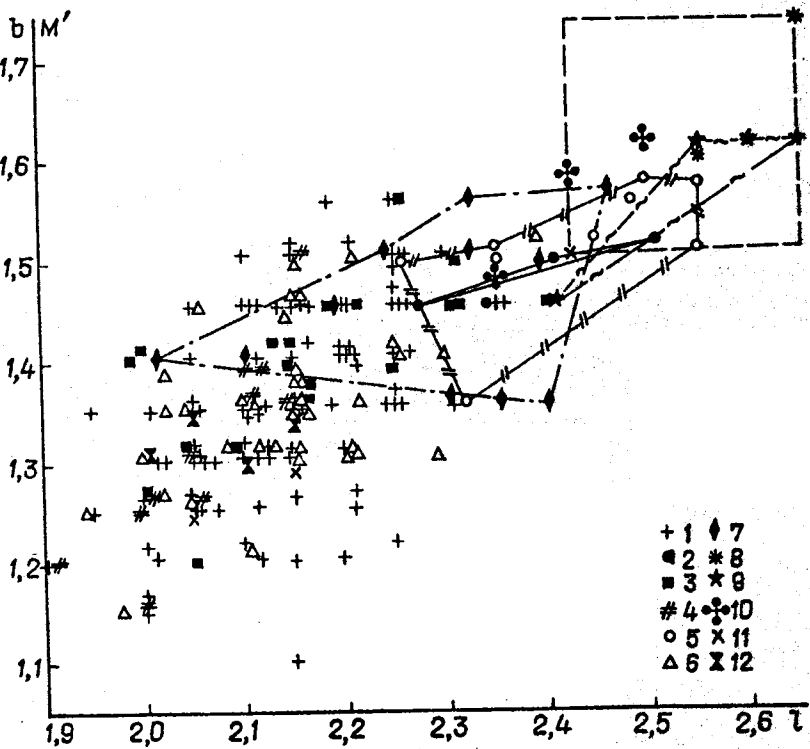
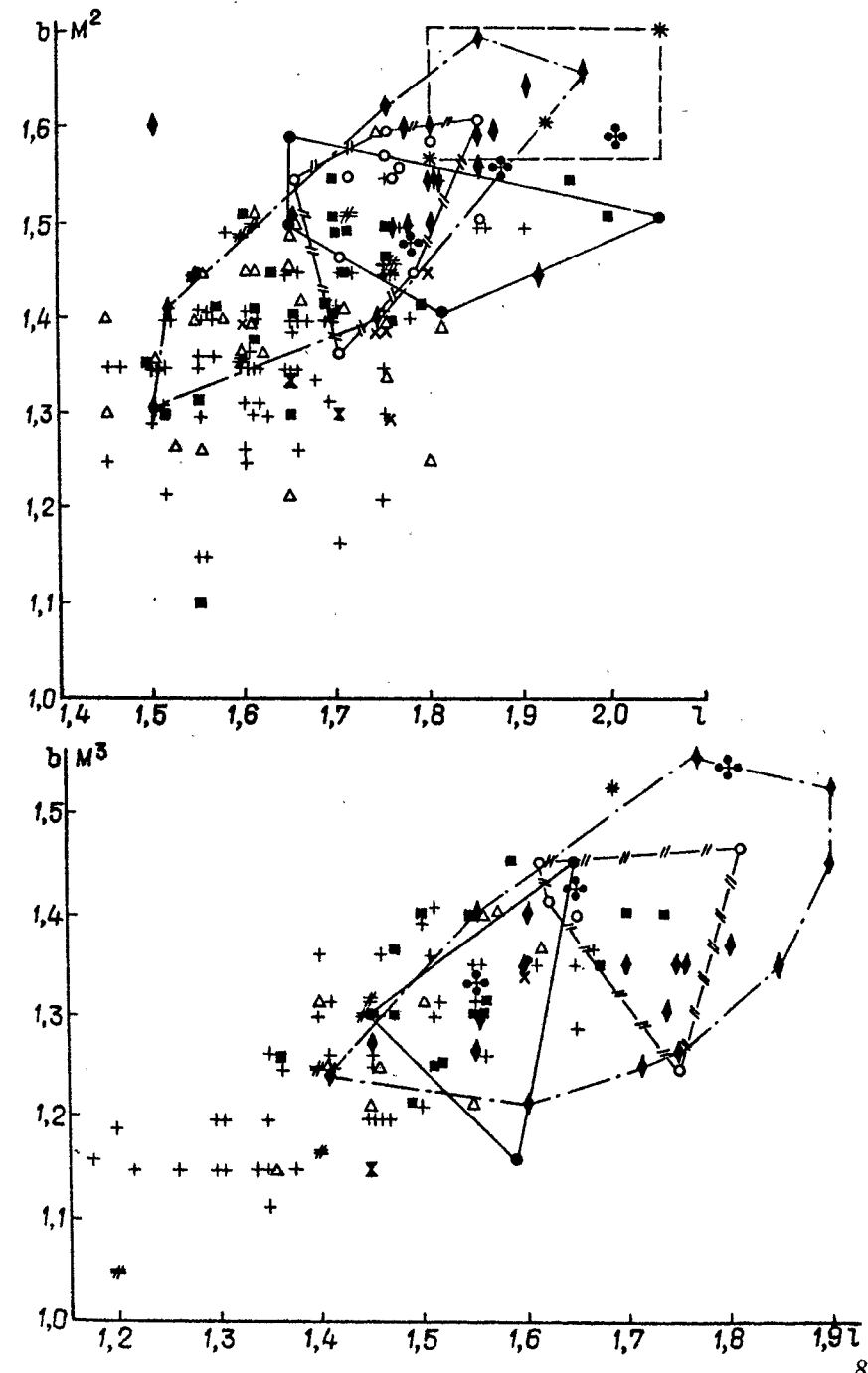


Рис. 38. *Pseudocricetus* gen. nov., отношение длины ( $l$ ) к ширине ( $b$ )  $M^1 - M^3$  видов:  
1 – *P. antiquus* sp. nov., Черевичное, нижний слой; 2 – *P. kormosi*, Андреевка;  
3 – *P. antiquus*, Новоелизаветовка; 4 – *P. cf. orienteuropeus*, Новоукраинка 2;  
5 – *P. kormosi* Schaub, Новоукраинка, у дороги; 6 – *P. orienteuropeus* sp. nov.,  
Протопоповка; 7 – *P. kormosi*, Одесса (понт); 8 – Полгарди; 9 – *P. kormosi*, Ореховка;  
10 – *Crevilente* 6; 11 – *Pseudocricetus* sp., Новоэметовка; 12 – *Pseudocricetus* sp., Фрунзовка 2

и размеры последней предопределяют ее исчезновение где-то на границе средние и сильно стертых зубов. Метакон в какой-то мере всегда развит. Во всяком случае, четко проявлен в лабильном гребне талона (рис. 37, *n*). Очень часто дифференцирован как самостоятельный бугорок. Характеризуется двойной связью с гипоконом с образованием задней марки. Однако следы переднего и заднего гребней метакона проявляются чрезвычайно редко. Обычно эта связь осуществляется через мезолоф, поглощающий передний гребень, и постлеролоф (рис. 37, *n, p*). На нестертых зубах постлеролофная связь может быть прервана развитием задней вырезки, разделяющей гипокон и метакон. Однако эта вырезка уже практически полностью элиминируется на начальных, чаще средних стадиях стертости, трансформируясь в бороздку, прослеживающую-



щуюся на значительном протяжении по высоте коронки. При этом задняя марка, будучи достаточно глубокой, остается постоянным атрибутом жевательной поверхности, что обусловлено некоторой разницей в высоте метакона и гилокона, с одной стороны, и постеролофа — с другой, которая нивелируется на начальных и средних стадиях стертости. Этот признак, по всей вероятности, свойствен в большей мере *Cricetus*, чем прочим современным и вымершим плиоценовыми палеарктическим *Cricetini*. Изменчивость в строении мезолофа чрезвычайно велика. Однако для представителей рода свойственна, вероятно, значительно большая частота встречаемости морфотипов со слабо скошенным либо поперечно расположенным мезолофом, что чаще наблюдается у *Kowalskia* и некоторых вымерших *Cricetus*, чем у прочих вымерших и современных евразиатских *Cricetini*, включая *Allocricetus*. В популяции видов *Pseudocricetus* морфотипы подобного рода могут составлять 30–50 %. Любопытно, что какая-либо хронологическая тенденция в развитии этого признака если и проявляется, то в крайне незначительной степени. Сближает *Pseudocricetus* с *Kowalskia* и некоторыми вымершими *Cricetus* резко выраженное усложнение мезолофа. Во всяком случае не является исключением раздвоенность лабиального его конца, при котором передняя часть остается в какой-то степени свободной и направленной почти поперечно, а задняя скошена и, вступая в контакт с метаконом, в сущности берет на себя функциональную роль переднего гребня последнего, а, возможно, и является таковым. Мезолоф значительно варьирует и по длине — от половинной до полной. Естественно, что имеются в виду случаи, когда этот элемент зуба не полностью трансформируется в аналог переднего гребня метакона. Повышает степень сложности  $M^3$  и образование дополнительной гребневой связи мезолофа с параконом или его задним гребнем с образованием небольшой дополнительной марки. Подобные морфотипы также не являются исключением. Зуб характеризуется наличием трех корней — двух передних и мощного заднего. Размеры зуба довольно крупные, приближающиеся по длине к таковым  $M^2$  (рис. 38).

В строении  $M_1$  в основном уже полностью проявляется большинство признаков, свойственных многим современным евразиатским *Cricetini*, в первую очередь *Cricetus* и отчасти *Cricetulus*. Так, антероконид очень часто четко двухбуторчатый. Только однажды удалось наблюдать крайне слабо развитый экстроантеконид, слегка проявляющийся в наружном гребне, что составляет менее 0,5 % всего имеющегося материала. Экстерио- и интероантекониды чаще широко расставлены, реже сближены. Обычно разделены в той или иной степени развитой передней вырезкой, переходящей в глубокую бороздку, обозначенную по высоте коронки вплоть до сильно стертых зубов. Частота встречаемости примитивных морфотипов с невыраженной передней вырезкой составляет 15–20 %, хотя и в этом случае передняя бороздка

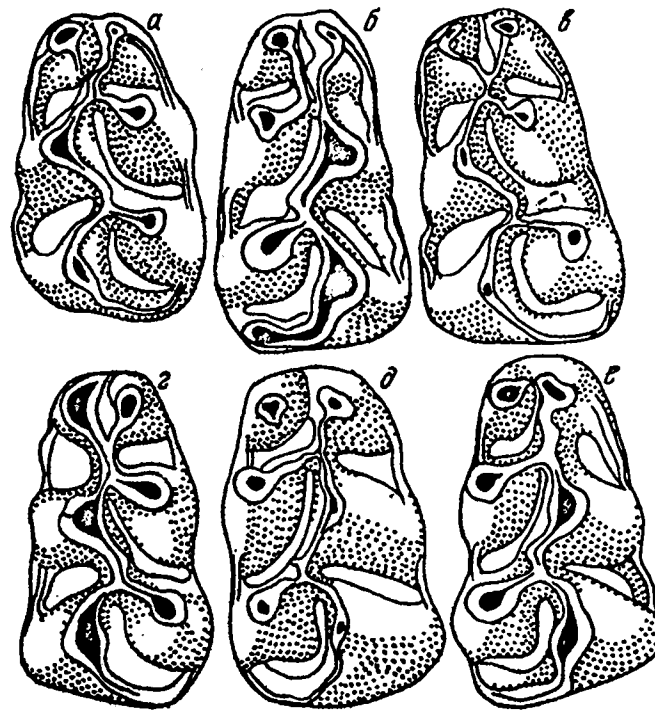


Рис. 39. *Pseudocricetus orienteuropeus* sp. nov.,  $M_1$ , средний мезотип, Протоплюковка, жевательная поверхность

находит свое четкое выражение. Следует отметить, что даже у более поздних плиоценовых вымерших *Allocricetus* примитивные типы строения, как и у *Kowalskia*, встречаются значительно чаще. Связь элементов антероконида с последующей парой бугорков, по всей вероятности, не лишена видовой специфики. В этом плане, как и у большинства прочих плиоцен-плейстоценовых и recentных родов евразиатских *Cricetini*, утративших элементы сложности, в основном проявляются три морфотипа: связь двойная, осуществляется посредством хорошо развитых задних гребней экстерио- и интероантеконида (рис. 39, а, б); связь ограниченно двойная — оба гребня развиты в разной степени, однако сходятся сзади в один продольный гребень (рис. 39, в, г); связь одинарная — только через задний гребень экстерио- или интероантеконида (рис. 39, д, е).

У древнейших популяций (древнемезотический *P. antiquus*) доминирует первый морфотип — 62 %, ограниченно двойная связь составляет 16 %, одинарная — 22. У популяций среднемезотического *P. orienteuropeus* частота встречаемости первого морфотипа сокращается до 36–47 %,

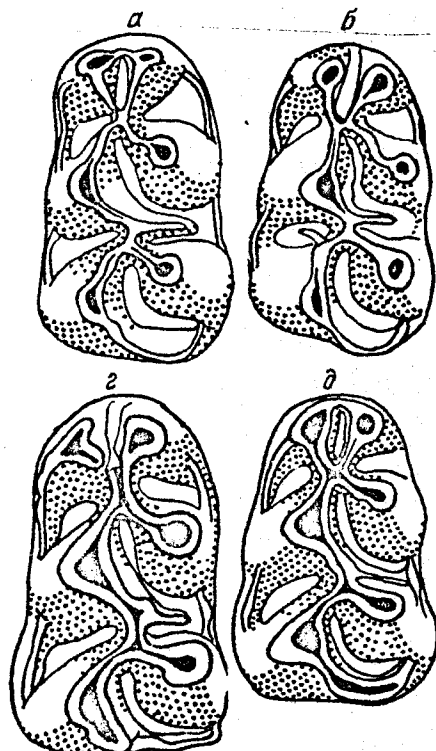


Рис. 40. *Pseudocricetus antiquus* sp. nov.,  $M_2$ , древний мэотис, Черевичное, нижний слой, жевательная поверхность

третьего – резко возрастает до 32–33 %, у позднемиоценового и древнеплиоценового *P. kormosi* преобладающей становится ограниченно двойная связь – 50–62 % и резко падает одинарная – 0–10 %. У современных *Cricetus*, как и у вымерших плиоцен-плейстоценовых *Allocricetus*, обычно преобладает ограниченно двойная или одинарная связь. Как отмечалось, для *Pseudocricetus* свойственна почти полная потеря элементов сложности – мезолофида. Однако у древнейших *P. antiquus* следы этого элемента могут сохраняться приблизительно у порядка 15 % популяций, так как он крайне низок, в сущности, едва намечен, часто прерван, преимущественно половинной, реже трехчетвертной длины (рис. 40, а–г). Указанный признак примерно втрое снижает свое проявление у последующих во времени популяций видов рода.

$M_2$  по общему типу строения проявляет больше черт сходства с *Cricetus* и *Allocricetus*, чем с *Cricetulus*. Это, прежде всего, проявляется в степени раздвоенности переднего воротничка, точнее степени развития внутренней его ветви. По этому признаку можно выделить три основных морфотипа: внутренняя ветвь антеролофида не выражена (рис. 41, а–в); интероантеролофид длинный представлен в виде в той или иной мере развитого валика (отс. 41, г, д); интероантеролофид в виде гребня, отделенного от основания метаконида четко выраженной ямкой (рис. 41, е, ж).

У *Pseudocricetus*, как у *Cricetus* и *Allocricetus*, обычно доминируют типы строения со сравнительно длинной в той или иной мере развитой внутренней ветвью переднего воротничка (морфотипы второй и третий) с подавляющим преобладанием второго (50–60 %). Представленность третьего морфотипа, по всей вероятности, мало подвержена хронологическим изменениям, составляя величины в пределах 15–

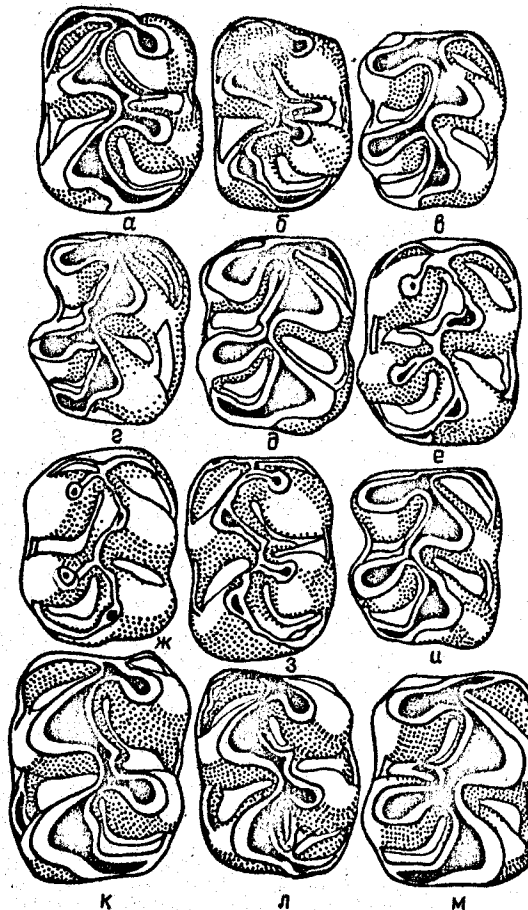
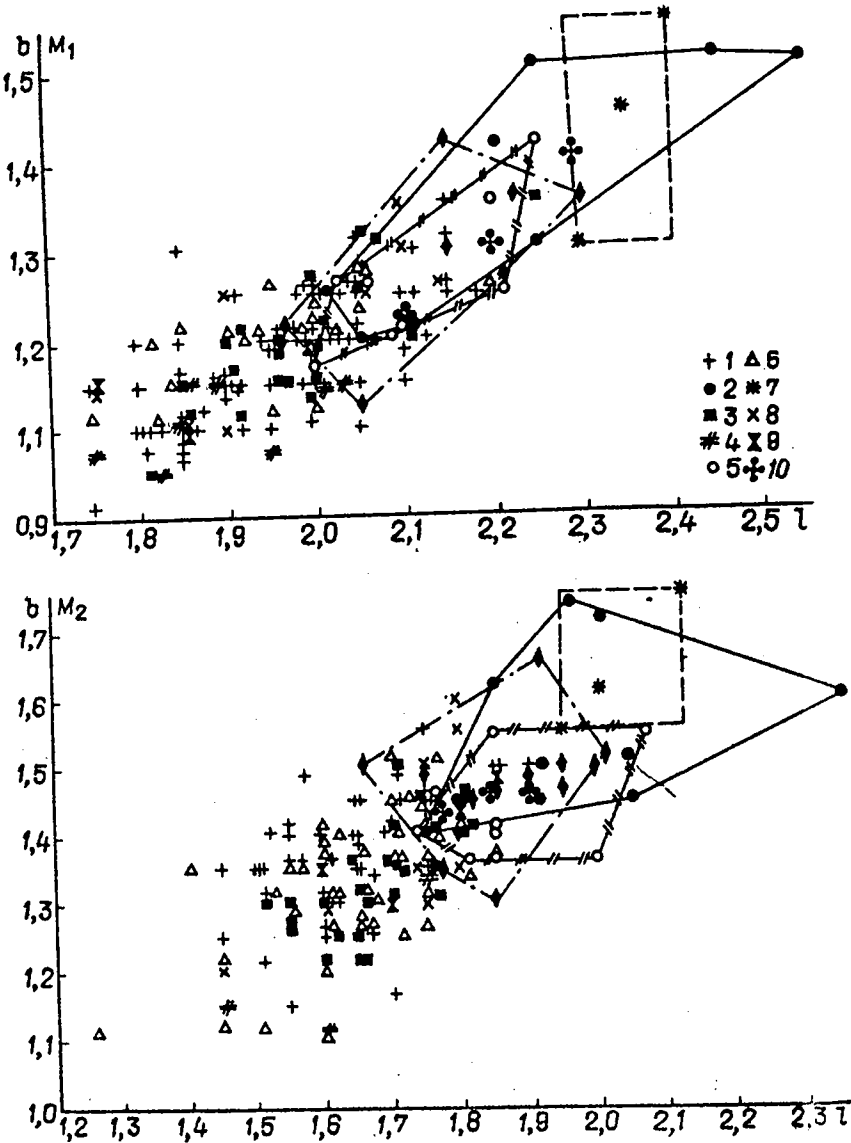


Рис. 41. *Pseudocricetus orienteuroraeus* sp. nov. (а–и),  $M_2$ , средний мэотис, Протопоповка; *P. kormosi* (к–м), поздний мэотис, Андреевка, жевательная поверхность

30 %. Увеличение встречаемости последнего, по-видимому, происходит за счет резкого сокращения количества зубов с невыраженной внутренней ветвью переднего воротничка – морфотип первый. Во всяком случае, у древнейших *P. antiquus* этот тип строения  $M_2$  составляет примерно треть популяции, сокращаясь у среднемиоценических *P. orienteuroraeus* примерно до 20, а у древнеплиоценовых – 10–15 %. Подобное распределение морфотипов, как отмечалось ранее, более свойственно *Cricetus* и *Allocricetus*. У *Cricetulus* интероантеролофид, если, конечно, сохраняется, представлен в крайне укороченномrudиментарном виде – как язычковый элемент мощного экстроантеролофida. Следует, однако, отметить, что у *Cricetus* и *Allocricetulus* степень



редукции внутренней ветви переднего воротничка несколько, больше, чем у *Pseudocricetus*. Более родоспецифичным, по-видимому, является соотношение по высоте гребней экстераантеролофида с одной стороны и основания переднего гребня метаконида и укороченного продольного гребня, связывающего

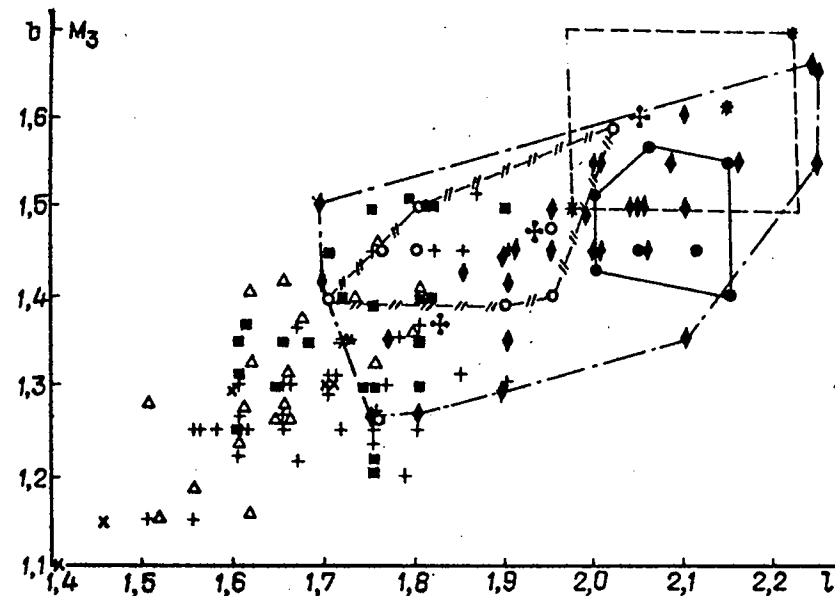


Рис. 42. *Pseudoctricetus* gen. nov., отношение длины ( $l$ ) к ширине ( $b$ )  $M_1 - M_3$  видов:

1 – *P.antiquus* sp. nov., Черевичное, нижний слой; 2 – *P.kormosi*, Андреевка; 3 – *P.antiquus* sp. nov., Новоселизаводовка; 4 – *P.cf.orienteuropeus*, Новоукраинка 2; 5 – *P.kormosi* Schaub, Новоукраинка, у дороги; 6 – *P.orienteuropeus* sp. nov., Протопоповка; 7 – *P.kormosi* Польгарди; 8 – *Pseudoctricetus* sp., Новоэметовка; 9 – *Pseudoctricetus* sp., Фрунзовка 2; 10 – *P.kormosi* Crevilente 6

антеролофида с протоконидом, обычно образующего спереди в зоне схождения всех гребней расширение – антероконулид (рис. 41, *a–e*). Последний у *Pseudocricetus* очень часто хорошо развит и, как и основание переднего гребня метаконида, по высоте примерно равен экстераантеролофиду, образуя с ним общий рисунок стирания (рис. 41, *e*). Этот тип строения более свойствен *Allocricetus* и *Cricetulus*, чем *Cricetus*, у которого в большинстве случаев передний гребень метаконида непосредственно переходит в передний гребень протоконида (продольный гребень), поскольку антероконулид не выражен, либо относительно мал, а гребень экстераантеролофида заметно ниже последнего. При этом на начальных стадиях стертости зубов экстераантеролофидный гребень только примыкает к основанию последующего метаконидно-протоконидного гребня, образуя тем самым специфическую структуру, не связанную рисунком стирания. По мере стирания зубов прямая связь все же проявляется, фиксируя положение антероконулида, который при подобном строении оказывается смешанным лингвально. Таким образом, по отсутствию ступенчатой связи  $M_2$  *Pseudoctricetus*

ближе к *Allocricetus* и *Cricetulus*, чем к *Cricetus*. Более показательно в этом плане нахождение антероконулида, который у *Pseudocricetus* располагается примерно по центру переднего края коронки и приблизительно одинаково удален от ее лабиального и лингвального краев, т.е. занимает симметричное положение. Подобная симметрия свойственна одноименным молярам *Kowalskia* и эволюционно продвинутым *Cricetulodon*. Проявляется этот тип строения, хотя и в меньшей степени, и у *Allocricetus*. У прочих вымерших и современных евразиатских *Cricetini* четко выражена асимметрия в расположении антероконулида, из-за его смещения в лингвальном направлении. Любопытно, что в популяциях видов рода *Pseudocricetus* морфотипы с такой четко выраженной асимметрией чаще проявляются у древнеилюзионовых *R. kormosi*, что может указывать на некоторую тенденцию в эволюции этого признака. Начиная со среднего мэотиса в строении  $M_2$  прослеживаются элементы двойной связи метаконида с протоконидом (рис. 41, *е*) за счет появления заднего гребня метаконида, который, по всей вероятности, представляет собой преобразованный мезолофид, или, по крайней мере, его вырост. Следует подчеркнуть, что этот признак обычен для *Cricetus*. Морфологически он предопределяет образование передней марки, начиная со стадии сильной стертости, хотя на конечно стертых зубах уже, как правило, теряется. Указанный признак чаще проявляется у позднемэотических и понтических форм. До 10 % популяций видов могут сохранять и свободный мезолофид. Однако он обычно слабо выражен, мало рельефный, хотя по длине может варьировать от четвертной до полной (рис. 41, *б*). У древних форм, по-видимому, проявляется чаще. Обсуждаемый признак сближает *Pseudocricetus* опять же с *Cricetus*, поскольку у всех прочих вымерших и современных евразиатских *Cricetini*, утративших элементы сложности постоянных коренных, в том числе и у *Allocricetus*, какие-либо следы мезолофида, кроме выступа в области заднего продольного срединного гребня мезоконид, отсутствуют.

$M_3$  по типу строения близок к *Cricetus*: он относительно крупный, но длине даже в среднем несколько больше  $M_2$  (рис. 42). Характеризуется также всегда раздвоенным антеролофидалом, внутренняя ветвь которого, за редким исключением, хорошо развита, имеет гребневидную структуру, причем гребень отделен от основания метаконида четко обозначенной ямкой (рис. 43, *а–в*). Как и у *Cricetus*, в некоторых случаях наблюдается разорванное строение антеролофида — наружная и внутренняя его ветви разобщены (рис. 43, *а, в*). Строение мезолофида варьирует в достаточно широком интервале. Может совсем не проявляться, сохраняясь лишь как выступ мезоконида, либо представлен в свободном виде, вплоть до трехчетвертной и полной его длины, наконец, может трансформироваться или участвовать в образовании заднего гребня метаконида (рис. 43, *б, в*). В последнем случае образуется четко

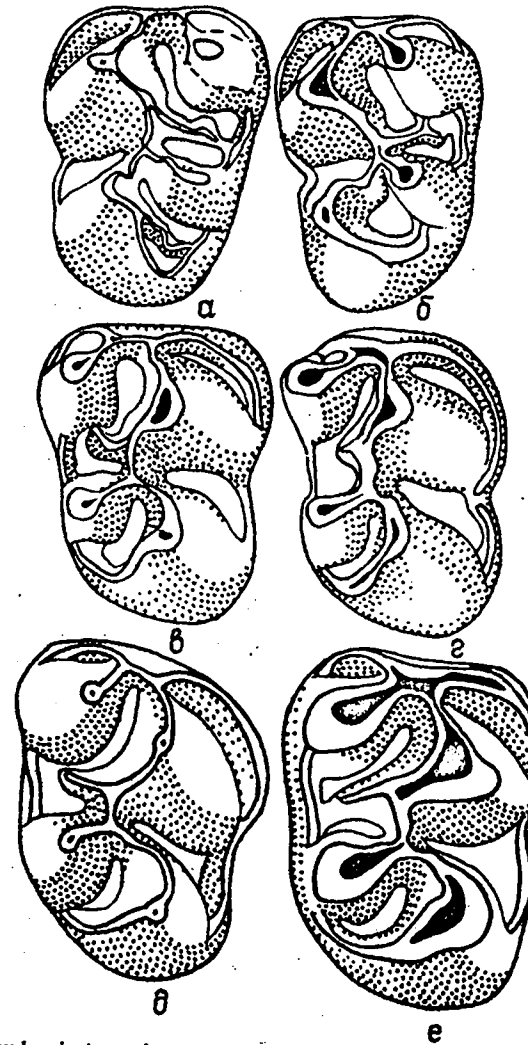


Рис. 43. *Pseudocricetus orienteuropaeus* sp. nov. (*а–г*),  $M_3$ , средний мэотис, Протополовка; *R. kormosi* (*д, е*), поздний мэотис, Андреевка, жевательная поверхность выраженная передняя марка. Частично это происходит и при свободном мезолофиде, если он сближен с основанием метаконида. Этот тип строения свойствен, вероятно, в большей степени *Cricetus* и *Kowalskia*, чем *Allocricetus*, *Cricetulus* и прочим плиоцен-плейстоценовым и современным евразиатским *Cricetini*. Во всяком случае, у последних наблюдается более слабое развитие ингероантеролофида и, возможно, мезолофида.

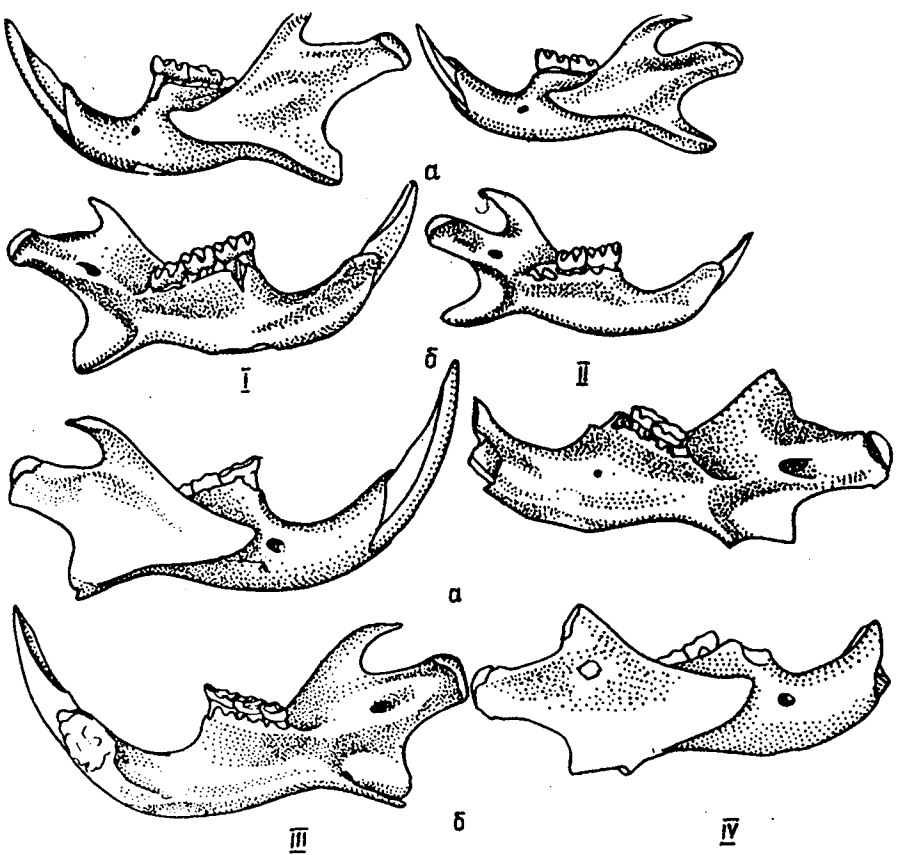
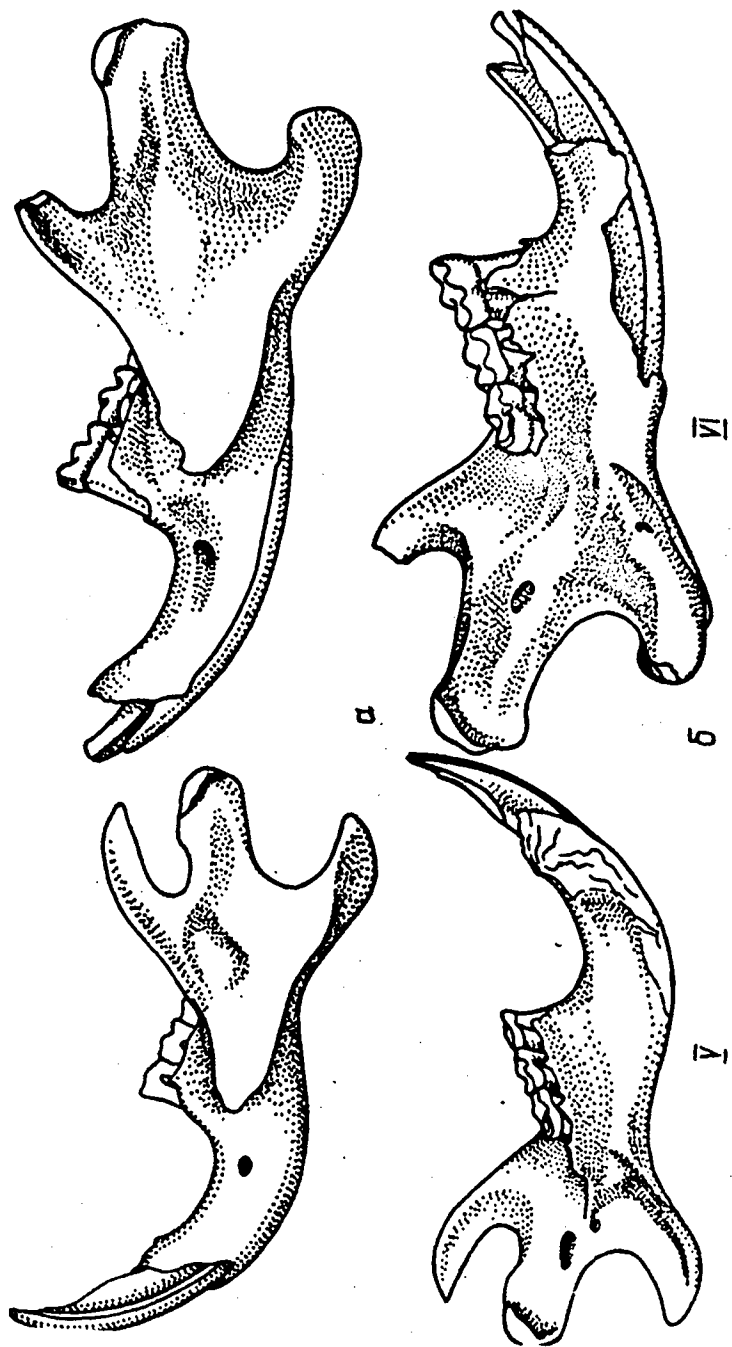


Рис. 44. Положение мышцелка нижней челюсти к альвеолярному краю у рода *Pseudocricetus*, вымерших и современных *Cricetini*:

I – *Pseudocricetus orienteuropaeus* sp. nov., мэотис, Протопоповка; II – *Cricetulus migratorius*, современный; III – *Allocricetusulus* современный; IV – *Allocricetus e. tiliguliensis*, древний эоплейстоцен, Тилигульский разрез; V – *Mesocricetus* современный; VI – *Cricetus cricetus*, современный, нижний Днепр; а – с лабиальной стороны, б – с лингвальной стороны

**Сравнение.** Род *Pseudocricetus* четко отличается от всех известных в настоящее время евразиатских вымерших и современных *Cricetini* принципиально иными особенностями в строении восходящей ветви нижней челюсти. Это прежде всего касается круто поставленного, укороченного, слабо изогнутого в сагиттальной плоскости венечного отростка и резко суженного по направлению к нижнечелюстному мышцелку сочленовного отростка. Сам мышцелок также относительно короткий: его длина вдвое и более короче таковой сочленовного



отростка. У всех известных в настоящее время вымерших и recentных евразиатских Cricetini венечный отросток удлинен, сильно изогнут сагиттально, а сочленовный — заметно массивнее и не столь резко, а у большинства родов практически не суживается по направлению к кондиллярному краю (см. рис. 36). Не исключено, что специфичными для рода окажутся и такие признаки, как высота восходящей ветви и степень приподнятости мышцелка нижней челюсти по отношению к ее альвеолярному краю. Последний признак фиксирует изменение угла наклона оси сочленовного отростка по отношению к таковой нижней челюсти. В первом случае высота восходящей ветви без венечного отростка заметно превышает ее длину, в то время как у других родов евразиатских Cricetini она меньше, или примерно равна последней. Нижнечелюстной мышцелок приподнят над альвеолярным краем примерно на длину кондиллярного края сочленовного отростка. У прочих родов этого филума, включая Allocricetus, эта приподнятость менее выражена, либо вообще отсутствует (рис. 44). Любопытно, что даже у более древних Cricetodontinae, морфологически сходных с Cricetini, у которых сочленовный отросток также проявляет тенденцию к сужению в направлении condylus, отмеченный выше признак сходен с таким у более поздних евразиатских Cricetini. Что касается Kowalskia, то, по всей вероятности, отличия по этому признаку от современных родов этого филума также отсутствуют. Единственная сохранившая этот отдел нижняя челюсть K. polonica в полной мере демонстрирует достаточно массивный и, по-видимому, слабо приподнятый по отношению к альвеолярному краю condylus.

Кроме отмеченных выше признаков, специфичных для рода Pseudocricetus, далее рассматриваются дополнительные отличия и от наиболее близких вымерших и современных Cricetini для каждого рода отдельно. Это тем более важно, так как при обычной неполноте палеонтологической информации их значение для диагностики может оказаться решающим. Так, по типу строения нижнего резца и массетерной пластинки черепа Pseudocricetus близок к Kowalskia, от которой четко отличается почти полной утратой элементов сложности — мезолофа и передней поперечной шпоры на  $M^1$ , значительным сокращением встречаемости мезолофид на  $M_1$ . Так, четко выраженный свободный мезолоф на  $M^1$  наблюдается не более, чем у 1 % особей популяций, входящих в состав рода видов, а поперечная наружная шиора полностью редуцирована. В более частой повторности проявляется мезолофид на  $M_1$ . У древнейшего P. antiquus его наличие наблюдалось примерно в 15 случаях из 100. Строение нижнего резца отличается от Kowalskia имеющимися продольными валиками эмали на его передней грани, либо их следами. В числе довольно постоянных отличий Pseudocricetus от Kowalskia следует отметить наличие у первого почти всегда четко выраженного гребня, оконтуривающего задненаружные края резцовых отверстий.

По типу строения постоянных коренных и размерным показателям наиболее близок к Allocricetus. Однако четко отличается от него иным строением резца и более сильным развитием внутренней ветви антеролофа на  $M^3$ . У всех известных Allocricetus эмаль на нижних резцах уже характеризуется захождением (от слабо выраженного до умеренного) на внутреннюю грань последнего, а внутренняя ветвь антеролофа на  $M^3$  либо полностью редуцирована, либо, реже у эволюционно слабо продвинутых видов, имеет вид сильно скосленного к основанию коронки валика. Следует также отметить, что по такому признаку, как ширина массетерной пластинки черепа, сравниваемые роды проявляют также известное сходство, что и подчеркивалось нами выше в предыдущем разделе. Однако по форме этой пластинки Pseudocricetus, несомненно, ближе к Cricetus, чем к Allocricetus. Не отличаются от Allocricetus и по положению заднего края резцового отверстия по отношению к краю альвеолы переднего наружного корня  $M^1$ , равно как и по степени удаления от внутреннего края альвеолы переднего внутреннего корня этого зуба (крицетулос-аллокрицетусный тип строения).

От сходных по размерам, синхронных по времени своего существования Stylocricetus четко отличается крицетулос-аллокрицетусным типом строения задних краев резцовых отверстий (мистромисный у Stylocricetus), недоразвитыми стилями  $M^1$ — $M^3$ , а также укороченной нижней диастемой.

По сложности антеролофа на  $M^3$  и степени захождения эмали на внутреннюю грань нижнего резца близок к среднеплиоценовому Odessamys, но четко отличается от него более крупными абсолютными размерами, крицетусным типом строения массетерной пластинки черепа и сильно выраженным глубоким расщеплением антероконида на  $M_1$ . Поверхностно расщепленный или вообще не расщепленный у Odessamys. Кроме того,  $M_2$  Odessamys характеризуется резко выраженной осевой асимметрией вследствие значительного смещения антероконулида в лингвальном направлении.

Поверхностно расщепленный, либо не расщепленный антероконид на  $M_1$  отличает от Pseudocricetus, также среднеплиоценовых-плейстоценовых Cricetinus. Кроме того, хомяки рода Cricetinus имели более крупные размеры и тип строения массетерной пластинки черепа, свойственный современным Tscherskia, — передний и задний края располагаются параллельно, выпуклостью вперед. Следует также отметить, что у Cricetinus, как правило, происходит полная, или почти полная, редукция внутренней ветви антеролофа на  $M^3$ . По степени осевой асимметрии  $M_2$  сравниваемые роды достаточно близки, однако у Pseudocricetus внутренняя ветвь антеролофида развита значительно сильнее и практически всегда отсутствует задний гребень метаконида, достаточно часто проявляющийся у Cricetinus, как у Tscherskia и Cricetus.

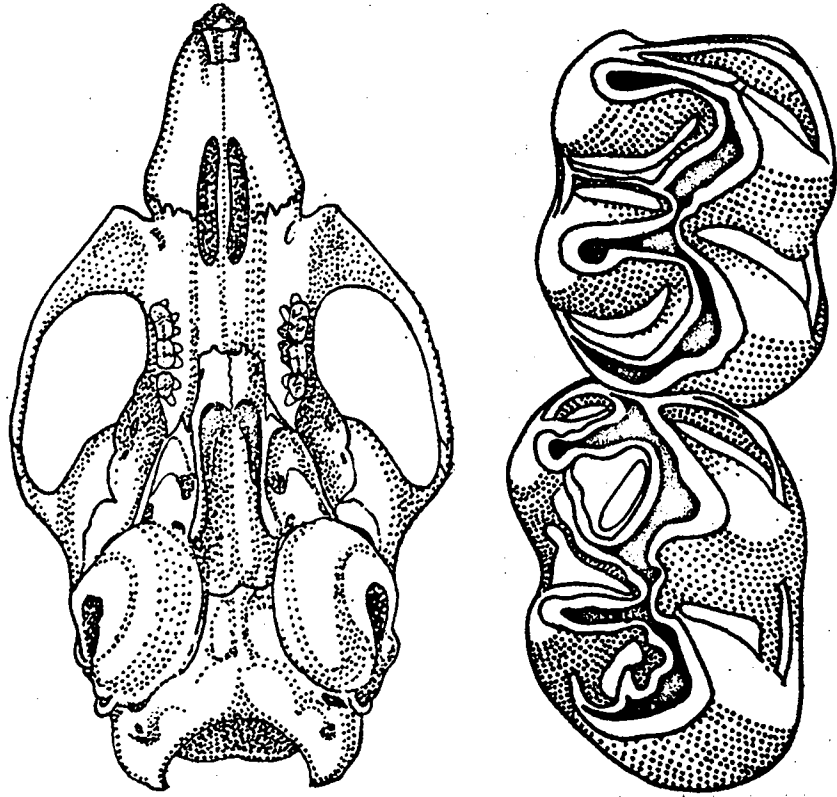


Рис. 45. *Tscherskia triton* Winton, задненебный отдел черепа, современный, Приморский край (вид снизу)

Рис. 46. *Cricetus cricetus* L.,  $M_2 - M_3$ , современный, Симферополь, жевательная поверхность

Отличия между *Pseudocricetus* и *Tscherskia* во многом совпадают с таковыми между *Pseudocricetus* и *Cricetinus*. По степени развития переднего латерального выступа в месте перехода скуловой дуги в костный мостик на *for. infraorbitalis* сравниваемые роды близки между собой, а также с *Cricetus*. Четко отличается от *Tscherskia* более сдвинутым назад задним краем резцового отверстия. У *Tscherskia* он заметно сдвинут вперед по отношению к альвеоле  $M^1$  (рис. 45).

При общем сходстве в строении нижнего резца и по положению заднего края резцового отверстия относительно альвеолы  $M^1$  от *Cricetus* и *Phodopus* отличается постоянным наличием внутренней ветви антеролофа на  $M^2 - M^3$ . Рудименты последней лишь изредка проявляются на  $M^2$  современных родов и отсутствуют на  $M^3$ . Кроме того, при

совпадении такого признака, как сравнительно узкая массетерная пластинка черепа, характеризующаяся к тому же заметным сходением переднего и заднего ее краев, отличается наличием переднелатерального выступа скуловой дуги. К тому же представители родов *Cricetus* и *Phodopus* характеризуются заметно меньшими абсолютными размерами.

Одонтологически четко дифференцирован по отношению к *Mesocricetus*, хотя близок к последнему по типу строения нижних резцов, поскольку их эмаль у средних хомяков характеризуется крайне слабым захождением на внутреннюю грань. Тем не менее, у *Mesocricetus* у  $M^2 - M^3$  всегда отсутствует внутренняя ветвь антеролофа. К тому же  $M^2 - M^3$  средних хомяков значительно сильнее вытянуты в продольно, чем одноименные моляры всех известных в настоящее время вымерших и recentных евразиатских *Cricetini*, включая *Pseudocricetus*.

По размерам *Pseudocricetus* близок к *Allocricetus*. Однако в строении постоянных коренных и массетерной пластинки черепа у сравниваемых родов наблюдаются те же отличия, что и при сопоставлении с *Cricetus* и *Phodopus*. Кроме того, четко отличается от *Allocricetus* строением нижнего резца и положением заднего края резцового отверстия по отношению к альвеоле  $M^1$ . Так, у зверсманновых хомяков эмаль сильно заходит на внутреннюю грань резца, а резцовые отверстия, как у *Mesocricetus* и *Tscherskia*, заметно смещены вперед.

По типу строения постоянных коренных *Pseudocricetus* наиболее сходен с *Cricetus*. Это в полной мере проявляется в наличии значительно расщепленного антерокона на  $M^1$  и соответственно антероконида на  $M_1$ , а также двойной связи между параконом и протоконом и соответственно между метаконом и гипоконом на  $M^1$  и  $M^2$ . Кроме того, у *Cricetus*, как и у *Pseudocricetus*, может в несколько меньшей повторности, проявляются элементы сложности, особенно мезолофид, не только на  $M_3$ , что свойственно и многим другим современным и вымершим родам евразиатских *Cricetini*, но и на  $M_2$ . Это наблюдается даже у современных *C. cricetus* (рис. 46). Сравниваемые роды сходны также и по типу строения переднего края скуловой дуги – значительная степень развития переднего латерального выступа. Однако четко различаются по следующим признакам, кроме отмеченных ранее, специфичных для *Pseudocricetus*, особенностей строения восходящего отдела нижней челюсти:

- относительно узкой массетерной пластинкой черепа, которая значительно расширена у *Cricetus*;
- отсутствием захождения эмали на внутреннюю грань нижнего резца. Сильно заходящая у *Cricetus*;
- более слабым развитием внутренней ветви антеролофа на  $M^2 - M^3$ . У *Cricetus*, как правило, представлена в виде вальковатых, а

не гребенчатых структур, как у *Pseudocricetus*. Следует также подчеркнуть, что у современных *C. cuniculus*, как и у многих вымерших видов этого рода, в популяциях достаточно часто встречаются экземпляры с полностью редуцированными структурами подобного рода;

— с симметричным расположением антероконулида по отношению к продольной оси жевательной поверхности  $M_2$ . У *Cricetus* оно асимметрично;

— одинарной связью метаконида  $M_2$  с протоконидом, которая у *Cricetus* в достаточно частой повторности двойная;

— смещенным назад до уровня переднего края альвеолы  $M^1$  задним краем резцового отверстия, значительно не достигающего последнего у *Cricetus*;

— значительно меньшими абсолютными размерами. (Этот признак не теряет своего значения даже по отношению к наиболее мелким, древнейшим представителям рода *Cricetus*).

З а м е ч а н и я. Единственный из известных до настоящего времени представитель этой группы низших хомячих — позднемиоценовый *P. kormosi* Schaub рассматривался в составе рода *Cricetus* ввиду явно выраженного сходства в строении постоянных коренных [86, 48, 10]. Это привело к значительному понижению геологического возраста современного рода *Cricetus*, опустив его до уровня завершающей фазы позднего миоцена — 13-й биозоны Мейна, которая примерно совпадает с верхним мэотисом восточноевропейской регионарной схемы. Однако, как показано ранее, включение этого и близких к нему новых восточноевропейских мэотических видов в состав современного рода мало оправдано. Во всяком случае, диапазон различий между этой вымершей группой мэотических и древнепонтических *Cricetini* и *Cricetus* значительно превосходит по краинологическим и даже одонтологическим показателям таковой между современными родами. Учитывая также, что мэотические и древнепонтические представители этой группы образуют во времени, по крайней мере, три четко различающиеся популяции, которым может быть придан видовой ранг, выделение этой группы низших хомячих в самостоятельный род представляется вполне оправданным.

Прямая филогенетическая связь *Pseudocricetus* с более древними низшими хомячими, имеющими усложненный тип строения постоянных коренных, несомненна. Об этом свидетельствует сохранение элементов сложности, прежде всего мезолофа — изредка на  $M^1$ , чаще на  $M^2$  в резервных морфотипах популяций отдельных видов. Это в полной мере касается и мезолофида на  $M_1 - M_2$ . К числу таких предков можно было бы отнести некоторых древних представителей рода *Kowalskia* с чертами эволюционной продвинутости в строении постоянных коренных. Примером может служить *K. progressa* sp. nov., который непосредственно предшествовал во времени в пределах того же региона

известию *Pseudocricetus*. Кроме того, он по сравнению с более поздними видами рода *Kowalskia* уже характеризовался высшей (в пределах рода) степенью расщепленности антерокона на  $M^1$  при полном сохранении всех элементов сложности, свойственных даже эволюционно продвинутым *Cricetodontinae* рода *Cricetulodon* — группе *C. hartenbergeri*. Однако в резервных морфотипах венгерской популяции *P. kormosi* встречаются  $M^2$  с тремя корнями. У *Kowalskia*, включая древнейшие формы, их четыре. Поэтому нельзя исключить и прямую филогенетическую связь *Pseudocricetus* с *Cricetulodon*. В этом случае *Pseudocricetus* и *Kowalskia* должны рассматриваться как параллельно развивающиеся филумы, имеющие общих предков. Окончательное решение этого вопроса сопряжено с получением дополнительной информации по краинологии перечисленных групп и, прежде всего, требует дополнительных материалов, сохранивших детали строения нижней челюсти.

Вероятно, род *Pseudocricetus* может оказаться исходной группой для позднемиоценовых-эоплейстоценовых *Allocricetus*. Так, с последними их сближают строение резцовых отверстий и степень сложности антеролофа на  $M^2 - M^3$ . В последнем случае у *Allocricetus* четко прослеживается тенденция к редукции внутренней ветви антеролофа, вплоть до его полной утраты на  $M^3$ . Следует также подчеркнуть, что у последних в стадии становления находится и такой признак, как степень захвождения эмали на внутреннюю грань нижнего резца. Во всяком случае, у древнеэоплейстоценовых крупных *Allocricetus* этот признак выражен в меньшей мере, чем у позднеэоплейстоценовых видов. Однако у позднемиоценовых форм он проявляется примерно так же, как и у позднеэоплейстоценовых. Сближают эти роды и наличие сравнительно узкой массетерной пластинки черепа. Но имеющийся четко выраженный крицетусский передний латеральный выступ скапуловой дуги в известной мере противоречит сближению.

Прямая филогенетическая связь *Pseudocricetus* с *Cricetus*, вероятно, отсутствует. В качестве прямых предков последних достовернее выглядят крупные *Cricetinae*, проблематично относимые нами к роду *Kowalskia*, а некоторыми исследователями — даже к *Democricetodon* (*Cricetodontinae*) [56], единичные находки которых зафиксированы в верхнем понте Восточной Европы (Кучурган) и древнего среднего шлиоцена Западной Европы (Венже) (15-я биозона Мейна). Последнее не означает, что именно эти формы являются предками *Cricetus*, поскольку примерно одновременно с ними в полономисской зоне юга Франции — перциньянских слоях — уже известны постоянные коренные довольно крупных проблематичных *Cricetus*, утративших, по крайней мере на  $M_1$ , элементы сложности, свойственные *Kowalskia* — *C. angustidens* Deperet, *C. barrierei* Mein. Не менее важно и то, что крупные проблематичные *Kowalskia* известны и из более поздних промимомиссных сообществ (Венже). Однако перечисленные находки свидетельствуют

и о существовании, по крайней мере, в понте Восточной Европы отдельного филума крупных Cricetini, среди которых, возможно, и следует искать прямых предков современного рода. В свою очередь, и безоговорочное отнесение периньянских находок к роду *Cricetus* требует ревизии. Так, при общем сходстве в строении  $M^1 - M^3$  и  $M_2 - M_3$  оба периньянских вида характеризуются трехчленным разделением антероконида на  $M_1$ , что достаточно наблюдается у Kowalskia, но не свойственно ни *Cricetus*, ни *Pseudocricetus*. Весьма специфичным для периньянских форм является и наличие на тех же зубах четко выраженного поперечного гребня в месте схождения передних гребней метаконида и протоконида, образующего по мере стирания зuba самостоятельный элемент рисунка жевательной поверхности, что также не наблюдается ни у *Cricetus*, ни у *Pseudocricetus*. Таким образом, достоверные находки *Cricetus*, по-видимому, пока не выходят за границы среднего плиоцена в Западной и эоплейстоцене в Восточной Европе.

**Состав рода.** 3–4 вымерших вида: *P. antiquus* sp. nov., древний мэотис юго-западного Причерноморья Украины; *P. orienteuropeus* sp. nov., средний мэотис, оттуда же; *P. kormosi* Schaub, 1930, поздний мэотис – древний понт юго-западного Причерноморья Украины, поздний миоцен Южной и Центральной Европы. Кроме того, из нижнего понта юго-западного Причерноморья Украины (местонахождение Фрунзовка 2) известна форма *Pseudocricetus* sp., отличающаяся от отмеченных выше видов, статус которой из-за малого количества материалов требует дополнительной проработки.

**Геологическое и географическое распространение.** Завершающая фаза позднего миоцена (12–13-я бионы Мейна) Западной Европы – Венгрия, Испания. Конец позднего миоцена (мэотис) – начало древнего плиоцена (первая половина нижнего понта) юга восточной Европы.

#### *P. antiquus Topachevskii et Scorik, sp. nov.*

**Голотип.** Фрагмент верхнечелюстной кости с полностью сохранившимся рядом  $M^1 - M^3$ ; с. Черевичное, нижний слой; древний мэотис; хранится в коллекциях отдела палеозоологии позвоночных и палеонтологического музея ИЗАН Украины, № 49.

**Дополнительный материал.** Обломки верхнечелюстной кости с  $M^1 - M^3 = 3$ ,  $M^1 - M^2 = 8$ ,  $M^1 - 9$ ,  $M^2 - M^3 = 1$ ,  $M^2 - 2$ ,  $M^3 - 1$  экз.; горизонтальные ветви нижней челюсти и их обломки:  $M_1 - M_3 = 7$ ,  $M_1 - M_2 = 4$ ,  $M_1 - 2$ ,  $M_2 - M_3 = 13$ ,  $M_2 - 13$ ,  $M_3 - 9$  экз.; изолированные зубы:  $M^1 = 79$ ,  $M^2 = 52$ ,  $M^3 = 30$ ,  $M_1 = 69$ ,  $M_2 = 66$ ,  $M_3 = 21$  экз. Происходит из того же местонахождения, что и голотип. Место хранения то же.

**Диагноз.** Размеры мелкие: длина  $M_1 - M_3$  менее 6,0 мм (5,15–5,3–5,5 мм). Нижний резец относительно узкий, его ширина менее 0,85 мм.

**Описanie.** Горизонтальная ветвь нижней челюсти относительно низкая: отношение ее высоты на уровне альвеолы  $M_1$  к длине ряда постоянных коренных – 65,1; 74,9; 75,4. Переднезадний поперечник нижнего резца не более 1,3 мм. Сочленовный отросток относительно узкий – ширина его основания менее 40 % длины  $M_1 - M_3$ . Подбородочное отверстие и передний край массетерной площадки сближены (табл. 1). Свободный мезолоф на  $M^2$  развит не менее, чем у 60 % экземпляров. Передние гребни экстерио- и интериоантерокона  $M^1$ , оконтуривающие спереди антероконную вырезку, четко обозначены у 75–85 % популяций. Постеролофная марка почти всегда имеется, отсутствует не более чем у 10–12 % экземпляров. Антероконид  $M_1$  характеризуется преимущественно двойной связью с последующей парой бугорков – более 62 % популяций. Примерно у 15 % популяций на  $M_1$  сохраняются четко выраженный мезолофид или его следы. Размерные показатели отдельно взятых верхних и нижних постоянных коренных в среднем мельче, чем у позднемэотического и древнепонтического *P. kormosi* (рис. 38, 42), хотя значительная трансгрессия по этому показателю имеет место. Более четко этот признак проявляется на  $M^1$ ,  $M_1 - M_3$ .

**Сравнение.** Проводится по мере описания последующих видов.

**Замечания.** Среди известных в настоящее время видов рода сохраняет в более частой повторности примитивные резервные морфотипы. Это в полной мере касается как элементов усложнения жевательной поверхности постоянных коренных, прежде всего  $M^1 - M^2$  и  $M_1 - M_2$ , так и наличия трехкоренных  $M^1$ .

**Геологическое и географическое распространение.** Древний мэотис юго-запада Украины, слои, лежащие в непосредственной близости к зоне контакта с верхнесарматскими отложениями. В корреляции с местонахождениями крупных млекопитающих в пределах этого региона, вероятно, соответствует новоелизаветовскому подкомплексу белкинского фаунистического комплекса, а в сопоставлении с биозонами Мейна – низам 12-й зоны.

#### *P. orienteuropeus Topachevskii et Scorik, sp. nov.*

**Голотип.** Полностью сохранившаяся нижнечелюстная кость с  $M_1 - M_3$ ; с. Протопоповка, уступ восточного берега Хаджибейского лимана, нижний слой – пески с многочисленными раковинами *Unionidae*, 1,5–2,0 м от уреза воды в лимане; поздний миоцен–мэотис, вероятно, средний. Хранится в коллекциях отдела палеозоологии позвоночных и палеонтологического музея ИЗАН Украины, № 50.

Таблица 1. Промеры (мм) и индексы (%) нижней челости рода *Pseudocricetus* Top. et Scor. gen. nov.

Морфологический признак	<i>P. antiquus</i> Top. et Scor., sp. nov. (предний мезотис)		P. orienteuropeus Top. et Scor. sp. nov. (средний мезотис)	P. Kormosi Schaub. (поздний мезотис)
	Червичное, нижний слой	Новооцветковка 3		
Альвеолярная длина $M_1 - M_2$	5,15; 5,25; 5,3; 5,5 ( $n = 5$ )	5,15–5,32–5,55 ( $n = 5$ )	4,85–5,33–5,85 ( $n = 14$ )	6,0; 6,0; 6,2
Длина по коронке $M_1$	1,75–1,91–2,15 ( $n = 5$ )	1,9; 1,97	1,86; 1,95; 2,00	2,1
$M_2$	1,5–1,62–1,75 ( $n = 7$ )	1,6; 1,62; 1,75	1,45; 1,7; 1,75	2,04
Длина дна системы	4,6; 4,9	4,0–4,13–4,3	3,5–4,32–4,6 ( $n = 6$ )	5,2; 5,91
$h$ pars dentale на уровне средней альвеолы $M_1$	3,42; 4,0; 4,0; 4,12	3,9; 4,17; 4,7; 4,7 ( $n = 9$ )	3,7–4,3–4,6 ( $n = 9$ )	5,00; 5,02
Ширина основания отростка венчного утлого	—	—	1,15; 2,5 2,25	—
Со спинового отростка	2,0; 2,75	—	2,6–2,91–3,5 ( $n = 5$ ) 2,7; 3,5; 3,75; 4,00	—
Длина со спинового отростка по верхнему краю	—	—	4,3; 4,45; 9,10; 10,0 0,35–1,26–1,65 ( $n = 14$ )	—
Наименьшее расстояние от подборочного отверстия до задней вырезки по углу массетерной площадки	( $n = 7$ ) 0,8–1,0–1,22	( $n = 5$ ) 1,4–1,45–1,55	1,51; 1,79 5,35; 4,25 5,75	—
Ширина восходящей ветви	—	—	—	—
Наименьшая $h$ чешотки между вырезками	—	—	—	—

#### Индексы (к альвеолярной длине $M_1 - M_2$ )

Длина по коронке $M_1$	28,3; 28,5; 30,8; 33,9 88,3; 93,3	34,2; 37,8 75,4; 83,7	35,4; 38,3; 39,6 72,1–81,3–94,8	36,0 35,0 83,0; 101,0
Длина дна системы	—	—	—	—
$h$ pars dentale на уровне $M_1$	65,1; 74,9; 75,4	74,2; 80,9; 84,6; 90,3 $n = 6$	75,2–80,0–91,7 $n = 9$	80,0; 86,0
Ширина основания отростка венчного утлого	—	—	22,7; 46,7	—
Со спинового отростка	36,1; 38,0	44,5	47,7–54,6–69,3 $n = 5$	—
Длина со спинового отростка по верхнему краю	—	—	49,5; 66,6; 74,2; 74,7 $n = 5$	—
Наименьшее расстояние от подборочного отверстия до угловой вырезки чешотки	—	—	17,0; 19,0; 79,4; 85,1 $n = 5$	—
Площадки	—	—	16,9–28,2–32,1 $n = 14$	24,0; 30,0
Ширина восходящей ветви	—	—	84,1; 100,0 11,3	—
Наименьшая $h$ чешотки между нижней и венчной вырезкой	—	—	—	—

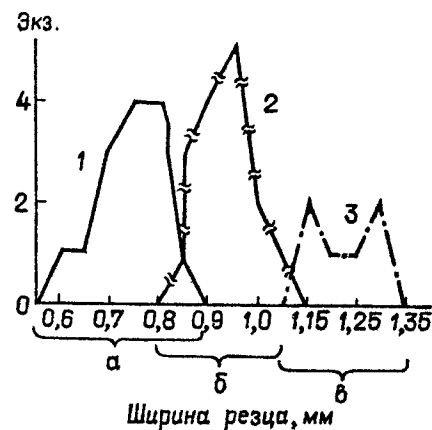


Рис. 47. Соотношение ширины резца ( $M_1 - M_3$ ) у разных видов рода *Pseudocricetus*:  
 1 – *P. antiquus* sp. nov.; 2 – *P. orienteuropeus* sp. nov., 3 – *P. kormosi* Schaub;  
 а – 5,15 м; 5,25; 5,3; 5,55; б – 4,85–5,33–5,8 (n = 18); в – 6,0; 6,0; 6,1; 6,5; 6,2–6,5–6,7 (n = 7, типовая серия)

разрезе с местонахождением остатков крупных млекопитающих гиппариионовой фауны вблизи с. Новоелизаветовка, но залегающих на более высоких уровнях – Новоелизаветовка 3. Эти сборы представлены в следующем количестве: обломки верхнечелюстной кости с  $M^1 - M^2$  – 1,  $M^1 - 1$ ,  $M^2 - M^3$  – 1,  $M^2$  – 4 экз.; горизонтальные ветви нижнечелюстной кости и их обломки с  $M_1 - M_3$  – 1,  $M_1 - M_2$  – 1,  $M_1 - 1$ ,  $M_2 - M_3$  – 3,  $M_2 - 3$ , без постоянных коренных – 1 экз.; изолированные постоянные коренные:  $M^1$  – 20,  $M^2$  – 20,  $M^3$  – 15,  $M_1$  – 11,  $M_2$  – 16,  $M_3$  – 17 экз. Хранятся там же, где и голотип.

**Диагноз.** Размеры сходны с предыдущим видом: длина  $M_1 - M_3$  менее 6,0 мм (4,85–5,3–5,85 мм). Нижний резец расширенный: при совпадении длин нижнего зубного ряда его ширина превышает 0,85 мм (рис. 47).

**Описanie.** Горизонтальная ветвь нижней челюсти относительно высокая: ее высота на уровне альвеолы  $M_1$ , как правило, превышает 75 % длины нижнего ряда постоянных коренных (табл. 1). Переднезадний поперечник нижнего резца в подавляющем большинстве случаев превышает 1,3 мм. Сочленовый отросток расширенный – ширина его основания более 40 % длины нижнего зубного ряда (табл. 1). Подбородочное отверстие в среднем более удалено от переднего края массетерной площадки, чем у предыдущего вида. Свободный мезолоф на  $M^2$  представлен не более чем у 10–40 % популяций. Оба передних гребня экстero- и интэрантекона  $M^1$  сохраняются не более, чем у

50 % популяций. У 40–50 % экземпляров  $M^1$  отсутствует постеролофная марка вследствие редукции заднего гребня метакона. В соединении антероконида  $M_1$  с последующей парой бугорков резко сокращается частота встречаемости двойной связи (36–47 %) и резко возрастает количество морфотипов, характеризующихся одинарной связью (32–33 %). Мезолофид на  $M_1$  наблюдается в единичных случаях. Размерные показатели отдельно взятых зубов полностью совпадают с таковыми предыдущего вида (рис. 38, 42).

**Сравнение.** При полном сходстве размеров четко отличается от *P. antiquus* – большей шириной и, возможно, переднезадним попечником нижнего резца (рис. 47), более высокой горизонтальной ветвью нижней челюсти, более расширенным основанием сочленового отростка и, по-видимому, менее сближенным подбородочным отверстием и передним краем массетерной площадки нижней челюсти. Характеризуется также иным распределением основных и резервных морфотипов по таким признакам, как строение передних гребней антерокона на  $M^1$ , наличие или отсутствие постеролофной марки на том же моляре, двойной или одинарной связью антеролофида на  $M_1$  и частота сохранения мезолофида.

**Замечания.** По частоте сохранности древних признаков, в первую очередь мезолофида на  $M_1$ , представляет собой эволюционно более продвинутую форму. Не исключена прямая трансформация *P. antiquus* в *P. orienteuropeus*.

**Геологическое и географическое распространение.** Средний мэотис юго-запада Украины. В корреляции с местонахождениями крупных млекопитающих в пределах этого региона, по всей вероятности, соответствует белкинскому подкомплексу одноименного комплекса, а в сопоставлении с биозонами Мейна – верхам 12-й зоны.

#### *P. kormosi* Schaub, 1930

**Материал.** 1. Обломки верхнечелюстной кости с  $M^1 - M^2$  – 1,  $M^1 - 1$ ,  $M^2 - 2$ ,  $M^3 - 1$  экз.; горизонтальные ветви нижней челюсти и их обломки с  $M_1 - M_3$  – 2,  $M_1 - M_2$  – 1,  $M_2 - M_3$  – 2,  $M_2 - 2$ , без постоянных коренных – 1 экз.; изолированные постоянные коренные:  $M^1$  – 2,  $M^2$  – 7,  $M^3$  – 2,  $M_1$  – 7,  $M_2$  – 5,  $M_3$  – 4 экз.; с. Андреевка, поздний мэотис, пески и гравелиты, лежащие в цоколе понтических отложений.

2. Обломки верхнечелюстной кости с  $M^1 - M^3$  – 1,  $M^1 - M^2$  – 1,  $M^1 - 2$ ,  $M^2 - 1$ , без постоянных коренных – 1 экз.; обломки горизонтальной ветви нижней челюсти с  $M_2 - M_3$  – 1,  $M_2 - 1$  экз.; изолированные постоянные коренные:  $M^1$  – 6,  $M^2$  – 10,  $M^3$  – 4,  $M_1$  – 7,  $M_2$  – 7,  $M_3$  – 8 экз.; с. Новоукраинка, верхний мэотис, толща песков и гравелитов.

литов, лежащая в цоколе понтических отложений — 3–4 м ниже понтических известняков — местонахождение Новоукраинка 1.

3. Обломки верхнечелюстной кости с  $M^1$  — 2 экз.; изолированные постоянные коренные:  $M^1$  — 2,  $M^2$  — 2,  $M_1$  — 2 экз.; с. Ореховка, верхний мэотис, толща песков и гравелитов, лежащая в цоколе понтических отложений.

4. Изолированные постоянные коренные:  $M^1$  — 14,  $M^2$  — 21,  $M^3$  — 21,  $M_1$  — 8,  $M_2$  — 19,  $M_3$  — 33 экз.; Одесса, самые низы пойта — лектостратотип, зона непосредственного контакта с мэотисом.

Перечисленный материал хранится в коллекциях отдела палео-зоологии позвоночных и палеонтологического музея ИЗАН Украины.

Диагноз. Самый крупный из известных в настоящее время представителей рода: длина нижнего ряда постоянных коренных 6,0 мм и более. Ширина нижнего резца более 0,85 мм.

Описания. Горизонтальная ветвь нижней челюсти сравнительно высокая: отношение высоты на уровне альвеолы  $M_1$  не менее 80 % альвеолярной длины  $M_1$  —  $M_3$ . Подбородочное отверстие, как и у *P. orienteuropeus*, удалено от переднего края массетерной пластинки нижней челюсти (табл. 1). По типу строения постоянных коренных сходен с предыдущим видом, хотя все без исключения постоянные коренные в среднем заметно крупнее, чем у *P. antiquus* и *P. orienteuropeus* (рис. 38, 42). Переднезадний попеченик нижнего резца более 1,1 мм. Кроме того, в строении  $M_1$  преобладает ограниченно двойная связь антероконида с последующей парой бугорков — у более 50 % и резко сокращается одинарная — не больше 10 % популяций.

Сравнение. От двух предыдущих видов отличается более крупными размерами, что проявляется в альвеолярной длине нижнего ряда постоянных коренных, ширине и переднезаднем попеченике нижнего резца (рис. 47). В средних величинах более крупные размеры *P. kormosi*, по сравнению с *P. antiquus* и *P. orienteuropeus*, четко фиксируются и по отдельно взятым постоянным коренным (рис. 38, 42). Характеризуется также иным распределением основных и резервных морфотипов по такому признаку, как характер связей антероконида  $M_1$  с последующей парой бугорков. Кроме того, от *P. antiquus* отличается более высокой горизонтальной ветвью нижнечелюстной кости, резким сокращением морфотипов  $M_2$  с относительно свободным мезолофом и  $M^1$  с наличием двух передних гребней антерокона. По этим признакам проявляет значительное сходство с *P. orienteuropeus*.

Замечания. Вероятно, представляет собой наиболее эволюционно продвинутую форму, отражая конечную fazu развития хомяков этого рода. По-видимому, находится в прямой филогенетической связи с *P. antiquus* и *P. orienteuropeus*. Любопытно, что у древнеплиоценовых популяций этого вида проявляется определенно выраженная тенденция к вторичному уменьшению абсолютных размеров, что особенно

четко фиксируется на  $M^1$ ,  $M_1$  и  $M_2$  (рис. 38, 42). Однако несмотря на это, ошибки при определении представителей этого вида по размерным показателям практически исключаются, поскольку в переходной зоне располагаются крупные по размерам формы *P. kormosi*, резко отличающиеся по этому показателю от более древних *P. antiquus* и *P. orienteuropeus*. Следует, однако, подчеркнуть, что эти изменения размерных показателей, в сущности, не затрагивают  $M^3$  и  $M_3$ . Таким образом, не исключено, что *P. kormosi* при дальнейших исследованиях на более обильном материале окажется представленным в пределах юго-запада европейской части Украины 2–3-аллохронными популяциями. Во всяком случае, уже сейчас намечаются более крупная, с несколько укороченными  $M^3$  и  $M_3$ , позднемэотическая и более мелкая древнепонтическая формы с относительно крупными верхним и нижним третьими постоянными коренными. Не исключено также, что в составе позднемэотической популяции может проявиться и наиболее древняя ореховская группировка, превосходящая по размерам близких между собой андреевскую и новоукраинскую популяции. Следует также отметить в среднем более крупные размеры западноевропейских представителей этого вида — типовой формы из Венгрии (Полгарди) и испанских *P. cf. kormosi* из местонахождения Crevillente б [48, 86]. Следовательно, в этом случае может иметь место и проявление географической изменчивости вида. Среди восточноевропейских *P. kormosi* к таковой популяции из Венгрии наиболее близка форма из Ореховки.

Геологическое и географическое распространение. Завершающая фаза позднего миоцена (поздний мэотис) — древнейший плиоцен Западной и Восточной Европы. В корреляции с западноевропейской биозональной схемой соответствует верхам 13-й биозоны, а древнейшие нижнепонтические находки юго-запада Украины — границе и низам 14-й биозоны. В сопоставлении с мэотическими сообществами крупных млекопитающих северного участка Восточной Паратетиды, по-видимому, должны быть отнесены к черевычанскому подкомплексу белкинского комплекса и частично к самой древней из известных понтических микротериофаун — фонтановскому подкомплексу из лектостратотипа пойта [39].

#### *P. cf. orienteuropeus* из Новоукраинки 2

В отличие от местонахождения мелких млекопитающих Новоукраинка 1 приурочено к значительно более низкому стратиграфическому уровню — гравелитам, залегающим непосредственно над местонахождением остатков крупных млекопитающих гиппарионовой фауны, относимой к верхам сарматы [17].

Материал. Обломок горизонтальной ветви нижнечелюстной

кости с  $M_1 - M_3 - 1$  экз.; изолированные постоянные коренные:  $M^1 - 12, M^2 - 6, M^3 - 3, M_1 - 12, M_2 - 2, M_3 - 1$  экз. Весь материал хранится в коллекциях отдела палеозоологии позвоночных и палеонтологического музея ИЗАН Украины.

**Описание и сравнение.** Размеры мелкие: альвеолярная длина  $M_1 - M_3 - 5,2$  мм. По размерным показателям всех постоянных коренных полностью укладывается в зону средних значений *P. orienteuropeus* и *P. antiquus*, т.е. заметно мельче, чем *P. kormosi* (рис. 38, 42). К сожалению, отсутствуют нижние резцы, что, учитывая значительное сходство в строении постоянных коренных у первых двух видов, очень затрудняет окончательное определение серии остатков, в частности, предопределяя использование открытой номенклатуры. Однако сохранившаяся горизонтальная ветвь нижнечелюстной кости по таким признакам, как относительная ее высота на уровне  $M_1$  (96,1) и степень удаления ментального отверстия от переднего края массетерной площадки (23,0), ближе к *P. orienteuropeus*, чем к *P. antiquus*. С первым эту популяцию сближает также преобладание среди  $M^2$  морфотипов с мезолофом, трансформированным в передний гребень метакона, или проявляющих резко выраженную тенденцию к таковой трансформации, доминирование  $M^1$  без постеролофной марки, резкое сокращение частоты встречаемости двойной связи антероконида на  $M_1$  с последующей парой бугорков — преобладают ограниченно двойная и одинарная связь. Не обнаружены также морфотипы с сохранившимся мезолофидом  $M_1$ . Однако в довольно частой повторности — в двух случаях из двенадцати встречаются трехкорневые  $M^1$ .

**Замечания.** Не исключено, что эта форма представляет собой одну из древнейших аллохронных популяций *P. orienteuropeus*, промежуточную между более древней *P. antiquus* и типичными представителями восточноевропейских псевдокрицетус. Рассмотрение ее в качестве звена в филогенетическом ряду *P. antiquus* — *P. orienteuropeus* — *P. kormosi* не встречает каких-либо существенных противоречий. Но для точной интерпретации ее систематического положения требуются дополнительные материалы.

**Геологическое и географическое распространение.** Начало среднего мэотиса юго-запада Украины. В корреляции с местонахождениями крупных млекопитающих этого региона, очевидно, представляют собой древнейший этап белкинского подкомплекса одноименного комплекса, в связи с чем не может рассматриваться как единное ярусное образование с новоукраинской макротериофауной.

#### *Pseudocricetus sp. из Новозметовки*

**Материал.** Обломки горизонтальной ветви нижнечелюстной кости с  $M_1 - M_2 - 2$  экз.; изолированные постоянные коренные:

$M^1 - 3, M^2 - 5, M^3 - 1, M_1 - 6, M_2 - 7, M_3 - 2$  экз. Весь материал происходит из гравелитов, залегающих выше верхнего горизонта с остатками крупных млекопитающих гиппарионовой фауны, — Костев овраг. Хранится в коллекциях отдела палеозоологии позвоночных и палеонтологического музея ИЗАН Украины.

**Описание и сравнение.** По размерным показателям  $M^1$  несколько мельче *P. kormosi*, хотя часть  $M_1$  попадает в зону крайне малых значений этого признака у сравниваемого вида. В целом, по-видимому, укладывается в границы *P. orienteuropeus*, несколько смещаясь в переходную к *P. kormosi* зону (рис. 42). В строении жевательной поверхности коренных также четко просматривается тип,ственный *P. orienteuropeus* и *P. kormosi*, но не *P. antiquus*. Во всяком случае, резко снижено число морфотипов  $M^2$ , имеющих относительно свободный мезолоф, среди  $M^1$  доминируют формы без постеролофной марки, среди  $M_1$  преобладают экземпляры с ограниченно двойной и одинарной связью антероконида с последующей парой бугорков.

**Замечания.** Вероятно, может представлять собой переходную популяцию к *P. kormosi*. Однако окончательное определение ее систематического статуса требует более полной информативной основы.

**Геологическое и географическое распространение.** Конец среднего мэотиса юга-запада Украины. В корреляции с мэотическими сообществами крупных млекопитающих, еще соответствует, очевидно, белкинскому подкомплексу одноименного комплекса, в конечном счете фиксируя его заключительную fazу. Следовательно, как и в случае с новоукраинской популяцией *P. cf. orienteuropeus*, местонахождение остатков крупных млекопитающих гиппарионовой фауны, приуроченное к верхнему горизонту Костева оврага, и орнитоценозы микротерий, связанные с вышележащими гравелитами, относятся к другим стратиграфическим уровням в рамках одного регио-ярусного подразделения.

#### *Pseudocricetus sp. — мелкая форма из проблематичного нижнего пункта Фрунзовки 2*

**Материал.** Обломки верхнечелюстной кости с  $M^1 - M^3 - 1, M^1 - M^2 - 1$  экз.; обломки горизонтальной ветви нижнечелюстной кости с  $M_2 - M_3 - 3$  экз.; изолированные постоянные коренные:  $M^1 - 1, M^3 - 1, M_1 - 4, M_2 - 3$  экз. Весь перечисленный материал происходит из проблематичного нижнего пункта Фрунзовки 2 — пески и гравелиты, залегающие значительно ниже собственно кучурганской толщи. Хранятся в коллекциях отдела палеозоологии и палеонтологического музея ИЗАН Украины.

**Описание и сравнение.** Будучи геологически несколько моложе позднемэотических и древних понтических *P. kormosi*, отлич-

ется от последних мелкими размерами: альвеолярная длина  $M_1 - M_3$  – 4,8 мм. Эти отличия в полной мере проявляются и по отдельно взятым постоянным коренным, которые почти полностью укладываются в зону средних значений этого признака у некрупных, но значительно более древних *P. antiquus* и *P. orienteuropaeus* – соответственно древний и средний мэотис (рис. 38, 42). Однако, если учесть, что древнейшие понтические *P. kormosi* по сравнению с позднемэотическими формами этого вида в среднем имели более мелкие размеры, популяция из Фрунзовки 2, по-видимому, не нарушает общей тенденции ко вторичному уменьшению размеров. По типу строения нижних резцов почти укладывается в границы изменчивости *P. orienteuropaeus*, хотя по переднезаднему понеречнику могут достигать средних значений этого показателя у позднемэотических восточноевропейских *P. kormosi* (рис. 47). Но по ширине лежат в зоне средних значений этого признака у *P. orienteuropaeus*, т.е. значительно уже, чем у *P. kormosi*. Кроме того, в отличие от всех прочих видов рода, наблюдаются элементы начальной инверсии эмали на внутреннюю грань резца, что свидетельствует о некоторой эволюционной продвинутости популяций. По типу строения постоянных коренных сходен с *P. kormosi*. Однако не обнаружены какие-либо следы элементов сложности – мезолофа на  $M^1 - M^2$  и соответственно мезолофида на  $M_1 - M_2$ , обычно сохраняющихся в какой-то мере у более древних форм. Кроме того, популяция из Фрунзовки 2 характеризуется очень слабым развитием внутренней ветви антеролофида  $M_2$  и укороченным  $M_3$  (рис. 48).

**З а м е ч а н и я.** По всей вероятности, представляет собой заключительную фазу развития рода. Этим особенно и объясняется проявление черт эволюционной продвинутости – начальный этап инверсии эмали на нижних резцах и, по-видимому, практически полная редукция элементов сложности на постоянных коренных. Не исключена видовая самостоятельность формы, что может быть подтверждено в дальнейшем на более обильном материале. По степени инверсии эмали на нижних резцах достигает уровня некоторых *Allocricetus*, однако имеет  $M^3$  с хорошо развитой внутренней ветвью антеролофа, которая не подвержена столь глубокой редукции, вплоть до полной, свойственной *Allocricetus*. Но, учитывая, что у древнейших *Allocricetus* – *A. anterolopidens* и *A. raeburgae* (описание некоторых приведено ниже) этот признак все же находит определенное проявление, не исключена принадлежность популяции из Фрунзовки 2 к одной из переходных форм между *Pseudocricetus* и *Allocricetus*, чем, видимо, фиксируется возможность прямой трансформации рода в род. Однако западное Причерноморье Украины едва ли является зоной трансформации, ибо в последующие фазы древнего плиоцена – панта и в среднем плиоцене – киммерии, происходит коренная перестройка ассоциаций низших хомячих, в составе которых, во всяком случае, отсутствует *Allocricetus*. Послед-

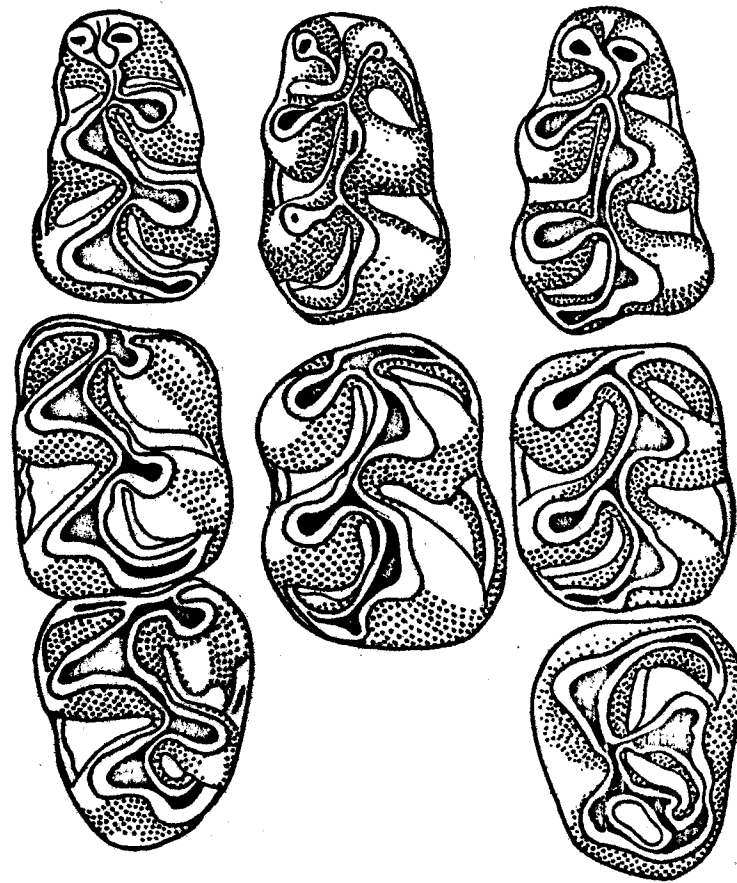


Рис. 48. *Pseudocricetus* sp. (мелкая форма),  $M_1 - M_3$ , нижний понт, Фрунзовка 2, жевательная поверхность (ряды составлены)

ний впервые появляется в составе позднеплиоценовых акчагыльских сообществ мелких млекопитающих.

**Геологическое и географическое распространение.** Завершающая фаза первой половины древнего панта западного Причерноморья Украины, найден в составе крайне аридного сообщества, занимающего промежуточное положение между самыми низами (лектостратотип) и средней частью нижнего панта (Виноградовка). В корреляции с сообществами крупных млекопитающих древнего плиоцена, вероятно, соответствует слоям с первыми находками *Camelidae* – род *Gigantocamelus* в нижних частях понтических известняков – пильный камень [39].

Под *Stylocricetus* Topachevski  
et Scorik, gen. nov.

Типовой вид *Stylocricetus meoticus* sp. nov.; начало второй половины позднего миоцена — древнейший мэотис Западного Причерноморья Украины (местонахождение Черевичное, нижний слой).

**Диагноз.** Объединяет средних по размерам Cricetinae, приближающихся по этому признаку к современным *Allocricetus* (альвеолярная длина  $M^1 - M^3 = 5,1 - 5,5$  мм;  $M_1 - M_3 = 4,9 - 5,6$ ). Антерокон на  $M^1$  и соответственно антероконид на  $M_1$  четко дифференцированы на наружный и внутренний бугорки — экстеро- и интероантерокон на верхних и соответственно экстеро- и интероантеконид на нижних (рис. 49, 50). Мезостиль на  $M^1 - M^3$  сильно развит, соединен с вершиной паракона, трансформирован в вытянутый продольно, высокий, расширенный наружный гребень или даже мощный бугорок, соединяющий паракон с основанием метакона, тем самым полностью замыкая соответствующую входящую складку лабиального ряда в глубокую марку, сохраняющуюся на всех стадиях стертости зуба (рис. 49). Гребень или бугорок постоянно участвует в образовании рисунка стирания. Элементы сложности на верхних постоянных коренных — мезолоф, а на  $M^1$  и передняя поперечная шпора как самостоятельные образования отсутствуют.  $M_2$  сильно вытянуты в продольном направлении, сужены. Резцовые отверстия длинные: заканчиваются примерно на уровне переднего края передней внутренней альвеолы  $M^1$  и сближены с ее внутренним краем (рис. 51).

**Описание.** Массетерная пластинка узкая и высокая — ее длина примерно равна, или меньше длины альвеолы  $M^1$ , а высота по переднему краю превосходит длину. Передний край спрямлен, задний — слабо выпуклый (выпуклость направлена вперед). По плоскости сильно вогнута из-за значительного смещения заднего края наружу по отношению к переднему. Массетерная бугристость от умеренно до сильно развигой, рельефной, преимущественно округлая в очертаниях, располагается на верхнечелюстной кости у основания массетерной пластиники, ближе к ее переднему краю (рис. 51). Задненаружный край резцового отверстия оконтурен четко выраженным гребнем. Снаружи от него обычно четко обозначено предзубное углубление. Твердое небо, вероятно, не расширено, с хорошо обозначенным срединным продольным гребнем, выраженным от начала резцовых отверстий.

Нижняя челюсть с укороченной диастемой: ее длина меньше та-ковой двух передних постоянных коренных. Сочленовный отросток в основном крицетинного типа, слабо сужается по направлению к мышечку и имеет вогнутый верхний край (рис. 52). Подбородочное отверстие сравнительно крутое, сближенное с передним краем мас-сетерной площадки, расстояние между ними обычно меньше длины  $M_2$ .

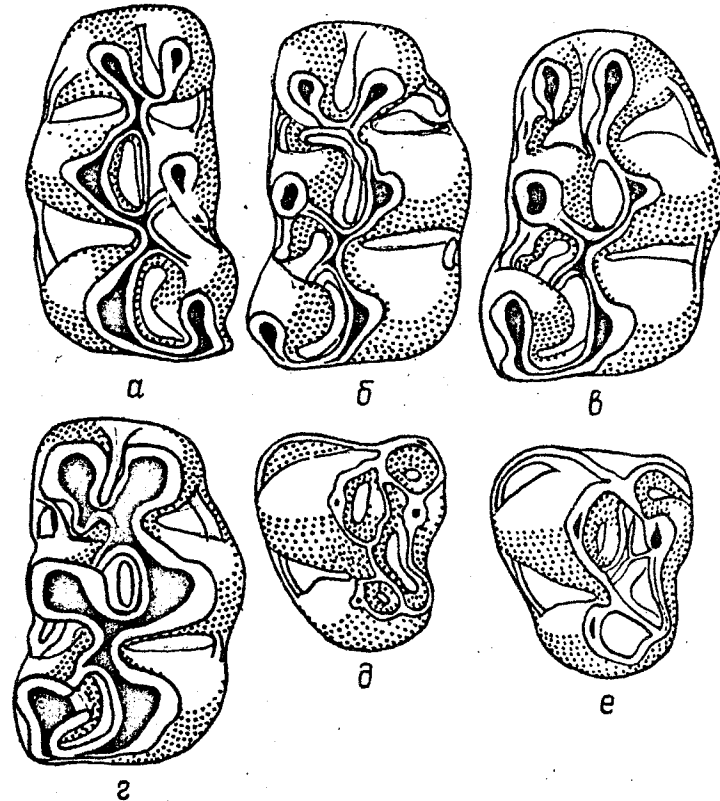


Рис. 49. *Stylocricetus meoticus* sp. nov.,  $M^1$ ,  $M^3$ , жевательная поверхность:

а —  $M^1$ ; средний мэотис, Новоелизаветовка 3; б—г —  $M^1$ ;  
д, е —  $M^3$ , древний мэотис, Черевичное, нижний слой

Нисходящий (нижний) гребень массетерной площадки резко выражен, заканчивается спереди хорошо развитым массетерным бугорком (рис. 52). Восходящий ее гребень слаженный. Альвеолярный бугор умеренно развит, расположжен на уровне венечного отростка. Однако следующая за ним мускульная ямка на наружной стороне сочленового отростка глубокая и имеет резко выраженный, особенно спереди, нижний гребень.

Антерокон на  $M^1$  сильно расчлененный. Вырезка, расчленяющая интеро- и экстероантекон, очень глубокая, что в полной мере проявляется и на передней стенке антерокона. В результате высота свободных частей экстеро- и интероантекона спереди на начальных стадиях стертости составляет примерно половину высоты коронки там же. Следы подобной дифференциации элементов антерокона сохраняются

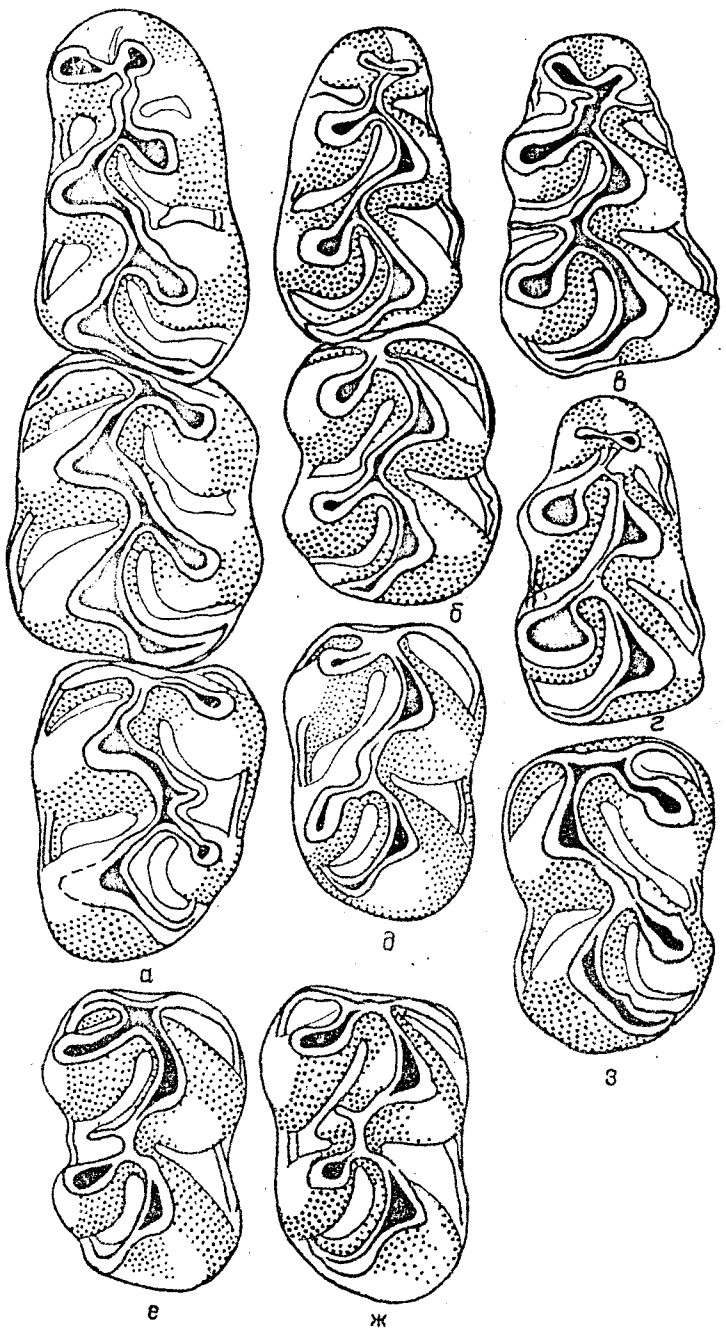


Рис. 50. *Stylocricetus meoticus* sp. nov.,  $M_1 - M_3$ , древний мэотис, Черевичное, нижний слой, жевательная поверхность:  
а–ж – объяснение в тексте

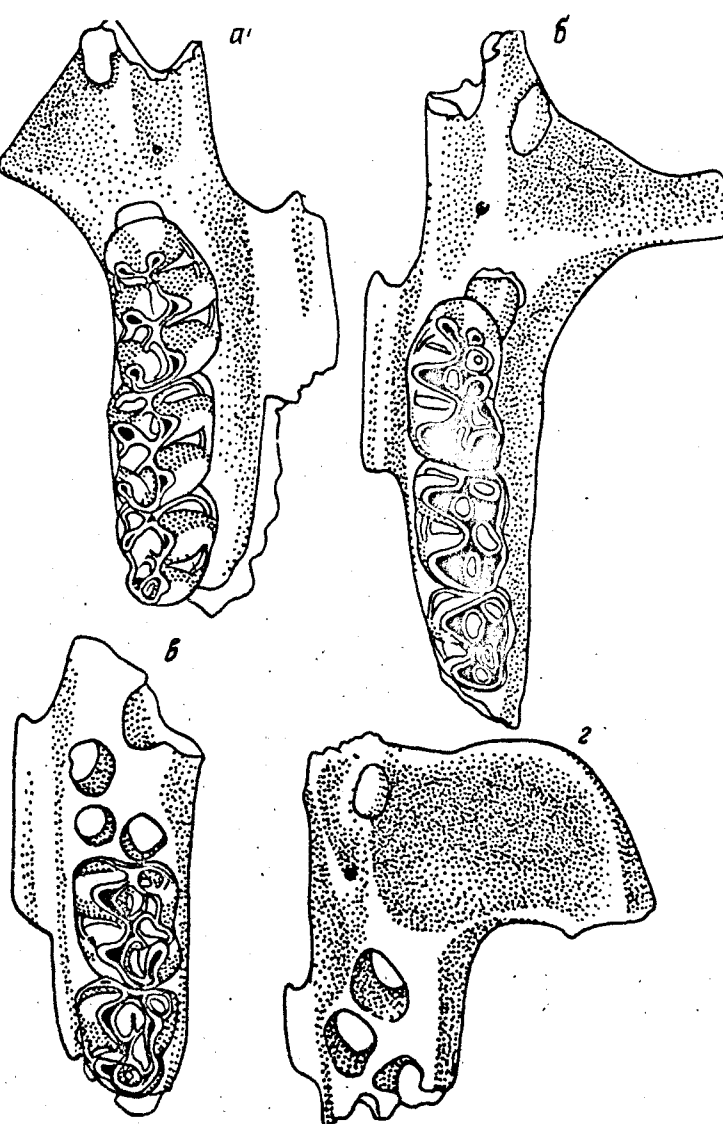


Рис. 51. *Stylocricetus meoticus* sp. nov., задненебный отдел черепа, древний мэотис, Черевичное, нижний слой

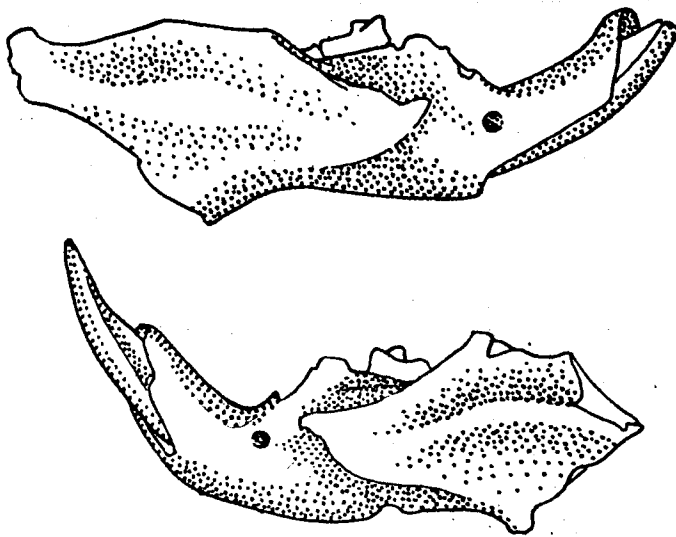


Рис. 52. *Stylocricetus meoticus* sp. nov., строение нижней челюсти, древний мэотис, Черевичное, нижний слой

вплоть до сильных стадий стертости, нивелируясь только на конечно стертых зубах (рис. 49). В этом случае разделяющая элементы антерокона вырезка замыкается в антероконную марку (рис. 49, г). Антероконный отдел несколько сужен, что в какой-то мере отражает тенденцию к сближению экстero- и интероантекона. Соединение антерокона с протоконом осуществляется через сильно развитый задний гребень интероантекона. Задний гребень экстeroантекона соединен с последним далеко вне зоны контакта с протоконом. Наверное, он представляет собой сложное образование, возникшее путем слияния собственно заднего гребня с передней поперечной шпорой. Во всяком случае, у подавляющего большинства этих зубов четко выражен угол контакта указанных гребней, а при разорванном заднем гребне экстeroантекона сохраняются следы и того, и другого (рис. 49, б). Иногда задний гребень экстeroантекона может образовывать несколько скошенный назад выступ, направленный в сторону паракония, как правило, сильно развитого, хотя слабее, чем мезостиль. Проявляет тенденцию к трансформации в гребень, замыкающий марку, образующуюся за счет соответствующей наружной входящей складки. Однажды только элементы паракония не входили в контакт с основанием экстeroантекона. Следовательно, образование паракониальной марки является правилом на всех стадиях стертости  $M^1$ . Паракон характеризуется двойной связью с протоконом, хотя в подавляющем большинстве случаев его передний гребень развит значительно слабее

заднего (рис. 49, а, в). Только один раз наблюдалось его полное отсутствие. Можно заключить, что образование передней марки также является правилом на всех стадиях стертости  $M^1$ . При отсутствии переднего гребня паракона происходит слияние ее с паракониальной маркой. Наконец, паракон оказывается связанным вершинной связью с основанием метакона через метастиль, что отмечалось в "Диагнозе". Однако по мере стирания зубов эта связь может трансформироваться даже в вершинную и по отношению к метакону. Последнее обусловлено тем, что у значительной части экземпляров метакон заметно сжат в поперечном направлении. Поэтому его рисунок стирания оказывается вытянутым продольно, находя тем самым прямой контакт с высоким сильно развитым мезостильным гребнем. Метакон имеет только хорошо развитый передний гребень. Задний отсутствует, хотя его функциональным аналогом, по-видимому, является прямая вершинная связь метакона с лабиальным концом заднего воротничка. Таким образом, и здесь скорее всего проявляется связь по типу стильной, а не гребневой. В связи с этим постлерофная марка всегда отсутствует. Трансформированный в гребень постлероф полностью оконтуривает основание метакона сзади и, как показано выше, входит с ним в вершинную связь (рис. 49, а-г). В степени развития внутренних стилей какие-либо отличия от вымерших и рецентных *Cricetinae* не наблюдаются. Корневая формула 4. Внутренние корни достаточно широко расположены, причем передний заметно крупнее заднего (рис. 51, в). Не исключено, что этот признак окажется специфичным для рода, поскольку у большинства прочих *Cricetinae*, во всяком случае у *Cricetus* и *Allocrietus*, в размерах указанных корней наблюдается обратное соотношение, либо они имеют равную величину.

Сильно вытянутый продольно, суженный  $M^2$  с раздвоенным антеролофом. Его наружная и внутренняя ветви, особенно первая, трансформированы в высокие гребни, контактирующие соответственно с основаниями паракона и протокона, образуя тем самым глубокие наружную и внутреннюю антеролофные марки. Глубина внутренней может быть меньше наружной, поскольку внутренняя ветвь антеролофа у части экземпляров несколько скошена по отношению к плоскости жевательной поверхности зуба. Передний и задний гребни паракона одинаково сильно развиты, высокие, в связи с чем передняя марка четко оконтурена и сохраняется на всех стадиях стертости жевательной поверхности. Мезостильная связь паракона и метакона выражена резче, чем на предыдущем моляре. Во всяком случае, уже на слабо и среднестертых зубах она от примыкающей может переходить в вершинную. Метакон с мощным передним гребнем, задний как таковой в обычном понимании отсутствует. Двойная связь метакона с гипоконом осуществляется, как и на предыдущем моляре, через постлероф, трансформированный в высокий гребень. Даже на слабо

и средне стертых зубах эта связь имеет характер вершинной, поскольку метакон в большей мере, чем паракон, сжат в поперечном направлении. Таким образом, задняя марка четко выражена на всех стадиях стертости, хотя из-за отсутствия собственно заднего гребня метакона она представляет собой сложное образование, поскольку включает постлеролофную марку. Мезолоф чаще всего отсутствует. Лишь у одного экземпляра на переднем гребне метакона наблюдался небольшой, направленный вперед и наружу выступ, который, вероятно, можно интерпретировать как следы последнего. Корней четыре.

Как и предыдущий моляр,  $M^3$  с раздвоенным передним воротничком, ветви которого имеют резко выраженную гребенчатую структуру. Однако мощным развитием с образованием наружной антеролофной марки, в какой-то мере сопоставимым с таковым предыдущего моляра, характеризуется только его наружная ветвь (рис. 49). Внутренняя проявляет некоторую тенденцию к редукции: она заметно ниже наружной, в подавляющем большинстве случаев скрошена по отношению к плоскости жевательной поверхности и, как правило, теряет всяющую связь с наружной, а следовательно, и с последующей парой основных бугорков, сохраняясь в виде различной степени выраженного гребневидного выступа у основания протокона (рис. 49, д). В связи с этим внутренняя антеролофная марка не образуется даже на сильно стертых зубах (рис. 49, е). Однажды только наблюдался контакт наружного и внутреннего гребней антеролофа. Передний и задний гребни паракона, как и на предыдущем моляре, обычно в равной мере хорошо развиты, четко оконтуривая переднюю марку, сохраняющуюся на всех стадиях стертости. Однако в отдельных случаях задний гребень может непосредственно входить в контакт с передним, либо даже утрачивать связь с параконом, полностью сохранив ее с протоконом. Мезостильная связь паракона с метаконом мощная, преимущественно вершинная, изредка только контактная. Передний гребень метакона хорошо развит, высокий. Задний как таковой отсутствует. По аналогии с предыдущим моляром двойная связь метакона с гипоконом осуществляется только через очень высокий антеролоф. Задняя марка всегда глубокая, представлена на всех стадиях стертости зуба. Корней четыре.

Нижние постоянные коренные более консервативны в своем строении. Поэтому их диагностика по сравнению с верхними затруднена. Тем более, что на этих зубах полностью завершено становление типа строения, свойственного всем без исключения неогеновым и шлейстоценовым евразиатским Cricetini. Так,  $M_1$  всегда характеризуется четко дифференцированным на два бугорка антероконидом. Очень часто такое разделение имеет поверхностный характер, хотя двойственная природа этого элемента зуба, как правило, четко проявлена и на его передней стенке в виде более-менее резко выраженной борозды, тяну-

щейся почти по всей высоте коронки между инtero- и экстероантеконидом. Эта борозда наиболее углублена и расширена в области вершины антероконида. Реже оказывается выраженной и неглубокая вырезка, разделяющая экстеро- и инteroантеконид. Однако и в этом случае ее глубина во многом ограничена сильным развитием гребня, соединяющего вершины наружного и внутреннего бугорков, в связи с чем высота их свободных околовершинных частей остается крайне малой. Элементы антероконида с последующей парой бугорков соединяются преимущественно через задний гребень экстероантеконида, хотя в достаточно частой повторности этот гребень оказывается смещенным внутрь жевательной поверхности, располагаясь примерно по центру последней между наружным и внутренним бугорками (рис. 50). Связь через инteroантеконид не наблюдалась. Единственным более-менее надежным отличием от синхронных во времени и встречающихся в совместном залегании *Pseudocricetus* в строении  $M_1$  является гипертрофированное у *Stylocricetus* развитие эктостилидного гребня, сильно смещенного лабиально, что предопределяет резкое расширение заднего отдела зуба (рис. 50, а, в). Этот признак свойствен в той же мере и  $M_2 - M_3$ . В остальном  $M_1$  *Stylocricetus* не проявляет какого-либо специфики в своем строении. В двух случаях наблюдался четко выраженный длинный мезолофид (рис. 50, в). Возможно также, что  $M_1$  *Stylocricetus* более сужен в антероконидном отделе (рис. 50, б, в).

Более надежны для диагностики  $M_2 - M_3$ . Это прежде всего определяется по их значительной вытянутости в продольном направлении. Среди низших хомячьих Евразии подобный признак свойствен только *Mesocricetus*. Для обоих зубов также характерно гипертрофированное развитие наружной ветви переднего воротничка, которая на  $M_2$  в силу своей значительной величины оказывается заметно выдвинутой вперед по отношению к переднему краю коронки (рис. 50, а, б). Внутренняя ветвь антеролофида на этом моляре всегда имеется, хотя развита неизмеримо слабее наружной. Как правило, она характеризуется скрошенным положением по отношению к плоскости жевательной поверхности, хотя у отдельных экземпляров эта скрошенность не выражена. Имеются переходные морфотипы, как и по степени развития внутренней ветви антеролофида. Примечательным признаком, свойственным  $M_2 - M_3$ , является наличие у значительной части экземпляров сильно выраженной вогнутости переднего гребня метаконида, что свойственно скорее представителям трибы *Megacricetodontini* подсемейства *Cricetodontinae*, чем *Cricetinae*. Однако среди последних этот признак иногда проявляется у древних *Kowalskia* (K. *progressa*). В меньшей мере он выражен на переднем гребне энтоконида. Для  $M_3$  свойствен также слабо суженный талонидный отдел, что делает его похожим на  $M_2$ . Однако для него характерна значительно меньшая, чем на  $M_2$ , степень редукции внутренней ветви переднего воротничка (рис. 50, д, е, ж), кото-

рая не склона к основанию метаконида и практически расположена в одной плоскости с жевательной поверхностью зуба. Для  $M_2 - M_3$  в равной мере свойствен высокий постеролофид, находящийся в контактной связи с основанием энтоконида. Какие-либо элементы вершинной их связи не выражены. Мезолофид полностью отсутствует на  $M_2$ , на  $M_3$  — обычно очень короткий, не более 1/4 возможной полной длины, но может и отсутствовать (рис. 50, *д*, *з*).  $M_3$  сравнительно крупный, но, как правило, не короче, а длиннее  $M_2$ .

Нижний резец со слабо выпуклой передней гранью, расширенный по отношению к переднезаднему его поперечнику. Эмаль не заходит на его внутреннюю грань, образуя четко выраженное ребро в зоне перехода передней грани во внутреннюю.

Сравнение. От всех известных вымерших и современных Cricetinae Старого Света отличается сильно сдвинутым назад краем резцового отверстия, заканчивающегося на уровне переднего внутреннего корня  $M^1$  и коррелирующей с этим признаком сближенностью задненаружного края этого отверстия с внутренним краем альвеолы того же корня. У прочих евразиатских Cricetinae в лучшем случае заканчивается на уровне переднего края альвеолы переднего наружного корня  $M^1$ , выдвинутой далеко вперед, или на значительном удалении от последней. Естественно, при этом происходит резкое увеличение расстояния между задненаружным краем резцового отверстия и наружным краем альвеолы переднего внутреннего корня  $M^1$ . Единственную аналогию по этому признаку демонстрируют современные африканские *Mystromys*, хотя по остальным кариологическим показателям и типу строения постоянных коренных указанные роды мало сопоставимы.

По типу строения массетерной пластиинки — сравнительно тонкой, со сжатенным передним краем и слабо вогнутым задним — ближе всего к *Phodopus* и некоторым вымершим среднеплиоценовым мелким низшим хомячым юга Украины — *Odessamys* gen. nov.

По строению верхних постоянных коренных — гипертрофия дополнительной связи паракона с метаконом через мезостиль с образованием наружного продольного гребня в устье соответствующей входящей складки, а также по наличию более сильно развитых гребней и наружных стилей вообще, что также приводит к образованию на сравнительно ранних стадиях стертости зубов соответствующих дополнительных марок, не имеет аналогий среди большинства вымерших и современных Cricetinae Евразии, кроме отдельных представителей рода Kowalskia — *K. complicidens*. Однако от последней четко отличается полной редукцией элементов сложности — мезолофом, а на  $M^1$  передней шпорой, а также сильно вытянутыми в продольном направлении  $M^2$  и  $M_2 - M_3$ . Последний признак находит аналогию только у ныне живущих *Mesocricetus*. Кроме того, на  $M_2$  *Stylocricetus* всегда отсутству-

ет мезолофид. Но он всегда имеется у морфологически сходных Kowalskia. Спорадично это образование и на  $M_1$  *Stylocricetus*, в то время как у Kowalskia этой группы, как показано ранее, выражен постоянно. Отличается от конвергентно сходных Kowalskia и полностью сложившейся корневой формулой  $M^1$  — четыре корня против трех-четырех у Kowalskia.

Замечания. Почти полную аналогию в строении по крайней мере  $M^1 - M^2$  — четко выраженную дополнительную связь паракона с метаконом — демонстрирует филум Cricetodon, Hisrapomys, Deregotosmys, Pseudoruscinomys, Ruscinomys и Byzantinia, входящий в состав подсемейства Cricetodontinae в качестве номинативной трибы — Cricetodontini. Это тем более интересно, поскольку у форм с четко выраженной стилевой связью на  $M^1 - M^2$  полностью завершается дифференциация антерокона на  $M^1$  на два бугорка. Однако столь далеко эволюционно продвинутые по этому признаку перечисленные выше роды Cricetodontini полностью сохраняют крайне архаичное строение  $M_1$  — полностью не расщепленный антероконид, сильно сближенный с последующей парой бугорков. Интересно также, что в этом филуме встречаются формы с четко выраженным мезолофом — Deregotosmys, что уже само по себе не исключает, как его сборный характер, так и достаточно широкую эволюционную радиацию. Однако, как бы там ни было, по типу строения  $M_1$ , полностью дифференцированный на два бугорка антероконид, *Stylocricetus* не сопоставим с этой группой и четко фиксирует свое положение в составе подсемейства Cricetinae.

Не является исключением этот тип строения верхних постоянных коренных и для некоторых вымерших плиоценовых представителей американских Hesperomysinae — *Pliotomodon*.

Таким образом, становится вполне очевидным, что подобные параллелизмы сплошь и рядом возникают как в близко-, так и отдаленно-родственных филумах низших хомячих, что, учитывая их глобальный характер, позволяет думать о возможности оценки этого явления в качестве одного из генеральных направлений в эволюции грызунов этой группы. Не исключено, что этот процесс представляет собой один из возможных вариантов универсального адаптационеза в направлении приобретения смешанного типа питания с резким возрастанием в кормовых рационах доли вегетативных частей растений, т.е. усилением зеленоядности. Однако, как показало будущее, подобный путь эволюции, вероятнее всего, оказался инадаптивным в смысле В.О. Ковалевского. Во всяком случае, в эволюции зеленоядных форм грызунов в дальнейшем процесс адаптационеза пошел по другому универсальному пути — развития полевкозубости, а не усиления складчатых структур, возникших путем увеличения стилевых и гребневых структур. Следует также подчеркнуть, что явление полевкозубости, хотя геологически и моложе стилезубости, однако является

достаточно древним и известно, начиная с валлезия у представителей подсемейства Cricetodontinae — трибы Microtocrineti.

**Состав рода.** На сегодняшний день представлен только типовым видом — *S. meoticus* sp. nov. из древнейшего мэотиса Западного Причерноморья Украины. Единственная находка из среднего мэотиса Новоелизаветовки 3 не поддается дифференциации по отношению к типовой серии.

**Геологическое и географическое распространение.** Завершающий этап второй половины позднего миоцена — древний и средний мэотис юго-запада Украины.

### *S. meoticus Topachevski et Scorik, sp. nov.*

**Голотип.** Обломок верхнечелюстной кости с прилегающими частями твердого неба и нижней частью массетерной пластинки, сохранивший полный ряд постоянных коренных; древнейший мэотис; ряд местонахождений восточного берегового уступа Хаджибейского лимана вблизи с. Черевичное (примерно 15–17 км севернее Одессы), нижний костеносный горизонт. Хранится в коллекциях Отдела палеозоологии и палеонтологического музея ИЗАН Украины, № 51.

**Дополнительный материал.** Обломок верхнечелюстной кости с полным рядом постоянных коренных по характеру сохранности сходен с голотипом — 1 экз., обломок верхнечелюстной кости с

**Таблица 2.** Промеры (мм) и индексы (%) верхних коренных зубов рода *Stylocricetus* из разных местонахождений

Морфологический признак	<i>S. meoticus Topachevski et Scorik, sp. nov.</i>			
	Древний мэотис		Средний мэотис	Новоелизаветовка 3
	Черевичное, нижний слой	Протопоповка		
<i>M<sup>1</sup></i>	Длина	2,02–2,14–2,25 (n = 7)	2,09	2,05
	Ширина	1,21–1,26–1,35 (n = 7)	1,32	1,25
<i>M<sup>2</sup></i>	Длина	1,52–1,62–1,76 (n = 6)	1,71	—
	Ширина	1,20–1,26–1,31 (n = 6)	1,45	—
<i>M<sup>3</sup></i>	Длина	1,26–1,35–1,47 (n = 8)	1,54	—
	Ширина	1,10–1,17–1,26 (n = 8)	1,4	—
<i>M<sup>1</sup></i>	Ширина	100	53,7–58,9–61,8	63,1
	Длина			60,9
<i>M<sup>2</sup></i>	Ширина	100	68,1–77,7–82,2	84,7
	Длина			—
<i>M<sup>3</sup></i>	Ширина	100	74,8–85,1–95,2	64,9
	Длина			—

**Таблица 3.** Промеры (мм) и индексы (%) нижних коренных зубов рода *Stylocricetus* из местонахождения Черевичное

Морфологический признак	<i>S. meoticus Topachevski et Scorik, sp. nov.</i>	
	(древний мэотис, нижний слой)	(древний мэотис, нижний слой)
<i>M<sub>1</sub></i>	Длина	1,85–1,98–2,10 (n = 11)
	Ширина	1,11–1,17–1,30 (n = 11)
<i>M<sub>2</sub></i>	Длина	1,55–1,65–1,80 (n = 16)
	Ширина	1,15–1,28–1,55 (n = 16)
<i>M<sub>3</sub></i>	Длина	1,57–1,70–1,90 (n = 16)
	Ширина	1,15–1,26–1,40 (n = 16)
<i>M<sub>1</sub></i>	Ширина	100
	Длина	55,5–59,4–63,4
<i>M<sub>2</sub></i>	Ширина	100
	Длина	65,7–76,1–87,0
<i>M<sub>3</sub></i>	Ширина	100
	Длина	66,8–74,2–86,5

изолированные нижние постоянные — *M<sub>1</sub>* — 6, *M<sub>2</sub>* — 7, *M<sub>3</sub>* — 6. Все происходят из того же местонахождения, что и челюсти, место хранения то же.

Кроме того, обломок верхнечелюстной кости с полностью сохранившимся рядом постоянных коренных из древнейшего мэотиса вблизи с. Протопоповка (10 км севернее Одессы), восточный береговой уступ Хаджибейского лимана, цокольный горизонт по отношению к мощной толще гравелитов эоплейстоценовых и плейстоценовых террас. Место хранения то же, что и у голотипа.

Изолированный *M<sup>1</sup>* из среднего мэотиса Новоелизаветовки 3. Место хранения то же, что и у голотипа.

**Диагноз.** Совпадает с таковым рода.

**Описание и сравнение.** То же, что и для рода. Размерные показатели — в табл. 2, 3.

**Геологическое и географическое распространение.** Древний и средний мэотис юго-западного Причерноморья Украины.

### Род *Odessamys*\* Topachevski et Scorik, gen. nov.

**Типовой вид.** *Odessamys palaeocrystatus* sp. nov.; Западное Причерноморье Украины: Одесса, катакомбы; средний плиоцен (молдавский фаунистический комплекс).

\* Название фиксирует местонахождение типового вида — карст, вскрытый катакомбами в пределах г. Одессы.

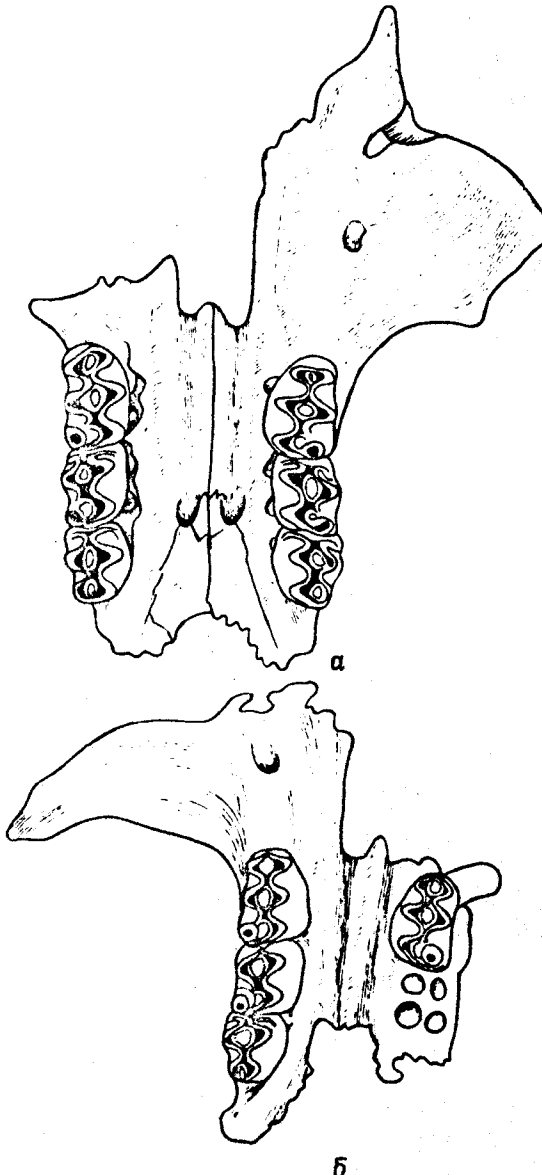


Рис. 53. *Odessamys palatocristatus* sp. nov., задне-небный отдел черепа, средний плиоцен, Одесса, катакомбы:  
а – голотип, б – параптип.

**Диагноз.** Типичный представитель трибы Cricetini, сочетающий в строении жевательного аппарата признаки современных родов *Cricetus* Milne–Edwards и *Phodopus* Miller, с одной стороны, и плиоценовых *Kowalskia* Fahlbusch и *Allocricetus* Schaub – с другой. Размеры мелкие: альвеолярная длина верхнего и нижнего рядов постоянных коренных, за редким исключением, менее 4,5 мм; длина  $M^1$  менее 2,0 мм. Твердое небо относительно узкое (индекс ширины между  $M^1$  менее 70 % альвеолярной длины ряда постоянных коренных), с мощным срединным гребнем (рис. 53). Передний и задний край массетерной пластинки скуловой дуги (*ramus inferior*) ровные или приближающиеся к таковым. Массетерная бугристость сравнительно крупная, рельефная, располагается непосредственно на основании скуловой дуги у ее переднего края. Гребень, оконтуривающий задненаружный край резцового отверстия, мощный, переходящий на челюстную кость, выражен вплоть до последнего края альвеолы  $M^1$ . Диастема нижней челюсти



Рис. 54. *Odessamys palatocristatus* sp. nov.,  $M^1$  –  $M^3$ , средний плиоцен, Одесса, катакомбы, жевательная поверхность:  
а–г –  $M^1$ ; д–з –  $M^2$ ; и–л –  $M^3$

короткая, как правило, меньше длины ряда постоянных коренных. Антерокон  $M^1$  разделенный, причем экстеро- и интэрантекон дифференцированы как самостоятельные бугорки и на передней стенке коронки на протяжении более 1/3 высоты последней. Мезолоф короткий, значительно не достигает наружного края коронки  $M^1$ . В большинстве случаев не связан с метаконом, располагается перпендикулярно продольной оси коронки у основания последнего. Реже скошен назад, частично переходит на основание метакона, выполняя роль переднего гребня этого бугорка (рис. 54, б, г). В последнем случае зубы приобретают тип строения, свойственный *Allocricetus* и большинству recentных палеарктических Cricetini. Передняя шпора на  $M^1$  всегда отсутствует. Внутренняя ветвь переднего воротничка одинаково хорошо развита на  $M^2$  и  $M^3$ .  $M^3$  относительно крупный, приближается по своей

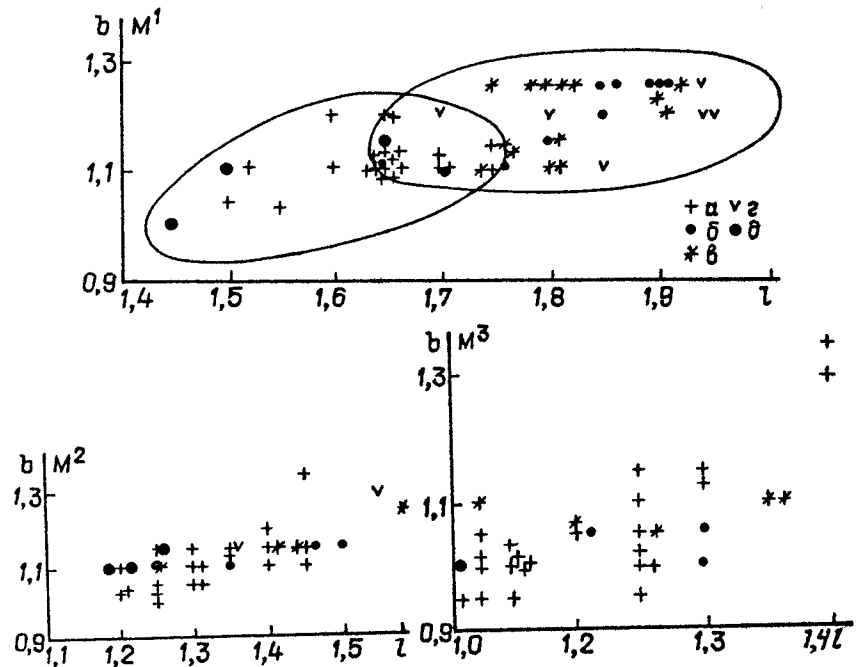


Рис. 55. Отношение длины ( $l$ ) к ширине ( $b$ )  $M^1 - M^3$  *Odessamys palatocristatus* sp. nov., средний плиоцен:

Одесса, катакомбы (а), Обуховский карьер – слои II (б), III (в), IV (г); Котловина, нижний слой (д)

длине к таковой  $M^2$  (отношение его длины к таковой  $M^2$  в среднем составляет 90; отношение к альвеолярной длине  $M^1 - M^3$  – 23,8–27,9–30,0) (рис. 55). Антероконид на  $M_1$  очень часто не расчлененный, либо поверхностью расчлененный – следы дифференциации экстериорного и интероантероконида на передней стенке коронки едва намечены (рис. 56). Мезолофид на  $M_1$  всегда отсутствует.

**Описан и е.** Массетерная пластинка черепа относительно узкая, с низким передним краем (табл. 4). Задние края резцовых отверстий и передние края альвеол  $M^1$  сближены. Венечный отросток нижней челюсти в основании относительно широкий (табл. 5). Сочленовый отросток короткий, расширенный. Восходящая ветвь относительно широкая (рис. 57). Постоянные коренные со сравнительно низкими коронками.

$M^1$  в подавляющем большинстве случаев с четырьмя корнями: мощным антероконным передним и слабее развитыми средним внутренним (протоконным), задним внутренним (гипоконным) и наружным (метаконным). Таким образом, тип строения корней в целом

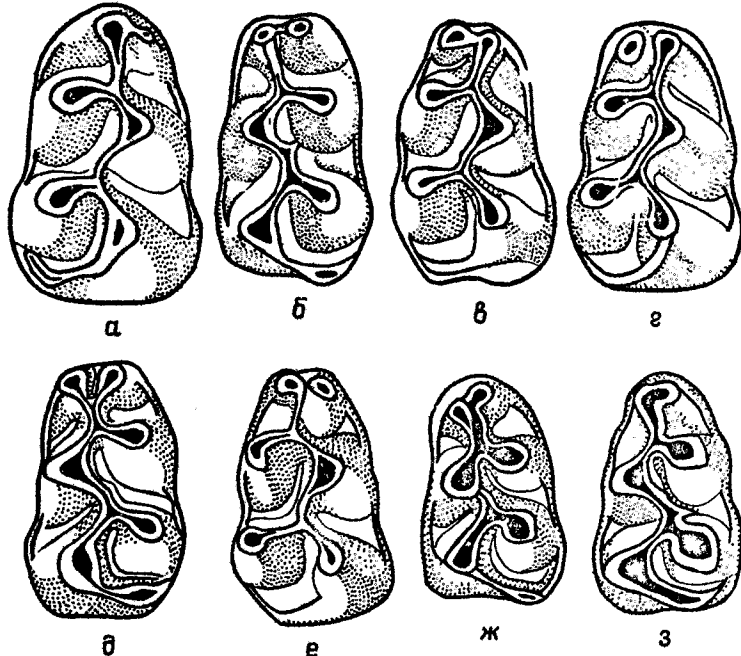


Рис. 56. *Odessamys palatocristatus* sp. nov.,  $M_1$ , средний плиоцен, Одесса, катакомбы, жевательная поверхность:  
 а–д – Одесса, катакомбы; е–з – Котловина, нижний слой

отражает таковой, свойственный большинству реентных родов палеарктических Cricetini, прежде всего таких близких родов, как *Cricetusulus* и *Phodopus*. Однако у *Odessamys* средний внутренний корень по размерам примерно равен заднему внутреннему (рис. 58). Кроме того, в отдельных случаях протоконный корень раздвоен (представлен двумя самостоятельными корешками) либо наоборот сращен с задним внутренним. В последнем варианте строение корней этого зуба практически соответствует древнему типу, свойственному *Cricetodontinae* и сохранившемуся лишь у древнейших миоплиоценовых Cricetini, в частности, у некоторых видов *Kowalskia*. Интеро- и экстериорантекон в подавляющем большинстве случаев имеют хорошо развитые передние и задние гребни, в связи с чем образование антероконной марки происходит на сравнительно ранних стадиях стирания зуба. Соединение указанных наружного и внутреннего бугорков антерокона с продольным гребнем, ведущим к последующей паре бугорков, самостоятельное (рис. 54). Передний гребень паракона у некоторых видов сильно развит, что предопределяет раннее образование передней марки. Метакон без гребней. Задняя марка образуется за счет мезолофа и зад-

Таблица 4. Промеры (мм) и индексы (%) черепа ископаемых хомяков родов *Odessomys* и ренентных *Cricetulus* и *Phodopus*

Морфологический признак	O-palatoocristatus Top. et Scor.	Cr. migratorius Pall.	Cr. barabensis Pall.	Phodopus sungorus Mill.
	Средний плющен	Современный		
	Одесса, катакомбы	Николаевская обл. (n = 23)	Бурятия	Тыва (n = 15)
Длина зубного ряда по альвеоле	3,9–4,1–4,2 (n = 14)	3,6–3,9–4,5	3,5–3,8–4,1 (n = 15)	3,5–3,7–3,9
Длина по коронке	1,5–1,6–1,7 (n = 15) 1,0–1,1–1,2 (n = 10)	1,6–1,6–1,8 0,9–0,9–1,1	1,5–1,6–1,7 0,8–0,9–1,1	1,5–1,5–1,7 0,8–0,8–0,9
M <sub>1</sub>	1,5–1,6–1,7 (n = 15) 1,0–1,1–1,2 (n = 10)	1,6–1,6–1,8 0,9–0,9–1,1	1,5–1,6–1,7 0,8–0,9–1,1	1,5–1,5–1,7 0,8–0,8–0,9
M <sub>3</sub>	1,5–1,6–1,7 (n = 15) 1,0–1,1–1,2 (n = 10)	1,6–1,6–1,8 0,9–0,9–1,1	1,5–1,6–1,7 0,8–0,9–1,1	1,5–1,5–1,7 0,8–0,8–0,9
Ширина твердого неба на уровне переднего корня M <sub>1</sub>	2,0–2,4–2,7 (n = 6)	2,6–3,0–3,3	2,9–3,3–4,0	3,0–3,0–3,7
между зачными корнями M <sub>3</sub>	2,2–2,2–2,4 (n = 3)	2,1–2,9–3,3	2,4–2,7–3,0	2,5–2,5–3,0
Массетерная площадка	1,8–2,0–2,5 (n = 9) 2,0–2,3–2,6 (n = 13)	1,5–2,1–2,5 2,0–2,5–2,9 2,0–2,8–3,5	1,4–1,9–2,4 1,9–2,4–2,6 2,0–2,6–3,2	1,2–1,7–2,3 2,0–2,1–2,5 2,4–2,6–3,5
ширина средней части наибольшая ширина h передней стенки (n = 5)	1,9–2,4; 2,5; 3,0 (n = 5)	0,3–0,5–0,8	0,1–0,3–0,4	0,1–0,2–0,5
Расстояние между зачными краями резцовых отверстий и альвеолы M <sub>1</sub>	0,1–0,2–0,6 (n = 11)			
Индексы (к альвеолярной длине M <sup>1</sup> – M <sup>3</sup> )				
Длина по коронке	36,5–38,8–41,4 (n = 12) 23,8–27,9–30,0 (n = 10)	37,7–41,8–44,4 20,5–23,0–26,2	40,0–42,9–44,7 (n = 15) 22,5–23,4–25,5 (n = 13)	38,4–41,0–47,2 20,5–22,0–25,1
M <sub>1</sub>	50,0–59,2–65,8 (n = 5) 53,6; 53,6; 60,0 (n = 3)	65,0–78,6–92,1 52,5–78,1–87,1	76,3–86,8–105,2 (n = 13) 58,5–70,8–88,2	76,9–78,6–102,7 66,6–75,3–92,0
M <sub>3</sub>	52,3–57,4–65,0 (n = 10) 46,9; 59,5; 60,0 (n = 3)	45,9–54,7–64,8 50,0–63,9–80,5 54,0–71,7–83,3	40,0–51,4–63,1 (n = 15) 50,0–59,4–71,4 50,0–68,2–85,2	33,3–49,5–60,5 54,0–59,4–69,4 64,1–77,3–92,1
Ширина твердого неба между передними корнями M <sub>1</sub> – M <sub>3</sub>	42,8–51,4–62,5 (n = 6) 52,3–57,4–65,0 (n = 10)	50,0–63,9–80,5 54,0–71,7–83,3	0,10–0,4–0,75 0,11–0,38–0,81	0,1–0,47–0,85 (n = 9)
Массетерная пластиника средней части	42,8–51,4–62,5 (n = 6) 52,3–57,4–65,0 (n = 10)	50,0–63,9–80,5 54,0–71,7–83,3	0,10–0,4–0,75 0,11–0,38–0,81	0,1–0,47–0,85 (n = 9)
наибольшая ширина h передней стенки	46,9; 59,5; 60,0 (n = 3)			
Расстояние между зачными краями резцовых отверстий и альвеолой M <sub>1</sub>	0,14–0,34–0,62 (n = 9)			

Индексы (к альвеолярной длине M<sup>1</sup> – M<sup>3</sup>)

Морфологический признак	O-palatoocristatus Top. et Scor.	O. simionescui Schaub.	Cr. migrati- rius Pall.	Cr. barabensis Pall.	Phodopus sur- gorus Mill.
	Средний плющен	Современный			
	Одесса, катакомбы	Колповина, нижний слой	Обуховский карьер	Николаевская обл.	Тува
Промеры					
Длина зубного ряда по альвеолам M <sub>1</sub> – M <sub>3</sub>	3,8–4,0–4,3 (n = 29)	4,35	3,85; 4,0; 4,2; 4,35	3,8–3,8–4,3 (n = 23)	3,5–3,6–4,1 (n = 14)
Длина по коронке M <sub>1</sub>	1,4–1,4–1,5 (n = 26)	1,35–1,8–2,4 (n = 7)	1,55–1,69– 1,85 (n = 8)	1,5–1,6–1,7 (n = 23)	1,5–1,55–1,7 (n = 15)
M <sub>3</sub>	1,2–1,3–1,4 (n = 26)	1,6; 1,85	1,20–1,43– 1,55 (n = 23)	1,0–1,1–1,3	1,0–1,1–1,2 (n = 15)

Морфологический признак	O-palatoocristatus Top. et Scor.	O. simionescui Schaub.	Cr. migrati- rius Pall.	Cr. barabensis Pall.	Phodopus sur- gorus Mill.
	Средний плющен	Современный			
	Одесса, катакомбы	Колповина, нижний слой	Обуховский карьер	Николаевская обл.	Тува
Промеры					
Длина зубного ряда по альвеолам M <sub>1</sub> – M <sub>3</sub>	3,8–4,0–4,3 (n = 29)	4,35	3,85; 4,0; 4,2; 4,35	3,8–3,8–4,3 (n = 23)	3,2–3,6–3,9 (n = 15)
Длина по коронке M <sub>1</sub>	1,4–1,4–1,5 (n = 26)	1,35–1,8–2,4 (n = 7)	1,55–1,69– 1,85 (n = 8)	1,5–1,6–1,7 (n = 23)	1,4–1,4–1,6 (n = 15)
M <sub>3</sub>	1,2–1,3–1,4 (n = 26)	1,6; 1,85	1,20–1,43– 1,55 (n = 23)	1,0–1,1–1,3	0,9–1,0–1,1 (n = 15)

Таблица 5. Промеры (мм) и индексы (%) нижней челюсти ископаемых хомяков рода *Odessomys* и ренентных *Cricetulus* и *Phodopus*

Морфологический признак	O. palatocristatus Top. et Scov.	O. simionescui Schaub.	Cr. migratorius Pall.	Cr. barabensis Pall.	Phodopus sun-gorus Mill.	
	Средний ширина	Котловина, нижний слой	Обуховский карьер	Николаевская обл. (n = 23)	Бурятия (n = 14)	Тыва (n = 15)
Длина дистымы	3,0–3,5–4,0 (n = 13)	—	—	3,6–4,0–4,6 (n = 23)	2,9–3,5–4,5 (n = 14)	3,3–3,6–4,0
<i>h pars dentale</i> на уровне середины альвеолы $M_1$	3,2–3,6–4,1 (n = 25)	—	—	3,3–3,6–4,2 (n = 23)	2,6–3,0–3,8 (n = 14)	2,9–3,3–3,9
Ширина основания отростка венечного	1,2–1,4–1,6 (n = 14)	—	1,65 (n = 21)	1,0–1,0–1,4 (n = 23)	1,0–1,1–1,3 (n = 14)	0,9–1,0–1,2
Углового сочленовного	1,9–1,9; 2,4; 2,4 1,5–2,2–2,4 (n = 21)	—	—	1,3–1,6–2,2 1,6–1,9–2,3 (n = 21)	1,5–1,6–1,8 1,7–1,9–2,4 (n = 14)	1,5–1,8–2,0 1,9–2,0–2,5
Длина сочленовного отростка по верхнему краю	2,1–2,3–3,0 (n = 10)	—	—	2,0–2,3–2,9 (n = 23)	1,4–1,7–2,6 (n = 14)	2,2–2,8–3,3
Наименьшее расстояние от подбородочного отверстия до задней вырезки	6,6–7,0–7,8 (n = 15)	—	—	6,7–7,6–8,7 (n = 23)	5,8–6,5–7,7 (n = 14)	6,8–7,1–7,7
до угла массетерной щели	0,5–0,8–1,0 (n = 28)	1,0 (n = 16)	0,4; 0,75; 0,65 (n = 18)	0,7–0,9–1,4 3,9–4,4–5,1 5,2 (n = 17)	0,7–0,8–1,1 3,5–3,6–4,1 4,0–4,2–5,0 (n = 16)	0,7–0,9–1,0 3,1–3,6–4,4 3,4–4,1–5,0
Ширина восходящей ветви	4,1–4,7–5,5 (n = 18)	—	—	—	—	—
Наменьшая <i>h</i> восходящего отростка между нижней и верхней ветвями	3,6–4,4–5,2 (n = 17)	—	—	—	—	—

Наименьшее расстояние от подбородочного отверстия до задней вырезки  
до угла массетерной щели  
Ширина восходящей ветви  
Наменьшая *h* восходящего отростка между нижней и верхней ветвями

#### Индексы (к альвеолярной длине $M_1 - M_2$ )

Длина по коронке $M_1$	34,1–37,0–39,4 (n = 26)	—	—	36,3–38,6–41,0 (n = 16)	37,5–39,9–42,8 (n = 14)	37,8–41,3–46,8 (n = 15)
$M_3$	29,2–33,1–36,8 (n = 16)	—	—	27,2–29,8–33,3 (n = 17)	27,0–29,1–33,3 (n = 14)	25,7–27,8–31,4 (n = 15)
Длина дистымы	76,8–89,2–100,0 (n = 16)	—	—	100,0–106,1– 118,1 (n = 16)	78,3–99,7–112,5 (n = 14)	85,7–102,8– 118,0 (n = 15)
Высота pars dent. на уровне $M_1$	78,0–90,1–100,0 (n = 25)	—	—	87,8–98,0–106,8 (n = 17)	80,2–86,2–102,7 (n = 14)	80,5–93,4– 112,1 (n = 15)
Ширина основания отростка венечного	28,5–36,9–40,0 (n = 14)	—	—	22,7–29,9–35,0 (n = 17)	26,8–29,0–32,5 (n = 14)	25,0–28,4–32,4 (n = 14)
Углового сочленовного	46,3–51,7–58,5 (n = 4)	—	—	36,3–49,9–63,4 (n = 15)	40,0–42,8–46,1 (n = 13)	42,1–49,7–59,3 (n = 14)
Длина сочленовного отростка по верхнему краю	48,8–59,4–76,9 (n = 10)	—	—	47,6–54,3–62,5 (n = 17)	43,5–53,8–62,1 (n = 14)	43,2–58,2–75,7 (n = 15)
Наименьшее расстояние от подбородочного отверстия до задней вырезки	16,6–18,1–19,7 (n = 15)	—	—	54,5–69,8–81,0 (n = 16)	35,8–48,2–65,0 (n = 14)	59,4–80,4– 104,2 (n = 15)
Чешусти	13,8–22,0–28,8 (n = 28)	—	—	17,6–20,1–22,1 (n = 17)	15,6–17,9–20,2 (n = 14)	17,0–19,8–23,3 (n = 14)
Ширина восходящей ветви	9,7–12,4–24,3 (n = 18)	—	—	12,5–19,3–26,1 (n = 17)	18,9–23,6–30,6 (n = 14)	18,9–25,4–28,5 (n = 14)
Наменьшая <i>h</i> восходящего отростка между нижней и верхней ветвями	9,0–11,0–12,5 (n = 17)	—	—	9,7–11,3–12,5 (n = 17)	8,9–9,8–10,8 (n = 14)	8,2–10,2–12,5 (n = 14)

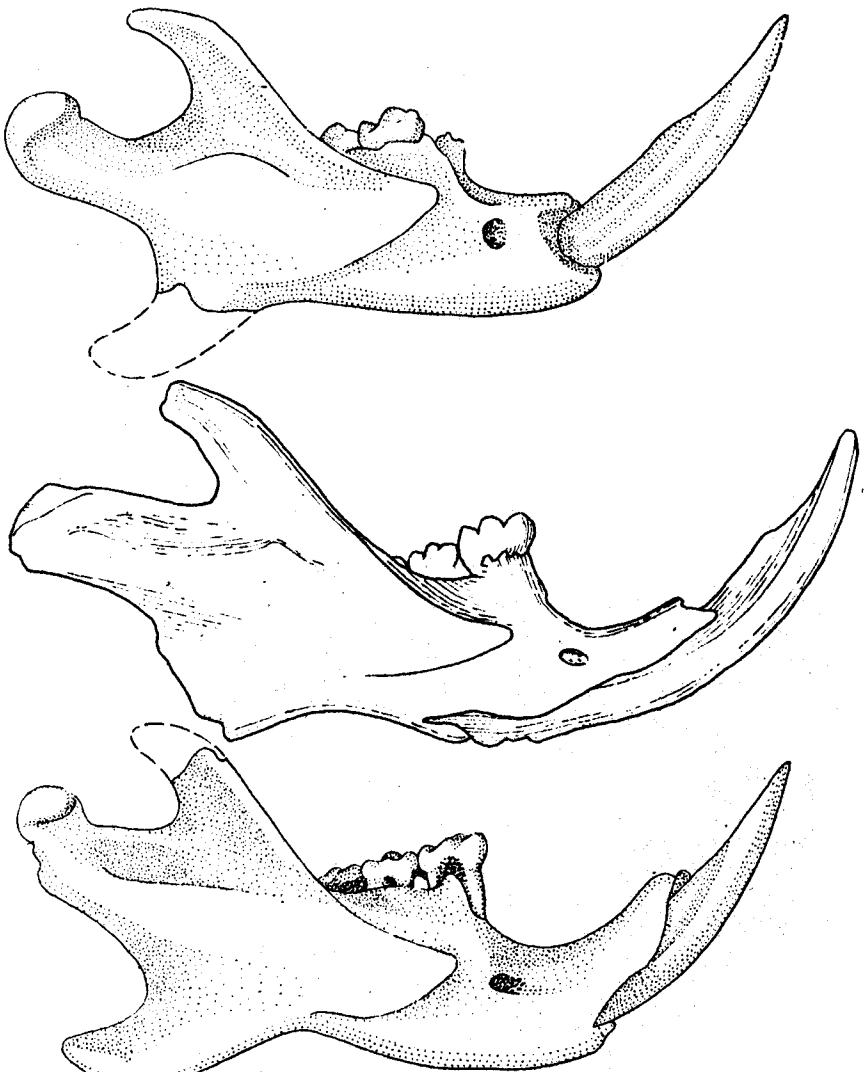


Рис. 57. *Odessamys palatocristatus* sp. nov., строение нижней челюсти, средний плиоцен, Одесса, катакомбы

него воротничка. Входящие петли (флексусы) располагаются почти перпендикулярно продольной оси зуба, расширенные в основаниях, часто оконтуренные в устьях базальными образованиями в виде валькообразных гребней, иногда даже дифференцированных в слабо выраженные низкие дополнительные бугорки — стили. Эти признаки четче

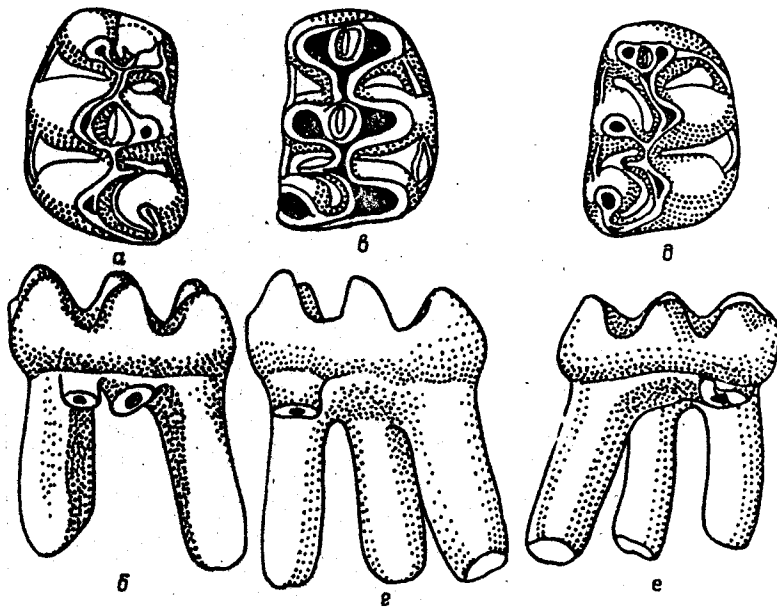


Рис. 58. *Odessamys palatocristatus* sp. nov., строение корней  $M^1$ ; средний плиоцен, Одесса, катакомбы (а—г); Котловина, нижний слой (д, е); жевательная поверхность и вид с наружной стороны зуба

выражены на внутренних флексусах, чем на наружных. Часто базальные образования оконтуривают даже основание протокона. Задний воротничок сильно развит, полностью оконтуривает основание метакона сзади. Расположение основных бугорков альтернативное: бугорки внутреннего ряда свинуты по отношению к таковым наружного несколько вперед. Бугорки внутреннего ряда образуют полуулочные фигуры стирания, наружного — округлые.

$M^2$  в среднем относительно уже, чем у всех рецентных мелких налеарктических Cricetini (табл. 6, рис. 55). Вытянутость коронки в переднезаднем направлении предопределена сильным развитием выдвинутого вперед переднего воротничка (антеролофф). Внутренняя ответвь по протяженности примерно в 1,5–2 раза длиннее наружной, представляет собой мощный гребень, удаленный от основания протокона сильно вытянутой в центрочном направлении ямкой. Наружная ответвь переднего воротничка чаще всего имеет вид сжатого в переднезаднем направлении дополнительного бугорка с намеченной самостоятельной фигурой стирания в области вершины, реже — в виде мощного короткого гребня. В обоих случаях отделена от основания протокона достаточно глубокой овальной ямкой (рис. 54). Мезолофф в целом развит слабее, чем на  $M^1$ . Как правило, он направлен в сторону основания

Таблица 6. Промеры (мм) и индексы (%) верхних постоянных коренных ископаемых хомяков родов *Odessomys* и современных *Cricetulus* и *Phodopus*

Морфологический признак	Средний приоцен			Современный			
	O. palaeocristatus Top. et Scov.	O. simionescui Schaub.	Cr. migratorius Pall.	Cr. barabensis Pall.	Бургия (n = 15)	Тува (n = 15)	
	Одесса, катакомбы (n = 34)	Котловина, нижний слой (n = 3)	Обуховский карьер (n = 31)	Николаевская обл. (n = 15)			
M <sup>1</sup> Длина	1,5–1,6–1,7 1,0–1,1–1,2	1,45; 1,55; 1,65 0,95; 1,1; 1,15	1,65–1,82–1,95 1,10–1,19–1,25	1,6–1,76–1,9 1,1–1,14–1,2	1,5–1,65–1,75 1,0–1,1–1,2	1,4–1,4–1,5 1,0–1,0–1,1	
M <sup>1</sup> Ширина	(n = 34)	(n = 3)	(n = 31)				
M <sup>2</sup> Длина	1,1–1,2–1,3 1,0–1,08–1,2	1,2; 1,25 1,1; 1,15	1,25–1,52–1,90 1,0–1,25–1,60	1,1–1,2–1,3 1,1–1,13–2,2	1,1–1,16–1,2 1,0–1,07–1,2	1,0–1,01–1,0 0,9–0,96–1,0	
M <sup>2</sup> Ширина	(n = 46)	(n = 10)	(n = 10)				
M <sup>3</sup> Длина	1,0–1,12–1,2 0,9–1,0–1,1	1,1 1,0	1,15–1,26–1,35 1,0–1,08–1,1	0,9–0,98–1,0 0,9–0,94–1,0	0,85–1,0–1,05 0,75–0,9–1,05	0,8–0,84–0,9 0,7–0,8–0,9	
M <sup>3</sup> Ширина	(n = 27)	(n = 8)					
M <sup>4</sup> Ширина	100	58,8–57,3–75,0	65,5; 69,6; 70,9	58,8–65,3–71,4	58,8–63,3–68,7	58,8–64,5–68,9	57,1–61,1–65,0
M <sup>4</sup> Длина							
M <sup>5</sup> Ширина	100	62,3–88,1–100,0	91,6; 91,6; 92,0	76,6–82,3–88,0	78,5–87,3–92,3	78,2–87,3–92,0	81,8–92,7–100,0
M <sup>5</sup> Длина							
M <sup>6</sup> Ширина	100	75,0–89,0–100,0	90,9	76,9–86,3–95,6	75,0–79,4–90,9	75,0–85,0–105,2	80,0–87,4–100,0
M <sup>6</sup> Длина							

метакона и выполняет роль переднего гребня последнего, участвуя вместе с хорошо развитым задним воротничком в образовании задней марки. В случае, если вершина мезолофа остается свободной, она значительно удалена от наружного края зуба. Передний гребень паракона мощный, в связи с чем образование передней марки происходит на ранних стадиях стертости зуба. Строение гипофлексусов такое же, как и на предыдущем моляре. Зуб характеризуется наличием четырех корней.

M<sup>3</sup>, как и предыдущий моляр, вытянут в продольном направлении, в сравнении с рецентными мелкими *Cricetini* относительно узкий (табл. 6). Строение переднего воротничка аналогично таковому на M<sup>2</sup>, хотя дифференциация наружной ветви последнего в самостоятельный бугорок выражена в меньшей степени. Метакон проявляет тенденцию к редукции, однако всегда представлен в виде самостоятельного бугорка, не поглощенного задним воротничком и имеющего самостоятельную фигуру стирания. Паракон с мощно развитыми передним и задним гребнями, в связи с чем передняя марка образуется на очень ранних стадиях стертости. Сравнительно небольшая задняя марка образуется за счет преимущественно хорошо развитого гребневидного заднего воротничка и мезолофа, сильно скосенного в сторону метакона. Однако не исключено, что гребень, интерпретируемый в данном случае как мезолоф, может оказаться передним гребнем метакона. Базальные образования хорошо развиты в области устьев входящих петель, а в отдельных случаях даже оконтуривают основание протокона снаружи. Корней три — мощный задний и слабее развиты два передних.

Расположение основных бугров на M<sub>1</sub> – M<sub>3</sub> альтернативное: бугорки внутреннего ряда смешены вперед по отношению к таковым наружного. Фигуры стирания наружных бугров полулунные, внутренних — округлые. Входящие петли (флексиды) направлены косо вперед.

Нерасчлененный, или поверхностно расчлененный на наружный и внутренний бугорки антероконид M<sub>1</sub>, соединен с последующей парой бугров в подавляющем большинстве случаев одним гребнем. Он преимущественно представляет собой задний гребень экстераантероконида, а в случае нерасчлененности переднего бугра смешен в сторону последнего (рис. 56). Изредка подобная связь осуществляется через интероантероконид либо имеет место самостоятельное сочленение посредством двух гребней. На поверхности расчлененном антерокониде соотношение в размерах наружного и внутреннего бугорков варьирует в значительных пределах. Однако чаще всего интероантероконид по размерам значительно превосходит экстераантероконид или равен последнему. Реже в величине этих бугорков наблюдается обратное соотношение (рис. 56, з). Задние гребни мета- и энтоконида не развиты, в связи с чем образование марок не происходит. Задний воротничок мощный, гребневидный, полностью оконтуривает основание энтокони-

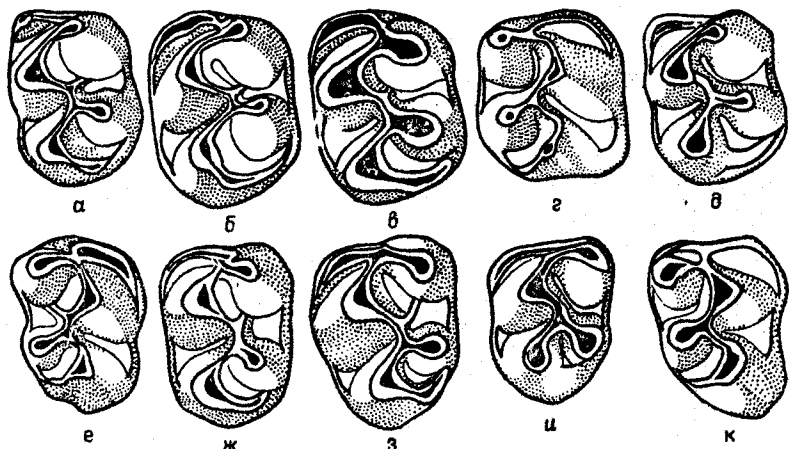


Рис. 59. *Odessamys palatocristatus* sp. nov.,  $M_2 - M_3$ , средний плиоцен, жевательная поверхность:

$a - d - M^2$ ;  $e - h - M^3$ , Одесса, катакомбы,  $z, \partial - M_2$ ,  $u, k - M_3$ , Котловина, нижний слой

да сзади, причем отделен от последнего вытянутой в поперечном направлении к продольной оси коронки зуба ямкой. В отдельных случаях задний воротничок имеет вид сильно вытянутого в поперечном направлении бугорка, на начальных стадиях стертости образующего даже самостоятельную фигуру стирания (рис. 56, б, д, ж).

$M_2$ , как правило, с раздвоенным передним воротничком (антеролофидом). Наружная ветвь последнего мощная, оконтуривающая спереди основание протоконида в виде треугольного либо сегментообразного выступа, имеет четко очерченный гребень по передненаружному краю, который заканчивается у основания протоконида. Ямка между последним и гребнем обычно достаточно хорошо выражена. По степени развития достигает уровня самостоятельного дополнительного бугорка наружного ряда. Внутренняя ветвь переднего воротничка в большинстве случаев недоразвита. По степени развития не превышает уровня обычных базальных образований. В отдельных случаях преимущественно у более древних представителей рода образует сегментообразный выступ, значительно уступающий по размерам наружному. Мезолофид практически отсутствует у геологически более молодых видов или слабо развит у более древних форм. В последнем случае он склонен в сторону метаконида, вступает с ним в тесную связь, в сущности выполняя роль заднего гребня последнего, низкий. На сравнительно поздних стадиях стертости участвует в образовании передней марки (рис. 59, а-в). Задний воротничок всегда хорошо развит, полностью оконтуривает основание энтоконида сзади. Чаще имеет вид сравнитель-

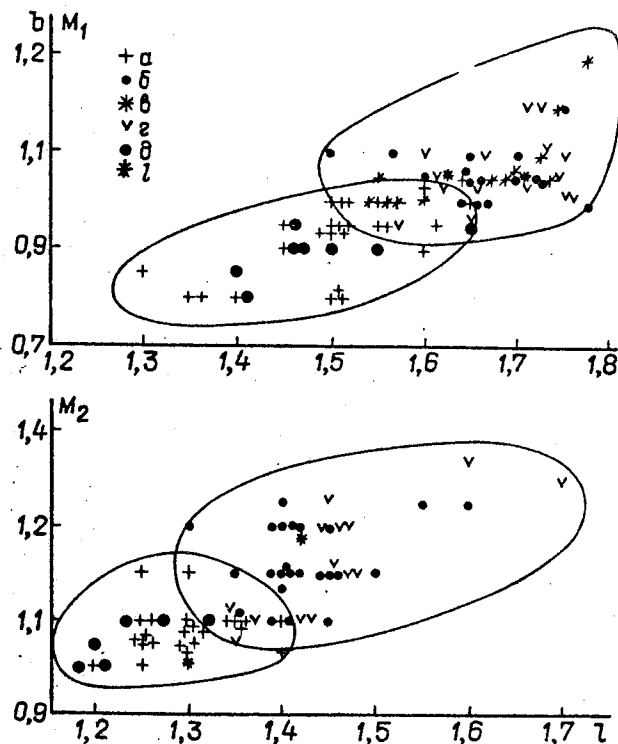


Рис. 60. Отношение длины ( $l$ ) к ширине ( $b$ )  $M_1 - M_3$ , *Odessamys palatocristatus* sp. nov.:

средний плиоцен, Одесса, катакомбы (а); Обуховский карьер – слои II (б), III (в), IV (г); Котловина, нижний слой (д);  $l - V. simoneiski$  (см. также с.136)

но низкого гребня, образующего фигуру стирания на средних и поздних стадиях стертости зуба.

$M_3$  относительно длинный, как правило, превышает длину  $M_2$  или примерно равен последнему (рис. 60). По особенностям строения жевательной поверхности в основном сходен с предыдущим моляром, отличаясь суженным гипоконидным отделом, что предопределено укороченностью заднего воротничка. Передний воротничок имеет строение, аналогичное таковому  $M_2$ . Однако по степени развития его внутренней ветви заметно превосходит предыдущий моляр. Этот элемент коронки зуба имеет, как правило, вид сегментообразного выступа у более древних видов и почти всегда в разной степени выражен у геологически более молодых форм. Для этого зуба в сравнении с  $M_2$  характерен также сильнее развитый мезолофид, хотя он, как и на  $M_2$ , склонен в направлении метаконида и чаще характеризуется свободной верши-

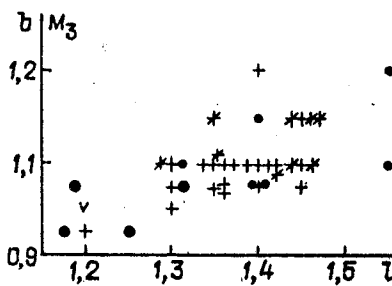


Рис. 60 (Окончание)

ной и значительно рельефнее, в связи с чем образование передней марки проявляется даже на слабо стертых зубах.  $M_2$  и  $M_3$  характеризуются наличием у каждого двух корней.

**Сравнение.** Как видно из приведенных диагноза и описания, *Odessamys* характеризуется строением постоянных коренных, отражающим промежуточную эволюционную ступень между сравнительно еще примитивными плиоценовыми *Kowalskia*, с одной стороны, исконяемыми позднеплиоценовыми *Allocricetus* и *Cricetinus*, а также антропогеновыми и рецентными мелкими палеарктическими *Cricetini* родов *Cricetulus*, *Phodopus*, *Allocricetus* и *Tscherskia* — с другой. По всей вероятности, перечисленные роды могут составить единую филогенетическую ветвь палеарктических *Cricetini*. Весьма близки к ним также плиоценовые центральноазиатские *Nannocricetus* и *Sinocricetus*. Однако ввиду крайнего недостатка палеонтологического материала, их описания фрагментарны, а родовой статус требует ревизии. Во всяком случае не исключено, что эти остатки принадлежат одному роду, а отличия между ними не выходят за рамки видовых. Это тем более очевидно, поскольку в строении постоянных коренных перечисленных форм имеется определенная общность, не свойственная всем прочим исконяемым и современным палеарктическим представителям этой трибы. Собственно, в сравнении можно было бы ограничиться перечисленными выше родами, поскольку у более древних миоценовых *Democricetodon*, рассматриваемых многими авторами в прямой филогенетической связи с *Cricetulus* [56], древние признаки, свойственные *Kowalskia*, усилены в большей степени, а современный *Calomyscus* Thom. по ряду особенностей в строении черепа и зубов стоит особняком среди рецентных и исконемых представителей этой трибы. Сравнительно поздно отделившуюся самостоятельную ветвь в составе палеарктических *Cricetini* представляют *Cricetus* и, возможно, *Mesocricetus*. Хотя при некотором сходстве с *Odessamys* в строении постоянных коренных корни первых, как будет показано далее, уходят в плиоцен, а вторых — остаются пока неизвестными. Вместе с тем представители рода *Mesocricetus* четко отличаются от всех известных в настоящее время представителей трибы сильно вытянутыми в продольном направлении коронками  $M_2$  —  $M_3$ . Кроме того, и те, и другие по размерам значительно превосходят мелких хомяков трибы *Cricetini*.

К числу древних признаков, в какой-то мере сближенных у *Odessamys* с *Kowalskia*, следует отнести всегда раздвоенный передний воротничок на  $M^2$  —  $M^3$ , слабо выраженную редукцию  $M^3$ , наличие в достаточно частой повторности свободного мезолофа на  $M^1$ , поверхностно расщепленный антероконид на  $M_1$  и сравнительно низкие коронки всех без исключения постоянных коренных. От *Kowalskia* отличается:

— глубоко расщепленным антероконом на  $M^1$ . Поверхностно расщепленный у *Kowalskia*;

— более выраженной редукцией мезолофа на  $M^1$  —  $M^2$ , оканчивающегося на значительном удалении от наружного края коронки зуба либо превращенного в передний гребень метакона. Всегда свободен и, как правило, достигает наружного края коронки зуба у *Kowalskia*;

— отсутствием передней шпоры на  $M^1$ . Как правило, имеется у *Kowalskia*;

— отсутствием мезолофида на  $M_1$ . Всегда выражен у *Kowalskia*.

Среди позднеплиоценовых *Cricetini* раздвоенный передний воротничок на  $M^2$  сохраняют представители рода *Allocricetus*. Однако от последнего *Odessamys* четко отличается:

— наличием относительно узкого твердого неба с хорошо развитым срединным гребнем. Расширенное, преимущественно без срединного гребня у *Allocricetus*. Этот признак в равной мере отличает *Odessamys* и от всех прочих плиоценовых, исконемых антропогеновых и рецентных мелких *Cricetini*, хотя в отдельных случаях следы срединного гребня изредка наблюдаются у *Cricetulus* и несколько чаще у *Phodopus*;

— относительно крупным, вытянутым в продольном направлении  $M^3$ , сохранившим хорошо развитую внутреннюю ветвь переднего воротничка и метакон. У *Allocricetus*  $M^3$  очень мал, а внутренняя ветвь переднего воротничка и метакон отсутствуют или слегка намечены у всех известных в настоящее время мелких представителей рода. Следы первого в равной степени, как и достаточно развитый метакон на указанном зубе, наблюдаются только у *A.ehiki*. Хорошо развит у филогенетических предшественников этого вида из ханровских ассоциаций мелких млекопитающих западного Причерноморья Украины. Но эти виды ни в коей мере не могут идти в сравнение с *Odessamys*, поскольку по размерам он приближается к средним хомякам: длина рядов верхних и нижних постоянных коренных заметно превышает 5,0 мм, а длина на  $M_1^1$ , как правило, более 2,0 мм;

— меньшей степенью редукции мезолофа на  $M^1$ . У *Allocricetus* всегда превращен в передний гребень метакона;

— не дифференцированным, либо поверхностно дифференцированным антероконидом на  $M_1$ . У *Allocricetus* — глубоко дифференцированный. Однако следует отметить, что степень дифференцирования антероконида у мелких *Allocricetus* выражена сильнее, чем у *A.ehiki*. В этом случае в качестве критерия при родовой диагностике следует снова учитывать размерные показатели;

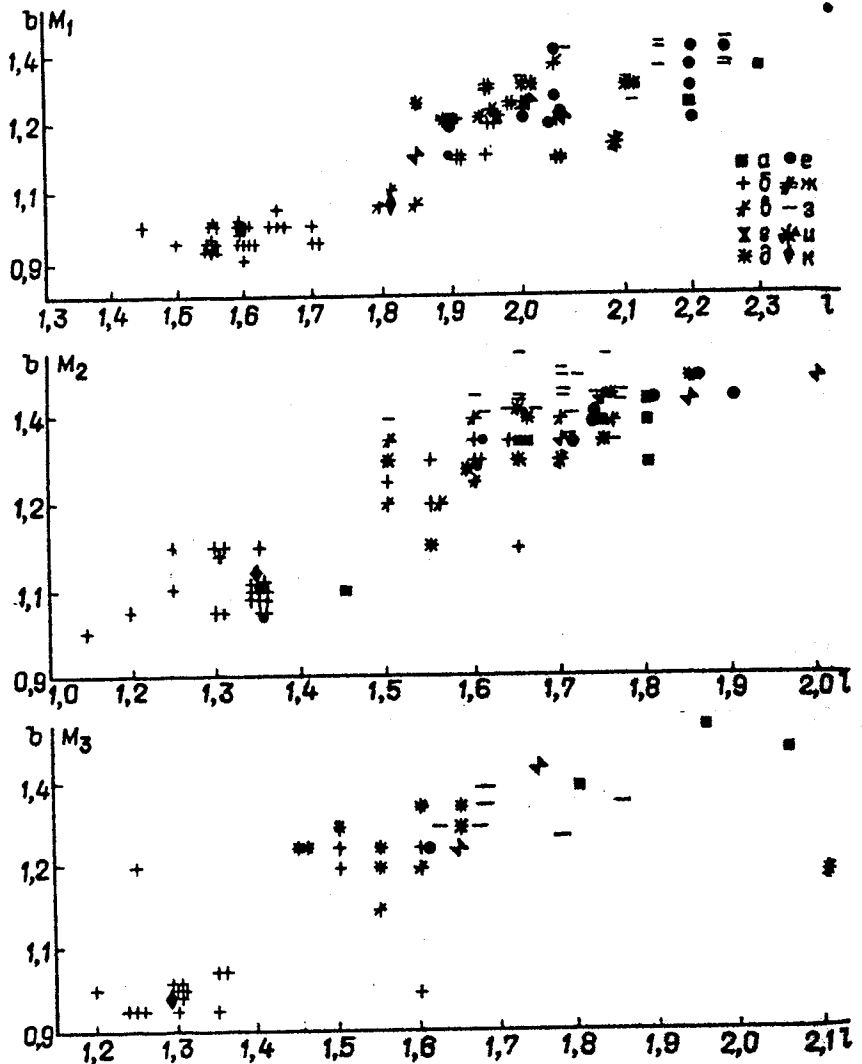


Рис. 61. Отношение длины ( $l$ ) к ширине ( $b$ )  $M_1$  –  $M_3$  родов Cricetini и Allocricetus:

а – Allocricetus anterolophidens sp. nov., Жевахова гора, нижний слой; б – A. rgaeviae sp. nov., Жеваховая гора, слой с моллюсками; в – A. chiki Schaub, Котловина, средний, верхний слой; г – A. anterolophidens sp. nov., Черезничное, средний слой; д – A. chiki, Морской; е – Тарханкут; ж – Крыжановка, нижний слой; з – C. gritzai sp. nov., Одесса, катакомбы; и – A. chiki по Шаубу; к – A. burseae по Шаубу

– относительно длинным  $M_3$ . Укорочен у Allocricetus (рис. 61). Следует отметить, что по относительной длине  $M_3$  Odessamys, по всей вероятности, не имеет себе равных среди ископаемых и современных Cricetini, кроме, возможно, Phodopus и значительно более крупных Cricetus и Mesocricetus. Даже у более примитивных Kowalskia этот зуб относительно короче.

Среди неогеновых палеарктических Cricetini некоторые черты сходства с Odessamys проявляют центральноазиатские плиоценовые Sinocricetus и Nannoocricetus, так как и те, и другие характеризуются поверхностно дифференцированным антероконидом на  $M_1$ . Кроме того, единственный известный для хомячков этой группы верхний постоянный коренной –  $M^2$  Sinocricetus имеет четко раздвоенный передний воротничок и относительно свободный мезолоф, что также в какой-то мере сближает его с Odessamys. Однако хомячков этой группы от Odessamys, как и большинство прочих мелких Cricetini, четко отличают отсутствие внутренней ветви переднего воротничка на  $M_2$  и недоразвитый задний воротничок на  $M_1$ , не оконтуривающий в полной мере основание энтоконида.

Современные Cricetulus и Phodopus в строении переднего отдела твердого неба, нижней ветви ramus inferior подглазничного отверстия (массетерная пластинка) и особенно постоянных коренных проявляют значительные черты сходства с Allocricetus. Поэтому отличия между Odessamys и перечисленными родами в основном совпадают. Однако у Cricetulus, как правило, отсутствует внутренняя ветвь переднего воротничка на  $M^2$ . У Phodopus последняя обычно имеется, хотя проявляет тенденцию к редукции в значительно большей степени, чем это имеет место у Odessamys и Allocricetus. Что касается аналогичной ветви воротничка на  $M^3$ , то у обоих recentных родов и частично у мелких Allocricetus, в отличие от Odessamys, она отсутствует. Кроме того, Odessamys в строении ramus inferior массетерной бугристости проявляет больше черт сходства с Phodopus, чем с Cricetulus. Так, передний и задний край массетерной пластинки у Odessamys прямые или приближаются к таковым, а массетерная бугристость смешена на основание последней, расположаясь у ее переднего края. У Cricetulus задний край ramus inferior обычно сильно вогнутый, а массетерная бугристость расположена заметно ниже основания массетерной пластинки. Кроме того, по размерам и степени рельефности массетерной бугристости Odessamys также значительно превосходит упомянутые выше роды. Следует также отметить, что Odessamys, по всей вероятности, характеризуется также относительно низкой массетерной пластинкой, высота которой по переднему краю не превышает 60 % альвеолярной длины ряда постоянных коренных. В среднем заметно выше у Cricetulus и тем более у Phodopus. К тому же Odessamys значительно превосходит упомя-

нутые выше роды и по степени развития и протяженности гребней, оконтуривающих задненаружные края резцовых отверстий.

В строении нижней челюсти *Odessamys* отличается от *Cricetus* и *Phodopus* относительно короткой диастемой, широкими основаниями венечного отростка и восходящей ветвью. От *Phodopus* отличается также относительно коротким сочлененным отростком.

Отличия между *Odessamys* и recentными *Allocricetus* те же, что и между первым и *Cricetus*. Но эверсмановы хомяки заметно крупнее, чем *Odessamys*. К тому же ширина твердого неба у *Allocricetus* превосходит таковую даже у сравнительно широконебных *Cricetus* и *Phodopus*.

Наконец, от близких родов – плиоценового *Cricetinus* и recentного *Tscherskia* помимо значительно меньших абсолютных размеров отличается меньшей степенью редукции мезолофа на  $M^1$ , наличием внутренней ветви переднего воротничка на  $M^3$ , относительно большей длиной этого зуба, нерасчлененным или поверхностно расчлененным антероконидом на  $M_1$ , а также относительно длинным и узким  $M_3$ . Наиболее существенные отличия между сравниваемыми родами заключаются в строении массетерной пластинки, передний и задний края которой у *Tscherskia* и, по крайней мере, у европейских *Cricetinus* взаимно параллельны и имеют сильно выпуклую вперед форму (почти прямые у *Odessamys*).

Сравнение новоописанного рода с ископаемыми и современными палеарктическими *Cricetini* было бы неполным при исключении плиоценовых китайских *Paracricetus*, известных в настоящее время по единственному фрагменту верхней челюсти, сохранившему  $M^1 - M^3$ . Правда,  $M^1$  спереди сильно поврежден, в связи с чем судить о строении антерокона невозможно. Вместе с тем, приобретая общий план строения верхних постоянных коренных, свойственный представителям трибы *Cricetini*, *Paracricetus* по степени редукции мезолофа на  $M^1 - M^2$ , по-видимому, был близок к *Odessamys*, занимая в этом отношении промежуточное положение между *Kowalskia* и более поздними мелкими представителями трибы. При этом, однако, указанный род характеризуется весьма прогрессивным строением переднего воротничка на  $M^2 - M^3$ , полностью утратившего внутреннюю ветвь на  $M^3$  и почти полностью – на  $M^2$ . В сущности, по этому признаку *Paracricetus* близок к современным *Cricetus* и *Phodopus*, тем самым принципиально отличаясь от *Odessamys*. Кроме того,  $M^3$  этого рода, судя по описанию и изображениям [88], значительно более редуцирован, чем одноименные моляры *Odessamys*. Свообразно также строение заднего воротничка на  $M^1$ , который проявляет тенденцию к полному слиянию с метаконом, частично сохраняя не слитым лишь наружное окончание. В связи с этим происходит образование наружной вилки, не свойственное всем прочим палеарктическим представителям трибы.

Постоянные коренные *Odessamys* из-за отмеченной выше специфики их строения, несомненно, представляют определенный интерес для понимания филогенетических связей большинства позднеплиоценовых и антропогеновых, включая современных, родов палеарктических *Cricetini*. Это тем более важно, поскольку другие составные жевательного аппарата трудно поддаются филогенетической оценке по причине недостаточной их изученности у многих ископаемых форм, что в сущности предопределено неполнотой палеонтологической летописи. В связи с этим, как показывает даже беглое ознакомление с соответствующей специальной литературой, большинство исследователей просто уходили от решения проблемы происхождения и родственных связей поздненеогеновых и антропогеновых *Cricetini*, тем более что образование всего огромного многообразия типов строения бугорчатых постоянных коренных, наблюдаемое у ископаемых и современных *Cricetidae* на протяжении всей геологической истории семейства, происходило во многих эволюционных линиях параллельно или конвергентно, а это не способствовало решению поставленной выше задачи. Поэтому в настоящее время нам известна единственная серьезная попытка интерпретировать филогенез палеарктических *Cricetini* [56]. Собственно, это состояние изученности филогении трибы отражает и новейшая сводка по низшим хомякообразным мировой фауны [10]. По этой схеме мелкие палеарктические *Cricetini* родов *Allocricetus*, *Cricetinus*, *Cricetus* и *Phodopus* рассматриваются как самостоятельная филогенетическая ветвь, уходящая корнями в миоцен и, вероятно, непосредственно связанные с *Democricetodon*. Отмечено также сравнительно раннее (древний плиоцен) выделение из ветви в самостоятельную филогетическую линию *Allocricetus*. Фальбуш склонен оставлять в стороне род *Kowalskia* от основного ствола развития перечисленных выше родов, хотя не исключает возможности также прямой анцестральной связи его с филогенетической линией, ведущей к *Cricetinus*, *Cricetus* и *Phodopus*. Эти взгляды, очевидно, предопределенены существующим значительным разрывом в строении постоянных коренных *Kowalskia*, с одной стороны, и перечисленными родами – с другой. Так, *Kowalskia*, приобретая в строении постоянных коренных облик, в целом свойственный плиоценовым и антропогенным мелким палеарктическим *Cricetini*, кроме *Calomyscus*, сохранила, как было показано ранее, значительное количество древних признаков, сближающих этот род с *Democricetodon* и утраченных в разной степени *Allocricetus*, *Cricetinus*, *Cricetus* и *Phodopus*. В этом плане *Odessamys* может оказаться как раз одним из недостающих звеньев, заполняющих отмеченный выше разрыв. В сущности, на этом эволюционном этапе завершаются свойственная перечисленным выше родам полная дифференцировка антерокона  $M^1$  на составные – экстero- и интэрантекон, преимущественно двубребенчатое соединение последних с последующей парой бугорков,

образование передней марки на  $M^1 - M^2$  за счет хорошо развитого переднего гребня наракона и существенное упрощение жевательной поверхности  $M_1 - M_2$  путем полной либо частичной редукции мезолофа на верхних и соответственно мезолофида на нижних постоянных коренных. Если к тому же учесть, что отмеченные черты вышеокой специализации постоянных коренных Odessamys находятся в сочетании с древними признаками, сближающими этот род с Kowalskia, то положение последней в филогенении этой группы налеарктических Cricetini требует некоторой переоценки. Во всяком случае не исключено, что Kowalskia может оказаться у истоков общей филогетической ветви, ведущей к Allocricetus, с одной стороны, и Cricetinus, Cricetus, Allocricetus, Phodopus — с другой. Естественно, что в подобном случае связывающим звеном должны быть Odessamys и близкие к нему формы. Во всяком случае, близкий к Odessamys эволюционный уровень строения постоянных коренных, по-видимому, демонстрирует малоизученная группа восточноазиатских мелких Cricetini рода Sinocricetus и Nannocricetus из проблематичного юнта Монголии и северного Китая. Естественно, авторы не склонны рассматривать шлиоценовых Kowalskia Западной Европы в качестве прямых предков Odessamys и близких к нему восточноазиатских Cricetini, находящихся у истоков филогетической ветви, ведущей к Allocricetus, Cricetinus, Tscherskia, Cricetus, Allocricetus и Phodopus. Этому, помимо ряда очень примитивных черт в строении постоянных коренных, противоречит и частичное совпадение во времени существования наиболее поздних Kowalskia, древнейших Odessamys и мелких восточноазиатских хомячков близких родов. Однако на грани сармата и мэотиса в пределах юга Восточной Европы найдены формы, чрезвычайно близкие к Kowalskia, у которых, если исключить хорошо развитые гребни сложности — переднюю шпору на  $M^1$ , мезолоф на  $M^1 - M^2$  и соответственно мезолофид на  $M_1 - M_2$ , постоянные коренные в целом достигают эволюционного уровня Odessamys: глубоко дифференцированный антерокон, наличие переднего гребня наракона на  $M^1 - M^2$ , сравнительно слабо редуцированные  $M_3$ . Среди подобных форм, по всей вероятности, и следует искать палеарктических мелких Cricetini, ведущей к шлиоценовым и антропогеновым, включая современные, родам, в том числе и Odessamys, и близкой к нему группы азиатских шлиоценовых хомячков.

Состав рода 2 вида: O. palatocristatus sp. nov. из поздних ассоциаций микротериофаун молдавского фаунистического комплекса (катаомбы Одессы, нижний слой Котловины); O. simionescui [87] из древних ассоциаций микротериофаун молдавского фаунистического комплекса Румынии (Берешти) и Северного Приазовья (Обуховский карьер вблизи г. Новочеркасска, нижний слой).

Геологическое и географическое распространение. Средний шлиоцен Причерноморья и северного Приазовья.

смежные с Украиной районы Румынии. Наличие Odessamys в древних микротериофаунах хипровского фаунистического комплекса требует подтверждения на более обширном материале.

*O. palatocristatus Topachewski et Scorik,  
sp. nov.*

*Cricetus migratorius Pall.  
Пидопличко И.Г., 1951, 1954*

Г о л о т и и. Обломок небно-зубного отдела черепа, сохранивший ряды  $M^1 - M^3$ , основания склеральных дуг и задние края резцовых отверстий; средний шлиоцен, вторая его половина. Причерноморье Украины, катакомбы Одессы. Хранится в коллекциях отдела палеозоологии и Палеонтологического музея ИЗАН Украины, № 24.

П а р а т и и. Обломок лицевого отдела черепа, № 25; небно-зубные отделы черепа и их обломки, № 26, 27, по степени сохранности сходные с голотипом; нижняя челюсть полной сохранности, № 28. Все происходят из того же местонахождения, что и голотип. Хранятся там же, где и голотип.

Д о н о л и и т ь ы й м а т е р и а л. Обломки небно-зубного отдела черепа — 67 экз., нижние челюсти и их фрагменты — 78, изолированные постоянные коренные:  $M^1$  — 76;  $M^2$  — 65;  $M^3$  — 32;  $M_1$  — 57;  $M_2$  — 70;  $M_3$  — 67 экз. из катакомб Одессы; обломки черепа — 1; нижние челюсти и их фрагменты — 5; изолированные постоянные коренные:  $M^1$  — 3;  $M^2$  — 2;  $M^3$  — 0;  $M_1$  — 9;  $M_2$  — 3;  $M_3$  — 1 экз. из нижнего слоя Котловинского местонахождения.

Д и а г н о з. Размеры мелкие: длина  $M^1$  в подавляющем большинстве случаев менее 1,7 мм,  $M_1$  — менее 1,55 мм,  $M_2$  — менее 1,35 мм. Передний гребень наракона  $M^1$  преимущественно высокий, развит примерно в той же степени, что и на  $M^3$ , в связи с чем образование передней марки происходит уже на ранних и средних стадиях стертости зуба. Внутренняя ветвь переднего воротничка  $M_3$  недоразвита: чаще отсутствует либо имеет вид слабо намечаемой складки, частично оконтуривающей основание метаконида. Ямка (входящая петля эмали) между ней и основанием последнего не выражена.

Д о п о л и т ь ы ѿ с о п и с а н і є. Резцовые отверстия расширенные, но, крайней мере, в заднем отделе, не достигающие среднего внутреннего корня  $M^1$ . В большинстве случаев заканчиваются перед альвеолой переднего корня этого зуба или на уровне ее переднего края. Редко достигают середины альвеолы переднего корня  $M^1$ . Внутренняя ветвь переднего воротничка на  $M_2$  чаще всего недоразвита: по степени развития не превышает уровня обычных базальных образований либо вообще отсутствует, сегментообразный выступ образует очень редко.

Таблица 7. Промеры (мм) и индексы (%) нижних постоянных коренных ископаемых хомяков родов *Odesomys* и *Phodopus* Синетти и Родорус

144

Морфологический признак	Средний плиоцен.			Современный			Типа (n = 15)
	Одесса, катакомбы		Котловина, нижний слой	Обуховский карьер	Николаевская обл.	Бурятия	
	<i>O. palaeocratus</i> Top. et Scov.	<i>O. simionescui</i> Schaub.	<i>Ct. migratorius</i> Pall.	<i>Cr. barabensis</i> Pall.	<i>Phodopus schaubs</i> Mill.		
<i>M<sub>1</sub></i> , Длина	1,4–1,5–1,6	1,4–1,5–2,1	1,55–1,69–1,80	1,5–1,58–1,7	1,45–1,52–1,65	1,4–1,46–1,5	
<i>M<sub>1</sub></i> , Ширина	0,9–0,95–1,0	0,8–0,9–1,25	0,95–1,06–1,12	0,9–1,0–1,1	0,9–1,0–1,1	0,8–0,9–1,0	
<i>M<sub>3</sub></i> , Длина	1,2–1,28–1,4	1,2–1,22–1,3	1,30–1,50–1,90	1,1–1,2–1,4	1,15–1,22–1,25	1,0–1,0–1,1	
<i>M<sub>3</sub></i> , Ширина	1,1–1,1–1,2	1,0–1,04–1,1	1,00–1,20–1,50	1,0–1,0–1,2	0,9–1,05–1,15	0,9–1,0–1,1	
<i>M<sub>1</sub></i> , Длина	1,2–1,3–1,5	1,1; 1,15; 1,25; 1,3	1,20–1,43–1,55	1,1–1,18–1,3	1,05–1,13–1,2	0,9–1,0–1,1	
<i>M<sub>1</sub></i> , Ширина	1,0–1,1–1,2	1,05; 0,95; 0,95;	1,0–1,12–1,20	0,9–0,95–1,1	0,9–0,93–1,0	0,8–0,8–0,9	
<i>M<sub>1</sub></i> , Длина	53,3–61,2–66,6	57,1–61,7–65,5	50,4–63,2–74,1	58,8–63,3–68,7	58,8–64,5–68,9	57,1–61,1–65,0	
<i>M<sub>1</sub></i> , Ширина	100 (n = 44)	(n = 10)	(n = 48)	(n = 15)	(n = 14)		
<i>M<sub>3</sub></i> , Длина	78,5–81,5–92,3	83,3–85,9–88,0	65,3–80,8–92,3	78,5–87,3–92,3	78,2–87,3–92,0	81,8–92,7–100,0	
<i>M<sub>3</sub></i> , Ширина	100 (n = 45)	(n = 6)	(n = 56)				
<i>M<sub>3</sub></i> , Длина	71,4–82,2–100,0	76,0–81,7–87,5	70,9–80,7–85,1	75,0–79,4–90,9	75,0–85,0–105,2	80,0–87,4–100,0	
<i>M<sub>3</sub></i> , Ширина	100 (n = 45)	(n = 4)					

Мезолофид практически отсутствует.  $M^2$  –  $M^3$  в среднем относительно шире, чем у *O. simionescui* Schaub (табл. 6).

Сравнение. Проведено далее по мере описания других представителей рода.

Вид, возможно, представлен двумя альлохронными популяциями: более древней одесской и более молодой котловинской. Общая тенденция к уменьшению размеров во времени существования вида как будто намечается по всем постоянным коренным, кроме  $M_1$  (табл. 7, рис. 60).

Местонахождение. Карстовые пустоты в ионтическом известняке, заполненные красно-бурым глиной, вскрытые катакомбами Одессы; нижний слой аллювиальной пачки, вскрывающейся на западном берегу оз. Ялпуг вблизи с. Котловина Ренийского р-на Одесской обл.

Геологическое и географическое распространение. Средний плиоцен западного Причерноморья Украины. Приурочен к геологически наиболее молодым ассоциациям мелких млекопитающих, входящих в состав молдавского фаунистического комплекса.

#### *O. simionescui* (Schaub, 1931)

*Cricetulus simionescui* Schaub,  
1931: 243–244, fig. 1

Голотип. При описании не выделен. Таковым следует считать нижнюю челюсть, сохранившую полный ряд постоянных коренных, изображение которого приведено Шаубом [87, с. 243, рис. 11]. Хранится в Университете в Ясах (Румыния), номер образца не фиксирован. Румыния, с. Берешти, область Ковурлуи, средний плиоцен.

Паратип. Обломок верхнечелюстной кости, сохранивший прилежащие части предчелюстной и небной костей, основание скуловой дуги, задний отдел резцового отверстия,  $M^1$  –  $M^2$ , № 29; обломок горизонтальной ветви нижней челюсти с  $M_1$  –  $M_2$ , № 30. Средний плиоцен северного Приазовья (Обуховский карьер вблизи г. Новочеркасска, нижние слои). Хранятся в коллекциях отдела палеозоологии и Палеонтологического музея ИЗАН Украины.

Дополнительный материал. Верхнечелюстные кости и их обломки – 9, горизонтальные ветви нижней челюсти и их фрагменты – 11, изолированные постоянные коренные:  $M^1$  – 37;  $M^2$  – 8;  $M^3$  – 5;  $M_1$  – 36;  $M_2$  – 45;  $M_3$  – 27 экз. Применяется из того же местонахождения, что и паратипы. Место хранения то же, что и у паратипа.

Диагноз. Размеры более крупные, чем у предыдущего вида: длина  $M^1$ , за редким исключением, более 1,7 мм,  $M_1$  – более 1,55 мм,

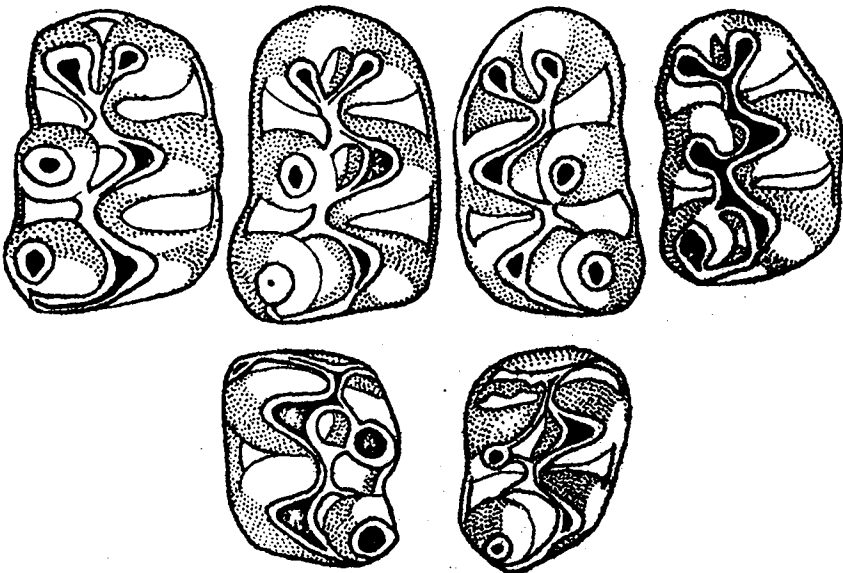


Рис. 62. *Odessamys simionescui* Schaub,  $M^1 - M^3$ , средний шлюцен, Обуховский карьер, нижний слой, жевательная поверхность.

$M_2$  – более 1,35 мм. Передний гребень паракона на  $M^1$  недоразвит или вообще отсутствует. Развит значительно слабее, чем таковой  $M^2$ , в связи с чем передняя марка образуется лишь на сильно стертых зубах либо вообще остается открытой. Внутренняя ветвь переднего воротничка  $M_3$  всегда хорошо развита: имеет вид развитого гребня, оконтуривающего частично или полностью основание метаконида спереди, отделенного от последнего овальной или продолговато-овальной ямкой – дополнительной входящей петлей эмали внутреннего ряда. В отдельных случаях образует сегментарный выступ, причем гребень при этом проявляет тенденцию к превращению в самостоятельный дополнительный бугорок.

Дополнительные описания. Резцовые отверстия, по крайней мере в заднем отделе, суженные, заканчивающиеся на уровне среднего внутреннего корня  $M^1$ . Внутренняя ветвь переднего воротничка на  $M_2$  очень часто хорошо развита, но степени развития незначительно уступает таковой на  $M_3$ . Мезолофид слабо развит, склоняясь в сторону метаконида, практически выполняет роль заднего гребня последнего, низкий.  $M^2 - M^3$  в среднем относительно уже, чем у предыдущего вида.

Сравнение. От *O. palaeotistatus* четко отличается: в среднем большими абсолютными размерами (табл. 6, 7); слабее развитым передним гребнем паракона  $M^1$  (рис. 62); более сильным развитием

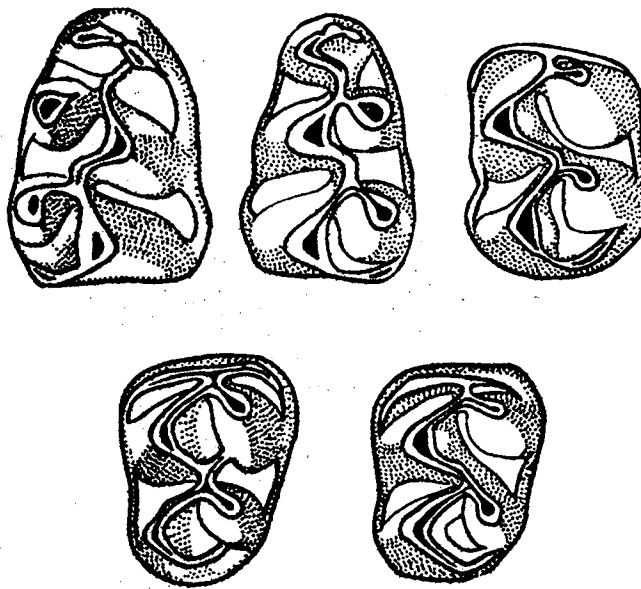


Рис. 63. *Odessamys simionescui* Schaub,  $M_1 - M_3$ , средний шлюцен, Обуховский карьер, нижний слой, жевательная поверхность

внутренней ветви переднего воротничка на  $M_2$  и особенно  $M_3$  (рис. 63); суженные, сдвинутыми назад задними отделами резцовых отверстий (рис. 64).

Голотип по основным показателям полностью укладывается в основные параметры этого вида. Целиком совпадают не только размерные показатели (рис. 63, табл. 7), но и особенности строения постоянных коренных, для которых свойственно сочетание нерасщепленного антероконида с такими признаками, как наличие следов мезолофид на  $M_2$  и достаточно сильное развитие внутренней ветви переднего воротничка на  $M_3$ . Вид, по всей вероятности, находится в прямой филогенетической связь с предыдущими, а процесс видообразованияшел по пути трансформации.

Местонахождение. Окрестности г. Новочеркасска, Обуховский карьер; пески и гравелиты древней аллювиальной толщи, вскрытые на правом берегу р. Грушевка у окрестности с. Обуховка. Приурочено к нижним слоям пачки аллювиальных отложений.

Геологическое и географическое распространение. Северное Приазовье, крайне восточные территории Румынии; средний шлюцен, приурочены к древним ассоциациям мелких млекопитающих, входящим в состав молдавского терриокомплекса.

Род *Allocricetus* Schaub,  
1930

Типовой вид  
*A. bursae* Schaub, 1930; юж-  
ная Венгрия; древний илай-  
стоцен (возможные анало-  
ги тираспольской фауны  
Восточной Европы); место-  
нахождение Браско.

**Диагноз.** Размеры от мелких до средних, приближающихся к таковым средних хомяков — *Mesocricetus*. Череп с относительно коротким, расширенным лицевым (ростральным) отделом. Твердое небо относительно широкое (индекс ширины между  $M^1$  в пределах 70 % альвеолярной длины ряда постоянных коренных). Срединный гребень последнего, как правило, отсутствует, реже — едва намечен в области от задних краев резцовых отверстий на прорезаниях вилоть до задней альвеолы  $M^1$ . Задний край массетерной пластинки скуловой дуги вогнутый. Массетерная бугристость сравнительно крупная, достаточно рельефная, однако располагается ниже основания скуловой дуги. Гребень, оконтуривающий задненаружный край резцового отверстия, слабо, изредка умеренно развит. Едва намечен в промежутке между задними краями резцовых отверстий и альвеолами  $M^1$  (рис. 65). Диастема нижней челюсти длинная, заметно превышает длину ряда постоянных коренных (рис. 66). Антерокон на  $M^1$  всегда глубоко разделенный. Передняя поперечная шпора и свободный мезолоф отсутствуют. Мезолоф всегда связан с метаконом, склонен назад, выполнив роль переднего гребня последнего (рис. 67). Внутренняя ветвь переднего воротничка на  $M^2$  всегда хорошо развита. На  $M^3$  у большинства видов недоразвита или вообще отсутствует; если сохраняется, то в виде нисходящего к внутреннему краю коронки слабо выраженного валика, по степени развития не превышающего уровня обычных базальных образований. Однако у древних, более

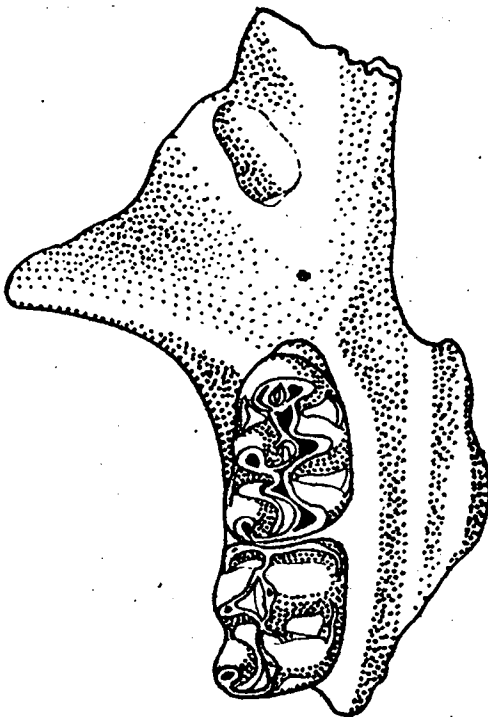


Рис. 64. *Odessamys simionescui* Schaub, задне-  
ний отдел черепа, средний плиоцен, Обу-  
ховский карьер, нижний слой (шартия)

тяжении вилоть до задней альвеолы  $M^1$ . Задний край массетерной пластинки скуловой дуги вогнутый. Массетерная бугристость сравнительно крупная, достаточно рельефная, однако располагается ниже основания скуловой дуги. Гребень, оконтуривающий задненаружный край резцового отверстия, слабо, изредка умеренно развит. Едва намечен в промежутке между задними краями резцовых отверстий и альвеолами  $M^1$  (рис. 65). Диастема нижней челюсти длинная, заметно превышает длину ряда постоянных коренных (рис. 66). Антерокон на  $M^1$  всегда глубоко разделенный. Передняя поперечная шпора и свободный мезолоф отсутствуют. Мезолоф всегда связан с метаконом, склонен назад, выполнив роль переднего гребня последнего (рис. 67). Внутренняя ветвь переднего воротничка на  $M^2$  всегда хорошо развита. На  $M^3$  у большинства видов недоразвита или вообще отсутствует; если сохраняется, то в виде нисходящего к внутреннему краю коронки слабо выраженного валика, по степени развития не превышающего уровня обычных базальных образований. Однако у древних, более

Рис. 65. *Allocricetus praeburgae* sp. nov.,  
задненебный отдел черепа, поздний  
плиоцен, халровское время, Жевахо-  
ва гора, слой с моллюсками (голотип) ▶

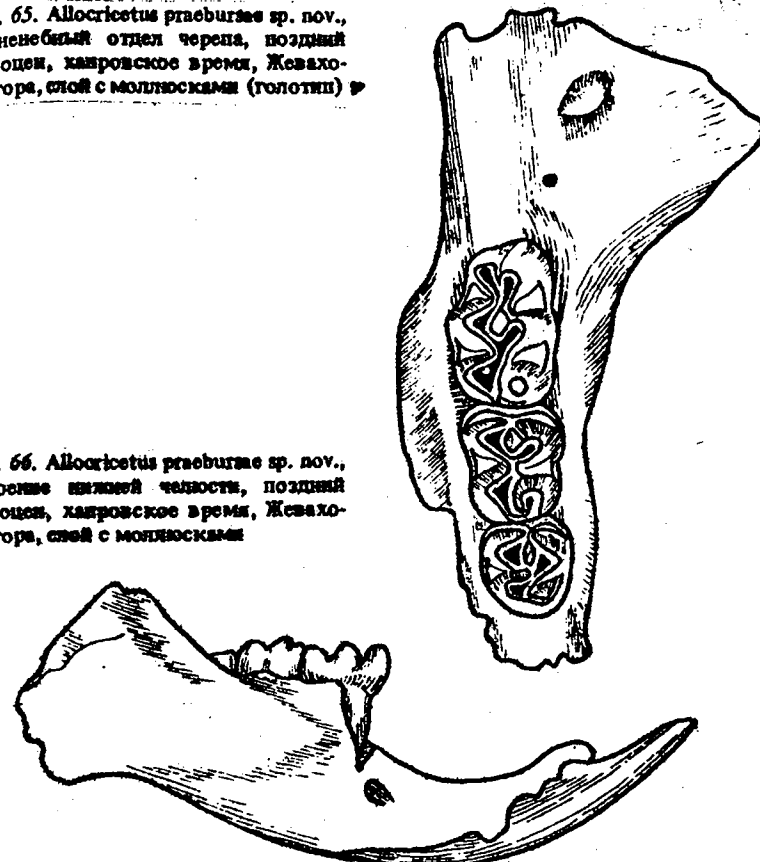


Рис. 66. *Allocricetus praeburgae* sp. nov.,  
строение нижней челюсти, поздний  
плиоцен, халровское время, Жевахо-  
ва гора, слой с моллюсками



крупных форм может иметь вид самостоятельного гребня, оконтуривающего спереди основание протокона и отделенного от него вытянутой в поперечном направлении ямкой (рис. 67, e). В этом случае от *Odessamys* отличается сильно выраженной скошенностью в сторону внутреннего края коронки. Следует отметить, что этот признак в строении  $M^3$  в определенной степени фиксируется и на  $M^2$  представителей рода *Allocricetus*.  $M^3$  относительно короткий, значительно короче  $M^2$ . Инверсия эмали на внутреннюю грань нижнего резца четко выражена. Антероконид на  $M_1$  глубоко разделенный: полная дифференциация инtero- и экстeroантеконида прослеживается на передней стенке коронки зуба не менее чем на протяжении 1/3 высоты последней, иногда в виде желобка может достигать 1/2 высоты антероконида. Мезодофорид на  $M_1$  всегда отсутствует.

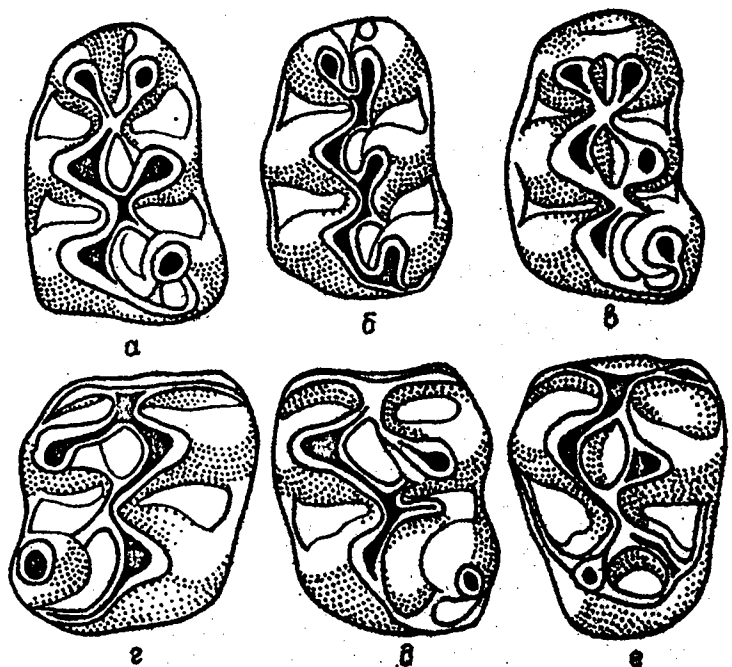


Рис. 67. *Alloscicetus anterolophidens* sp. nov.,  $M^1$  –  $M^3$ , поздний плиоцен, халровское время:  
а, б –  $M^1$ , г, д –  $M^3$ , е –  $M^3$ , Жевахова гора, нижний слой; в –  $M^1$ , Черевичное, средний слой, жевательная поверхность.

**О п и с а н и е.** Массетерная пластинка относительно узкая, уплощенная, слабо или умеренно вогнутая. Задние края резцовых отверстий и передние края альвеол  $M^1$ , по всей вероятности, сближены. Постоянные коренные с коронками умеренной высоты.  $M^1$  всегда с четырьмя корнями, величина и характер строения которых, в сущности, сходны с таковыми большинства recentных родов палеарктических Cricetini. Задние гребни экстро- и интерантекона хорошо развиты. Однако передние гребни этих бугорков в подавляющем большинстве случаев недоразвиты. Передний гребень практически всегда отсутствует на экстроантеконе. Иногда низкий передний гребень наблюдается на интероконе. Тогда фигура стирания последнего приобретает полулунные очертания, как и таковой протокона и гипокона. В связи с изложенным выше образование антероконной марки либо вовсе не происходит, либо происходит только за счет переднего гребня интерантекона на поздних стадиях стертости зуба. У основания передней стенки антерокона иногда наблюдаются базальные образования преимущественно в виде вальковатого вздутия – воротничка. Реже происхо-

дит концентрация этих образований в слабо намеченный дополнительный бугорок, лежащий в основании интено- и экстроантекона между ними, только в очень редких случаях хорошо развитого. Иногда имеет вид гребня, являющегося продолжением переднего гребня интерантекона. Степени развития переднего гребня паракона на  $M^1$ , вероятно, не лишена видовой специфичности. Во всяком случае последний чаще встречается и выше у мелких представителей рода и эволюционной ветви *A. bursae*, а среди крупных из эволюционной ветви *A. chiki* – чаще выражен у геологически более молодых форм. В сущности, двойное сочленение паракона с протоконом (осуществляется через передний и задний гребни паракона), всегда свойственное для  $M^2$  представителей этого рода, на  $M^1$  находится в стадии становления, в связи с чем образование передней марки в постнатальном онтогенезе подтвержено существенной популяционной и индивидуальной изменчивости. Образование задней марки происходит за счет скошенного мезолофа, играющего роль переднего гребня метакона и наружной ветви заднего воротничка. Иногда может наблюдаться развитие заднего гребня метакона, в связи с чем происходит отщипывание от основной марки небольшой дополнительной воротничковой (рис. 67, а, в). Последнее в какой-то мере обусловлено тем, что задний воротничок всегда хорошо развит и полностью оконтуривает основание метакона сзади. У некоторых, преимущественно древних форм, проявляет тенденцию к сохранению внутренней ветви заднего воротничка (рис. 75). Входящие петли эмали расширяются почти перпендикулярно продольной оси зуба. Базальные образования в их устьях обычно слабо развиты. Расположение основных бугорков альтернативное. Внутренние бугорки, как и на всех прочих верхних постоянных коренных, образуют полуулевые фигуры стирания, наружные – округлые.

$M^2$  характеризуется постоянной двойной связью паракона с протоконом за счет достаточно сильного развития переднего и заднего гребней, в связи с чем замыкание передней марки происходит на ранних стадиях стертости зуба (рис. 67, г, д). Образование задней марки, как и на предыдущем моляре, происходит за счет хорошо развитого переднего гребня метакона и заднего воротничка. В отдельных случаях наблюдается также наличие добавочной воротничковой марки, образующейся аналогичным путем, как и на  $M^1$ . Строение наружной ветви переднего воротничка в общем сходно с таковым *Odezaemus*. Однако у *Alloscicetus* наблюдается четко выраженное преобладание гребенчатой структуры над бугорчатой, причем последняя чаще встречается у более древних видов рода. В строении внутренней ветви четко проявляется во времени тенденция к редукции, хотя эти образования сохраняются достаточно развитыми у всех без исключения видов. Указанный процесс осуществляется как в направлении изменения положения воротничка по отношению к плоскости жевательной поверхности – внутрен-

ний край этой ветви переднего воротничка ниспадает в различной степени к основанию коронки, так и путем общего сокращения протяженности по сравнению с наружной ветвью. Так, если у древнейших представителей рода внутренняя ветвь переднего воротничка располагается преимущественно в одной плоскости с жевательной поверхностью зуба и по протяженности заметно превосходит наружную, то в филогенезе рода известны формы, у которых эти образования склонены к основанию коронки в сторону его внутреннего края и по степени развития и протяженности примерно равны наружной ветви, либо даже в их размерах наблюдается обратное соотношение (геологически наиболее поздние виды) (рис. 75, д, е). Следует, однако, подчеркнуть, что в филогенетических ветвях *A. bursae* и *A. chiki* темпы этих изменений, вероятно, различны. Полагаем, что этот признак обладает видовой специфичностью и может быть, наряду с другими, положен в основу видовой систематики рода.

$M^3$  проявляет значительную тенденцию к редукции. Эта тенденция резче выражена в эволюционной ветви *A. bursae*, чем в филуме *A. chiki*. Во всяком случае, у мелких *Allocricetus*  $M^3$  заметно меньше  $M^2$  и характеризуется почти полной редукцией метакона — превращен в склоненный назад гребень, вершина которого поглощена наружным гребнем, являющимся продолжением заднего воротничка (рис. 73, з). Эта стадия редукции свойственна, очевидно, всем геологически более молодым видам этой группы, включая *A. bursae*, а в виде более-менее дифференцированного бугорка может проявляться лишь у геологически более древних форм. Кроме того, у видов этой группы имеется почти полная редукция внутренней ветви переднего воротничка — отсутствует у поздних видов, в отдельных случаях (у геологически более древних форм) сохраняясь в виде слегка намеченного валика, склоненного к основанию коронки (рис. 67, е). В эволюционной ветви *A. chiki*, особенно у древних форм, различия в размерах  $M^3$  и  $M^2$  менее выражены, в отдельных случаях длина перечисленных зубов может даже совпадать, а метакон, как правило, сохраняется в виде бугорка, дифференцированного в различной степени в наружном гребне.

Иначе чем у представителей группы *A. bursae* ведет себя также и внутренняя ветвь переднего воротничка. Во всяком случае она всегда сохраняется у видов этой группы, хотя в процессе филогенеза претерпевает определенные изменения. Этот элемент переднего воротничка, как и в эволюционной ветви *A. bursae*, всегда характеризуется косым расположением по отношению к плоскости жевательной поверхности зуба, однако у древних форм сохраняет свою гребенчатую структуру, приобретая вальковатую форму только у геологически более молодых видов. В первом случае гребень отделен от основания паракона четко обозначенной, вытянутой в поперечном направлении ямкой. Как и на  $M^2$ , меняются также длиниотные соотношения в сравнении с наружной

ветвью, хотя различия в длинах соответствующих гребней выражены в меньшей степени, чем на предыдущем моляре. Иногда внутренняя ветвь переднего воротничка может утрачивать связь с наружной, сохраняясь лишь в нижневнутреннем отделе. В этом случае передний воротничок приобретает разорванную ступенчатую структуру (рис. 75, и, к).

Наружная ветвь переднего воротничка у мелких *Allocricetus* характеризуется гребенчато-буторчатой структурой, а у крупных — только гребенчатой. Гребенчато-буторчатое строение выражено преимущественно у древних форм эволюционной ветви *A. bursae*, у поздних — преобладает гребенчатый тип строения. В обоих случаях ямка, отделяющая гребень или пирамидальный бугорок от основания паракона, хорошо выражена, образуя дополнительную входящую петлю наружного ряда (рис. 75, и). Протокон характеризуется двойной связью с параконом посредством переднего и заднего гребней последнего (рис. 75, з, и). Эта связь обуславливает образование передней марки. Задняя — образуется за счет гребня метакона и заднего воротничка. В устьях входящих петель наружного ряда часто наблюдаются хорошо развитые базальные валики. Поэтому даже на умеренных стадиях старости могут образовываться дополнительные наружно-воротничковая и метафлексусная марки (рис. 67, е). Зуб характеризуется наличием трех корней — мощного заднего и умеренно развитых двух передних.

Интеро- и экстераантероконид  $M_1$  по размерам примерно равновелики. Их задние гребни, как правило, хорошо развиты. Однако преимущественное развитие по высоте и протяженности в подавляющем большинстве случаев получает задний гребень интероантероконида. Посредством этого гребня чаще всего и осуществляется связь антероконида с последующей парой бугорков —proto- и метаконидом (рис. 68, а, в). Задний гребень экстераантероконида, как правило, короткий и чаще всего связан с соответствующим гребнем интероантероконида (рис. 68, б). В связи с этим антероконид приобретает свойственную почти всем recentным палеарктическим *Cricetini* форму двулистника, расщепленного спереди входящей петлей. Отсутствие заднего гребня экстераантероконида без или в сочетании с непосредственной связью этого бугорка с интероантероконом, а не с его гребнем, наблюдается очень редко (рис. 74, а). Также почти не наблюдается самостоятельная связь перечисленных выше элементов антероконида с последующей парой бугорков, хотя и в этом случае по высоте и мощности задний гребень интероантероконида превосходит таковой экстераантероконида (рис. 68, в). Мезолофид и тем более передняя поперечная шпора всегда отсутствуют. Изредка в качестве следов первого можно интерпретировать наличие слабо выраженного выступа в области заднего гребня протоконида (рис. 74, а, б). Задний воротни-

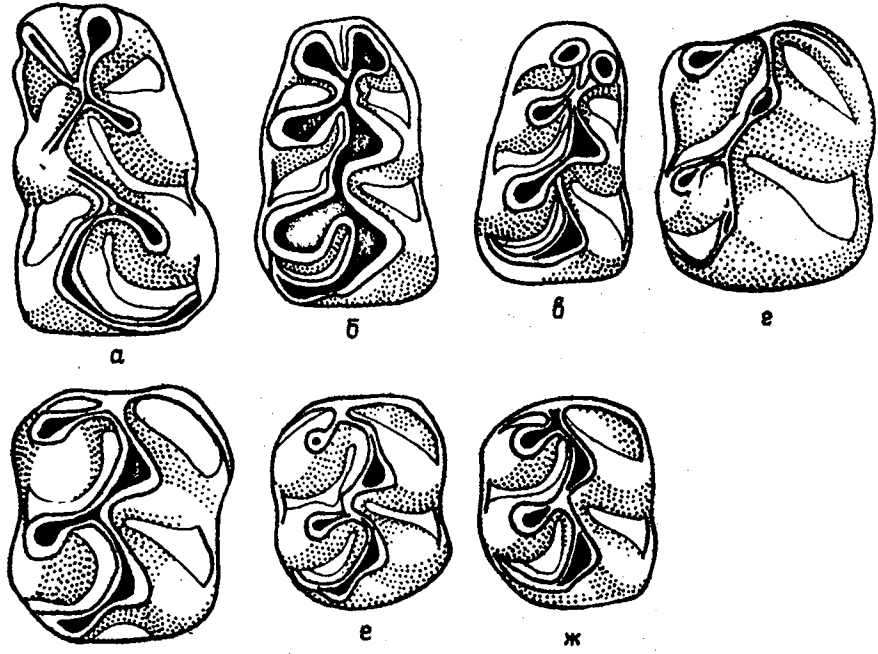


Рис. 68. *Allocricetus anterolophidens* sp. nov.,  $M_1 - M_3$ , поздний плиоцен, хапровское время:  
а, б –  $M_1$ , в, г –  $M_2$ , Жевахова гора, нижний слой; в –  $M_1$ , д, ж –  $M_3$ , Черевичное, средний слой, жевательная поверхность

чок в виде достаточно высокого гребня полностью оконтуривает основание энтоконида сзади и отделен от последнего хорошо выраженным флексидом. На средне стертых зубах образует фигуру стирания. Из-за отсутствия мезолофиида или заднего гребня метаконида, а также слабого развития базальных образований в устьях входящих петель внутреннего ряда марки в процессе стирания зуба не образуются.

$M_2$  сохраняет четко выраженную, по крайней мере у отдельных форм, тенденцию к раздвоению переднего воротничка. Наружная ветвь последнего всегда хорошо развита, имеет вид мощного гребня, образующего сегментовидный выступ, оконтуривающий основание протоконида спереди и отделенный от него флексидом. По мере стирания участвует в образовании общей фигуры стирания жевательной поверхности. Внутренняя ветвь переднего воротничка, как правило, недоразвита (рис. 68, г, ж) либо вообще редуцируется вплоть до полного исчезновения (преимущественно у мелких представителей рода). Мезолофид отсутствует. Изредка сохраняются следы последнего в виде небольшого выщечивания в области заднего гребня протоконида,

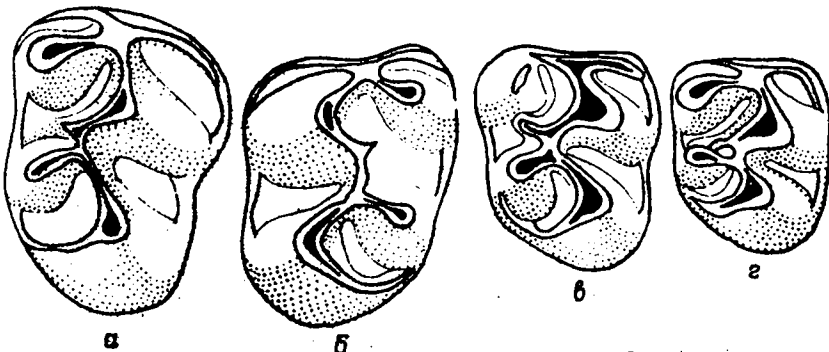


Рис. 69. *Allocricetus anterolophidens* sp. nov.,  $M_3$ , поздний плиоцен, хапровское время:

а, б – Жевахова гора, нижний слой; в, г – Черевичное, нижний слой, жевательная поверхность

но связанного с метаконидом. В связи с этим образование передней марки не происходит на всех стадиях стертости зуба. Задний воротничок в виде хорошо развитого гребня, почти полностью оконтуривающего основание энтоконида сзади.

Передний воротничок на  $M_3$  всегда раздвоен, хотя внутренняя ветвь его в сравнении с наружной недоразвита. Последняя, как и на предыдущем моляре, в виде мощного гребня, образующего сегментообразный выступ, оконтуривающий спереди основание протоконида и отделенного от него хорошо развитой, глубоко входящей петлей (рис. 69), располагается в одной плоскости с жевательной поверхностью зуба. Внутренняя ветвь имеет аналогичное строение, однако по размерам многократно уступает наружной (рис. 69; 74, з–л). Ввиду малой глубины флексида, отделяющего гребень внутренней ветви воротничка от основания метаконида, она может исчезать уже на стадии умеренного стирания зубов (рис. 76, б). Мезолофид чаще всего сохраняется. Сильнее выражен у представителей эволюционной ветви *A. chiki*. В отдельных случаях может оставаться свободным и по протяженности достигать внутреннего края коронки (рис. 69, в; 72, б, в). Как правило, укороченный: заканчивается на значительном расстоянии от края последней, хотя располагается перпендикулярно к продольной оси зуба, сохранив свободную вершину (рис. 74, и). В довольно частой повторности, преимущественно у древних мелких форм из группы *A. vurga*, укорочен, скошен и связан с метаконидом, выполнив роль заднего гребня последнего (рис. 72, д). При этом он принимает участие в замыкании передней марки. У отдельных крупных форм мезолофид, сохранив свою полную протяженность, может отклоняться назад, соприкасаясь с энтоконидом в области внутреннего края коронки, тем самым создавая предпосылки к образованию дополнительных воротничков.

нительной марки за счет соответствующей части передней внутренней петли.

Иногда в той же эволюционной ветви мезолофид может сохраняться одновременно с задним гребнем метаконида. При подобном стирании указанных элементов жевательной поверхности передняя марка приобретает двурасщепленное строение. Задний воротничок всегда укорочен, в связи с чем задний отдел коронки заметно уже переднего. Базальные образования в виде валиков в устьях флексидов обычно хорошо развиты.

Сравнение с *Odessamys* в полной мере проведено в предыдущем разделе работы. Поскольку у *Allocricetus* постоянные коренные по сравнению с *Odessamys* в эволюционном плане оказываются более далеко продвинутыми в направлении общего типа строения таковых у современных родов *Cricetulus*, *Phodopus* и *Allocricetus*, то отличия между ними и *Kowalskia* усилены. Это прежде всего касается четко выраженной тенденции к упрощению жевательной поверхности путем почти полной редукции у *Allocricetus* дополнительных лофов на  $M^1 - M^2$  и соответственно лофидов на  $M_1 - M_2$ . Во всяком случае, как следует из приведенного выше описания, авторам ни разу не удалось наблюдать наличие передней поперечной шпоры и более-менее свободного мезолофа на  $M^1 - M^2$  у представителей рода *Allocricetus*. Практически отсутствует мезолофид и на  $M_1 - M_2$ . В сущности, из числа древних особенностей в строении  $M^2 - M^3$  у *Allocricetus* сохраняется только хорошо развитая внутренняя ветвь переднего воротничка, не уступающая по степени развития таковой на одноименных молярах *Kowalskia*. *Allocricetus* по сравнению с *Kowalskia* оказывается эволюционно далее продвинутым и по степени дифференциации антерокона на  $M^1$ , и, что особенно важно, антероконида на  $M_1$ . В обоих случаях эти элементы зубов глубоко расщеплены на наружный и внутренний бугорки (слиты либо поверхности расщеплены у *Kowalskia*). По степени дифференциации антероконида *Allocricetus* значительно превосходит и ранее описанный род *Odessamys*. Наконец, от *Kowalskia*, в равной мере, как и от *Odessamys*, его отличает большая степень редукции  $M^3$ , причем мелкие виды в этом отношении оказываются эволюционно далее продвинутыми, чем более крупные формы эволюционной ветви *A. ehiki*. Следует также подчеркнуть, что редукция  $M^3$  у *Allocricetus* проявляется не только в размерах  $M^3$ , но и в степени развития внутренней ветви переднего воротничка, которая, по крайней мере у мелких видов, либо отсутствует, либо сильно скосена по отношению к плоскости жевательной поверхности, имеет вид низкого валика, не превосходя по степени развития обычные базальные образования. У представителей филогенетической ветви *A. ehiki*, сохранив скосенное положение, указанный элемент зуба имеет преимущественно гребенчатую структуру. У *Kowalskia*, в равной мере, как и у *Odessamys*, внутрен-

ная ветвь переднего воротничка  $M^3$  имеет всегда гребенчатое строение, располагаясь, как правило, в одной плоскости с жевательной поверхностью.

От неогеновых азиатских хомячков группы *Sinocricetus* и *Nannocricetus* отличается:

— глубоко расщепленным антероконидом  $M_1$ . Поверхностно расщеплен у *Sinocricetus* и *Nannocricetus*;

— более сильным развитием заднего воротничка на  $M_1$  и  $M_2$ , полностью или почти полностью оконтуривающим основание энтоконида сзади. Редуцирован на большей части своей протяженности у *Sinocricetus* и *Nannocricetus* на  $M_1$ , а у *Nannocricetus* — и на  $M_2$ ;

— наличием хорошо развитой наружной ветви переднего воротничка на  $M_2$ . Отсутствует у хомячков группы *Sinocricetus* и *Nannocricetus*;

— отсутствием свободного мезолофа на  $M^1$ . Имеется, по крайней мере, у *Sinocricetus*.

От современных близких родов *Cricetulus*, *Phodopus* и *Allocricetus* отличается:

— коротким расширенным ростральным отделом лицевого черепа, напоминающим таковой у представителей рода *Cricetus*. У перечисленных выше родов ростральный отдел суженный, относительно удлиненный;

— более сильным развитием внутренней ветви переднего воротничка на  $M^2 - M^3$ . У современных *Cricetulus*, *Phodopus* и *Allocricetus* следы этого элемента в отдельных случаях могут сохраняться на  $M^2$ , а на  $M^3$  — всегда отсутствуют.

Наконец, от ипоценовых *Cricetinus* отличается:

— относительно узкой уплощенной, либо слабо или умеренно вогнутой по площади массетерной пластинкой скуловой дуги: ее передне-задний поперечник незначительно превышает половину длины ряда  $M^1 - M^3$  (56,1). У *Cricetinus*, по крайней мере восточноевропейских, массетерная пластинка расширенная, сильно вогнутая по площади, а ее переднезадний поперечник составляет 3/4 и более длины верхнего ряда постоянных коренных (73,4; 77,2);

— глубоко расщепленным антероконидом на  $M_1$ . Поверхностно расщепленный, либо даже не расщепленный у *Cricetinus*;

— отсутствием двойной связи метаконида с протоконидом ввиду редукции заднего гребня последнего. В связи с этим не происходит образования соответствующей марки на всех стадиях стертости зуба. У *Cricetinus* в подавляющем большинстве случаев хорошо развитый, ходя и низкий, задний гребень метаконида в подавляющем большинстве случаев имеется и по этой причине марка образуется лишь на сильно стертых зубах.

Перечисленные признаки в равной мере отличают *Allocricetus* и от современных *Tscherskia*. Однако к этому следует добавить более силь-

ное развитие у *Allocricetus* массетерной бугристости и внутренней ветви переднего воротничка на  $M^2$ .

Как отмечалось, крупные *Allocricetus* по размерам приближаются к средним хомякам – род *Mesocricetus*. Однако ошибиться в определении их остатков, даже изолированных постоянных коренных практически невозможно, поскольку первые четко отличаются от вторых следующими признаками:

– слабой вытянутостью всех без исключения постоянных коренных, но особенно  $M_2^2 - M_3^3$  в продольном направлении. Сильно вытянуты у *Mesocricetus*;

– сравнительно слабым развитием маркообразующих гребней основных бугорков на всех без исключения постоянных коренных, в связи с чем образование марок происходит лишь на умеренно и сильно стертых зубах. Всегда высокие у *Mesocricetus*, что, собственно, и предопределяет образование марок на значительно более ранних стадиях стертости постоянных коренных;

– постоянным наличием внутренней ветви переднего воротничка на  $M^2$ . Полнотью, или почти полностью редуцирована у *Mesocricetus*;

– широким твердым небом в межзубном промежутке. У *Mesocricetus* оно узкое. Следует также отметить, что у отдельных представителей рода *Mesocricetus* твердое небо в указанном отделе образует хорошо развитый срединный гребень, тем самым напоминая по своей структуре аналогичные образования у *Odessamys*. Однако в строении постоянных коренных перечисленные роды не имеют ничего общего, четко отличаясь и по абсолютным размерам.

Род *Allocricetus* проявляет определенные черты сходства также с ископаемыми и современными представителями рода *Cricetus*. Это прежде всего касается строения рострального отдела черепа в равной мере, как и некоторых особенностей в строении постоянных коренных. В последнем случае и тому и другому в большей степени присущее сохранение такого древнего признака в строении постоянных коренных, как наличие внутренней ветви переднего воротничка на  $M^2$ . Сближает их также четко проявляющаяся тенденция к инверсии эмали на внутреннюю грань нижнего резца. Однако отличия между ними четко выражены в абсолютных размерах и в высоте маркообразующих гребней. Последние у *Cricetus* не отличаются от аналогичных образований у *Mesocricetus*.

Насколько позволяют судить приведенное выше описание *Allocricetus* и сравнение его с ископаемыми и нынешившими палеарктическими *Cricetini*, указанный род проявляет наибольшее сходство с *Cricetusulus*, *Phodopus* и *Allocricetusulus*. Исходя из этого, по всей вероятности, *Allocricetus* можно было бы рассматривать в качестве самостоятельной, эндемичной для Восточной и Западной Паратетиды группы низших хомячих, развивающейся параллельно с азиатской ветвью

*Cricetini*, объединяющей перечисленные выше современные роды мелких бугорчатозубых хомячих. Однако ревизия систематической принадлежности мелких хомячих из раннеантропогеновых микротериофаун Северного Китая, безоговорочно относимых ранее к роду *Cricetusulus* [91, 94, 95], заставляет с известной осторожностью принимать это донущение, поскольку у авторов нет уверенности в том, что представители рода *Allocricetus* отсутствуют в составе поздненеогеновых и раннеантропогеновых микротериофаун Центральной Азии. Во всяком случае, в достаточно представительной в количественном отношении выборке остатков *Cricetusulus cf. griseus* Miln.-Edw., описанной Янгом [70] из всемирно известного местонахождения Чжоукоутянь, имеются отдельные зубы, во многом сходные с таковыми *Allocricetus* по степени развития внутренней ветви переднего воротничка на  $M^2$ . Не является также однородной указанная серия остатков и по степени расширости рострального отдела лицевого черепа. Поэтому не исключено, что часть перечисленных выше остатков может оказаться принадлежащей если не *Allocricetus*, то, по крайней мере, близкому к нему роду. Однако и в этом случае, если принять во внимание, что древнейшие остатки рода все же приурочены к Восточной Паратетиде, последнюю, по-видимому, можно рассматривать в качестве центра происхождения *Allocricetus*.

Состав рода. 4 вида: *A. ehiki* Schaub, 1930 из позднекапровских и преимущественно таманских микротериофаун юга Восточной Европы и их аналогов в Западной Европе; *A. anterolophidens* Topachevski et Scorik, 1987 из наиболее древних среднекапровских микротериофаун Одесского Причерноморья; *A. bursae* Schaub, 1930 из аналогов тираспольских микротериофаун Западной Европы и юга Украины (близкая форма); *A. ptaebursae* sp. nov. из древних среднекапровских микротериофаун Одесского Причерноморья.

Геологическое и географическое распространение. Поздний плиоцен–эоцен Западной Европы, юг Украины. Найдены в Азии проблематичны, хотя не исключено, что часть остатков *Cricetusulus* из Чжоукоутянь принадлежит представителю этого рода.

#### *A. anterolophidens*<sup>1</sup> Topachevski et Scorik, 1987

Голотип. Изолированный  $M^2$ ; Причерноморье Украины, Одесса, толща древних аллювиальных отложений, вскрывающаяся по правому берегу Куяльницкого лимана (Жевахова гора), нижний слой куяль-

<sup>1</sup> Видовое название указывает на мощное развитие переднего воротничка антеролофа на верхних и антеролофида на нижних  $M_2^2 - M_3^3$ .

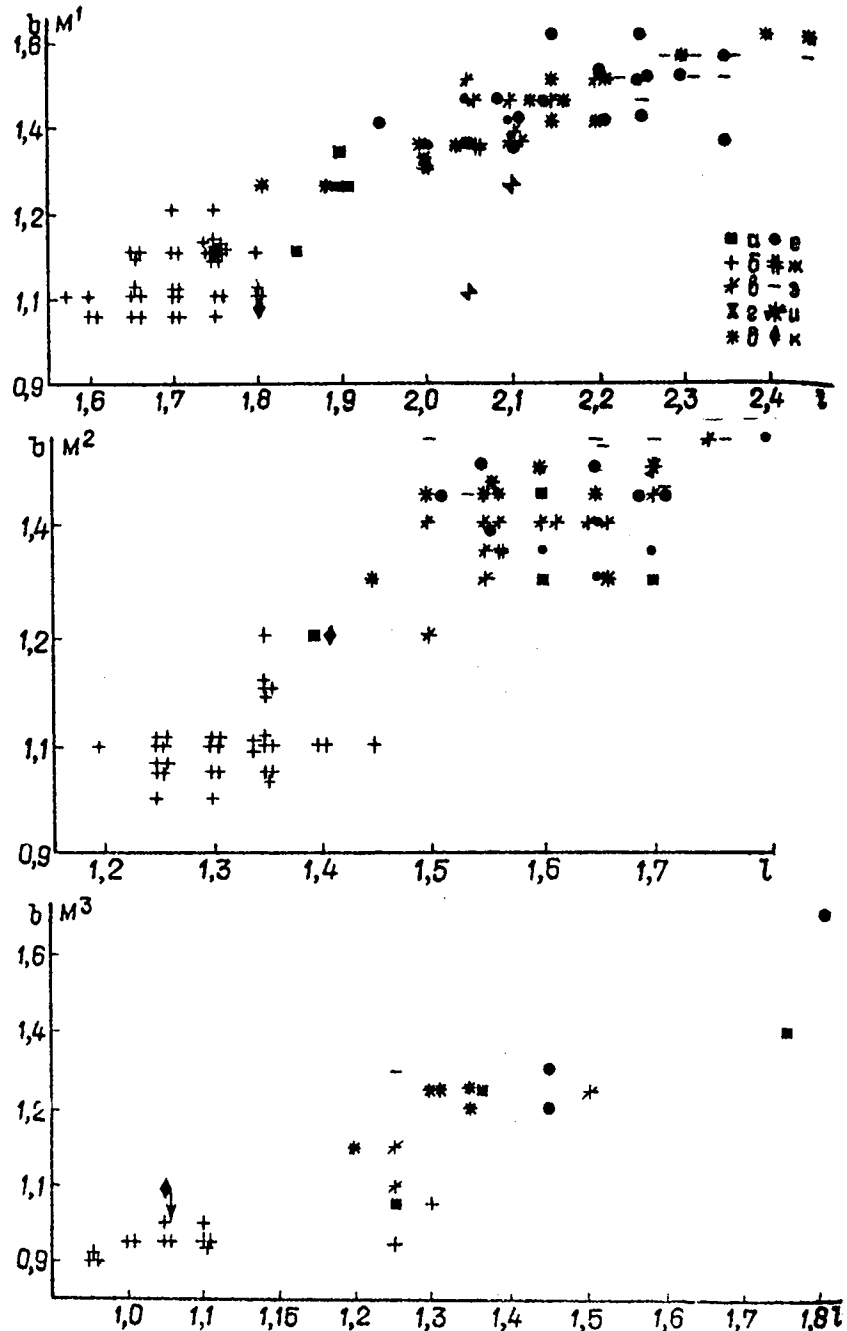


Рис. 70. Отношение длины ( $l$ ) к ширине ( $b$ )  $M^1 - M^3$  родов Cricetini и Allotrichetus:  
 $a$  — *Allotrichetus anterolophidens* sp. nov., Жевахова гора, нижний слой;  $b$  — *A. rhaevigtae* sp. nov., Жевахова гора, слой с моллюсками;  $c$  — *A. chiki* Schaub, Котловина, средний, верхний слой;  $d$  — *A. anterolophidens* sp. nov., Черевичное, средний слой;  $e$  — *A. ehiki*, Морской;  $f$  — Тарханкут;  $g$  — Крыжановка, нижний слой;  $z$  — *C. grizzai* sp. nov., Одесса, катакомбы;  $u$  — *A. ehiki* по Шаубу;  $k$  — *A. burmeisteri* по Шаубу

нищих отложений; поздний шлиоцен — начало среднего этапа развития ханровских микротериофаун. Хранится в коллекциях отдела палео-зоологии и палеонтологического музея ИЗАН Украины, № 31.

**Дополнительный материал.** Изолированные постоянные коренные:  $M^1$  — 9,  $M^2$  — 5,  $M^3$  — 1,  $M_1$  — 6,  $M_2$  — 7,  $M_3$  — 3 экз. Все происходят из того же местонахождения, что и голотип. Обломок горизонтальной ветви нижней челюсти с  $M_1 - M_3$ , изолированные постоянные коренные:  $M^1$  — 2,  $M^2$  — 0,  $M^3$  — 0,  $M_1$  — 2,  $M_2$  — 3,  $M_3$  — 1 экз. из среднего слоя черевичанского разреза (левый берег Хаджибейского лимана вблизи с. Черевичное).

**Диагноз.** Размеры крупные (в пределах рода), приближающиеся к таковым *A. ehiki*: длина  $M^1$  и  $M_1$  более 1,8 мм, в среднем составляет величины порядка 2,0 мм и более; длина нижнего ряда постоянных коренных более 5,4 мм. Внутренняя ветвь переднего воротничка на  $M^2$  и  $M^3$  сильно развита: всегда мощный гребень, отделенный от основания параконида продолговатой ямкой. На  $M^2$  внутренняя ветвь переднего воротничка по общей протяженности превышает наружную. Внутренняя ветвь переднего воротничка на  $M_3$  всегда хорошо развита: в подавляющем большинстве случаев четко обозначенный гребень, оконтуривающий ямку у основания метаконида и образующий вместе с последней четко выраженный передневнутренний сегментообразный выступ зуба (рис. 69).

**Дополнительное описание.** Из признаков, не отмеченных в разделе "Диагноз", можно указать и другие особенности строения постоянных коренных этого вида, правда, требующие проверки на более многочисленных сериях зубов.  $M^3$  относительно длинный: его длина превышает таковую  $M^2$  или приближается к последней (табл. 7, рис. 70). Это в полной мере касается и  $M_3$ , длина которого превосходит таковую или лежит в ряду крайних значений этого признака у восточноевропейских форм филогенетической ветви *A. ehiki* (рис. 71). Мезолоф на  $M^2$  менее связан с метаконом. В отдельных случаях даже наблюдается свободный мезолоф, который, однако, сильно укорочен — значительно не достигает наружного края коронки. Как правило, на  $M^2$  наблюдается четко выраженная двойная связь заднего воротничка с метаконом: кроме обычной связи через вершину заднего воротничка, имеется дополнительное соединение через задний гребень метакона, в результате чего на слабо и умеренно стертых зубах у основания

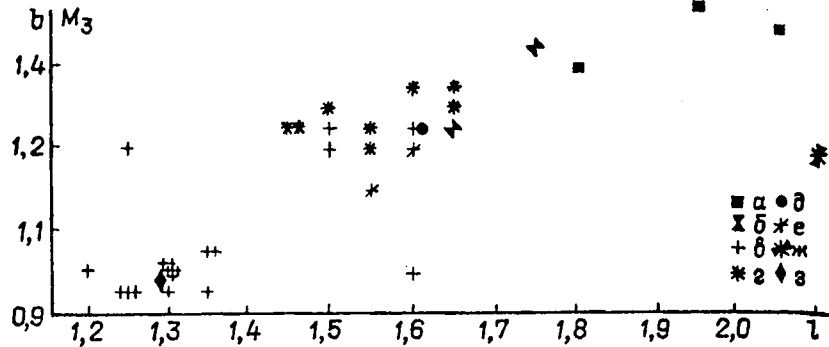


Рис. 71. Отношение длины ( $l$ ) к ширине ( $b$ )  $M_3$ , видов рода *Allotricetus*.

A.anterolophidens sp. nov. — Жевахова гора, нижний слой (а); Черевичное, средний слой (б); A.ehiki Schaub — Жевахова гора, слой с моллюсками (в); Тилигульский разрез (г); Тарханкут (д); A.praebursae sp. nov. — Котловина, верхний слой (а); A.ehiki по Шаубу (ж); A.bursae по Шаубу (з)

указанного бугорка образуется дополнительная ямка за счет обособления задненаружной части задней марки (рис. 67, д). Изредка подобная связь заднего воротничка с метаконом наблюдается и на  $M^1$  (рис. 67, а, в). Антероконид на  $M_1$ , по всей вероятности, расчленен сильнее, чем, по крайней мере, у всех известных восточноевропейских форм *A. ehiki*. Во всяком случае, наиболее часто встречаются варианты, у которых дифференциация экстero- и инteroантероконида спереди выражена примерно на протяжении более 1/3 высоты коронки, а в отдельных случаях — достигает даже половины высоты последней.

Сравнение. От A. ehiki отличается:

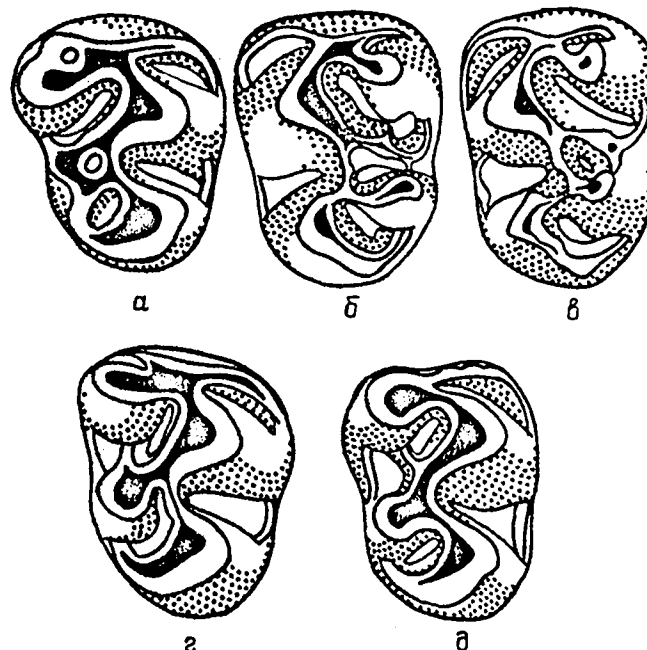
— более сильным развитием внутренней ветви переднего воротничка на  $M^2$  и  $M^3$ . У *A. ehiki* соответствующий гребень (см. "Диагноз") редуцирован преимущественно до стадии валика, а ямка почти не выражена либо вообще отсутствует;

— большей протяженностью внутренней ветви переднего воротничка на  $M^3$ , заметно превышающей таковую наружной ветви. У *A. ehi-kii* в соотносительной длине внутренней и наружной ветвей наблюдается обратное соотношение либо в редких случаях они примерно равны;

— сильнее развитой внутренней ветвью переднего воротничка на  $M_3$  — гребнем, окружающим ямку у основания метаконида, образующим сегментообразный выступ. У *A. chiki* он недоразвит либо вообще отсутствует, сегментообразный выступ и ямка практически не выражены;

— по-видимому, значительно большей частотой встречаемости двойной связи заднего воротничка  $M^2$  с метаконом за счет развития заднего гребня последнего. У *A.ehiki* соединение этих элементов зуба осуществляется только через вершину заднего воротничка;

— относительно длинным  $M^3$ , возможно, превосходящим по разме-



*Рис. 72. Allocricetus e. kujalnikensis* sub. sp. nov., M<sub>3</sub>, поздний  
плиоцен, верхний куяльник, жевательная поверхность:  
а-г - Жевахова гора, слой с моллюсками; δ - Котлови-  
на, верхний слой

рам предыдущий моляр. У *A. ehiki*, по крайней мере восточноевропейских,  $M^3$  всегда короче  $M^2$ .

От восточноевропейских популяций, относимых нами к *A. ehiki*, отличается, видимо, большей длиной  $M_3$ . Во всяком случае, по абсолютной длине этот зуб, при прочих примерно равных показателях (длина  $M_1$  и  $M_2$ ), заметно превосходит одноименные моляры жеваховогорской (средний слой), котловинской, тилигульской, тарханкутской алюстронных популяций указанного вида либо располагается в ряду крайних значений этого признака. Однако типичные венгерские *A. ehiki*, описанные Шаубом [86], имели, очевидно, как и *A. anterolophidens*, относительно крупный  $M_3$  (табл. 8, рис. 71).

От *A. bursae*, кроме больших абсолютных размеров, четко отличается наличием хорошо развитой внутренней ветви переднего воротничка на  $M^3$  и  $M_3$  (отсутствует у *A. bursae*). Трансгрессия в размерах незначительна (рис. 70, 71, табл. 8, 9). Крупные *A.b.correzensis* Chaline, описанные из шлейстоценовых отложений Франции [49, 50], по всей вероятности, должны быть отнесены к *A. ehiki* или, по крайней мере, к близкому виду. Во всяком случае, для этого имеются веские основа-

Таблица 8. Промеры (мм) и индексы (%) нижних постоянных коренных ископаемых хомяков рода *Allocricetus* и рецентных *Cricetulus*, *Phodopus*, *Allocricetus*

Морфологический признак	A. anterolophidens Top. et Scor. sp. nov.		Cricetulus migratorius Pall.		Phodopus sungorus Mill.		Allocricetus eversmanni Brandt	
	Поздний приоцен		Нижний слой средний слой (n = 3)		Николаевская обл. (n = 22)		Современный	
	Жевахова гора, нижний слой (n = 4)	Червячное, средний слой (n = 3)			Тува (n = 15)	Поволжье (n = 7)		Казахстан (n = 7)
M <sub>1</sub> Длина	1,8; 1,9; 2,2; 2,3	1,85; 1,95; 2,05; 1,5–1,58–1,7			1,4–1,46–1,5	1,8–1,85–1,9	1,7–1,8–2,0	
M <sub>1</sub> Ширина	1,1; 1,2; 1,25; 1,35	1,15; 1,2; 1,25; 0,9–1,0–1,1			0,8–0,9–1,0	1,1–1,15–1,25	1,05–1,15–1,3	
M <sub>2</sub> Длина	1,65–1,7–1,8	1,75; 1,85; 2,0; 1,1–1,2–1,4			1,0–1,0–1,1	1,4–1,46–1,55	1,45–1,47–1,5	
M <sub>2</sub> Ширина	1,2–1,3–1,45	1,45; 1,45; 1,5; 1,0–1,0–1,2			0,9–1,0–1,1	1,3–1,3–1,35	1,15–1,25–1,35	
(n = 8)								
M <sub>3</sub> Длина	1,8; 1,95; 2,05	1,75	1,1–1,18–1,3	0,9–1,0–1,1	1,35–1,4–1,45	1,0–1,2–1,4		
M <sub>3</sub> Ширина	1,4; 1,5; 1,55	1,45	0,9–0,95–1,1	0,8–0,8–0,9	1,1–1,1–1,2	1,1–1,16–1,3		
M <sub>1</sub> Длина	56,8; 58,6; 61,1;	58,5; 62,1;	58,8–63,3–68,7	57,1–61,1–65,0	57,8–67,4–94,7	59,4–62,3–65,4		
M <sub>1</sub> Ширина	63,1	64,1						
M <sub>2</sub> Длина	72,2–78,5–81,8	75,0; 78,3;	78,5–87,3–92,3	81,8–92,7–100,0	82,3–89,3–93,1	78,8–84,8–93,1		
M <sub>2</sub> Ширина	(n = 7)	82,8						
M <sub>3</sub> Длина	73,1; 77,7; 79,4	82,8	75,0–79,4–90,9	80,0–87,4–100,0	75,8–81,6–85,7	84,6–92,7–110,0		
M <sub>3</sub> Ширина	(n = 3)							

Таблица 9. Промеры (мм) и индексы (%) верхних постоянных коренных ископаемых хомяков рода *Allocricetus* и рецентных *Cricetulus*, *Phodopus*, *Allocricetus*

Морфологический признак	A. anterolophidens Top. et Scor. sp. nov.		Cricetulus migratorius Pall.		Phodopus sungorus Mill.		Allocricetus eversmanni Brandt	
	Поздний приоцен		Нижний слой средний слой (n = 6)		Николаевская обл. (n = 15)		Современный	
	Жевахова гора, нижний слой (n = 6)	Червячное, средний слой (n = 3)			Тува (n = 15)	Поволжье (n = 7)		Казахстан (n = 7)
M <sub>1</sub> Длина	1,85–1,93–2,05	2,05; 2,1	1,6–1,76–1,9	1,4–1,4–1,5	2,0–2,0–2,15	1,9–2,0–2,1		
M <sub>1</sub> Ширина	1,15–1,28–1,35	1,3; 1,5	1,1–1,14–1,2	1,0–1,0–1,1	1,3–1,35–1,4	1,1–1,3–1,5		
M <sub>2</sub> Длина	1,6; 1,6; 1,7	—	1,1–1,12–1,3	1,0–1,0–1,1	1,4–1,4–1,5	1,3–1,35–1,5		
M <sub>2</sub> Ширина	1,3; 1,3; 1,45	—	1,1–1,13–1,2	0,9–0,96–1,0	1,35–1,39–1,4	1,25–1,36–1,45		
M <sub>3</sub> Длина	1,75	—	0,9–0,98–1,0	0,8–0,84–0,9	1,05–1,1–1,15	0,95–1,0–1,25		
M <sub>3</sub> Ширина	1,3	—	0,9–0,94–1,0	0,7–0,8–0,9	1,1–1,1–1,2	1,0–1,1–1,25		
(n = 8)								
M <sub>1</sub> Ширина	62,1–67,3–73,6	53,6; 61,9	57,8–64,9–70,5	66,6–68,3–73,3	61,9–65,5–70,0	57,8–64,4–69,2		
M <sub>2</sub> Длина	76,4–81,2–90,6	—	84,6–94,5–109,0	90,0–94,5–100,0	90,0–98,6–100,0	96,1–100,0–107,6		
M <sub>3</sub> Длина	74,2	—	90,0–96,1–112,5	77,7–96,3–112,5	95,6–107,2–136,3	100,0–104,6–111,0		

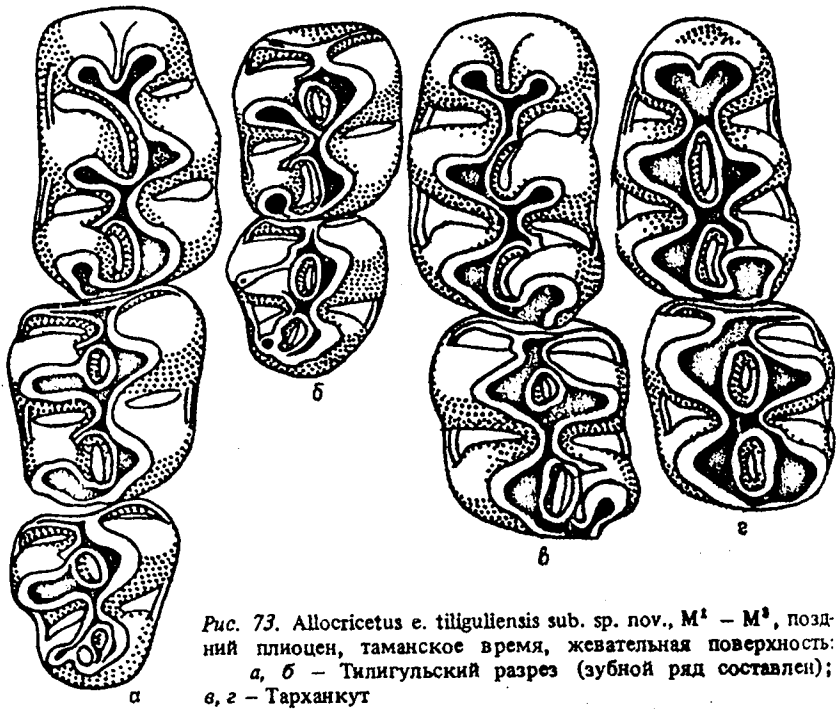


Рис. 73. *Alloscicetus e. tiligulensis* sub. sp. nov.,  $M^2 - M^3$ , поздний плиоцен, таманское время, жевательная поверхность: а, б – Тилигульский разрез (зубной ряд составлен); в, г – Тарханкут

ния, поскольку указанная форма сочетает крупные (в пределах рода) размеры с достаточно сильным развитием внутренней ветви переднего воротничка, свойственным скорее *A. ehiki*, чем *A. bursae*.

Вполне вероятно, что к новоописанному виду следует отнести  $M^2$  из позднего плиоцена Польши (местонахождение Рембелицы Крулевские), отнесенный к *A. bursae* [56]. По протяженности и степени развития внутренней ветви переднего воротничка  $M^2$  из Рембелиц Крулевских проявляет больше черт сходства с одноименными молярами *A. anterolophidens*, чем с таковыми *A. ehiki* и тем более *A. bursae*. По размерам указанный зуб располагается в ряду крайне малых значений признака у *A. anterolophidens*. *A. anterolophidens*, по всей вероятности, представляет собой предковую форму по отношению к *A. ehiki* Восточн. Паратетиды. По крайней мере, тенденция к уменьшению степени развития внутренней ветви переднего воротничка на  $M^2$  и аналогичных образований на  $M_2$  четко прослеживается у геологически разновозрастных популяций *A. ehiki*, причем направленность этого процесса от более древних к более молодым формам вполне очевидна.

Геологическое и географическое распространение. Одесское Причерноморье; поздний плиоцен, первая его половина.

вина; приурочены к древним ассоциациям мелких млекопитающих среднего этапа развития ханровского фаунистического комплекса – нижнежевахогорской вилланийно-муридной и среднечеревичанской вилланийно-мимомисной.

#### *A. ehiki Schaub, 1930*

Г о л о т и п. Венгерский геологический институт, Будапешт; номер не фиксирован; фрагмент передней части лицевого черепа; местонахождение Браше, Венгрия; поздний плиоцен–гюнц.

М а т е р и а л. Представлен из ряда местонахождений Западного Причерноморья Украины позднеханровского и таманского времени: правого берега Куяльницкого лимана в пределах Одессы (Жевахова гора), верхнего слоя куяльницких отложений. Изолированные постоянные коренные:  $M^3 - 1$ ;  $M_1 - 3$ ;  $M_2 - 11$ ;  $M_3 - 4$  экз.;

Крыжановки, куяльницких отложений. Верхние челюсти и их обломки – 3; горизонтальная ветвь нижней челюсти – 1; изолированные постоянные коренные:  $M^1 - 2$ ;  $M^2 - 1$ ;  $M_1 - 4$  экз.;

западного берега оз. Ялпуг вблизи с. Котловина Одесской обл., средних и верхних слоев. Верхние челюсти и их обломки – 7; горизонтальные ветви нижних челюстей и их обломки – 2; изолированные постоянные коренные:  $M^1 - 10$ ;  $M^2 - 6$ ;  $M^3 - 1$ ;  $M_1 - 17$ ;  $M_2 - 8$ ;  $M_3 - 1$  экз.;

Крыма, п-ова Тарханкут. Верхние челюсти и их обломки – 7; нижние челюсти и их обломки – 4; изолированные постоянные коренные:  $M^1 - 9$ ;  $M^2 - 0$ ;  $M_1 - 11$ ;  $M_2 - 8$ ;  $M_3 - 1$  экз.

тилигульского разреза. Верхние челюсти и их обломки – 13; нижние челюсти и их обломки – 13; изолированные постоянные коренные:  $M^1 - 4$ ;  $M^2 - 4$ ;  $M^3 - 1$ ;  $M_1 - 6$ ;  $M_2 - 0$ ;  $M_3 - 0$  экз.

Д и а г н о з. Размеры сходны с таковыми предыдущего вида. Внутренняя ветвь переднего воротничка на  $M^2$  и  $M^3$  слабо развита: обычно в виде валика, оконтуривающего основание протокона спереди, ямка в основании валика в подавляющем большинстве случаев не выражена, более-менее обозначена только у древних популяций вида. На  $M^2$  внутренняя ветвь переднего воротничка по протяженности меньше наружной. Внутренняя ветвь переднего воротничка на  $M_3$  слабо развита – обычно едва намечена, прижата к основанию метаконида или вообще не выражена, в связи с чем сегментарный выступ коронки зуба не образуется (рис. 76).

Д о и о л и н и т о е о п и с а н и е.  $M^3$  относительно мал: его длина заметно меньше таковой предыдущего моляра (табл. 10, рис. 70). Кроме того, у восточноевропейских *A. ehiki*, по-видимому, наблюдается также укороченный  $M_3$  (табл. 11), уступающий по размерам  $M_2$ . Мезолоф на  $M^2$  всегда тесно связан с метаконом с образованием зад-

*Таблица 10.* Промеры (мм) и индексы (%) верхних постоянных коренных ископаемых хомяков родов *Allocricetus* и *рецептариев* *Cricetulus*, *Rhodopus*, *Allocricetus*

Морфологический признак	<i>Allocricetus ehiki Schaub</i> (поздний плиоцен)				
	Котловина, средний и верхний слой	Жевахова гора, слой с моллюсками	Крыжановка, нижний слой	Тилигульский разрез	Крым, Тарханкут
<i>M<sup>1</sup></i> Длина Ширина	1,8–2,0–2,4 1,25–1,4–1,6 (n = 14)	— —	2,0; 2,05 1,35; 1,4 (n = 10)	2,0–2,27–2,45 1,32–1,45–1,6 (n = 15)	1,9–2,2–2,4 1,4–1,5–1,6 (n = 15)
<i>M<sup>2</sup></i> Длина Ширина	1,6–1,64–1,7 1,3–1,4–1,5 (n = 5)	— —	1,55 1,35	1,45–1,56–1,65 1,3–1,4–1,5 (n = 8)	1,6–1,7–1,8 1,4–1,5–1,5 (n = 7)
<i>M<sup>3</sup></i> Длина Ширина	— —	— —	1,3 1,05	1,2–1,3–1,35 1,15–1,2–1,25 (n = 5)	1,4; 1,5; 1,6 1,2; 1,2; 1,3; 1,3 (n = 5)
<i>M<sup>4</sup></i> Длина Ширина	100 61,9–67,5–71,4	— —	67,5; 68,2	63,6–66,6–69,7	63,6–68,3–72,7 (n = 15)
<i>M<sup>2</sup></i> Длина Ширина	100 81,2–85,2–88,2	— —	87,0	78,7–90,8–96,6 (n = 7)	79,0–86,1–93,7 (n = 7)
<i>M<sup>3</sup></i> Длина Ширина	100 —	— —	80,7	88,8–93,8–96,1	80,0; 81,2; 85,7; 86,6

*Таблица 11.* Промеры (мм) и индексы (%) нижних постоянных коренных ископаемых хомяков родов *Allocricetus* и *рецептариев* *Cricetulus*, *Rhodopus*, *Allocricetus*

Морфологический признак	<i>Allocricetus ehiki Schaub</i> (поздний плиоцен)				
	Котловина, средний и верхний слой	Жевахова гора, слой с моллюсками (n = 8)	Крыжановка, нижний слой	Тилигульский разрез	Крым, Тарханкут
<i>M<sub>1</sub></i> Длина Ширина	1,9–2,15–2,5 1,15–1,31–1,5 (n = 14)	1,9; 1,95 1,2; 1,2; 1,5 1,15	1,9; 2,0; 1,95; 2,05 1,15; 1,3; 1,25; 1,15	1,85–1,98–2,1 1,2–1,25–1,3 (n = 8)	1,9–2,1–2,3 1,2–1,3–1,5 (n = 12)
<i>M<sub>2</sub></i> Длина Ширина	1,4–1,57–1,75 1,1–1,38–1,4 (n = 11)	1,5–1,58–1,65 1,15–1,27–1,35	— —	1,5–1,67–1,85 1,3–1,37–1,5 (n = 8)	1,6–1,8–1,9 1,3–1,4–1,6 (n = 10)
<i>M<sub>3</sub></i> Длина Ширина	1,55; 1,6 1,15; 1,1	1,5; 1,6; 1,6 1,0; 1,2; 1,25; 1,25	— —	1,5–1,56–1,65 1,2–1,28–1,3 (n = 7)	1,7; 1,7 1,3; 1,3
<i>M<sub>4</sub></i> Длина Ширина	100 (n = 14)	59,1–60,8–65,7	58,9; 61,5; 63,1 66,6	56,0; 60,5; 62,5; 61,5–63,4–67,5	56,8–62,3–66,7
<i>M<sub>2</sub></i> Длина Ширина	100 80,0–82,0–90,0	69,6–80,3–84,3	—	77,1–82,1–86,6	73,7–79,4–84,7
<i>M<sub>3</sub></i> Длина Ширина	100 68,7; 74,1	62,5; 78,1; 80,0; 83,3	—	77,4–82,2–86,6	76,5; 76,5

Морфологический признак	C. migratorius Pall.		Phodopus sungorus Mill.		Казахстан (n = 7)
	Нижегородская обл. (n = 22)	Тыва	Современный	Поволжье	
M <sub>1</sub>	Длина Широкина 0,9-1,0-1,1	1,5-1,58-1,7 0,9-1,0-1,1	1,4-1,46-1,5 0,8-0,9-1,0 (n = 15)	1,8-1,85-1,9 1,1-1,15-1,25 (n = 7)	1,7-1,8-2,0 1,05-1,15-1,3
M <sub>2</sub>	Длина Широкина 1,0-1,0-1,2	1,1-1,2-1,4 1,0-1,0-1,2	1,0-1,0-1,1 0,9-1,0-1,1 (n = 22)	1,4-1,46-1,55 1,3-1,3-1,35 (n = 15)	1,45-1,47-1,5 1,15-1,25-1,35
M <sub>3</sub>	Длина Широкина 0,9-0,95-1,1	1,1-1,18-1,3 0,9-0,95-1,1	0,9-1,0-1,1 0,8-0,8-0,9	1,35-1,4-1,45 1,1-1,1-1,2	1,0-1,2-1,4 1,1-1,16-1,3
M <sub>1</sub>	Широкина 100 Длина	58,8-63,3-68,7	57,1-61,1-65,0	57,8-67,4-94,7	59,4-62,3-65,7
M <sub>2</sub>	Широкина 100 Длина	78,5-87,3-92,3	81,8-92,7-100,0	82,3-89,3-93,1	78,8-84,8-93,1
M <sub>3</sub>	Широкина 100 Длина	75,0-79,4-90,9	80,0-87,0-100,0	75,8-81,6-85,7	84,6-92,7-110,0

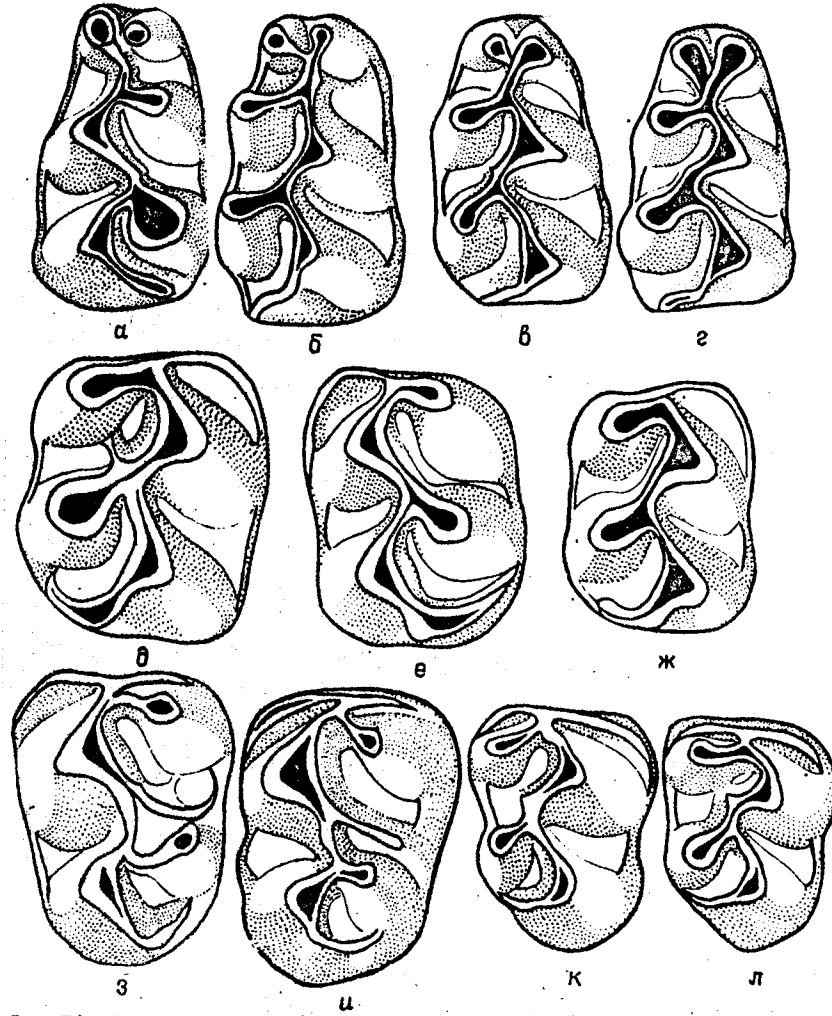


Рис. 74. *Allocricetus praebursac* sp. nov.,  $M_1 - M_3$ , поздний плиоцен, хапровское время, Жевахова гора, слой с моллюсками, жевательная поверхность:  
 $a-g - M_1$ ;  $\delta - \kappa - M_2$ ;  $\varepsilon - \lambda - M_3$

ней марки. Двойная связь заднего воротничка с метаконом на  $M^2$  и тем. более на  $M^1$ , как правило, отсутствует. Антероконид на  $M_1$ , по всей вероятности, менее расчленен, чем у предыдущего вида. Во всяком случае, наиболее часто встречаются варианты строения этого зуба, у которых следы дифференциации экстерио- и интериоантероконида спереди выражены на протяжении менее  $1/3$  высоты коронки.

Сравнение с *A. anterolophidens* полностью проведено ранее. Те же признаки, что и у названного вида, правда, выраженные в мень-

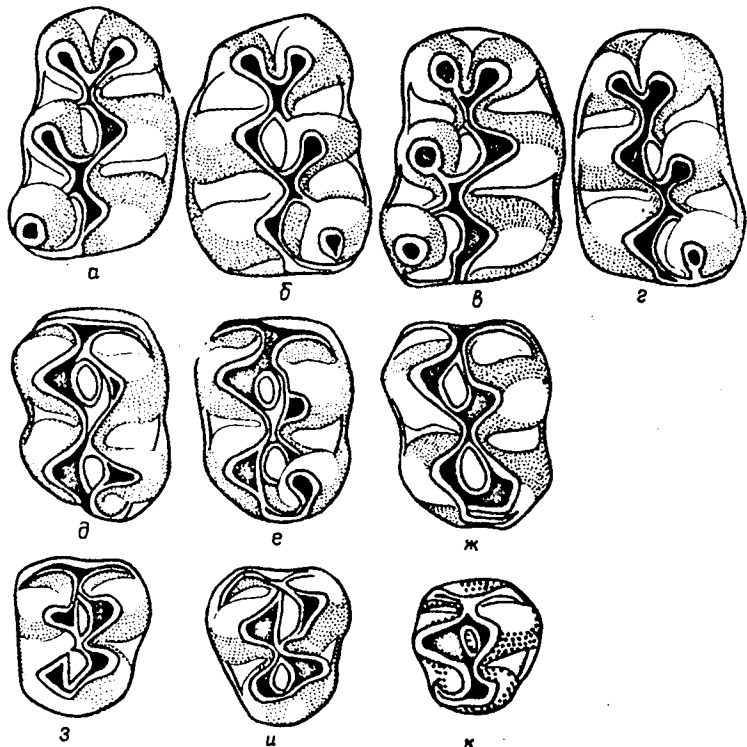


Рис. 75. *Allocricetus praebursae* sp. nov.,  $M^1 - M^3$ , поздний плиоцен, хапровское время, Жевахова гора, слой с моллюсками, жевательная поверхность:  
а-г –  $M^1$ ; д-ж –  $M^2$ ; з-к –  $M^3$

шей степени, отличают *A. ehiki* и от представителей филогенетической ветви *A. bursae*. Это прежде всего касается в большей степени развития внутренних ветвей переднего воротничка на  $M^3$  и  $M_3$ .

Вид в пределах Восточной Паратетиды представлен двумя аллохронными популяциями, которые по мере поступления новых материалов могут оказаться самостоятельными видами.

*A. e. kijalnikensis* subsp. nov. В отличие от венгерской номинальной формы мезолофид на  $M_3$  хорошо развит, относительно свободный, по протяженности достигает внутреннего края коронки зуба (рис. 72). Ямка, отделяющая внутреннюю ветвь переднего воротничка  $M^2$  от протокона, выражена в более частой повторности, чем у последующей, геологически более поздней формы, хотя развита значительно слабее, чем у *A. anterolophidens*. Представлен в составе группировок мелких млекопитающих позднего и среднего этапов развития хапровского фаунистического комплекса (местонахождения: Котловина, средний и

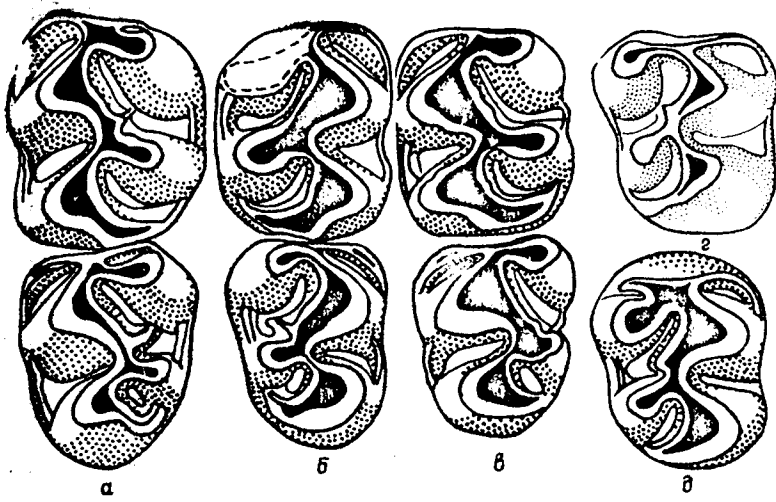


Рис. 76. *Allocricetus e. tiliguliensis* sp. nov.,  $M_2 - M_3$ , поздний плиоцен, таманско время, жевательная поверхность:  
а-г – Тилигульский разрез; д – Тарханкут

верхний слои, позднекапровские ассоциации мелких млекопитающих среднекотловинской вилланийно-шиломисно-спалацидной и верхнекотловинской вилланийной; собственно куяльницкие слои Крыжановки, верхняя часть куяльницких отложений жеваховогорского разреза – куяльницкая вилланийно-крицетидная ассоциация). Тип: изолированный  $M_3$  № 32, хранится в коллекциях отдела палеозоологии и палеонтологического музея ИЗАН Украины; верхние куяльницкие слои жеваховогорского разреза в пределах Одессы.

*A. e. tiliguliensis* subsp. nov. По степени развития мезолофига  $M_3$  сходен с номинальной формой: чаще всего едва намечен либо вообще не выражен, если имеется, то значительно не достигает лингвального края зуба. Ямка, отделяющая внутреннюю ветвь переднего воротничка от протокона на  $M^2$ , за редким исключением, не выражена (рис. 73). От номинального подвида четко отличается укороченным  $M_3$  (рис. 72). Представлен в составе зошлейстоценовых группировок мелких млекопитающих таманского фаунистического комплекса юга Украины – Причерноморье, Крым, Тилигульский разрез (древнеэоценовая тилигульская вилланийно-аллофайомисная ассоциация), Тарханкут (среднеэоценовая тарханкутская лагуродонтино-аллофайомисно-цителлоидная ассоциация). Единичные остатки этой формы изредка встречаются в Ногайске (ногайская пролагурусно-мимомисно-цителлоидная ассоциация). Тип: нижняя челюсть с полностью сохранившимся рядом постоянных коренных, № 33. Хранится в фондах отдела

палеозоологии и палеонтологического музея ИЗАН Украины; слои с таманской микротериофауной.

Геологическое и географическое распространение. Причерноморье Украины, Крым; зоплайстоцен. Приурочен к микротериофаунам таманского фаунистического комплекса.

*A. praebursae Topachevski et Scorik,  
sp. nov.*

Голотип. Обломок верхнечелюстной кости с полностью сохранившимся рядом постоянных коренных; Причерноморье Украины, Одесса, толща древних аллювиальных отложений, вскрывающаяся по правому берегу Куюльницкого лимана (Жевахова гора); верхний слой куюльницких отложений; поздний плиоцен, начало среднего этапа развития хищеровских микротериофаун. Хранится в коллекциях отдела палеозоологии и палеонтологического музея ИЗАН Украины, № 34.

Дополнительный материал. Верхние челюсти и их обломки – 13; нижние челюсти и их обломки – 15; изолированные постоянные коренные:  $M^1$  – 33;  $M^2$  – 22;  $M^3$  – 12;  $M_1$  – 33;  $M_2$  – 19;  $M_3$  – 16 экз. Все происходит из того же местонахождения, что и голотип.

Изолированные постоянные коренные:  $M^1$  – 2;  $M_1$  – 4;  $M_2$  – 6 экз. из среднего и верхнего слоев котловинского местонахождения.

Диагноз. Самый мелкий из известных в настоящее время представителей рода: длина  $M^1$  –  $M^3$  – 3,95; 4,2 мм, длина  $M_1$  –  $M_3$  – 3,7; 3,75; 4,0; 4,1; длина  $M^1$  меньше 1,9 мм, длина  $M_1$  меньше 1,7. На слабо и средне стертых  $M^3$  в подавляющем большинстве случаев сохраняются следы внутренней ветви переднего воротничка – скосенный к основанию коронки слабо развитый валик. Внутренняя ветвь переднего воротничка на  $M_3$  всегда хорошо выражена на ранних и средних стадиях стертости зуба (рис. 74).

Дополнительное описание. На  $M^1$  в достаточно частой повторности сохраняются следы внутренней ветви заднего воротничка (рис. 75). Внутренняя ветвь переднего воротничка на  $M^2$  всегда хорошо выражена: четкий гребень, чаще всего отделенный узкой ямкой от основания протокона, очень редок сегментообразный выступ, свойственный *A. anterolophidens*. Гребень либо располагается в одной плоскости с жевательной поверхностью, либо скослен к основанию коронки. По протяженности превосходит наружную ветвь переднего воротничка или примерно равен последней. Мезолоф на  $M^1$  –  $M^2$  всегда связан с метаконом, ограничивая заднюю марку спереди.  $M^3$  очень мал, значительно короче предыдущего моляра (табл. 12, 13, рис. 70, 73).

$M_1$ , с сильно расщепленным антероконидом.  $M_2$  в большинстве случаев сохраняет следы внутренней ветви переднего воротничка

Таблица 12. Промеры (мм) и индекс (%) верхних постоянных коренных хомяков родов *Allocricetus* и родственных *Cricetulus*, *Phodopus* и *Allocricetus*

Морфологический признак	<i>Allocricetus praebursae</i> Top. et Scor. sp. nov.		<i>Cricetulus migratorius</i> Pall.	<i>Phodopus sungorus</i> Mill.	<i>Allocricetus eversmanni</i> Brandt	Современный Казахстан (n = 7)	
	Поздний плиоцен		Николаевская обл. (n = 15)	Бурятия (n = 15)	Поволжье (n = 15)		
	Жевахова гора, слой с моллюсками	Жевахова гора, нижний слой					
$M^1$ Длина	1,55–1,73–1,75	1,75	–	1,4–1,76–1,9	1,4–1,4–1,5	2,0–2,0–2,15	
Ширина (n = 33)	1,05–1,11–1,2	1,15	–	1,1–1,14–1,1	1,0–1,0–1,1	1,3–1,35–1,4 (n = 7)	
$M^2$ Длина	1,2–1,3–1,45	1,05; 1,2; 1,4–1,49–1,55	1,1–1,29–1,35	1,0–1,0–1,1	1,4–1,4–1,5	1,3–1,35–1,5	
Ширина (n = 33)	1,0–1,1–1,2	1,25; 1,4	1,1–1,13–1,4	0,9–0,96–1,0	1,35–1,39–1,4	1,25–1,36–1,45 (n = 6)	
$M^3$ Длина	0,95–1,03–1,1	–	1,2	0,9–0,98–1,0	0,8–0,84–0,9	1,05–1,1–1,15	
Ширина (n = 12)	0,92–0,94–1,0	–	1,0	0,9–0,94–1,0	0,7–0,8–0,9	1,1–1,1–1,2 (n = 7)	
$M^1$ Ширина	100	60,0–65,7–70,9	62,8	–	57,8–64,9–70,5	66,6–68,3–73,3 (n = 7)	
Длина					61,9–65,5–70,0	57,8–64,4–69,2	
$M^2$ Ширина	100	75,8–82,9–88,8	84,0; 85,7	80,0–86,6–93,3	84,6–94,5–109,0	90,0–94,5–100,0 90,0–96,6–100,0	
Длина					90,0–96,5–111,1	77,7–96,3–112,5 107,2–136,3	
$M^3$ Ширина	100	86,3–91,5–96,8	–	83,3	90,0–96,1–104,6–	100,0–104,6–	
Длина					111,0	111,0	

Таблица 13. Промеры (мм) и индексы (%) нижних постоянных коренных ископаемых хомяков родов *Allocricetus* и *recentных Cricetulus*, *Phodopus*, *Allocricetus*

Морфологический признак	<i>Allocricetus praebursae Top. et Scot.</i> sp. nov.			<i>Cricetulus Pall.</i>	<i>Phodopus sungorus Mill.</i>	<i>Allocricetus evartsianus</i> Brandt	
	Поздний плиоцен			Современный			
	Жевахова гора, слой с моллюсками	Жевахова гора, ниж- няя слоя	Котловина, средний и верх- ний слои	Николаевская обл. (n = 22)	Тува	Поволжье	Казахстан (n = 7)
<i>M<sub>1</sub></i>	1,45–1,59–1,7	1,55	1,36; 1,45; 1,6; 1,8	1,5–1,58–1,7	1,4–1,46–1,5	1,8–1,85–1,9	1,7–1,8–2,0
<i>M<sub>1</sub></i> , Ширина	0,9–0,97–1,05 (n = 28)	1,0	0,85; 0,9; 0,9; 1,1	0,9–1,0–1,1	0,8–0,9–1,0 (n = 15)	1,1–1,15–1,25 (n = 7)	1,05–1,15–1,3
<i>M<sub>1</sub></i>	1,15–1,31–1,35	1,3; 1,3;	1,25; 1,25; 1,35; 1,5	1,1–1,2–1,4	1,0–1,0–1,1	1,4–1,46–1,55	1,45–1,47–1,5
<i>M<sub>1</sub></i> , Ширина	1,0–1,09–1,15	1,1; 1,1; 1,1; 1,1	1,0; 1,0; 1,05; 1,2	1,0–1,0–1,2	0,9–1,0–1,1 (n = 22)	1,3–1,3–1,35 (n = 15)	1,15–1,25–1,35
<i>M<sub>2</sub></i> , Ширина	1,2–1,28–1,35 0,95–1,0–1,2	—	1,6 1,1	1,1–1,18–1,3 0,9–0,95–1,1	0,9–1,0–1,1 0,8–0,8–0,9	1,35–1,4–1,45 1,1–1,1–1,2	1,0–1,2–1,4 1,1–1,16–1,3
<i>M<sub>2</sub></i> , Длина	55,8–61,2–64,5 (n = 23)	64,5	66,6; 58,6; 56,2; 61,1	58,8–63,3–68,7	57,1–61,1–65,0	57,8–67,4–94,7	59,4–62,3–65,7
<i>M<sub>3</sub></i> , Ширина	100	74,0–83,1–111,1 (n = 14)	81,4; 84,5; 80,0; 84,6; 84,6; 77,7; 80,0	78,5–87,3–92,3	81,8–92,7–100,0	82,3–89,3–93,1	78,8–84,8–93,1
<i>M<sub>3</sub></i> , Длина	100	78,1–92,2–103,8	—	68,7	75,0–79,4–90,9 85,7	80,0–87,4–100,0 81,6–	84,6–92,7– 110,0

Мезолофид на *M<sub>2</sub>* – *M<sub>3</sub>* отсутствует или слегка намечен, только иногда на *M<sub>3</sub>* принимает участие в образовании задней марки (рис. 74, з).

Сравнение. От близкого вида *A. bursae* четко отличается меньшими абсолютными размерами и наличием внутренних ветвей переднего воротничка на *M<sup>3</sup>* и соответственно на *M<sub>3</sub>* (отсутствуют у *A. bursae*). Кроме того, *A. praebursae* характеризуется большой протяженностью внутренней ветви переднего воротничка на *M<sup>2</sup>*, которая по величине этого показателя превосходит наружную (у *A. bursae* в развитии этих элементов зубов наблюдается обратное соотношение).

По степени развития внутренней ветви переднего воротничка на *M<sup>3</sup>* и *M<sub>3</sub>* приближается к *A. ehiki*, хотя и не достигает уровня последнего. Это прежде всего касается внутренней ветви переднего воротничка на *M<sup>3</sup>*. Однако, кроме менее выраженных воротничковых образований на указанном моляре, четко отличается от *A. ehiki* меньшими абсолютными размерами. Кроме того, по сравнению с *A. ehiki* характеризуется более расщепленным антероконидом *M<sub>1</sub>* и сохранением в более частой повторности следов внутренней ветви заднего воротничка на *M<sup>1</sup>*. По степени развития этого признака *A. praebursae*, по-видимому, не имеет себе равных среди известных шлиоценовых Cricetini Европы. Следует также подчеркнуть, что в отличие от *A. ehiki* *A. praebursae* имел более длинную по протяженности внутреннюю ветвь переднего воротничка на *M<sup>2</sup>*, превосходящую по протяженности его наружную ветвь. По степени развития этого признака *A. praebursae* в какой-то степени приближается к *A. anterolophidens*, от которого четко отличается, помимо меньших абсолютных размеров, малой степенью развития воротничковых образований на *M<sub>2</sub>* – *M<sub>3</sub>*. Во всяком случае, нам не удалось наблюдать столь сильно развитых сегментообразных выступов в области внутренних ветвей передних воротничков на перечисленных молярах, свойственных *A. anterolophidens*.

Геологическое и географическое распространение. Западное Причерноморье Украины; поздний шлиоцен, первая его половина; приурочены к ассоциациям мелких млекопитающих средних и поздних этапов развития микротериофаун хапровского фаунистического комплекса – соответственно куяльницкая вилланайно-крицетидная, среднекотловинская вилланайно-плиомисно-спалацидная и верхнекотловинская вилланайная ассоциации.

#### Род *Cricetinus* Zdansky, 1928

Типовой вид. *C. varians* Zdansky, 1928; Северный Китай, древний шлейстоцен, слои с остатками синантропа, местонахождение Чжоукутянь.

Диагноз. Размеры средние, сходные с таковыми крупных *Allocricetus*. Лицевой (ростральный) отдел черепа относительно узкий.

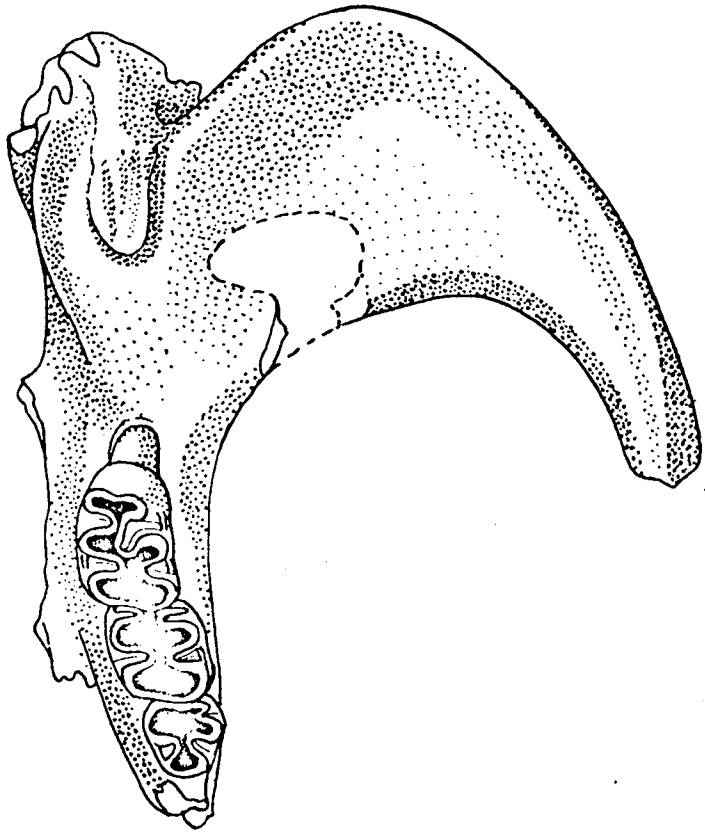


Рис. 77. *Cricetinus gritzai* sp. nov., задненебный отдел черепа, средний плиоцен, Одесса, катакомбы (голотип)

Массетерная пластинка скуловой дуги широкая, с взаимно параллельными передним и задним краями, направленными выпуклостью вперед, но плоскость сильно вогнутая. Массетерная бугристость очень крупная, рельефная, располагается ниже переднего края основания скуловой дуги. Гребень, оконтуривающий задненаружные края резцовых отверстий, мощный, однако сглажен перед альвеолой  $M^1$  (рис. 77). Нижняя диастема умеренно удлиненная: обычно несколько короче  $M_1 - M_3$ , хотя иногда может превосходить последнюю (табл. 14).

Антерокон на  $M^1$  всегда глубоко разделенный. Передняя поперечная шпора и свободный мезолоф, как правило, отсутствуют. Последний связан с метаконом (рис. 78). Внутренняя ветвь переднего воротничка на  $M^2$ , как правило, хорошо развита, хотя обычно в своем развитии не превышает уровня базальных образований: преимущественно — валик,

Таблица 14. Промеры (мм) верхних и нижних постоянных коренных и нижних членостей ископаемых *Cricetinus* и современных *Tschersikia triton Winton*

Морфологический признак	<i>Cricetinus gritzai</i> Top. et Scor. sp. nov. (средний плиоцен)					<i>Cricetinus varians Zdansky</i> (Франкий антропоген)					<i>Tschersikia triton Winton</i> (современный)		
	Одессы, катакомбы	Zажигина, 1966	Zdansky, 1928	Young, 1934	Ped., 1936	Pei, 1940	Teilhard Pei, 1941	Чжоукотань, 1933	Верхняя пещера	Чжоукотань, 1933	m	Lim	
		р. Итанча											
Длина верхнего зубного ряда по коронкам	5,45; 5,6	—	5,4—5,8	5,2—5,5	5,3—5,4	—	—	6,0—6,1	5,6	5,4—5,9	—	—	
$M^1$ Длина	2,20—2,3—2,45	—	2,0—2,2	2,1	—	—	—	—	—	2,35	2,25—2,5	—	
$M^1$ Ширина	1,2—1,5—1,8	—	1,4—1,5	1,4	—	—	—	—	—	1,6	1,5—1,75	—	
$M^2$ Длина	1,5—1,64—1,75	—	1,7—1,8	1,7	—	—	—	—	—	1,8	1,7—2,05	—	
$M^2$ Ширина	1,45—1,52—1,55	—	1,5	1,4	—	—	—	—	—	1,67	1,6—1,75	—	
$M^3$ Длина	1,75	—	1,5	1,2	—	—	—	—	—	1,49	1,45—1,55	—	
$M^3$ Ширина	1,55	—	1,3	1,2	—	—	—	—	—	1,5	1,4—1,6	—	
Длина нижнего зубного ряда по жевательной поверхности	5,35—5,78—6,1 (n = 8)	5,1	5,7	4,8—5,8	5,6—5,7	5,5—6,5	—	4,5—5,7	5,7	5,4—6,0	—	—	
$M^1$ Длина	2,0—2,12—2,25	2,0	2,0	1,9	—	—	—	—	—	2,26	2,2—2,35	—	
$M^1$ Ширина	1,25—1,33—1,40 (n = 12)	1,25	1,3	1,3	—	—	—	—	—	1,37	1,3—1,45	—	
$M^2$ Длина	1,60—1,68—1,75	1,6	1,8	1,7	—	—	—	—	—	1,8	1,75—1,9	—	
$M^2$ Ширина	1,35—1,44—1,55 (n = 23)	1,35	1,5	1,5	—	—	—	—	—	1,6	1,45—1,9	—	
$M^3$ Длина	1,65—1,71—1,8	1,55	1,8	1,5	—	—	—	—	—	1,7	1,65—1,9	—	
$M^3$ Ширина	1,3—1,35—1,4 (n = 8)	1,2	1,4	1,3	—	—	—	—	—	1,48	1,4—1,55	—	
Высота челюсти в средней части $M_1$	4,95; 5,1; 5,4; 6,3	4,7	—	—	—	—	—	4,1—6,6	5,0—6,0	4,4	4,35—5,4	—	
Диаметр диастемы	5,2; 5,3; 6,15	5,0	—	—	—	—	—	—	—	5,3	5,0—5,45	—	

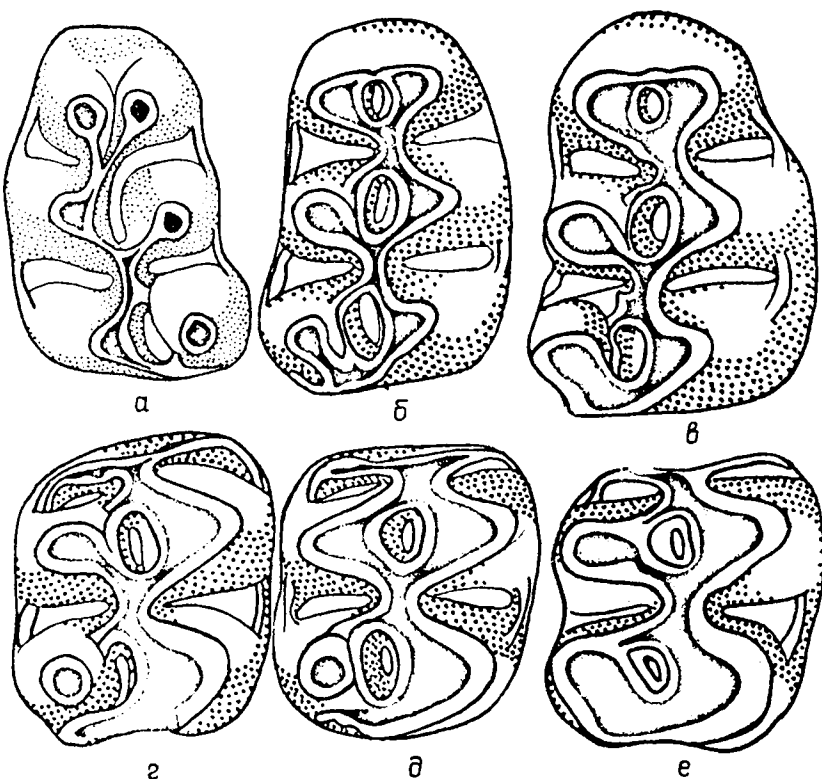


Рис. 78. *Cricetinus gitzai* sp. nov.,  $M^1$  –  $M^2$ , средний плиоцен, Одесса, катакомбы, жевательная поверхность:  
а–с –  $M^1$ ; д–е –  $M^2$

реже – гребень, скошенный к основанию коронки зуба. На  $M^3$  обычно недоразвита, хотя в отдельных случаях и сохраняется.

$M^3$  относительно короткий, заметно короче  $M^2$ .

Антероконид на  $M_1$  слабо или вообще не расчлененный: тенденция к дифференциации экстero- и интерантероконида на передней стенке коронки не выражена, только слегка намечена на начальных стадиях стертости зуба. Мезолофид на  $M_1$  всегда отсутствует. На  $M_2$  в подавляющем большинстве случаев имеет место двойная связь протоконида с метаконидом за счет развития заднего гребня последнего (измененный мезолофид).

О и и с а н и е. Задний гребень интерантерокона на  $M^1$  хорошо развит, экстeroантерокона – обычно недоразвит, в связи с чем этот бугорок часто выглядит изолированным. Передние гребни наружного и внутреннего бугорков антерокона, как правило, не развиты, в связи с 180

чем антероконная марка отсутствует либо образуется сравнительно поздно за счет передней стенки коронки зуба и очень быстро исчезает по мере стирания последнего. Четко намечена тенденция к двойной связи протокона с параконом, хотя передний гребень последнего низок и часто может вообще отсутствовать. Мезолоф скослен, связан с метаконом, служит передней стенкой задней марки. Расположение входящих петель и бугров в равной мере как фигуры стирания последних сходно с таковыми у предыдущего рода.

В строении  $M^2$  –  $M^3$  в целом проявляются те же особенности, что и у *Allocricetus*. Для этих зубов, как правило, свойственна двойная связь паракона с протоконом, а мезолоф соединен с метаконом, что обеспечивает образование передней и задней марок. Однако имеют место исключения. Это касается  $M^3$ , на отдельных экземплярах которых слабо развит задний гребень протокона [86]. Кроме того, на указанном зубе, по всей вероятности, слабее проявляется внутренняя ветвь переднего воротничка.

Из признаков в строении низших постоянных коренных, не отмеченных в разделе "Диагноз", следует отметить наличие хорошо развитого, свободного мезолофида на  $M_3$ . Однако этот признак, очевидно, не выражен у *C. europaeus* Kretzoi.

Сравнение. С *Allocricetus* и *Odessamys* сравнение в полной мере проведено ранее. Из современных палеарктических *Cricetini*, *Cricetinus* наиболее близок к *Tscherskia*. В настоящее время в систематике низших хомячих просматривается тенденция к объединению перечисленных родов с сохранением за ископаемыми формами статуса подрода [14]. Для этого существуют определенные предпосылки, поскольку в строении постоянных коренных *Cricetinus* и *Tscherskia* много общего. Однако этот вопрос требует дополнительного изучения, поскольку *Cricetinus*, по всей вероятности, достаточно четко отличается от *Tscherskia* более широкой и вогнутой по плоскости массетерной пластинкой, сильнее развитыми гребнями, оконтуривающими задненаружные края резцовых отверстий, и положением массетерной бугристости, свойственной скорее представителям рода *Cricetus*, чем *Tscherskia*. Крайне взгляды – отнесение ископаемых *Cricetinus* даже к современному виду *T. albibipes* Ognov (= *T. triton* Winton) ничем не оправданы [15, 91].

Состав рода. 3 вида: номинальный – *C. varians* Zdansky, 1928, ранний антропоген Северного Китая, юг Западной Сибири; *C. europaeus* Kretzoi, 1959, средний плиоцен Венгрии; *C. gitzai* sp. nov., средний плиоцен Одессы (катакомбы – ассоциация молдавского фаунистического комплекса млекопитающих). По мнению И.М.Громова [14], самостоятельному виду могут принадлежать остатки *Cricetinus* из Забайкалья.

Геологическое и географическое распространение. Средний плиоцен Венгрии и одесского Причерноморья Украины, ранний антропоген юга Западной Сибири, Забайкалья, Северный Китай.

*C. gritzai Topachevski et Scorik,  
sp. nov.*

Голотип. Обломок верхнечелюстной кости с полностью сохранившимся рядом постоянных коренных: Одесса, катакомбы, средний плиоцен; красно-бурая глина — заполнитель карстовых пустот и воронок в понтическом известняке. Хранится в коллекциях отдела палеозоологии и палеонтологического музея ИЗАН Украины, № 35. Видовое название дано в честь первооткрывателя местонахождения Т.Г.Грицая. Предложено А.И.Аргиропулом и И.Г.Пидопличко.

Дополнительный материал. Верхнечелюстные кости и их обломки — 4; нижние челюсти и их обломки — 20; изолированные постоянные коренные:  $M^1$  — 6;  $M^2$  — 5;  $M^3$  — 0;  $M_1$  — 6;  $M_2$  — 14;  $M_3$  — 3 экз. Все происходят из того же местонахождения, что и голотип.

Диагноз. Размеры сходны с таковыми номинального вида: длина  $M^1$  —  $M^3$  — 5,45; 5,6 мм; длина  $M_1$  —  $M_3$  — 5,35—5,9—6,1; длина  $M^1$ , как правило, заметно больше — 2,2 мм,  $M_1$  — заметно больше 2,0 мм. Антероконид на  $M_1$  поверхностно расчлененный: экстеро- и интэрантеконид в виде самостоятельных зубчиков, обозначенных на передней стенке коронки, наблюдаются только на самых начальных стадиях стертости. Однако каждый из перечисленных элементов антероконида на начальных и средних стадиях стертости, не будучи дифференцированным на передней стенке коронки зуба, сохраняет самостоятельную фигуру стирания (рис. 79). Полное слияние происходит преимущественно на поздних стадиях стертости. В недифференциированном виде редок. Мезолофид на  $M_3$  хорошо развит, свободный, по протяженности достигает внутреннего края коронки зуба (рис. 79, б).

Дополнительное описание. Свободный мезолофид на  $M_2$  всегда отсутствует. Слияние элементов антероконида на  $M_1$  в единый гребень, по-видимому, не происходит. Полная изоляция экстероантеконона на  $M^1$  редка, если наблюдается, то на самых начальных стадиях стертости зуба. Связь антероконида с последующей парой бугорков на  $M_1$  осуществляется преимущественно посредством хорошо развитого заднего гребня экстероантекононида (рис. 79, б). Однако в отдельных случаях наблюдается двойная связь и через слабо развитый задний гребень интэрантеконида (рис. 79, в). Инверсия эмали на нижнем резце отсутствует или едва намечена.

Сравнение. От *C. varians* четко отличается:

- более выраженной степенью дифференциации элементов антероконида на  $M_1$ . У *C. varians* слабо расчлененный гребень или единий бугорок с едва намеченными следами перетяжки;

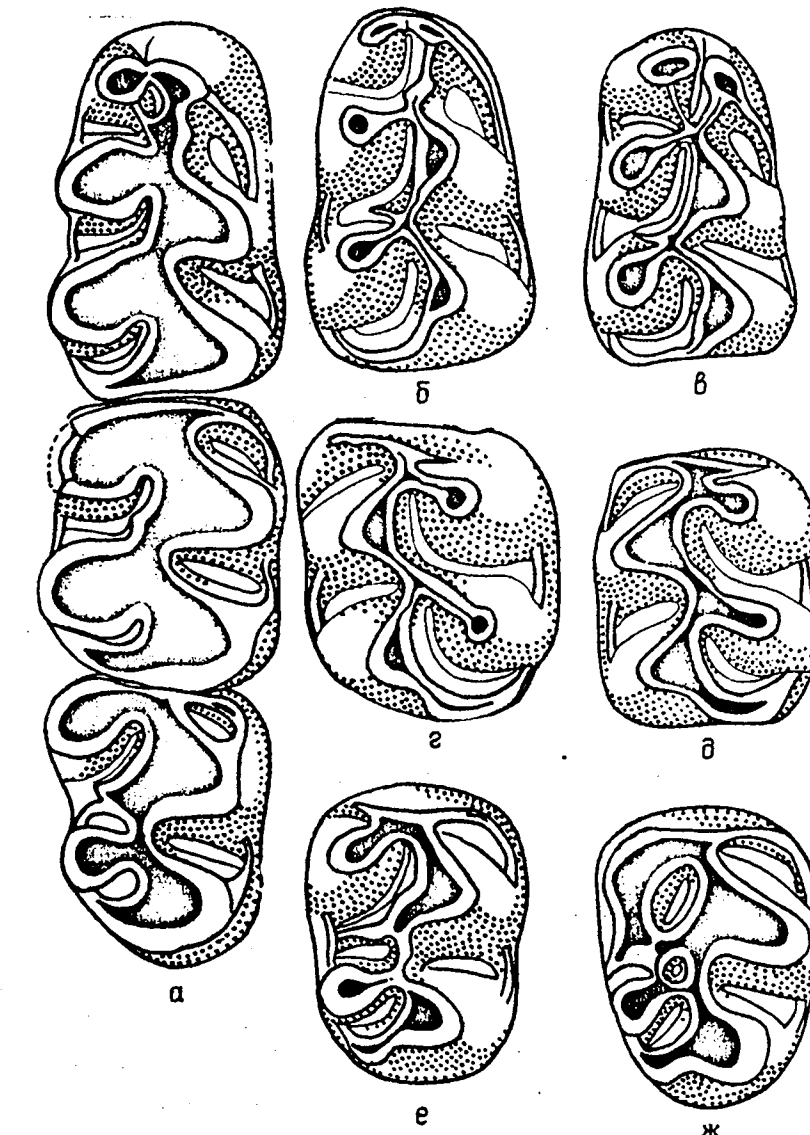


Рис. 79. *Cricetinus gritzai* sp. nov.,  $M_1$  —  $M_3$ , средний плиоцен, Одесса, катакомбы, жевательная поверхность:

а — полный зубной ряд; б, в —  $M_1$ ; г, д —  $M_2$ ; е, ж —  $M^3$

— отсутствием свободного мезолофида на  $M_2$ . Встречается в достаточно частой повторности у номинального вида. По протяженности иногда может достигать даже внутреннего края коронки зуба;  
— слабее выраженной в сериях зубов изоляцией интерантекона на  $M^1$ . Встречается чаще у *C. varians*.

От *C. europeus* отличается наличием хорошо развитого мезолофиида на  $M_3$ .

**Геологическое и географическое распространение.** Средний плиоцен, вторая половина одесского Причерноморья; представлен в ассоциациях мелких млекопитающих молдавского фаунистического комплекса.

### Род *Cricetus* Leske, 1779

**Типовой вид.** *Mus cricetus* L., 1758; современный, Евразия: от Центральной и Южной Европы до Минусинских степей, Малая Азия, Северо-Западный Китай.

**Диагностические признаки.** Наиболее крупный из известных в настоящее время представителей трибы *Cricetini*: альвеолярная длина  $M_1 - M_3$ , за редким исключением, более 6,0 мм. Инверсия эмали на внутреннюю грань нижнего резца значительная. Резцовые отверстия сдвинуты несколько вперед: их задние края заканчиваются на некотором удалении от передних краев альвеол  $M^1$ . Массетерная пластинка черепа относительно широкая, ее задний край выпуклый (выпуклость вперед), передний — слегка вогнутый или смягленный. Передненаружный ее край в зоне мостика над подглазничным отверстием с четко обозначенным выступом (рис. 80). Восходящая ветвь нижней челюсти относительно низкая, со сравнительно длинным, серповидно изогнутым назад венечным, массивным, практически не суженным в направлении нижнечелюстного мышцелка сочленовым отростком (рис. 81, а-в). Последний еще и слабо приподнят по отношению к альвеолярному краю нижнечелюстной кости (рис. 81, б). По типу строения постоянных коренных близок к *Allocricetus* и *Pseudocricetus*. Во всяком случае, они характеризуются четко выраженным раздвоением антерокона на  $M^1$  и соответственно антероконида на  $M_1$ , преимущественно двойной связью между бугорками наружного и внутреннего рядов на  $M^2$  и сравнительно сильным развитием внутренней ветви антеролофа на  $M^2 - M^3$ . Значительная степень редукции последней проявляется только у современных и позднеплейстоценовых *C. cricetus*. В то же время в зоне частичного сопряжения в распространении во времени мелких *Cricetus* и крупных *Allocricetus* (поздний эоплейстоцен) первые, видимо, всегда сохраняют внутреннюю ветвь переднего воротничка на  $M^3$ , а у вторых она отсутствует. Проявление в популяциях *Cricetus* морфотипов  $M^3$  без внутренней ветви антеролофа фиксируется.

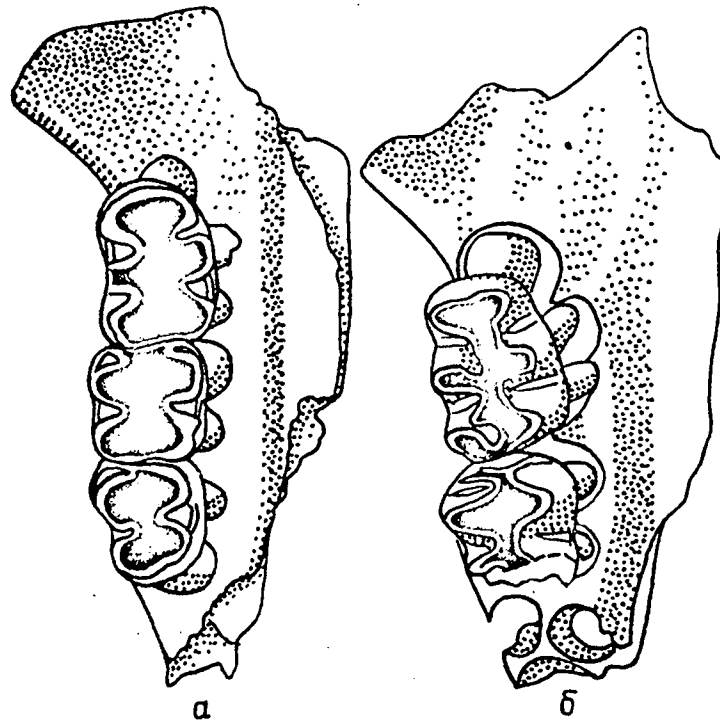


Рис. 80. Задненебный отдел черепа *Cricetus pannus* Schaub (а), поздний эоплейстоцен, позднетамансое время, Ногайск; *C. praeglacialis* Schaub (б), начало среднего плейстоцена, сингиль, Большевик, верхний слой

ируется лишь в восточноевропейских местонахождениях, начиная с завершающей фазы эоплейстоцена. Кроме того, на  $M_2$  *Cricetus*, хотя и в редких случаях, все же имеет место сохранение хорошо развитого мезолофида, полностью редуцированного у *Allocricetus*.

**Сравнение.** В полной мере проведено при описании предыдущих родов: *Kowalskia*, *Pseudocricetus*, *Stylocricetus*, *Allocricetus* и *Cricetinus*. Поэтому, учитывая значительное сходство в строении постоянных коренных между *Cricetus* и перечисленными выше родами, все же следует подчеркнуть основные комбинации признаков, составляющих достоверность в их различии. Тем более что древние мелкие *Cricetus* могут по размерным показателям с ними трансгрессировать.

От *Pseudocricetus* четко отличается принципиально иным строением восходящей ветви нижнечелюстной кости, сдвинутым вперед по отношению к альвеоле  $M^1$  задних краев резцовых отверстий, сильно выраженной инверсией эмали на внутреннюю грань нижнего резца, более

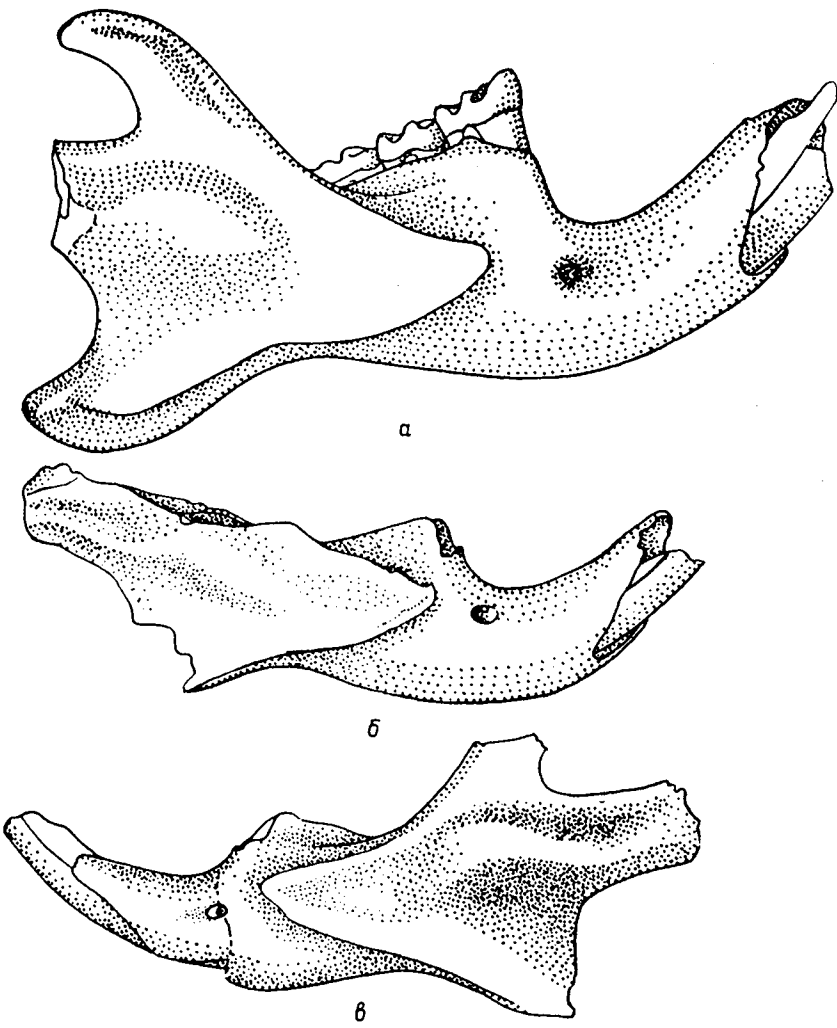


Рис. 81. Строение нижней челюсти *Cricetus pallidus* Schaub (б, в), поздний зоплайстоцен, позднетаманское время, Ногайск; *Cricetus praeglacialis* Schaub (а), завершающий этап древнего плейстоцена (сингиль), Морозовка

крупными размерами по всем без исключения краиологическим и одонтологическим показателям.

От *Cricetinus*, помимо типа строения восходящей ветви нижнечелюстной кости, отличается иным строением массетерной пластинки черепа — сравнительно узкая, с параллельно выпуклыми передним и задним краями, без выступа над подглазничным отверстием у *Cricet-*

*tinus*, сильно выраженной инверсией эмали на нижнем резце — отсутствует у *Cricetinus*, сильнее выраженной дифференциацией бугорков антероконида на  $M_1$  и меньшей степенью редукции внутренней ветви антеролофа на  $M^3$  (практически всегда сохраняется у мелких древних *Cricetus* и отсутствует у *Cricetinus*).

По типу строения нижнечелюстной кости, нижнего резца и постоянных коренных наиболее сходен с *Allocricetus*, отличаясь сдвинутыми вперед задними краями резцовых отверстий, расширенной массетерной пластинкой черепа с хорошо развитым передненаружным выступом в зоне мостика над подглазничным отверстием и более частой встречаемостью внутренней ветви антеролофа на  $M^3$ .

От *Kowalskia* и *Stylocricetus* четко отличается слабее выраженными элементами сложности на  $M_1^1 - M_2^2$ . В первом случае это касается степени редукции мезолофа на  $M^1 - M^2$  и соответственно мезолофида на  $M_1 - M_2$ , во втором — слабого развития наружных стилей на  $M^1 - M^3$  и менее вытянутых в переднезаднем направлении  $M_2 - M_3$ . От тех и других отличается также сильно выраженной инверсией эмали нижнего резца.

З а м е ч а н и я. Среди евразиатских современных и восточноевропейских вымерших преимущественно послепонтических *Cricetini* род *Cricetus* по типу строения постоянных коренных представляет собой, по всей вероятности, наименее эволюционно продвинутую группу. Даже на зубах современных форм изредка проявляются реверсивные морфотипы, сохраняющие такие древние признаки, как полный по своей протяженности мезолофид на  $M_2$  (рис. 46). Это не говоря уже о наименее выраженной степени редукции внутренней ветви антеролофа на  $M^2$  и частично на  $M^3$ . С другой стороны, представители рода оказываются достаточно высоко специализированными по типу строения массетерной пластинки черепа, а главное — по сильно выраженной инверсии эмали на нижних резцах. Последний признак полностью или частично проявляется, кроме *Cricetus*, только у вымерших *Allocricetus* и современных *Allocricetus*, т.е. у сравнительно геологически поздних форм палеарктических низших хомячих. Первые, как известно, в своем распространении во времени не выходят за рамки интервала поздний илиоцен — древний плейстоцен, а достоверные остатки вторых известны из отложений не древнее среднего плейстоцена. Однако у тех и других даже в реверсии не проявляются изредка наблюдаемые у *Cricetus* древние элементы усложнения жевательной поверхности нижних постоянных коренных, предшествующих  $M_3$ , хотя по положению задних краев резцовых отверстий *Allocricetus* принадлежат к числу немногих современных родов, приближающихся по этому признаку к *Cricetus*. Этот тип строения переднего отдела твердого неба свойствен еще только *Tscherskia*. По типу строения передненаружной части массетерной пластинки черепа в зоне костного мостика над подглазничным

отверстием Cricetus имеет аналогии только с современными Tscherskia и вымершими Pseudocricetus мэотиса и древнейшего шонта, существенно отличаясь от Allocricetus и Allocricetusulus.

Таким образом, играя существенную роль в родовой систематике Cricetini, краниологические показатели сами по себе едва ли являются ведущими, по крайней мере, в этом случае для восстановления прямой филогенетической связи родовых группировок, поскольку, как было показано ранее, аналогичные структуры могут возникать параллельно в различных филумах евразиатских низших хомячих, зачастую отдаленно родственных. Конечно, при явном филогенетическом приорите одонтологических показателей данные краниологии должны все же учитываться.

Исходя из вышеизложенного на имеющейся информативной основе можно заключить, что род Cricetus должен находиться в прямой филогенетической связи с группами низших хомячих, имеющих при высокой эволюционной продвинутости структур постоянных коренных – полностью раздвоенные антерокон и соответственно антероконид на  $M_1^1$ , наличие двойной связи между наружными и внутренними основными бугорками  $M^1 - M^2$  – элементы усложнения жевательной поверхности – мезолоф и соответственно мезолофид, по крайней мере, на  $M^2$  и  $M_2$ . В этом плане прямая филогенетическая связь между Cricetus и Allocricetus, по-видимому, отсутствует, несмотря на общее сходство в строении постоянных коренных и нижних резцов у обоих родов. Вместе с тем не исключено, что Allocricetus находится в едином филуме с Allocricetusulus. Намного перспективнее в плане прямой филогенетической связи с Cricetus выглядят представители рода Kowalskia, тем более что на уровне конечной фазы древнего и в начале среднего плиоцена, т.е. времени, когда впервые фиксируется появление более-менее достоверных Cricetus, в пределах Центральной Европы и юга Восточной Европы существовали крупные Cricetini, близкие к Kowalskia, с достаточно сложными  $M_2$ . Эта группа проблематичных Kowalskia может оказаться предками форм, наиболее приближающихся к настоящим Cricetus, – C. angustidens Hugueney et Mein и C. barrierei Mein из древнего и среднего плиоцена Франции, хотя родовая принадлежность последних требует ревизии. Прямое родство последних с Kowalskia ярко проявляется в трехчленном разделении антероконида на  $M_1$ , по крайней мере, у C. barrierei, в двойной связи элементов антероконида соответственно с метаконидом и протоконидом с образованием поперечного гребня, соединяющего последние, что не свойственно Cricetus, но наблюдается у крупных Kowalskia, в частности у K. magna. В сущности, отнесение этих видов к роду Cricetus, по всей вероятности, предопределено при их первоописании только крупными размерами зубов в сочетании с отсутствием мезолофа на  $M^1 - M^2$  и мезолофида на  $M_1$ , хотя следы последнего четко проявляются на  $M_2$  и 188

$M_3$ , что, как было показано, наблюдается и у Cricetus (см. рис. 46). Вместе с тем по степени редукции внутренней ветви антеролофа на  $M^2 - M^3$  оба вида заметно превосходят древнейших из известных в настоящее время достоверных Cricetus. Во всяком случае, отсутствие каких-либо следов внутренней ветви переднего воротничка на  $M^3$ , свойственное в равной мере C. angustidens и C. barrierei, проявляется только у части морфотипов настоящих Cricetus в завершающую фазу эолейстоцена, а столь укороченный интероантеролоф  $M^2$  вообще наблюдается только у позднеплейстоценовых и современных C. cricetus. В этом плане отмеченные признаки полностью выпадают из общей тенденции развития постоянных коренных Cricetus, хотя, возможно, и свидетельствуют о наличии в конце древнего и начале среднего плиоцена группировки низших хомячих даже в ранге самостоятельного рода, переходной между Kowalskia и Cricetus.

По одонтологическому типу не лишена перспектив точка зрения о прямой филогенетической связи Cricetus с Pseudocricetus. Это тем более привлекательно, поскольку оба рода имеют полную аналогию и в строении массетерной пластинки черепа. Однако, как показано ранее, по типу строения восходящей ветви нижнечелюстной кости между сравниваемыми родами мало общего. Следовательно, если принять эту гипотезу, то неминуемо придется предусмотреть наличие ряда промежуточных звеньев, заполняющих глубокий разрыв в этих признаках. Между тем подобные переходные формы отсутствуют в палеонтологической документации, что с учетом достаточно высокого уровня информативной основы по этой группе грызунов вообще ставит под сомнение их реальное существование. В то же время не исключена прямая филогенетическая связь Pseudocricetus и Allocricetus, поскольку у некоторых мелких по размерам видов последних – A. bursae восходящая ветвь нижнечелюстной кости сохраняет некоторые черты, свойственные Pseudocricetus (рис. 82).

Состав рода. Видовой состав рода в настоящее время требует существенной ревизии. Если в современности и, по-видимому, в позднем плиоцене он представлен единственным видом C. cricetus, то включение в состав последнего вымерших эо-, древне- и среднеплейстоценовых форм, до недавнего времени описанных в качестве подвидов, требует дополнительных доказательств [71, 73, 86]. Проблема усложняется и наличием западноевропейских преимущественно древнеплиоценовых видов – C. angustidens и C. barrierei, включение которых в

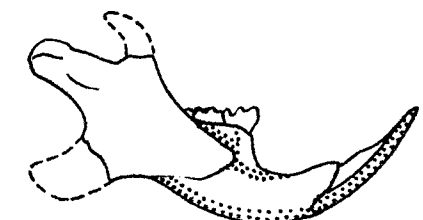


Рис. 82. Allocricetus bursae Schaub, строение нижней челюсти, Villany, Kalkberg (по Шаубу, 1930)

состав рода *Cricetus* требует дополнительных подтверждений на более информативном материале. Что же касается древнемиоценовых и древнеплиоценовых форм, ранее определяемых как *C. kormosi*, то необходимость их выделения из состава рода *Cricetus* в самостоятельную родовую группировку *Pseudocricetus* показана нами ранее.

Не меньшие сложности возникают и в видовой систематике зо-, древне- и среднеплейстоценовых достоверных *Cricetus*, описанных ранее в качестве аллохронных популяций — подвидов *C. cricetus*. Это усугубляется и чисто номенклатурными трудностями, поскольку определенные затруднения возникают и при синонимизации правомочных названий, введенных в номенклатуру в конце прошлого и начале нашего столетия для некоторых вымерших древнеплейстоценовых подвидов европейских *C. cricetus*, которые с изменением статуса, несомненно, должны сохраниться в качестве видовых [82, 93].

Как известно, основы внутривидовой систематики, а следовательно, и номенклатурные предпосылки для вымерших настоящих *Cricetus*, были заложены С.Шаубом [86], убедительно показавшим наличие в эзоплейстоцене и древнем шлейстоцене Центральной Европы, преимущественно Венгрии и смежных районов Румынии и Чехо-Словакии, по крайней мере трех аллохронных популяций *Cricetus*, четко различающихся размерными показателями. При этом была вскрыта общая тенденция к увеличению размеров от геологически более древних — эзоплейстоценовых к более поздним — шлейстоценовым формам. Этим популяциям названный выше автор придал ранг подвидов *Cricetus cricetus* — *C. c. nannus* Schaub, *C. c. praeglacialis* Schaub и *C. c. major* Woldrich. Эта схема впоследствии была блестяще подтверждена М.Кретцом [71]. Таким образом, определив эзоплейстоценовых и древнейших шлейстоценовых *Cricetus* в качестве вымерших новых подвидов рецентного вида, С.Шауб сохранил название, предложенное ранее [93] для наиболее крупных хомяков конечной фазы древнего шлейстоцена, справедливо считая *C. c. runtonensis* Newton, 1909 младшим синонимом этой формы. Однако впоследствии было показано, что *C. c. major* отличается от современных *C. cricetus*, помимо размерных показателей, целым рядом признаков в строении постоянных коренных, что побудило рассматривать его в качестве самостоятельного вида [67]. Вместе с тем осталось неясным, что побудило упомянутого выше автора вернуться к названию *C. runtonensis*. В сущности, под этим названием крупные *Cricetus* из древнеплиоценовых фаун, в составе которых уже обычна *Argicola*, чаще всего и приводятся во всей последующей специальной литературе [56, 68, 69, 73, 75, 76]. Лишь десятилетие спустя с привлечением большой серии остатков из отложений сходного геологического возраста из местонахождения Петерсбух-1 удалось достаточно убедительно показать тождество типового материала из местонахождения Vyrupstek в Моравии с таковыми из западного Рантона в Англии, что позво-  
190

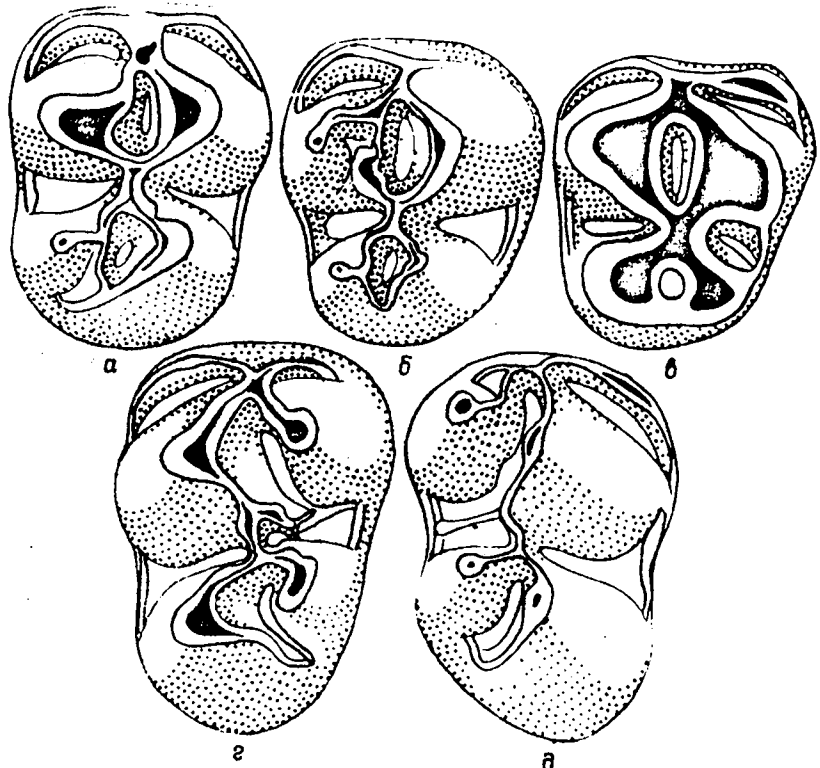


Рис. 83. *Cricetus praeglacialis* Schaub,  $M^3$  (а-е) и  $M_1$  (з-д), завершающая фаза позднего эзоплейстоцена, Черевичное, верхний слой, жевательная поверхность

лило опять вернуться к старшему названию *C. major* Woldr. [57]. Однако в самых последних публикациях по древнеплейстоценовым *Cricetus* Польши имеет место возврат к названию *C. runtonensis* без достаточной мотивировки, почему это сделано [84]. По всей вероятности, названный выше автор считает описанную популяцию не вполне тождественной таковой из Петерсбух-1, поскольку последняя значительно превосходит польскую по размерам при сохранении определенной общности в строении постоянных коренных. В этом случае, по-видимому, правильно было бы применять новое название по отношению к древнеплейстоценовым польским *Cricetus*, а не возвращаться к младшему синониму *C. major* без доказательств о том, что упомянутые *C. major* и *C. runtonensis* представляют собой разные виды, поскольку последнее входит в противоречие с выводами В.Фальбуша. Следовательно, до полной ревизии в сложившейся номенклатурной ситуации, вероятно, следовало бы сохранить видовое название *C. major*.

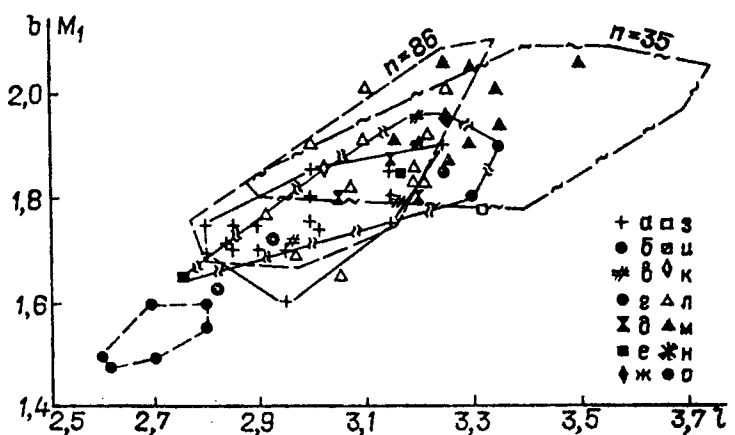
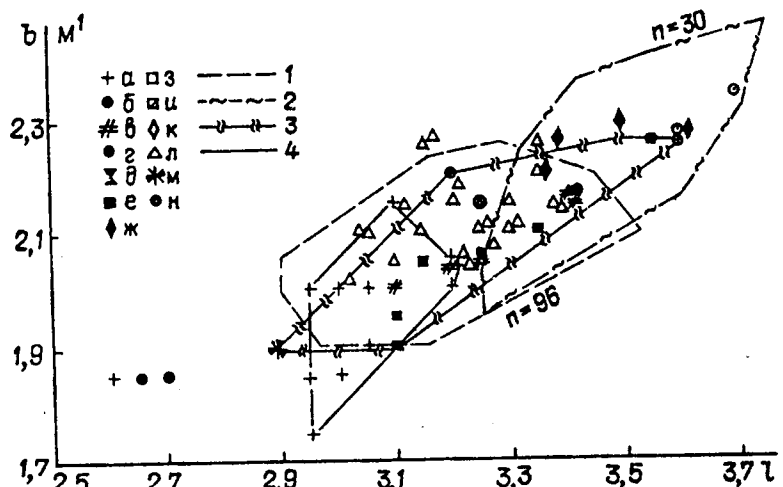
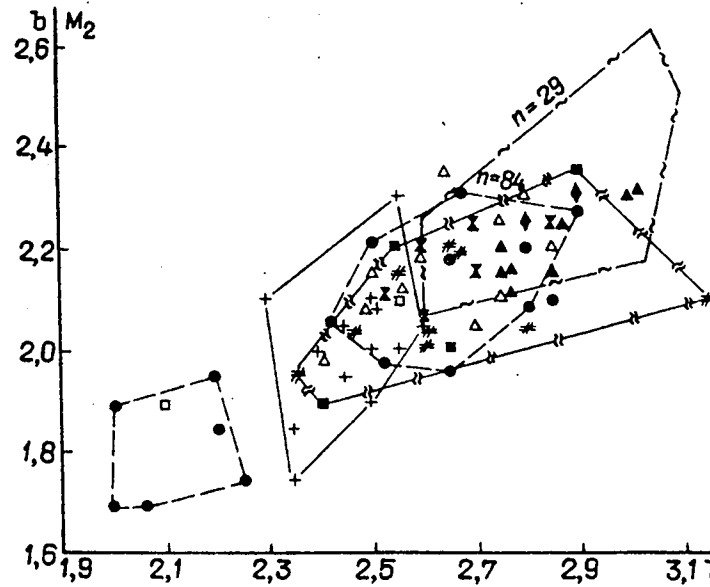
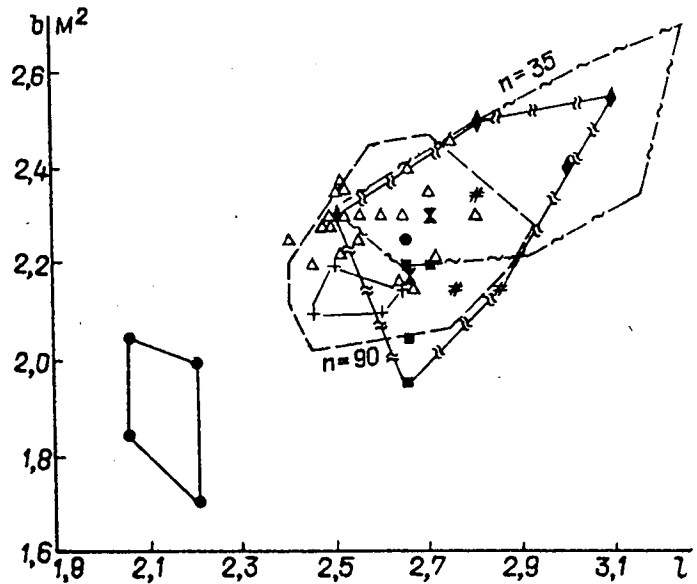


Рис. 84. Отношение длины ( $l$ ) к ширине ( $b$ ) верхних и нижних постоянных коренных Cricetus:

1 – *C.cricetus*, Польша ( $n = 96$  – *C.c.cricetus* по Pradel); 2 – *C.runtonensis*, Польша; 3 – *C.praeglacialis*, юг Украины; 4 – *C.praeglacialis*, Черевичное, верхний слой;  $M^1$ – $M^3$  – *Cricetus praeglacialis* Schaub, Черевичное (а), верхний слой; *C.nannus* Schaus, Ногайск (б); *C.praeglacialis*, Карайкубина (в); Морозовка (г); Тихоновка (д), Большевик 2 (е); Гуньки, Демидовка (ж); Лузановка (з); Красноселки (и); Семибалка (к); *Cricetus cricetus* (л), современный, Киевская обл.; Протопоповка 2 (м); Тихоновка 2, Протопоповка (н);  $M_1$  –  $M_3$  – *C.praeglacialis* Schaub, Черевичное (а), верхний слой; *C. nannus* Schaus, Ногайск (б); *C. praeglacialis*, Карайкубина (в); Морозовка (г); Тихоновка (д); Большевик 2 (е); Гуньки, Демидовка (ж); Лузановка (з); Красноселка (и); Семибалка (к); *Cricetus cricetus* (л), современный, Киевская обл.; *C. cricetus* (м), поздний плейстоцен, средний Днепр; Протопоповка (н); Тихоновка 2, Протопоповка 1 (о)



Однако, как бы то ни было, для древнейшего западноевропейских *Cricetus* этой группы свойственно преобладание морфотипов с сильно выраженной степенью складчатости – гофрированностью эмали жевательной поверхности на  $M^3$  и  $M_3$ , что четко отличает их как от рецент-

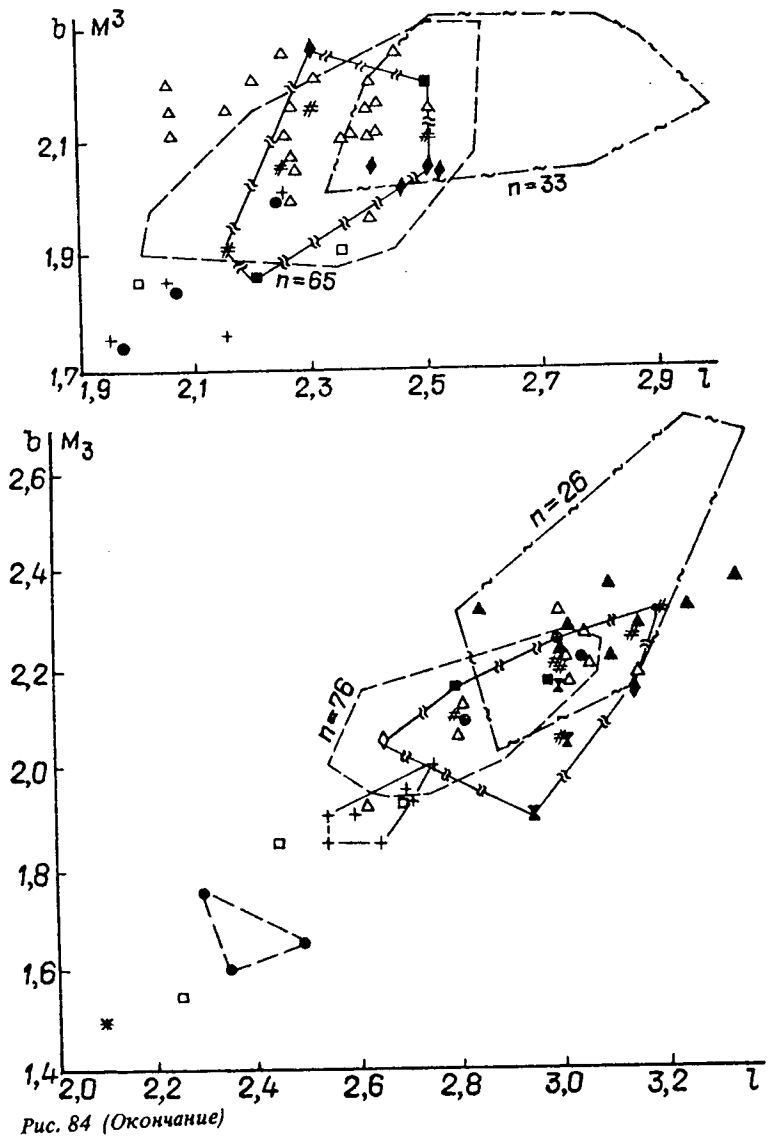


Рис. 84 (Окончание)

ных подвидов *C. cricetus*, так и от зоплейстоценовых венгерских и восточных европейских форм *Cricetus*, а также от древнеплейстоценовых хомяков этого рода Центральных и Южных районов Украины и северо-востока Приазовья Российской Федерации (рис. 83). Кроме того, хомяки группы *C. major* по абсолютным размерам заметно превосходят

перечисленные формы, что проявляется в равной мере в альвеолярной длине рядов постоянных коренных и во всех без исключения одонтологических показателях (рис. 84). Во всяком случае, при наличии некоторой трансгрессии размеров отдельно взятых постоянных коренных этот признак значительно превосходит таковой у наиболее отличающихся по размерным показателям современных подвидов *C. cricetus*. Кроме того, от современных *C. cricetus* древнеплейстоценовых *C. major* отличает также преобладание морфотипов с сильно сдвинутой лингвально наружной стенкой паракона на  $M^1$  по отношению к таковой экстероантеролофа (рис. 85, б), а от зоплейстоценовых и древнеплейстоценовых форм, встречающихся в доарви-кольдных фаунах юга Украины, — слабее развитая внутренняя ветвь антеролофа  $M^2$ , как правило, приобретающая вальковатую форму и более короткая, чем наружная (рис. 85, а, в). Однако у более древних популяций вида внутренняя ветвь антеролофа  $M^2$  может сохранять у части морфотипов гребневидное строение и довольно значительную протяженность, свойственную зоплейстоценовым *Cricetus*. Примером может служить популяция древнеплейстоценовых *C. major* из доарвикольдных микротериофаун Польши. У современных *C. cricetus* этот элемент  $M^2$  подвержен наибольшей редукции: может вообще отсутствовать, быть представлен в виде слабо развитого валика либо сохраняться как хорошо выраженный валик, но с редуцированными лабиальными и лингвальными краями. Всегда короче наружной ветви антеролофа.

Таким образом, если видовой статус древнеплейстоценовых *Cricetus* Центральной и Западной Европы в настоящее время в целом определился, то этого нельзя сказать об зоплейстоценовых хомячках этого рода зоплейстоцена и переходной к древнейшему плеистоцену зоны в области Паннонской низменности и юга Украины, где эволюция этой группы, по всей вероятности, протекала по единой схеме. Именно здесь встречаются формы с негофрированной или слабо гофрированной ямалью на  $M^3$ , которые в своих поздних представителях могли, по-видимому, существовать с древнеплейстоценовыми *C. major*, переходя в

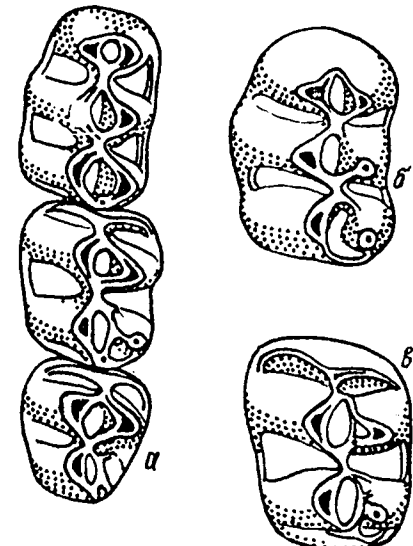


Рис. 85. *Cricetus major* Woldrich,  $M^1 - M^3$ , древний плеистоцен, Петербух-1 (по Фальбушу, 1976)

Восточной Европе даже в состав ранних арвикилидных микротериофаун (Гуньки). Приоритетными в аспекте решения этого вопроса должны быть исследования массового материала из эоплейстоцена и древнейшего плейстоцена Венгрии, которые не подвергались переизучению с 30-х и 40-х годов нашего столетия, т.е. фактически со времени С.Шауба и М.Кретцоя. Вместе с тем насколько свидетельствуют материалы из Причерноморья и Приазовья Украины, из этой группы уже даже по размерным показателям полностью выпадают мелкие *C.s.pappus* тарханкутской и ногайской ассоциаций таманской микротериофауны древней фазы позднего эоплейстоцена. Это проявляется как по одонтометрическим показателям, так и в альвеолярной длине нижнего ряда постоянных коренных (рис. 84). Последнее полностью совпадает с тем, что происходит на том же стратиграфическом уровне с популяцией мелких *Cricetus* в Венгрии (Püspökkürdo; [71]), где двухвершинность кривой, характеризующей изменчивость альвеолярной длины ряда  $M_1 - M_3$ , по всей вероятности, свидетельствует о смешении выборки – наличии двух форм – доминирующей более мелкой и более крупной (*C.s.raeaglacialis*), свойственной обычно для более позднего временного интервала (рис. 84). Это впоследствии отмечается М.Кретцом [73] и всюду наблюдается в переходной зоне между эоплейстоценом и древнейшим плейстоценом Причерноморья Украины. К сожалению, венгерские материалы остаются необработанными одонтометрически. Между тем наиболее мелкие *Cricetus* из эоплейстоцена Причерноморья и Приазовья Украины по одонтологическим показателям стоят особняком по отношению к более крупным хомякам этого рода конечной фазы позднего эоплейстоцена и всего древнего плейстоцена. В сущности, трансгрессия по основным одонтометрическим показателям наблюдается только для  $M^3$ , что, скорее всего, свидетельствует о большей относительной длине этого зуба у мелкой формы. Если учесть этот признак и тот факт, что различия в размерных показателях многократно превосходят таковые между двумя наиболее отдаленными подвидами современных *C. cricetus*, то вполне вероятно, что *C. pappus* следует также рассматривать в качестве самостоятельного вида.

На видовую самостоятельность, очевидно, может претендовать и более крупная форма, описанная ранее как *C.s. raeaglacialis* [86]. К ней могут быть отнесены *Cricetus*, существовавшие в юго-западной части Восточной Европы в отрезке времени конечная фаза позднего эоплейстоцена – завершающий этап древнего плейстоцена включительно. Примерно к тому же временному интервалу приурочена эта группа и в Венгрии (Püspökkürdo, Nagyharsanyhegy 4, Villany 6, 8), причем в конечной фазе позднего эоплейстоцена (Püspökkürdo) она, видимо, только начально проявляется при полном доминировании *C. pappus*. Любопытно, что в отличие от Венгрии на этом стратиграфическом уровне в пределах Западного Причерноморья Украины оба вида также найдены

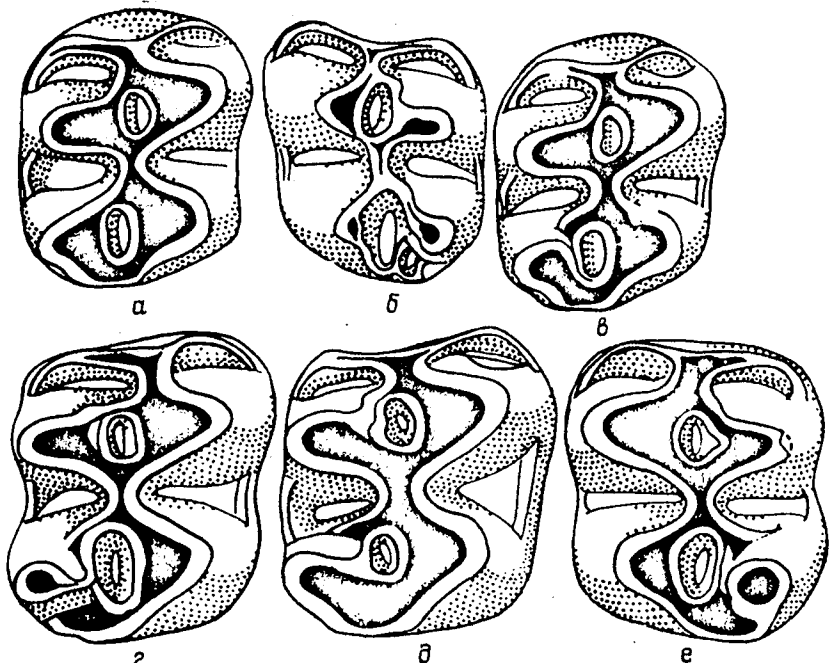


Рис. 86.  $M^3$  *Cricetus pappus* (a–c), поздний эоплейстоцен, позднетаманско в ремя, Ногайск; *C. raeaglacialis* (d–f), завершающая фаза позднего эоплейстоцена, Черевичное, верхний слой, жевательная поверхность

вместе, но при подавляющем доминировании формы, близкой к *C. raeaglacialis* (Черевичное, верхний слой). К сожалению, сопоставление венгерских и восточноевропейских материалов по этой группе возможно лишь на основании размерных показателей альвеолярной длины нижнего зубного ряда, поскольку изолированные постоянные коренные, как и в случае с *C. pappus*, остались одонтометрически необработанными. Поэтому по материалам из юго-западной части Восточной Европы можно отметить такие особенности:

- размерное сходство с современными *C. cricetus* как по альвеолярной длине  $M_1 - M_3$ , так и по одонтометрическим показателям отдельных постоянных коренных (рис. 84). *C. pappus* имели значительно более мелкие, а *C. major* – более крупные размеры;

- структурное сходство с современными *C. cricetus* по степени сложности  $M^3$  и  $M_3$ : преимущественно слабо гофрированная эмаль, реже негофрированная (рис. 83). Негофрированная – у *C. pappus* и сильно гофрированная у *C. major*;

- структурное сходство с *C. pappus* в строении внутренней ветви

антеролофа  $M^2$ : гребенчатая, по протяженности чаще всего не короче наружной ветви (рис. 86). Вальковатая, короче наружной ветви, либо вообще отсутствует у *C. cricetus*. У *C. major* проявляются оба типа строения, хотя доминируют морфотипы с гребенчатой структурой этого элемента зуба;

— относительно короткий  $M_3$ . У *C. nappus* он относительно длинный.

Форма, по всей вероятности, неоднородная в своих аллохронных популяциях. Во всяком случае, хомяки этой группы, обитавшие в завершающую фазу позднего эоплейстоцена юго-запада Восточной Европы, отличаются от таковых из доарвикольных сообществ мелких млекопитающих древнего плейстоцена — популяции, по-видимому, наиболее близкой к венгерской номинативной. Кроме того, по более крупным размерным показателям несколько вышает наиболее поздняя популяция из арвикольных фаун конечной фазы древнего плейстоцена. Все это, вероятнее всего, фиксирует видовой статус *C. praeglacialis*. Из всех известных в настоящее время видов рода последний представляется нам наиболее перспективным с точки зрения рассмотрения его в качестве возможного предка *C. cricetus*.

Таким образом, род в настоящее время может быть представлен так:

*Cricetus cricetus* L., 1958; поздний плейстоцен — современность; преимущественно лесостепь и степь, частично южная полоса лесной зоны, редко — по интразональным участкам в зоне сухих степей и пустынь Евразии: на западе — от Центральной и южной Европы и до Минусинских степей на востоке, Малая Азия, Северо-Западный Китай;

*C. major* Woldrich, 1880; вторая половина древнего плейстоцена Германии, Польши, Чехо-Словакии и Британских островов; вероятно, в пределах ареала представлен двумя аллохронными популяциями, четко различающимися размерами: более крупной и молодой типовой из конечной фазы древнего плейстоцена — арвиколидные микротериофауны юга Германии, Чехо-Словакии и Англии и более мелкой более древней, требующей описания, — доарвикольные сообщества мелких млекопитающих Польши;

*C. praeglacialis* Schaub, 1930; завершающая фаза позднего эоплейстоцена — древний плейстоцен Венгрии и юго-запада Восточной Европы. В пределах Среднего Приднепровья, Причерноморья и Приазовья Украины и Ростовской обл. представлен тремя аллохронными популяциями, описание которых будет приведено ниже. Однако фиксация их названий в номенклатуре в настоящее время не представляется возможной из-за отсутствия подробной оdontологической характеристики типовой популяции из Венгрии, хотя как наиболее близкая к ней, очевидно, должна рассматриваться древнеплейстоценовая популяция из древнейших плейстоценовых доарвикольных микротериофаун юга Восточной Европы;

*C. nappus* Schaub, 1930; поздний эоплейстоцен, кроме завершающей его фазы, Венгрии, юго-запада Восточной Европы и Крыма.

В составе рода в настоящее время приходится оставлять и проблематичных *Cricetus* из возможных аналогов верхнего конца южной Франции — *C. angustidens* Dereret, 1880 и *C. bargierei* Mein et Michaux, 1970 из периньянских полономисных сообществ мелких млекопитающих.

Геологическое и географическое распространение. Вторая половина древнего плейстоцена (?) — современность Западной Европы, хотя достоверные находки представителей этого рода известны здесь, начиная со второй половины эоплейстоцена — *C. nappus*; вторая половина эоплейстоцена — современность юга и центра Восточной Европы; современность Приуралья, юга Западной Сибири, Казахстана, Малой Азии и Северо-Западного Китая.

#### *C. nappus* Schaub, 1930

Материал. Обломок верхнечелюстной кости с  $M^1 - M^3 - 1$ , а также с  $M^2 - 1$ , обломок горизонтальной ветви нижнечелюстной кости с частично сохранившейся восходящей ветвью и  $M_2 - M_3 - 1$ , то же без постоянных коренных — 1, горизонтальные ветви нижнечелюстной кости с  $M_1 - 1$ , с  $M_2 - M_3 - 2$  экз.; изолированные постоянные коренные:  $M^1 - 1$ ,  $M^2 - 2$ ,  $M^3 - 1$ ,  $M_1 - 5$ ,  $M_2 - 3$  экз. Весь материал происходит из Ногайска (одна из развитых фаз позднеэоплейстоценовой микротериофауны). Кроме того, изолированные постоянные коренные:  $M_3 - 1$  экз. из Тарханкута (по стратиграфическому положению близка к предыдущей);  $M^1$  из верхнего слоя Черевичного (завершающая фаза позднего эоплейстоцена);  $M_2 - 1$ ,  $M_3 - 2$  экз. из Лузановки (древнейшая фаза раннего плейстоцена). Весь перечисленный материал хранится в коллекциях отдела палеозоологии и палеонтологического музея ИЗАН Украины.

Описание. Наиболее мелкий из известных в настоящее время представителей рода *Cricetus*: альвеолярная длина  $M_1 - M_3$  обычно меньше 7,0 мм. Указанный признак в полной мере проявляется и по одонтометрическим показателям (рис. 84). Эмаль  $M_3$  простого строения, не гофрирована.  $M^3$ , по всей вероятности, относительно крупный. Внутренняя ветвь антеролофа на  $M^2$  гребенчатая, по протяженности превосходит наружную. Представлена также на  $M^3$ . По-видимому, всегда отсутствует задний гребень метаконида — скошенный мезолофид на  $M_2$  (рис. 87). На  $M_3$  также доминируют морфотипы без подобных образований.

Сравнение. От других видов рода четко отличается меньшими абсолютными размерами, наиболее простой структурой эмали на  $M_3$  и относительно длинным  $M^3$  (см. рис. 84). От венгерских *C. nappus*.

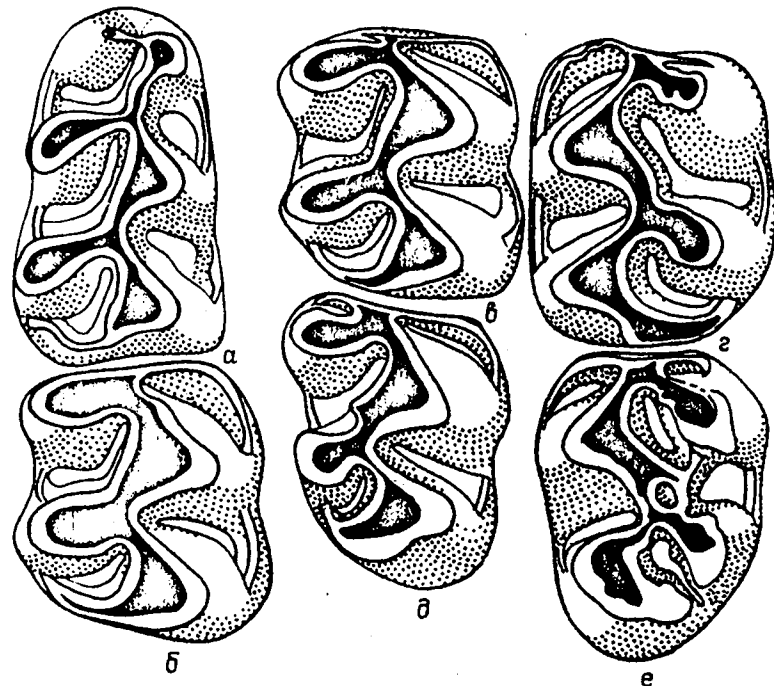


Рис. 87. *Cricetus pannus* Schaub,  $M_1 - M_3$ , поздний эоплейстоцен, позднетаманское время, Ногайск, жевательная поверхность:  
а -  $M_1$ ; б - г -  $M_2$ ; д, е -  $M_3$ .

возможно, отличается более суженным антероконом  $M^1$ , что в свое время послужило основанием к выделению восточноевропейских представителей этого вида в подвид *C. p.palaeosavicus* Торачевски [29].

**Геологическое и географическое распространение.** Поздний эоплейстоцен и низы древнего плейстоцена Венгрии и юго-запада Украины. Представлен в составе тарханкутской лагуродонтно-аллофайомисно-цителлоидной ассоциации позднетаманской микротериофауны при подавляющем доминировании *Allocricetus ehjiki*, однако преобладает по сравнению с последним в составе последующей во времени пролагурусно-мимомисно-цителлоидной ассоциации той же фауны. Начиная с завершающей фазы позднего эоплейстоцена — верхнечеревичанская лагуродонтно-мимомисно-цитимисная ассоциация и в древнейшем плейстоцене — лузановская переходная пролагурусная ассоциация резко сокращают численность, уступая более крупной форме — *C. praeglacialis*.

**Материал.** 1. Фрагменты горизонтальной ветви нижнечелюстной кости с  $M_1 - 1$ , с  $M_2 - M_3 - 1$ , с  $M_2 - 3$ , без постоянных коренных — 2 экз.; изолированные постоянные коренные:  $M^1 - 10$ ,  $M^2 - 4$ ,  $M^3 - 3$ ,  $M_1 - 15$ ,  $M_2 - 10$ ,  $M_3 - 7$  экз. Черевичное, верхний слой; завершающая фаза позднего эоплейстоцена. Конечная стадия развития позднетаманского варианта таманского фаунистического комплекса мелких млекопитающих.

2. Изолированные постоянные коренные:  $M^3 - 1$ ,  $M_1 - 1$ ,  $M_2 - 2$ ,  $M_3 - 2$  экз. Лузановская переходная пролагурусная ассоциация тираспольского фаунистического комплекса.

3. Фрагменты горизонтальной ветви нижнечелюстной кости: с  $M_1 - M_3 - 1$ , с  $M_2 - 1$ , без постоянных коренных — 2 экз.; изолированные постоянные коренные:  $M^1 - 7$ ,  $M^2 - 8$ ,  $M^3 - 4$ ,  $M_1 - 5$ ,  $M_2 - 5$ ,  $M_3 - 7$  экз.; карайдубинская переходная пролагурусно-питимисная ассоциация тираспольского фаунистического комплекса.

4. Изолированные постоянные коренные и фрагменты верхнечелюстной и горизонтальной ветви нижнечелюстной костей из серии местонахождений, характеризующих среднюю доарвикольную и начальный этап развития арвикольных микротериофаун древнего плейстоцена: Тихоновка 1, 2; Семибалка 1, 2; Большевик 2 (I—III сверху слои); Протопоповка 1, 2; Алтестово, Красноселка, Морозовка, Озерное — обломки верхнечелюстной кости с  $M^1 - M^2 - 2$  экз.; нижнечелюстная кость с  $M_1 - M_3 - 1$  экз.; фрагменты горизонтальной ветви нижнечелюстной кости с  $M_1 - M_2 - 1$ , с  $M_2 - M_3 - 1$ , с  $M_3 - 2$  экз.; изолированные постоянные коренные:  $M^1 - 15$ ,  $M^2 - 6$ ,  $M^3 - 4$ ,  $M_1 - 11$ ,  $M_2 - 13$ ,  $M_3 - 4$  экз.

5. Изолированные постоянные коренные из арвикольных микротериофаун завершающей фазы древнего плейстоцена — местонахождения Гуньки, Демидовка:  $M^1 - 1$ ,  $M^2 - 4$ ,  $M^3 - 5$ ,  $M_1 - 1$ ,  $M_2 - 2$ ,  $M_3 - 1$  экз.

Весь материал хранится в коллекциях отдела палеозоологии позвоночных и палеонтологическом музее ИЗАН Украины.

**Описание.** По абсолютным размерам близок к recentному виду, хотя, возможно, в среднем несколько крупнее: альвеолярная длина нижнего ряда постоянных коренных в минимальных значениях более 7,0 мм, в средних — более 8,0, но менее 9,0 (см. рис. 84). То же можно сказать и об одонтометрических показателях (рис. 84). Эмаль  $M_3^3$  слабо гофрирована (см. рис. 83).  $M^3$ , наверное, относительно короткий. Внутренняя ветвь антеролофа  $M^2$  преимущественно гребенчатая, относительно длинная — по протяженности, как правило, превосходит наружную. Среди  $M^3$  доминируют морфотипы также с сильнее развитой внутренней ветвью антеролофа, чем у современных *C. c.citetus*

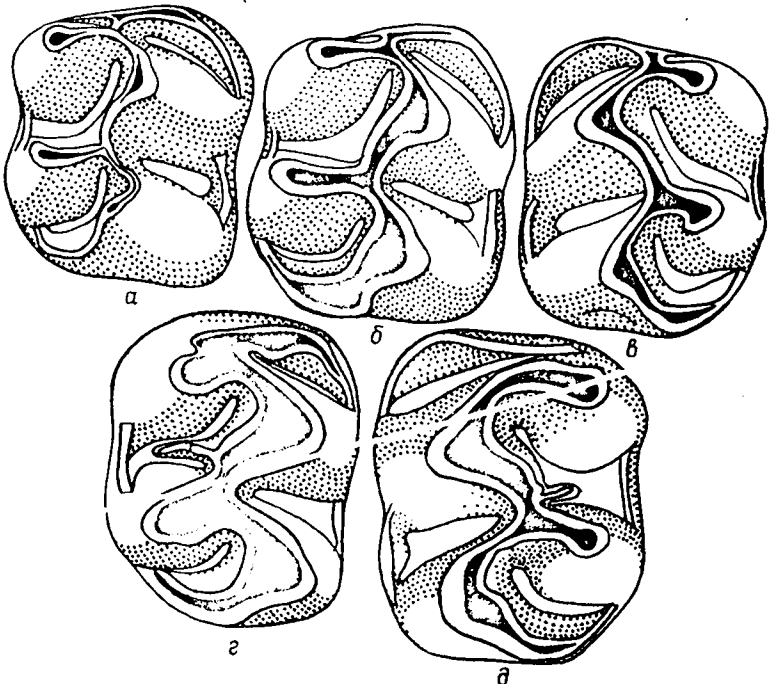


Рис. 88. *Cricetus praeglacialis* Schaub,  $M_2$ , жевательная поверхность:  
а–в – завершающая фаза позднего зоплайстоцена, Черевичное, верхний слой; г – древний плейстоцен, Тихоновка; д – Озерное

(рис. 83). Задний гребень метаконида  $M_2$  (скошенный вперед мезолофи) проявляется в очень редких случаях, поэтому передняя марка, как правило, отсутствует (рис. 88). Указанный признак, видимо, чаще проявляется у древнеплейстоценовых форм этого вида, хотя у переходных популяций – лузановской и карайдубинской, как и у более древней черевичанской *C. nappus*, вероятно, еще отсутствует. В исключительных случаях наблюдаются следы мезолофида, не трансформированного в задний гребень метаконида. На  $M_3$  мезолофид всегда выражен: обычно половинной или четвертной длины. У позднезоюлайстоценовой популяции очень редко трансформируется в задний гребень метаконида с образованием по мере стирания зуба передней марки. Однако уже у древнеплейстоценовых форм у половины и более экземпляров подобная трансформация, как и у современных *C. cricetus*, имеет место (рис. 88). По всей вероятности, этот признак ведет себя подобным образом и у номинативной венгерской популяции этого вида. Иногда наблюдается раздвоение конца мезолофида с образованием более крупной передней и меньших размеров задней марки. Лабиальный край паракона на  $M^1$  не сдвинут лингвально по отношению к таковому экстераантерокона.

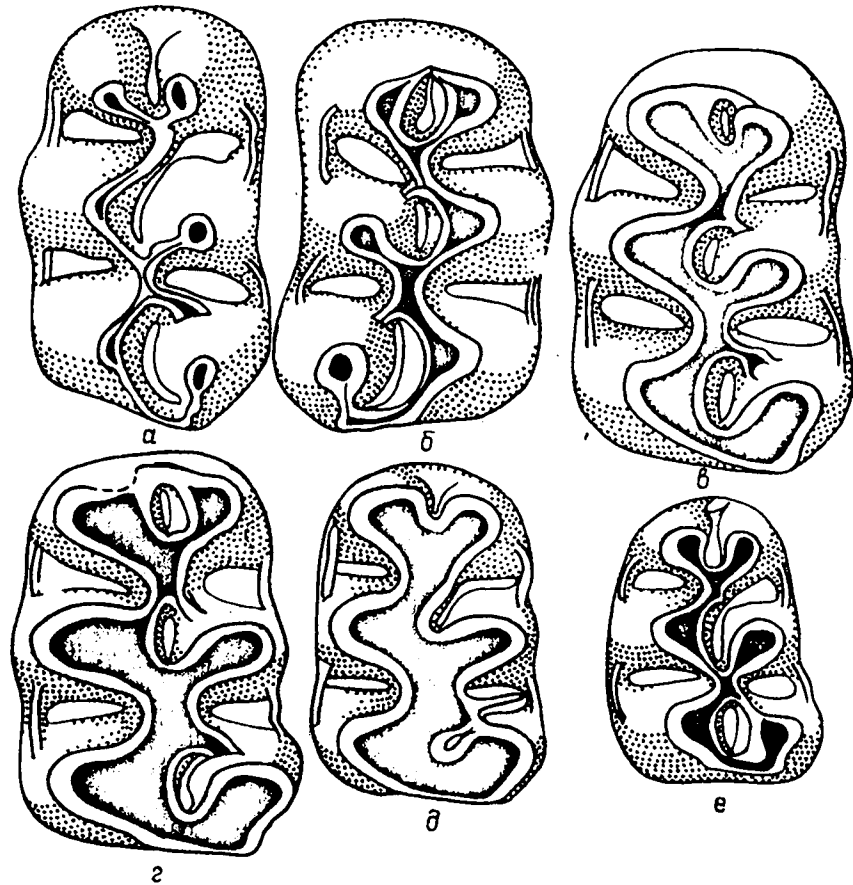


Рис. 89. *Cricetus praeglacialis* Schaub,  $M^1$ , жевательная поверхность:  
а–д – завершающая фаза позднего зоплайстоцена, Черевичное, верхний слой; е – древний плейстоцен, Озерное

тероантерокона (рис. 89). По перечисленным признакам в строении  $M_3$  и  $M^1$ , а также по степени гофрировки эмали на  $M^3$  проявляет почти полное сходство с рецентным *C. cricetus*.

**Сравнение.** От прочих видов рода отличается:

- от *C. nappus* – более крупными размерами, относительно более коротким  $M^3$  и большей степенью гофрировки эмали на  $M^3$ ;
- от *C. taigor* – меньшими абсолютными размерами, слабее развитой гофрировкой  $M^3$  и менее смещенным лингвально наружным краем паракона по отношению к таковому экстераантерокона;
- от рецентных *C. cricetus* – менее выраженной редукцией внут-

ренией ветви антеролофа на  $M^2$  и частично на  $M^3$ . Кроме того, у *C. prae-*  
*glacialis* в значительно меньшей повторности проявляются морфотипы  
 $M_2$  с мезолофидом, трансформированным в задний гребень метаконида  
с последующим сбразованием передней марки.

Сравнение с более древними видами, отнесение которых к роду  
*Cricetus* проблематично — *C. angustidens* и близкому к нему *C. barrie-*  
*rei*, насколько позволяет крайне фрагментарный материал по назван-  
ным формам, проведено ранее.

**З а м е ч а н и я.** По одонтологическим показателям наиболее  
близок к *C. cuniculus*, что позволяет с известной долей вероятности  
рассматривать вид в качестве возможного предка последнего. Если к  
тому же учесть, что *C. major*, распространенный в Центральной Европе,  
кроме Паннонской низменности, в завершающей фазе древнего плей-  
стоцена, представляет собой, несомненно, вымершую слепую ветвь  
рода, то появление современных *C. cuniculus* в северо-западных частях  
ареала стало, очевидно, результатом последующего расселения вида в  
позднем плейстоцене. Требует проверки систематическое положе-  
ние позднеплейстоценовых *Cricetus* Польши, Чехо-Словакии и Гер-  
мании, относимых безоговорочно к *C. cuniculus*, поскольку в этой зоне в  
указанное время проявляются признаки, свойственные скорее *C. major*,  
чем современному виду, во всяком случае, не проявляющиеся у совре-  
менного подвида, обитающего здесь в настоящее время.

Прямая филогенетическая связь *C. prae-**glacialis* с более древним  
*C. lappus* проблематична, поскольку в ряде местонахождений конечной  
фазы эоплейстоцена и древнейшего плейстоцена остатки обоих видов  
встречаются в совместном захоронении.

**В и у т р и в и д о в а я из м ен ч и в о с т ь.** В пределах юга Украины  
представлен, по крайней мере, тремя аллохронными популяциями.

1. Черниговская, входившая в состав завершающего этапа разви-  
тия позднетаманских микротериофаун одноименного комплекса мел-  
ких млекопитающих Западного Причерноморья Украины, — конечная  
фаза эоплейстоцена. Отличается от более поздних популяций более мел-  
кими размерами и относительно коротким  $M_3$  (см. рис. 84).

2. Древнеплейстоценовая из доарвицольных микротериофаун  
юга Восточной Европы. Превышает по размерам и длине  $M_3$  преды-  
дущую. Отмеченные признаки четко проявляются в альвеолярной дли-  
не ряда  $M_1 - M_3$  и по всем одонтометрическим показателям, кроме  $M_1$   
(рис. 84). Возможно, наиболее близка к номинативной из древнего  
плейстоцена Венгрии.

3. Популяция из микротериофаун конечной фазы древнего плейсто-  
цена — арвицольный этап юго-запада Украины. Отличается от предыду-  
щей более крупными размерами. По одонтометрическим показателям  
ложится в основном в зону очень больших значений этого признака у  
предыдущей формы или даже их превосходит, попадая в границы

изменчивости сравнительно мелких польских *C. major*. Не могут быть  
отнесены к этому виду вследствие упрощенной структуры эмали жева-  
тельной поверхности  $M_3$ , хотя по времени существования примерно  
совпадают с наиболее крупной по размерам популяцией этого вида  
из Германии.

**Г е о л о г и ч е с к о е и г е о г r a f i ч e с k o e расп р o s t-**  
**r a n e n i e.** Конечная фаза позднего эоплейстоцена — завершающий  
этап древнего плейстоцена (сингиль) юго-запада Украины.

## СЕМЕЙСТВО LOPHIOMYIDAE THOMAS, 1897

### Род *Microlophiomys* Topachevski et Scorik, 1984

**Т и п о в о й в и д.** *Microlophiomys vorontsovi* Topachevski et Scori-  
k, 1984.

**Д и а г н о з.** Размеры средние, сходные с таковыми *Mesocricetus* и  
крупных *Allocricetus*: длина  $M^1$  — 2,1, ширина — 1,4 мм.  $M^1$  относитель-  
но широкий: отношение ширины к длине — 66,7 %. Средний бугорок  
(мезоантерокон) антерокона сближен с интерантероконом, причем  
слияние этих бугорков если и происходит, то на поздних стадиях стер-  
тости зуба (рис. 90, а, б). По размерам мезоантерокон превосходит  
интеро- и экстераантерокон.

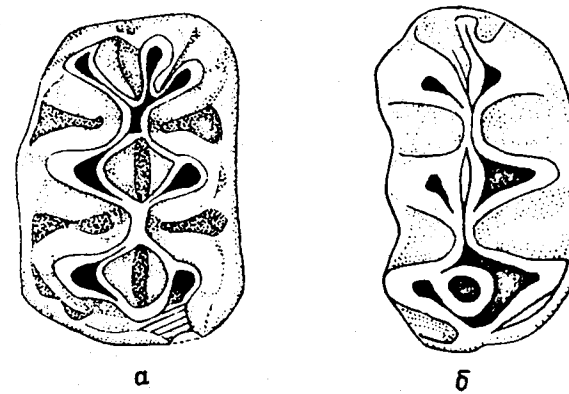


Рис. 90.  $M^1$ , жевательная поверхность:

а — *Microlophiomys vorontsovi* sp. nov., мэотис, Новоукраинка; б — *Lophio-*  
*mys inhausi* Milne — Edwards, современный

**Д о п олн и тель ное описание.** Коронка низкая. Располо-  
жение бугорков супротивное. Лофы отсутствуют. Передняя и задняя  
иннеречные шпоры хорошо развиты, что обуславливает сохранение

мезо- и метафоссет почти на всех стадиях стертости зуба. Эти образования – в форме воронковидных углублений, свойственных Cricetini. Антерофоссет образуется, по-видимому, только на средних стадиях стертости зубов путем соединения передних отделов мезо- и экстероантерокона. В результате того, что антерофоссет образуется за счет упомянутых выше бугорков, а не за счет экстерио- и интериоантерокона, последний оказывается смещенным лабиально по отношению к продольной оси коронки зуба, проходящей через лабиальную стенку мезоантерокона и донные части мезо- и метафоссет. Наружные и внутренние воротничковые образования хорошо развиты, сильнее выражены в основанияхproto- и гипофлексуса, слабее – в основаниях пара- и метафлексуса. Имеются также наружная и внутренняя ветви заднего воротничка. Корни сильно повреждены. Судя по сохранившимся корневым каналам, их не более трех: мощный передний, сильно развитый наружный промежуточный и сложный, проявляющий тенденцию к раздвоению, задний. Размеры: длина – 2,1 мм; ширина – 1,4.

Сравнение. От *Lophiomys* отличается:

– значительно меньшими абсолютными размерами, что и отмечено в названии рода. Учитывая, что по размерам косматый хомяк значительно равен обыкновенному (*Cricetus cricetus* L.), даже несколько превосходит последнего, длина  $M^1$  его должна составлять величины порядка 3,0–3,5 мм;

– расширенной коронкой  $M^1$ : величина отношения ширины к длине – 66,7 % против соответственно 56,5 у *Lophiomys*;

– иными соотношениями в размерах и расположении бугорков в трилистнике антерокона: у *Lophiomys* мезоантерокон значительно меньше экстерио- и интериоантерокона, сближен, а в отдельных случаях соединен основанием с первым, а не с последним, как у *Microtoryomys*;

– вероятно, более сильным развитием базальных образований, лежащих в основании фоссет.

Замечания. Косматые хомяки *Lophomyidae* в настоящее время представляют собой весьма малочисленную группу хомякообразных, известную по единственному роду и виду *Lophiomys inthausi* Milne – Edwards, 1867, эндемичному для Восточно-африканской подобласти Эфиопской зоогеографической области. Их современное распространение ограничено Суданом, Эфиопией, Сомали, Кенией, Угандой и Танзанией [28, 65]. Систематический статус группы окончательно не установлен, хотя большинство специалистов склонно придавать ей ранг трибы или подсемейства в составе семейства Cricetidae либо даже самостоятельного семейства *Lophomyidae* [10, 28, 54, 89]. Рассмотрение ее в составе трибы Cricetini [65, 92] в настоящее время представляется малооправданным [10]. Этому противоречит ряд специфических черт в строении черепа и  $M^1$ , не свойственных прочим Cricetini, да и всем Cricetidae вообще. Так, для представителей этого

подсемейства характерно трехчленное разделение антерокона на  $M^1$  (двухчленное у всех прочих бугорчатозубых хомяковых) в сочетании с сильно развитым базальным воротничком, оконтуривающим сбоку и сзади основание гипокона (отсутствует или слегка намечен у всех прочих Cricetinae). Таким образом,  $M^1$  *Lophomyidae* имеет семь бугорков, в то время как у прочих Cricetinae их шесть. Именно этими особенностями обладает  $M^1$  из верхнемиоценовых отложений Одесского Причерноморья, вскрывающихся вблизи с. Новоукраинка Роздельнянского р-на Одесской обл. (рис. 90).

Геологическое и географическое распространение. Мэотис, видимо, древний, Западного Причерноморья Украины.

*M. vorontsovi Topachevski et Scorik, 1984*

Голотип. Изолированный  $M^1$ ; Западное Причерноморье Украины, с. Новоукраинка Роздельнянского р-на Одесской обл.; мэотис, видимо, древний. Хранится в коллекциях отдела палеозоологии и палеонтологического музея ИЗАН Украины, № 20.

Диагноз и описание, геологическое и географическое распространение те же, что и для рода.

# СООБЩЕСТВА НИЗШИХ ХОМЯКООБРАЗНЫХ (CRICETODONTINAE, CRICETINAE, LOPHOMYIDAE) НЕОГЕНА И ПЛЕЙСТОЦЕНА ВОСТОЧНОЙ ЕВРОПЫ, ИХ БИОСТРАТИГРАФИЧЕСКОЕ ЗНАЧЕНИЕ

К числу древнейших сообществ низших хомякообразных, известных на территории Восточной Европы, относится ассоциация древних Cricetodontinae, приуроченная к чокракским отложениям, вскрывающимся вблизи станицы Беломечетской в Предкавказье. Отсюда определены: *Cricetodon meini* Freud., *C. ex gr. aureus* Mein et Freud., *Deperetomys* sp., *Byzantinia* sp., *Turcomys caucasicus* (Argyr.), *Fahlbuschia* aff. *koenigswaldi* (Freud.), несколько видов *Democricetodon* и *Megacricetodon minor* (Lartet) [11]. Если отрешиться от *Byzantinia*, остатки которой в Восточном Средиземноморье и Западном Причерноморье Украины неизвестны из отложений ниже позднего валлзезия, будучи скорее свойственными для нижне- и среднетуровийских микротериофаун, а также от видовых определений *Democricetodon*, то состав приведенной выше группировки в целом не противоречит ее отнесению к 5-й биозоне Мейна, что примерно соответствует в среднеевропейской биостратиграфической шкале позднему орлеанию, а в ярусной – возможно, лангию [90]. Среди представителей других семейств грызунов определенно несоответствие вносит указание в фаунистическом списке пятиновых тушканчиков. Во всяком случае, представители этого подсемейства семейства Dipodidae в настоящее время достоверно неизвестны древнее низов руссияния, хотя возможны и в позднем туролии Азии и Восточной Европы. Указание на находку представителя рода *Protalactaga* в доваллезийских слоях Северной Африки трудно коррелируется с соответствующими евразиатскими схемами ввиду значительной специфики сообществ этих континентов в отдельные отрезки миоценовой эпохи. Таким образом, микротериофауна Беломечетской представляет собой пока единственный источник информации о состоянии ассоциации низших хомякообразных завершающего этапа древнего миоцена в Восточной Европе, позволяющий в какой-то мере сопоставить чокракский ярус восточноевропейской региональной схемы с лангием, а в континентальных градациях – с завершающей фазой орлеания.

Средний миоцен Восточного Паратетиса, как и нижние отдельы позднего – нижний сармат, до настоящего времени не охарактеризованы микротериологически. Местонахождения, содержащие обильные остатки микротерий на территории юга Восточной Европы, известны, начиная со среднего сармата. Среди них древнейшим следует

считать захоронение вблизи Грицева и Климентовичей Хмельницкой обл. Украины. Остатки мелких млекопитающих здесь приурочены преимущественно к слоям размыва биогермной зоны, лежащим непосредственно под отложениями новомосковского горизонта среднего сармата [17, 18]. В составе этой фаунистической группировки низшие хомякообразные представлены *Cricetulodon* и *Sarmatomys*, причем первый является доминантом по отношению к остальным грызунам, остатки которых представлены в этом местонахождении. Таким образом, эту ассоциацию можно назвать крицетулодонтной. Род *Sarmatomys* представляет собой форму полевкозубых крицетодонтин, сравнительно недавно выделенных в самостоятельную трибу *Microtocricetini* [38], и представлен единичными остатками. В качестве сопутствующих представителей других семейств грызунов следует назвать проблематичных *Spalacidae* подсемейства *Anomalomyinae* и слабо представленных древнейших тушканчиковых *Lophocricetinae*. При этом к уровню субдоминантной группы в какой-то мере приближаются только *Anomalomyinae*. Характерной особенностью этого сообщества следует считать полное отсутствие *Muridae*, а возвращаясь к *Cricetidae*, – каких-либо следов *Cricetodontini*. Как показано ранее, род *Cricetulodon* представлен в Грицеве новым видом *C. complicidens*. Наиболее близок к нему из известных в настоящее время западноевропейских представителей *C. hartenbergeri* из древнего валлзезия Испании (местонахождение *Pedregueras II С* и *II A*). Для обоих видов свойственно сохранение элементов сложности жевательной поверхности постоянных коренных, утраченных частично либо полностью у геологически более поздних *C. sabadellensis*. При этом *C. complicidens* имеет наиболее сложно построенные постоянные коренные, что с учетом общей тенденции в развитии рода свидетельствует о слабой его эволюционной продвинутости. Последнее может иметь двоякий смысл – либо мы имеем дело с наиболее древним представителем рода, либо налицо викарные виды, фиксирующие начальные этапы родовой дифференциации, что не лишено определенных оснований, поскольку в условиях валлзезия Испании *C. hartenbergeri* сопутствует одна из наиболее поздних форм *Democricetodon minor* с широким интервалом биозонального распространения – 6–9-я биозоны Мейна (практически весь астараций). Отсутствует в составе грицевского фаунистического комплекса. Однако грицевское сообщество низших хомякообразных четко укладывается в зону *Cricetulodon* Западного Паратетиса, фиксируя одну из древних фаз древнего валлзезия, поскольку верхи последней датируются уже по *C. sabadellensis* и близким к нему формам. Таким образом, грицевский фаунистический комплекс, видимо, может служить точкой прямой корреляции с *Pedregueras II С* и *II A*. Следовательно, слои среднего сармата Восточной Европы, залегающие непосредственно под новомосковским горизонтом, в средиземноморской ярусной шкале должны соответствовать

примерно уровню нижнего тортона, а в биозональной схеме – низам валлезия. Любопытно, что в зоне *Cricetulodon* Западной Паратетисы сопутствующими элементами микротериофауны, как и в Грицеве, являются поздние *Anomalomyinae*, но представлены *Cricetodontini* – *Hispanomys*. Практически отсутствуют и *Muridae*. Что касается *Lophocricetinae*, то они как явно выраженный элемент азиатской фауны, будучи представленными в составе грицевского сообщества мелкими млекопитающих, также, очевидно, не проникли в зону Центрального и Западного Паратетиса.

В зону *Cricetulodon* Восточной Европы могут попасть первые находки представителей этого рода в Азии – зафиксированы в позднем миоцене Восточного Казахстана, местонахождение Чаган, откуда известна форма, близкая *C. hartenbergeri* и *C. complicidens*. При этом ее остатки, как и в составе грицевской микротериофауны, найдены вместе с таковыми *Microtoscricetini* [38]. Возвращаясь к последним, следует отметить близость мелких казахстанских полевкообразных низших хомякообразных этой трибы к роду *Sarmatomys*, а не к более примитивным *Microtocrictetus* из позднего астарация Баварии – 8-я биозона Мейна [58].

Принципиальные изменения претерпевают ассоциации низших хомякообразных на верхних уровнях среднего сармата. К таковым следует относить грызунов калфинско-бужорской группировки в Молдове, выделенной по млекопитающим в самостоятельный калфинский комплекс [19, 20, 21]. Местонахождения этой группы так или иначе связаны с васильевским горизонтом среднего сармата, залегающим выше новомосковского. Отсюда определены *Hispanomys orientalis* [20], близкая к *H. thaleri* (Hartenberger), и проблематичная *Kowalskia*. Первая составляет одну из фоновых группировок среди грызунов, приуроченных к лесостепным ландшафтам, а вторая является четко выраженным субдоминантом. Вторую субдоминантную группу составляют *Anomalomyinae*. Преобладающей группой становится также *Lophocricetinae*, но количеству остатков приближающиеся к таковому *Cricetodontini*. Впервые появляются *Muridae* – род *Progonomys*. Таким образом, по фону калфинско-бужорское сообщество грызунов является испаномисно-лофокрицетидным. Однако проведение соответствующих корреляций с Западной Европой по этим систематическим группам очень затруднительно из-за следующих обстоятельств. *H. thaleri* и близкие к ней виды представляют собой группировку достаточно широкого распространения во времени, практически охватывая весь валлезий в западноевропейской биозональной шкале [44]. Невелико значение для корреляции биостратиграфического положения калфинско-бужорского сообщества и *Lophocricetinae*, поскольку они пока неизвестны в пределах Западного и Центрального Паратетиса. Поэтому для этой цели в указанном плане более надежным показателем

являются мыши в зоне Западного Паратетиса (Испания, Юж. Франция) поздневаллезийские микротериофауны датируются по появлению и развитию древнейших для данной территории Muridae рода *Progonomys*. Следовательно, калфинско-бужорское сообщество микротерий Западного Причерноморья Украины должно иметь поздневаллезийский возраст, по крайней мере, соответствующий уровню *Montredon* во Франции и Csakvar в Венгрии, т.е. попасть в 10-ю биозону Мейна. Эта группировка не может соответствовать поздним подразделениям древнего валлезия – уровню *Can Llobaters*, поскольку в ее составе нет достоверных остатков *Cricetulodon*, представленных на этом биозональном уровне эволюционно продвинутым видом *C. sabadellensis*. Не исключено также, что калфинско-бужорское сообщество может оказаться и моложе монтредонской ассоциации, поскольку в его составе отсутствует и *Rotundomys*. К тому же, если будет доказана действительная принадлежность проблематичной *Kowalskia* к этому роду, то обсуждаемое сообщество может вообще сместиться к граничащей с туролием зоне верхневаллезийских микротериофаун. Выше могут оказаться лишь охарактеризованные только макротериологически группировки севастопольско-варницкого подкомплекса, собственно и определяющие верхнюю границу валлезийских фаун Восточной Европы.

Таким образом, грызуны калфинско-бужорской ассоциации, состоящая восточный вариант валлезийских микротериофаун, приуроченный к Западному Причерноморью Украины, вероятно, должны отражать один из уровней завершающей фазы валлезия, приближаясь к границе валлезийских и последующих туролийских сообществ млекопитающих. В этом плане соответствующим образом фиксируется и положение васильевского горизонта среднего сармата, который в какой-то мере находит прямую корреляцию преимущественно со средним тортоном средиземноморской ярусной шкалы, а в зоне Центрального Паратетиса – соответствует второй половине Паннона. Это подтверждается и значительным сходством калфинского фаунистического комплекса млекопитающих и таковых из Csakvar в Венгрии [20].

Местонахождения остатков мелких млекопитающих конечной фазы среднего сармата, которые могли бы соответствовать севастопольско-варницкому этапу развития калфинского (желтокаменного) фаунистического комплекса (поздний валлезий, верхи 10-й биозоны или собственно граница валлезийских и туролийских фаун), в пределах Восточной Европы пока не найдены. Вместе с тем, им должно принадлежать ведущее значение в понимании развития микротериофаун в переходной зоне между валлезием и туролием. Во всяком случае, в Центральной Европе – венский бассейн – известны местонахождения этого типа. Примером может служить Кохфидиш в Австрии. Микротериофауна этого местонахождения, приобретая в целом туролийский облик, еще сохраняет в своем составе поздних *Progonomys* – *P. woelferi*

Bachmayer et Wilson, но вместе с *Parapodemus*. Низшие хомякообразные представлены родом *Kowalskia*.

Таким образом, средний сармат Восточной Европы по этапности развития микротериофаун прелставляет собой достаточно сложное геологическое образование, которому соответствуют, как и в Западном Средиземье, по крайней мере, два четко выраженных уровня, аналогичные зонам *Cricetulodon* и *Progonomys* Западного Паратетиса. Не исключено также, что здесь потерян промежуточный между ними этап – зона распространения *Rotundomys* (низы 10-й биозоны Мейна). Учитывая отмеченные выше различия между сообществами мелких млекопитающих грицевского подкомплекса калфинского (желто-каменного) фаунистического комплекса от более поздних стадий последнего, есть все основания выделить их в самостоятельный комплекс, соответствующий нижним горизонтам среднего сармата (низы 9-й биозоны Мейна). В этом случае калфинский комплекс окажется представленным собственно калфинским и севастопольско-варницким подкомплексами, соответствующими 10-й биозоне Мейна.

Коренным образом меняется облик ассоциаций низших хомякообразных, как и всей микротериофауны вообще, в отложениях верхнего сармата. Этот этап, в сущности, отражает развитие крицетидно-муридных по фону комплексов, качественно меняющихся во времени на уровне родов и видов, но сохраняющих эту доминантную специфику до древнего плиоцена – нижнего пюнта включительно. Особо важным является тот факт, что доминирующие в валлезии *Cricetodontinae* уступают свое место *Cricetinae*. К сожалению, местонахождения, приуроченные к этому стратиграфическому уровню, в Восточной Европе редки и по этой причине недостаточно изучены. Так, в настоящее время известно единственное захоронение, приуроченное к гравелитам, лежащим порядка 6–8 м ниже известного местонахождения крупных млекопитающих гиппарионовой фауны вблизи с. Новоелизаветовка. Отсюда среди низших хомякообразных определены *Kowalskia progressa* sp. nov., составляющие по численности фоновую группировку среди грызунов, и единичные остатки формы, близкой к *Pseudocricetus*. В полной мере претерпевает изменения и систематический состав *Muridae*. Свойственный позднему валлезию фон *Progonomys* сменяется фоном *Parapodemus*, уступающим по численности только *Kowalskia*. Резко сокращается численность *Lophocricetinae*, хотя они остаются обычным элементом сообщества грызунов и достаточно разнообразны по своему видовому составу [36]. Не найдены *Anomalomyinae*, однако выявлены первые *Spalacinae*. По всей вероятности, это сообщество мелких млекопитающих должно соответствовать уровню бериславского фаунистического комплекса крупных млекопитающих, хотя принадлежность его к отдельным fazam развития последнего – собственно бериславской, либо более поздней гребениковской – остается невыясненной.

Примерно аналогичная картина, видимо, имела место в древнейшем туролии Западного и Центрального Паратетиса. Если снять заведомо азиатский элемент – *Lophocricetinae*, не свойственный Западному Средиземью, то и здесь и там древнетуролийские сообщества грызунов являются по фону ковальски-параподемусными. В корреляции с западноевропейскими микротериофаунами этого времени верхнесарматскому сообществу грызунов юго-запада Восточной Европы, наверное, эквивалентны ассоциации из местонахождений *Crevillente* 1–3 в Испании, а в пределах венского бассейна – Кохфидиш, хотя последнее может оказаться несколько древнее. Таким образом, микротериофауна позднего сармата Восточной Европы так же, как и Западной, составляет древнейший этап развития туролийских сообществ грызунов, четко оконтуривая низы 11-й биозоны Мейна. Следовательно, верхний сармат в восточноевропейской региоярусной схеме может оказаться на уровне верхнего тортона средиземноморской ярусной шкалы, точнее – коррелироваться с нижними горизонтами верхнего тортона.

Между мэотическими и среднесарматскими микротериофаунами Причерноморья Украины не наблюдается столь глубоких различий, как между последними и среднесарматскими. Однако на уровне мэотиса происходит резкая смена фона *Kowalskia* таковым *Pseudocricetus*. Есть все основания полагать, что подобная смена могла происходить путем прямой трансформации, поскольку древнейшие *Pseudocricetus* еще сохраняют в резервных морфотипах элементы сложности, свойственные *Kowalskia*. Особенно четко этот признак проявляется на  $M^2$ . Род *Pseudocricetus* представлен тремя викарными во времени видами, четко фиксирующими трехчленное деление мэотиса.

Древнемэотические сообщества мелких млекопитающих приурочены к гравелитам, залегающим на незначительном удалении (4–5 м) от зоны контакта с известняками верхнего сармата. К таковым прежде всего относится нижний костеносный слой черевичанской толщи [37]. В сообществе мелких млекопитающих фоновой группой среди грызунов является *P. antiquus* sp. nov. Им сопутствуют в значительно меньшем количестве *Stylocricetus* и единичные остатки очень мелкой *Kowalskia*. На этом стратиграфическом уровне найдены также единичные остатки *Cricetodontini* – род *Byzantinia*. В черевичанском мэотисе найдены также остатки древнейших *Microtinae* – триба *Microtoscctini* [30]. Среди представителей других семейств грызунов сохраняют высокую численность *Muridae*, хотя их качественный состав претерпевает некоторые изменения: к форме, близкой к *Parapodemus lugdunensis*, свойственной для верхнего сармата, добавляется и даже становится доминантной *P. aff. gaudryi*. Появляется *Valerimys*. Резко сокращают численность *Lophocricetinae*. Не найдены *Spalacinae*. По всей вероятности, этот уровень должен соответствовать новоелизаветовскому под-

комплексу крупных млекопитающих белкинского фаунистического комплекса (мэотис нижний).

Древнейшие сообщества мелких млекопитающих мэотиса Причерноморья Украины, по-видимому, лучше всего коррелируют с микротериофаунами второй половины древнего туролия, к которому прежде всего относится такое местонахождение, как Crevillente 4. Однако использовать для подобного сопоставления этих микротериофаун представителей трибы Cricetini практически не удается, поскольку в зоне Западного Паратетиса на этом стратиграфическом уровне эта группа грызунов представлена только Kowalskia, которые в Восточной Паратетиде оказываются к этому времени повсеместно почти полностью вытесненными эволюционно более продвинутыми *Pseudocricetus*. Достаточно надежные результаты в этом плане могут быть получены по Muridae, поскольку уровень Crevillente 4, по всей вероятности, фиксирует смену видов в фоне *Parapodemus* — *P. lugdunensis*, сменяя *P. gaudryi*. Очевидно, нижнечеревичанское и близкие к нему сообщества как раз и являются переходной зоной в становлении *P. gaudryi*. Во всяком случае, нижнечеревичанское и близкие к нему сообщества мелких млекопитающих характеризуются популяциями этого вида, имеющими заметно слабее развитый 6-й аподемусный бугорок в стефаномисном венчике  $M^1$ , чем популяции из Пикермии и тем более из Lissieu, но больше, чем таковые из Crevillente 4—5. Исходя из этого, нижнечеревичанскую и близкую к ней популяции Восточной Паратетиды, по крайней мере, ее северной части, по-видимому, можно рассматривать в качестве непосредственного предшественника собственно пикермийских фаун Греции. Последнее в какой-то мере подтверждается и данными по Cricetodontini. Во всяком случае, *Byzantinia* sp. нижнечеревичанской микротериофауны ближе к *B. rikermiensis*, чем к более древней *B. nikosi* из позднего валлезия Греции (местонахождение Biodrak), где этим хомякообразным еще сопутствуют Muridae рода Progromomys. Кроме того, в составе собственно пикермийских микротериофаун найдены единичные остатки проблематичных Kowalskia, которые из-за полной утраты элементов сложности на  $M_1$  —  $M_2$  также могут быть определены, как *Pseudocricetus*. В корреляции с западноевропейской биозональной схемой и средиземноморской стратиграфической шкалой уровень мэотиса, видимо, должен быть не чем иным, как началом становления сообществ мелких млекопитающих 12-й биозоны Мейна и, соответственно, низов завершающей фазы верхнего тортона.

Несколько меняется видовой состав Cricetinae и Cricetodontinae в сообществах мелких млекопитающих среднего мэотиса. Сохраняясь в целом крицетидно-муридными и имея в качестве доминантной группы *Pseudocricetus*, указанный уровень демонстрирует смену видов этого рода. Свойственный древнему мэотису *P. antiquus*, наверное, трансформируется в более эволюционно продвинутый *P. orienteuropeus*. В древ-

нейших ассоциациях этого времени фиксируется также первая и пока единственная находка для Евразии остатков косматых хомяков — Lophiomyidae, род Microlophiomys (гравелиты в зоне размыва верхнего сармата непосредственно над местонахождением позднесарматской макротериофауны вблизи с. Новоукраинка). Для некоторых более древних ассоциаций свойственно сохранение Cricetodontini — Byzantinia (гравелиты цоколя эпилейстоценовых и плейстоценовых террас вблизи с. Протоноповка). Наконец, в наиболее поздних ассоциациях среднего мэотиса фиксируется второе увеличение численности Kowalskia на эволюционном уровне, близком к *K. fahlbuschi* (гравелиты с. Новоелизаветовка, залегающие значительно выше местонахождения остатков крупных млекопитающих гиппарионовой фауны). Здесь также отмечены остатки Democricetodon, пути поступления которых в костеносный слой требуют специального изучения, хотя не исключено его реликтовое происхождение. Все перечисленные модификации среднего мэотиса содержат в своем составе также в небольшом количестве Stylocricetus. Среди других семейств грызунов на уровне среднего и верхнего отделов среднего мэотиса фиксируется первое появление настоящих спленышевых — Spalacinae. При сопоставлении с местонахождениями крупных млекопитающих гиппарионовых фаун мэотиса Восточного Паратетиса древнейшие мэотические сообщества, по всей вероятности, должны соответствовать новоелизаветовской фазе развития белкинского фаунистического комплекса. В этом случае все модификации среднего мэотиса могут отражать этапы становления собственно белкинской фазы этого комплекса. В сравнении с наиболее известными местонахождениями Западного и Центрального Паратетиса собственно пикермийскими являются ассоциации среднего мэотиса, к которым в зоне Западного Паратетиса близки Crevillente 5 и Lissieu. В биозональной западноевропейской схеме Мейна сообщества мелких млекопитающих среднего мэотиса, вероятно, соответствуют верхам завершающей фазы 12-й зоны, а в стратиграфической шкале для Западного Паратетиса — верхам завершающей фазы верхнего тортона, включая границу последнего с мессинием.

Более резко, чем в предыдущем случае, по ассоциациям низших хомякообразных выражена граница между средним и верхним мэотисом, хотя для верхнего *Pseudocricetus* также является одной из доминантных групп грызунов, здесь происходит смена видов — среднемэотический *P. orienteuropeus* сменяют эволюционно более продвинутые *P. kottosi*. Кроме того, к этому времени, очевидно, полностью вымирают Stylocricetus и отмеченные выше реликтовые Cricetodontini и Megacricetodontini, представленные в малых количествах в древне- и среднемэотических ассоциациях. Еще более существенные изменения претерпевает вторая фоновая группа — Muridae, в составе которой предшествующий фон *Parapodemus*, свойственный древнемэотическим

и среднемэотическим сообществам мелких млекопитающих, заменяется фоном крупных проблематичных *Apodemus*. Уровня субдоминанта первого порядка достигают *Spalacinae*, род *Nannospalax*. На этом уровне в пределах изучаемого региона известны также древнейшие находки *Prospalacinae* – род *Prospalax*. Этот биозональный уровень повсеместно фиксируется в местонахождениях мэотических мелких млекопитающих, лежащих непосредственно под цонтом. К таковым прежде всего следует относить толщи гравелитов верхних слоев Новоукраинки, Андреевки, нижние гравелиты Ореховки и лежащие выше местонахождения остатков крупных млекопитающих белкинского подкомплекса одноименного комплекса. В Ореховке в дополнение к вышеизложенному отмечено первое появление древнейших, эволюционно слабо продвинутых полевозубых хомяков трибы *Trilophiomysini*. Этот уровень прямо коррелируется с черевичанским подкомплексом белкинского фаунистического комплекса в представлении Е.Л.Короткевич. Во всяком случае, в это время фиксируется появление крупных *Castoridae*, близких, по определению Г.Ф.Лычова, к *Castor*. Их остатки найдены в равной мере в местонахождении крупных млекопитающих и в гравелитах Андреевки. Столь существенные изменения макротериофауны в позднем мэотисе, несомненно, заслуживают выделения черевичанского подкомплекса в самостоятельный фаунистический комплекс, свойственный верхнему мэотису. Позднемэотические группировки мелких млекопитающих этого уровня по низшим хомякообразным и *Muridae* находятся также в прямой корреляции с такими известными местонахождениями Западной Европы, как Полгарди в зоне Паннонского бассейна и *Crevillente* в зоне Западного Паратетиса, где *Pseudocricetus* примерно того же уровня эволюционной продвинутости сопутствует смена зон доминирования *Ragapodemus* и проблематичных *Apodemus*. В указанное время в Восточной Паратетиде, если исходить из данных палеотериологии, наблюдается некоторое усиление аридности климата. В биозональной схеме Мейна эта стадия развития сообществ мелких млекопитающих мэотиса четко фиксирует более древние этапы 13-й биозоны, а в средиземноморской ярусной шкале, по всей вероятности, соответствует первой половине мессинии.

В сущности, позднемэотические группировки млекопитающих Восточной Паратетиды отражают завершающий этап туролия, хотя между последним и русцинием еще сохраняются переходные ассоциации, приуроченные, как будет показано далее, к самым низам понтического регионаряса Восточной Европы.

Нижний шлиоцен, обычно ассоциируемый в Восточном Паратетисе с понтическим регионарясом, будучи, видимо, довольно монолитным в развитии морских сообществ, демонстрирует гораздо более неструю картину изменений континентальных териофаун. Фактически все, что объединяет различные по составу сообщества мелких млекопитающих

из различных горизонтов цонта, как морского, так и континентальных его аналогов – это наличие в их составе высших хомякообразных – полевковых рода *Polomys*. В конечном счете цонт Восточной Европы может быть назван зоной *Polomys*, хотя эта группа среди грызунов становится доминантной или одной из доминантных только в наиболее поздних ассоциациях – верхний цонт. Различия между последовательно сменяющимися во времени ассоциациями грызунов древнего шлиоцена столь велики, что каждая из них может быть возведена в ранг самостоятельного комплекса.

Древнейшим из понтических сообществ мелких млекопитающих для северного участка Восточной Паратетиды следует считать Фонтановский фаунистический комплекс, приуроченный к прослойке гравелитов, зараженной между морскими глинами и алевритами, содержащими либо наношланктон (ножелажные глины), либо раковины солоновато- и пресноводных моллюсков (вышележащие алевриты). Отпечатки последних выявлены и в костеносном слое. Эта пачка отложений залегает непосредственно под известняками нижнего цонта [39]. Сообщество мелких млекопитающих этого комплекса в основном представляет собой мало измененный черевичанский комплекс верхнего мэотиса. Как и в предыдущем случае, низшие хомякообразные здесь представлены *R. kormosi*, а *Muridae* – в основном проблематичными *Apodemus*, среди которых доминирует крупная форма. Однако на этом стратиграфическом уровне резко возрастает численность *Spalacidae*, которые по этому показателю превосходят даже *Muridae*. Отмеченная группа грызунов представлена только настоящими слепышовыми – *Spalacidae*, род *Nannospalax*. *Prospalacinae*, отдельные остатки которых найдены в верхнем мэотисе, с *Nannospalax* отсутствуют. Таким образом, крицетидно-муридно-спалацидное сообщество верхнего мэотиса в древнейшем цонте трансформируется в крицетидно-спалацидно-муридное. Основной спецификой древнейшего понтического сообщества является появление полевковых рода *Polomys*. Однако, несмотря на это, граница между верхним мэотисом и нижним цонтом оказывается все же несколько размытой. По всей вероятности, этот уровень должен лежать в границу 13-й и 14-й биозон Мейна. В качестве аналогов этого эволюционного уровня в Центральной Европе может оказываться фауна Балтавар в Венгрии, где также отмечено появление полевозубых форм, близких к *Polomys*, хотя описанных под другим родовым названием – *Pannonicola* [74]. Очевидно, этот уровень в Западной и Восточной Европе должен фиксировать границу туролия и русциния в континентальной западноевропейской шкале и верхнюю часть мессиния в средиземноморской ярусной схеме. Однако прямые аналоги в зоне Западного Паратетиса пока не установлены. Фонтановский комплекс млекопитающих в целом укладывается в общую тенденцию к усилению аридизации климата. Во всяком случае,

заметное увеличение здесь численности Spalacidae может явиться функцией расширения открытых пространств в условиях преобразования лесостепного ландшафта того времени.

Последующая фаза развитияPontических микротериофаун происходила на фоне резко выраженного усиления аридизации климата. Это подтверждается также появлением непосредственно под зоной размыва в толще Pontических известняков слоя так называемого пильного камня в сообществах крупных млекопитающих, древнейших для этого региона Camelidae – на Шкодовой горе в пределах Одессы. По всей вероятности, только этому уровню может соответствовать докучурганская аридная группировка мелких млекопитающих, выделенная нами в качестве фрунзовского фаунистического комплекса [33], приуроченная к глубоко врезанной древней террасе, образовавшейся в эпоху низкого уровня Pontического моря, вскрывающаяся южнее с. Фрунзовка в долине р. Кучурган. Этот врез почти достигал уровня верхнесарматских отложений, а сама терраса залегает на несколько десятков метров ниже собственно кучурганской толщи, т.е. соответствует гипсометрическому уровню, где в обычных разрезах залегает мэотис. Сообщество мелких млекопитающих этого комплекса по своему систематическому составу не имеет аналогов среди миоценовых и плиоценовых териофаун этого региона. Так, по фону оно является ишимомисно-тушканчиковым, поскольку здесь доминируют своеобразные эволюционно продвинутые Microtinae рода *Ischytomys* и пятнистые тушканчиковые рода *Paralactaga*. К числу домinantных группировок приближаются также низшие хомякообразные, довольно разнообразные по своему видовому составу. Эта группа представлена примерно равными по численности популяциями поздних *Pseudocricetus* и крупной *Kowalskia complicidens*. Кроме того, здесь найдены остатки более мелкой формы *Kowalskia*, проявляющей черты сходства с *K. fahlbuschi*. Все это, наверное, фиксирует третий проходез *Kowalskia* в зону Восточной Паратетиды, причем даже на уровне высокоспециализированных форм, каковыми, в сущности, являются *K. complicidens*. Сравнительно высокой численностью характеризуются также *Muridae*, хотя их качественный состав меняется коренным образом – представлены только *Oscitomys*. Обращает внимание и полное отсутствие здесь Spalacidae. Как и в предыдущем случае, редки остатки *Polomys*. Эта фаза развития микротериофаун древнего плиоцена пока не имеет аналогов в Западной Европе, включая зону Центрального Паратетиса. Вместе с тем, это сообщество впоследствии может быть скоррелированным с древне-плиоценовыми аридными сообществами, существовавшими в это время в Средней, Центральной и, возможно, Передней Азии и Северной Африке. Миграционное происхождение, по крайней мере, фона фрунзовского фаунистического комплекса вполне очевидно. Естественно, что подобные проходезы могли осуществляться лишь в эпохи расширения

сухопутных связей в периоды низкого стояния Pontического моря. Исходя из этого можно полагать, что в данном случае мы столкнулись с одним из стратиграфических уровней сравнительно кратковременно го резкого сокращения площади морского Понта, который со значительной долей вероятности может соответствовать так называемому мессинскому кризису. Это сообщество, как и предшествующий ему по времени своего существования фонтановский фаунистический комплекс, относится к низам Pontического регионаряса в его нижнем отделе и, по всей вероятности, в средиземноморской ярусной шкале должно соответствовать верхним частям мессиния. Очевидно, с этого уровня, в пределах северного участка Восточной Паратетиды, фактически и следует начинать отсчет фаунистических группировок млекопитающих русции, рассматривая предшествующую фонтановскую fazu в качестве переходной между указанными градациями западноевропейской континентальной схемы. По шкале Мейна этот биозональный уровень должен совпасть с низами 14-й биозоны. Этот уровень развития сообществ крупных млекопитающих понта зафиксирован Е.Л.Короткевич [17] под названием таврического фаунистического комплекса.

В верхнем отделе нижнего понта развитие сообществ мелких млекопитающих значительно меняет направленность в связи с четко выраженной тенденцией, начиная с этого времени, гумидизации климата и далее протекает по классической средиземноморской схеме. Примером такого сообщества мелких млекопитающих нижнего понта, коренным образом изменившим свой систематический состав по сравнению с фрунзовским фаунистическим комплексом, является последующая во времени группировка, отнесенная к виноградовскому фаунистическому комплексу. Это сообщество приурочено к авандельтовым отложениям в толще Pontических морских песков, алевритов и глин, залегающих над Pontическими известняками. На этом уровне оказался уже полностью сформировавшийся лагоморфный по фону фаунистический комплекс, положивший начало развитию всех лагоморфных фаун верхнего понта и нижнего киммерия, хотя видовой состав зайцеобразных, их слагающих, в указанном отрезке времени претерпевает существенные изменения. Виноградовский фаунистический комплекс в отличие от предыдущих по грызунам полностью утратил доминирующее положение крицетидно-муридных ассоциаций, являясь по фону просиалацидно-полономисным. Таким образом, в отличие от фонтановского (в составе фрунзовского Spalacidae вообще не найдены) претерпевает коренные изменения и систематический состав слепышевых – фон *Nannospalax* сменяется фоном *Prospalax*. Вместе с тем *Muridae*, хотя и малочисленные, здесь снова оказываются представленными крупными проблематичными *Apodemus*, свойственными, как показано ранее, позднемезотическим и древнейшим пон-

тическим сообществам этого региона. К ним здесь добавляется также *Micromys*. Ассоциация низших хомячих сохраняет в своем составе только *Kowalskia*, близких по эволюционному уровню к западноевропейским *K. polonica* и *K. magna*. Возрастает количество форм, связанных с древесной растительностью – *Pteromyidae* и *Gliridae*. Будучи приуроченным к средней части нижнего пункта, этот комплекс, по всей вероятности, является прямым предшественником последующей во времени кучурганской микротериофауны, хотя щитуховые лагоморфного фона принципиально иные по своему составу – представлены только *Prolagus*, в кучурганском – только *Ochotona*. В сопоставлении с микротериофаунами Центральной Европы виноградовский фаунистический комплекс по ассоциации низших хомякообразных и высокой численности *Polomomys* приближается к таковым из Подлесицы. Однако виноградовская фауна имеет в своем составе более примитивных *Polomomys* – упрощенное строение  $M_3$ , что указывает на большую древность. В этом плане виноградовское сообщество мелких млекопитающих скорее всего составляет низы средней части 14-й биозоны Мейна, а в средиземноморской стратиграфической шкале – самый нижний отдел нижнего занклля.

Если виноградовский фаунистический комплекс, в равной мере как и фонтановский, фиксирует точки прямой корреляции морского и континентального пункта, поскольку в том и другом случаях остатки мелких млекопитающих приурочены к авандельтовым отложениям, погребенных в морских осадках нижнего пункта, то последующее во времени кучурганское сообщество микромаммалий связано только с континентальными фациями – толщей песков и гравелитов зоны начального формирования долины Праднестра в fazu rезкого понижения уровня Понта при сравнительно высоком уровне его стояния. Только этим можно объяснить залегание кучурганской толщи на высоких гипсометрических уровнях бортов долины р. Кучурган. Как и виноградовское сообщество, кучурганский фаунистический комплекс представляет собой группировку млекопитающих, сформировавшуюся в условиях гумидного климата, в связи с чем в составе микротериофауны остаются обычными формы грызунов, связанные с лесной растительностью, – *Pteromyidae*, *Gliridae*, а среди наземных беличьих – *Tamias*. При полной смене лагоморфного фона на этом уровне начинает формироваться полономисно-спалацидное сообщество грызунов, хотя преобладание *Polomomys* остается не подавляющим. Кроме того, в ассоциации *Spalacidae* представители настоящих спепышевых – род *Nannospalax* по численности заметно превосходят древних спепышевых – род *Prospalax*. Более сложны по систематическому составу и низшие хомякообразные. Здесь, как и в предыдущем случае, еще сохраняют свою численность поздние *Kowalskia*, близкие к *K. magna* и *K. polonica*. Однако уже известны первые единичные находки *Odessamys* и средних

по размерам хомяков, рассматриваемых проблематично в составе рода *Cricetus*, близким к перпиньянским *C. angustidens* и *C. baillierei*. В состав фауны входили также очень крупные формы, близкие по степени сложности жевательной поверхности к *Kowalskia*. Эта группировка, несомненно, моложе виноградовской. Однако, как и в составе последней, *Polomomys* представлена видом менее продвинутым, чем *P. insuliferus*. Исходя из этого, кучурганский комплекс, как и виноградовский, выглядит более древним по сравнению с таковым Подлесицы в зоне Центрального Паратетиса. В последние годы группой геологов Института геологических наук АН Украины, возглавляемой В.Н.Семененко, В.М.Мацуй и О.Д.Моськиной, а также работами микропалеотериолого-гической группы Института зоологии им. И.И.Шмальгаузена АН Украины, проводимыми в Западном Крыму, были получены новые данные, проливающие свет на положение кучурганской толщи по отношению к морским напластованиям pontического региона. Так, из толши песков и гравелитов, залегающих под тонкой прослойкой pontического известняка в береговом уступе Черного моря вблизи с. Песчаное к северу от Севастополя, была собрана микротериофауна, очень близкая, если не тождественная, кучурганской. Если определение возраста этой прослойки (нижнего пункта) будет подтверждено, то кучурганский фаунистический комплекс должен фиксировать верхи этого отдела. Однако исключение кучурганского фаунистического комплекса из состава среднеэоценовых – киммерийских сообществ представляется нам вполне оправданным. Как указывалось ранее, в зоне Западного и Центрального Паратетиса не известны полные аналоги кучурганского комплекса. Однако с учетом положения Подлесиц это сообщество, по-видимому, должно соответствовать среднему отделу 14-й биозоны, а в средиземноморской шкале – среднему отделу нижнего занклля.

Уровню Подлесиц в Восточной Европе, очевидно, соответствует антиповско-чугуновский комплекс мелких млекопитающих Среднего Дона [1]. Это сообщество по сравнению с кучурганским характеризуется сменой систематического состава *Leporidae*, представленных только *Pliolagus*, в Кучургане – *Trischizolagus* и *Serengetilagus*, а главное при общем сохранении лагоморфного фона среди грызунов очень многочисленна *Polomomys*, приближающаяся по этому показателю к численности *Ochotona*, собственно и определяющей лагоморфный фон. К тому же *Polomomys* антиповско-чугуновского комплекса относится к тому же виду, что и форма из Подлесиц *P. insuliferus*. Этот уровень, вероятно, и составит верхи среднего отдела 14-й биозоны, а в средиземноморской биостратиграфической шкале может соответствовать верхнему отделу нижнего занклля. Сообщества мелких млекопитающих типа антиповско-чугуновского в региональной схеме Восточного Паратетиса, видимо, и составят аналоги среднего и верхнего пункта.

Средний плиоцен–киммерий в его континентальных градациях в пределах юга Восточной Европы принято фиксировать по молдавскому фаунистическому комплексу млекопитающих. Местонахождения остатков последних здесь связаны только с континентальными фациями преимущественно аллювиальной природы. Ориктоценозы, приуроченные к авандельтам и прямо коррелирующиеся с морскими осадками, пока не найдены. Микротериофауна молдавского фаунистического комплекса в его древних градациях почти в полной мере остается лагоморфной по фону, причем систематический состав последнего мало изменяется по сравнению с кучурганским и антиповско-чугуновским фаунистическими комплексами пояса. Лишь во вторую половину киммерия в составе микротериофауны этого времени начинают доминировать грызуны, в первую очередь полевковые *Microtinae*. Последние по сравнению с поздними древнеплиоценовыми сообществами коренным образом меняют свой систематический состав. В сущности, молдавский фаунистический комплекс в своем распространении во времени представляет собой зону *Promiomys*, хотя на среднем и позднем этапах его развития добавляются *Pliomys* и *Dolomys*. На всех уровнях высокой численностью характеризуются низшие хомякообразные, которые также существенно изменяют свой качественный состав. В сообществах мелких млекопитающих этого времени доминантной группой становится мелкие хомячки рода *Odessamys*. В завершающую фазу развития киммерийских микротериофаун (одесские катакомбы, гравелиты, венчающие толщу киммерия с. Виноградовка) эта группа по численности может даже значительно превосходить полевковых. К верхнему киммерию здесь также приурочены появление и вымирание *Cricetinus*. На этих уровнях происходит и смена видов *Odessamys*: более древних *O. simionescui* сменяют *O. palatocristatus*. Повсеместно, хотя и в малых количествах, представлены *Trilophomyini*. Во всех случаях на субдоминантном уровне сохраняются *Spalacidae*, аналогично меняющие свой видовой состав – более древних *N. macoveii* сменяют эволюционно продвинутые *N. odessanus*. Таким образом, если микротериофауна древнего киммерия представляет собой промимомисно-одес-самисно-спалацидное сообщество, то в позднем киммерии она становится одессамисно-промимомисно-спалацидной. Существенные изменения претерпевает и ассоциация *Muridae*, составляющая хотя и немногочисленный, но обычный компонент сообщества. Наряду с проблематичными *Apodemus* здесь широкое развитие получают *Orientalomys*. В меньшей мере представлены первые *Rhagapodemus*, а также *Micromys*. В завершающей фазе киммерия происходит заметная аридизация климата, о чем свидетельствует второй проходрез *Camelidae* в Западное Причерноморье. Среди западноевропейских местонахождений остатков мелких млекопитающих молдавский фаунистический комплекс, по крайней мере, в его древних вариантах наиболее сравним с микротериофауной

Венже 1 в зоне Центрального Паратетиса. По-видимому, полными аналогами его древних подразделений являются сообщества из Малуштии и Берешти в Румынии, возраст которых в шкале Мейна явно завышен, однако приведен в соответствие в шкале О.Файфара [60]. В целом молдавский фаунистический комплекс в западноевропейской биозональной схеме должен полностью охватывать 15-ю биозону, что, по всей вероятности, в средиземноморской ярусной шкале должно соответствовать верхнему отделу занклия. На этом фактически завершается развитие фаун русциния в Восточной Паратетиде. Иногда [60] эту фазу развития микротериофаун выделяют в качестве самостоятельного подразделения – Чарнотан, равнозначного русцинию.

В позднеплиоценово-акчагыл-куяльницкое время в Северном Причерноморье Украины значительно развиты аридные микротериофауны вилланайно (включая *Borzodia*)-мимомисной зоны, составляющие хапровский фаунистический комплекс млекопитающих. Практически с этого времени низшие хомякообразные в значительной мере теряют свое первостепенное биостратиграфическое значение, поскольку их численность многократно уступает таковой полевковых. Однако как вспомогательный элемент эта группа грызунов остается достаточно актуальной, поскольку ее представители составляют обыденный компонент в сообществах мелких млекопитающих. Велико также их историко-фаунистическое значение. В составе хапровского фаунистического комплекса *Cricetini* представлены только родом *Allocricetus*. На уровне средней и поздней фаз развития хапровского фаунистического комплекса происходит смена видов крупных для этой группы хомяков форм. Древнейших *A. anterolophidens* сменяют более поздние *A. ehiki*, правда представленные древнейшей аллохронной популяцией этого вида – *A. e. kujalnikensis*. Почти повсеместно на протяжении всего хапровского времени в ассоциациях мелких млекопитающих присутствует мелкая форма *A. raeburgae*, предшествующая *A. bursae*. Однако последние, как показано далее, проявляются в сообществах мелких млекопитающих изучаемого региона на значительно более высоком стратиграфическом уровне – преимущественно в позднем эоплейстоцене и плеистоцене. *A. anterolophidens*, в равной мере как и *A. raeburgae*, вероятно, эволюционно отражают начальный этап дифференциации рода, сохранив отдельные признаки предковых форм, в круг которых может входить и *Pseudocricetus*. Сравнение собственно акчагыл-куяльницких микротериофаун Северного Причерноморья и Приазовья с таковыми Западной Европы весьма затруднено из-за четко выраженных зональных различий между ними. Это одинаково касается и местонахождений средней полосы Восточной Европы, сообщества мелких млекопитающих которых ближе к западноевропейским, чем к северопричерноморским и приазовским [37]. Вместе с тем ассоциации хапровского фаунистического комплекса Северного Причерноморья и Приазовья –

мимомисно-вилланийная широкинская и мимомисная нижнеливенцовская – в какой-то мере сравнимы с микротериофаунами Рембелиц Крулевских в Польше и Урыв 1 на среднем Дону. Возможно, они и соответствуют древнему этапу формирования 16-й биозоны Мейна, в то время как сообщества, отражающие среднюю и позднюю фазы развития этого комплекса, по фону вилланийные, будут соответствовать ее поздним этапам. В средиземноморской стратиграфической шкале этот уровень обычно сопоставляют с низами пьяченция. Эти данные в какой-то мере ироливают свет на положение одесского куяльника, поскольку нижнежеваховогорская, куяльницкая и среднечеревичанская ассоциации приурочены к собственно куяльницким отложениям. Очевидно, этот уровень знаменует начальный этап формирования фаун виллания, хотя в отдельных случаях древняя фаза развития хапровского фаунистического комплекса выделяется в самостоятельное подразделение – виллафранк. В этом случае позднему вилланию будут соответствовать ассоциации грызунов, отражающие средний и поздний этапы развития хапровского фаунистического комплекса, хотя в их составе нет *Lagurodon* и *Prolagus*. Эти сообщества и могут оказаться синхронными верхам пьяченция. На этом уровне, по всей вероятности, заканчивается развитие позднеэоценовых сообществ млекопитающих Восточной Европы.

Эоплейстоцен – аншерон Восточной Европы знаменует появление и древний этап развития некорнезубых *Microtinae* – роды *Allomys*, *Lagurodon*, *Prolagus*, которые, в сущности, определяют облик таманского фаунистического комплекса. На этом уровне *Cricetini* представлены исключительно *A. ehiki*, точнее, его поздней аллохронной популяцией *A.e. tiliguliensis*. Практически эта группа сохраняет свое доминирующее положение среди низших хомякообразных на протяжении вплоть до середины средней фазы развития этого комплекса – тарханкутской лагуродонтно-аллофайомисно-цителлоидной ассоциации. В составе последней появляются первые настоящие *Cricetus* и *Cricetulus*, хотя *Cricetulus* снова исчезают в составе последующих во времени сообществ, где их сменяют мелкие *Allocricetus* из группы *A. bursae*. Древнейшие собственно *Cricetus* относятся к числу наиболее мелких видов рода – *C. nannus*. Начиная с последующей фазы развития таманского фаунистического комплекса – ногайской иролагурусно-мимомисно-цителлоидной ассоциации, – эта форма становится доминирующей среди *Cricetini*. Здесь же впервые проявляются и *C. cf. bursae*. Наконец, на завершающем этапе развития эоплейстоценовых микротериофаун – верхнечеревичанская лагуродонтно-мимомисно-питимисная ассоциация – происходит смена видов *Cricetus*: мелких *C. nannus* сменяют средние по размерам *C. praeglacialis*. В составе верхнечеревичанской ассоциации вид представлен наиболее мелкой по размерам аллохронной популяцией. Повсеместно им сопутствуют остатки мелкой

формы – *A. bursae*. По всей вероятности, микротериофауны таманского фаунистического комплекса должны отражать древнебихарскую ступень в Центральной Европе.

С позднебихарским этапом развития микротериофаун Западной Европы в Восточной Европе в какой-то мере коррелируют древнеплейстоценовые сообщества мелких млекопитающих тираспольского фаунистического комплекса. На древних этапах своего формирования он по фону пролагурусный либо пролагурусно-питимисный, но всегда содержит в своем составе *Microtus*. Только впоследствии, со средней фазы формирования сообществ этого комплекса, представители рода *Microtus* начинают составлять фоновые группировки наряду с *Pitymys*, а несколько позже – с *Lagurus*. На этом этапе низшие хомякообразные также представлены *C. praeglacialis*, хотя иной аллохронной популяцией, чем в предыдущем случае. Им всегда также сопутствует преимущественно в малых количествах *A. bursae*.

Наконец, в сингильских арвикольных микротериофаунах *C. praeglacialis* представлен еще одной аллохронной популяцией, характеризующейся наиболее крупными размерами ее составляющей, однако четко отличающейся от западноевропейских *C. major*.

# НЕКОТОРЫЕ ПАЛЕОЗООГЕОГРАФИЧЕСКИЕ, ПАЛЕОКЛИМАТИЧЕСКИЕ И ПАЛЕОЛАНДШАФТНЫЕ АСПЕКТЫ РАЗВИТИЯ ИСМЕНЫ ВО ВРЕМЕНИ СООБЩЕСТВ НИЗШИХ ХОМЯКООБРАЗНЫХ НЕОГЕНА, ЭОПЛЕЙСТОЦЕНА И ДРЕВНЕГО ПЛЕЙСТОЦЕНА ВОСТОЧНОЙ ПАРАТЕТИДЫ

Северный участок Восточной Паретиды, практически поглощающий юг Украины – крупный естественноисторический регион, к которому и приурочена большая часть материала, обсуждаемого в работе, представляет собой неотъемлемую составную древнего Средиземноморья, где в континентальных условиях складывались биоты под прямым и косвенным воздействием динамики морских бассейнов, входивших в систему Тетиса на западе и Паретиды на востоке. В этом плане в рассматриваемом отрезке времени (поздний миоцен – древний плеистоцен) в зоне Восточного Паретиды наиболее существенную роль сыграли позднемиоценовые Сарматское и Мэотическое, а в древнем плиоцене – Понтическое море, а впоследствии в меньшей мере – киммерийский, акчагыл-куяльницкий, аштеронский, чаудинский, древне-эвксинский, узуларский и карагатский бассейны. Их развитие в трансгрессивных и регressiveных циклах в конечном счете предопределяло специфику континентальных связей между крупными естественноисторическими регионами и даже континентами – Европой, Азией, Африкой, тем самым создавая предпосылки к широким миграциям, включая проходезы, фауны или их составные, являясь одновременно причиной географических дизъюнкций общего и частного воздействий. Несомненно также, что развитие этих бассейнов во многом отразилось и на формировании ландшафтно-климатической обстановки в определенные отрезки геологической истории, в конечном счете предопределяя фон аридизации и гумидизации, потеплений и похолоданий и т.п. В сущности, на этом фоне и протекали сложные процессы формирования растительных и сопряженных с ними животных сообществ.

Исходя из изложенного выше значение древнего Средиземноморья как естественноисторического региона, где происходила бурная эволюция млекопитающих, трудно переоценить. В настоящее время не вызывает сомнений, что он является центром происхождения многих групп млекопитающих. К таковым прежде всего следует отнести *Spalacidae*, по всей вероятности, большинство палеарктических *Muridae* и др. В составе этого региона Восточное Средиземье по своему географическому положению представляло собой сухопутный мост, по кото-

рому происходил широкий обмен между териофаунами Европы и Азии, включая Среднюю, Центральную, а по западным связям и Переднюю. По последнему пути могли также осуществляться и связи с северной частью Африканского континента. В этом аспекте изучение низших хомякообразных, расцвет которых здесь прослеживается в отрезке времени поздний миоцен – средний плиоцен прежде всего в плане их зоogeографической оценки, несомненно, вносит новое в понимание закономерностей формирования животного населения в различные отрезки геологической истории этой территории, которая в разделе исторической зоогеографии может даже претендовать на выделение в качестве отдельной Средиземноморской подобласти Палеарктики.

*Средний сармат.* Грицевский фаунистический комплекс (древний валлезий). Доминирующая группа *Cricetulodon complicidens*. Род, по всей вероятности, имеет средиземноморское происхождение. Во всяком случае, близкий вид *C. hartenbergeri* составляет также фоновую группировку в древних сообществах мелких млекопитающих 9-й биозоны Майна в пределах Западного Паретиды (Испания). К концу древнего валлезия трансформируется здесь в *C. sabadellensis*, остатки которого в Восточной Европе пока не найдены. В настоящее время близкая к *C. complicidens* форма известна из аналогов валлезия Восточного Казахстана. Однако здесь они не составляют доминантную группу. Вероятнее всего, азиатское происхождение имеют древнейшие из известных полевкообразных низших хомякообразных представители трибы *Microtocricetini*. Ведь в аналогах валлезия Восточного Казахстана эта группа проявляет более выраженную дифференацию на уровне родов. Кроме того, она, видимо, не проникает на запад далее Германии, хотя эти находки наиболее древние. Сопутствующим азиатским элементом валлезийской микротериофауны в пределах северного участка Восточного Паретиды следует считать и тушканчиковых подсемейства *Lophocricetinae*, остатки которых вообще не известны в Западной Европе. Вместе с тем, чисто средиземноморский элемент грицевской микротериофауны представляют *Anomalomyinae*. С ландшафтно-климатической точки зрения грицевскую микротериофауну по крупным млекопитающим принято рассматривать как теплолюбивое лесное сообщество, где на долю саванно-степных видов приходится менее 10 %. Последнее в полной мере находит подтверждение и по микротериям. Во всяком случае, в составе сообщества здесь подавляющее доминируют гимнзуры и кроты. Одновременно преобладание среди грызунов *Cricetulodon*, сравнительно высокая численность *Anomalomyinae* и наличие перечисленного выше азиатского элемента являются прямым свидетельством достаточно частой встречаемости элементов теплой лесостепи и лугово-лесных биотопов. Таким образом, грицевский фаунистический комплекс, будучи по фону средиземноморским лесным сообществом, по всей вероятности, демонстрирует также начальный этап закладки

лесостепных ландшафтов, усиливающихся в последующую фазу развития валлзийских фаун в зоне Восточного Паратетиса.

Калфинский фаунистический комплекс (поздний валлзий, 10-я биозона Мейна). Среди валлзийских микротериофаун Восточной Паратетиды этот комплекс представляет собой единственную фазу бурного проходеза на эту территорию *Cricetodontini* русциномисной ветви, которые наряду с *Anomalomyinae* образуют здесь доминантные группы среди грызунов. Кроме того, значительно увеличивается и численность представителей азиатского элемента – в меньшей мере *Lophocricetinae*, а главное, за счет зайцеобразных семейства *Lagomyidae*, близких к *Proochotona*, в связи с чем группировка по фону становится лагоморфной. Все это свидетельствует о расширении сухопутных связей северной части Восточной Паратетиды как с Азией, так и с Западным и Центральным Средиземьем, что возможно лишь в одну из регressiveных фаз среднего сармата. Эта фаза, естественно, должна была характеризоваться некоторой аридизацией при сохранении в целом теплых климатических условий. На фоне этих изменений, вероятно, происходило становление лесных, саванно-лесных и луго-лесных ландшафтов, не имеющих полных аналогий в зоне Центрального и Западного Паратетиса. Очевидно, здесь происходило и некоторое увеличение саванно-степных экосистем при общем доминировании лесной растительности, развивающихся в условиях широкого распространения каменистых грунтов и россыпей в зоне регрессии морских бассейнов, сплошь и рядом возникавших за счет эрозии скальных образований, слагаемых известняками среднесарматского моря. Свидетельством этому может служить повышение численности саванно-степных видов копытных до 15 %. Отмеченный характер ландшафтной обстановки находит полное подтверждение и в перестройке фона мелких млекопитающих. Если увеличение численности *Anomalomyinae*, родственных *Spalacidae*, а в последнее время даже включаемых в состав этого семейства, является свидетельством расширения лесостепного ландшафта, то массовое проникновение сюда *Cricetodontini* и особенно азиатских *Lagomyinae* прямо соотражено с каменистыми россыпями, поросшими травянистой, кустарниковой и даже лесной растительностью. Этому в полной мере соответствуют предпочтительные условия обитания *Lagomyidae*, составивших фон этого сообщества. Кроме того, русциномисный тип строения зубов *Cricetodontini* проявляет черты конвергентного сходства с американскими *Scotinomys* (в том и другом случаях высокие коронки верхних постоянных коренных сочетаются с мощным развитием наружных стилей, образующих продольные гребни), обитающими примерно в тех же условиях. В целом калфинский фаунистический комплекс представляет собой в Восточном Средиземье первое по времени своего появления лагоморфное сообщество. В дальнейшем мы будем сталкиваться с подобными прецедентами. Примером может служить

более поздний понтический кучурганский фаунистический комплекс. Таким образом, в позднем валлзии Восточной Паратетиды (ее северном участке) в условиях сохранения теплого, преимущественно гумидного климата сформировалось специфическое азиатско-средиземноморское сообщество мелких млекопитающих, в составе которого при примате азиатских прищельцев средиземноморский колорит создавалася высокая численность *Cricetodontini* и *Anomalomyinae*.

В завершающую фазу валлзия – севастопольско-варницкий фаунистический комплекс в зоне северной части Восточной Паратетиды – происходит резко выраженная аридизация природных условий. В сущности, на этом временном уровне, по-видимому, полностью складывается саванный тип сообществ млекопитающих. Ведь в составе этого комплекса, по крайней мере среди копытных, наблюдается количественное возрастание саванно-стенного элемента до 50 %. К сожалению, эта фаза развития гиппарионовых фаун Северного Причерноморья Украины осталася микротериологически не охарактеризованной.

*Верхний сармат* (древний туролий, 11-я биозона Мейна). На этом уровне сохраняется природная обстановка, примерно сходная с предыдущим этапом. В ландшафтах доминирует лесостепь саванного типа. Во всяком случае, соотношение между саванно-степными и лесными видами копытных сохраняется на прежнем уровне. Среди мелких млекопитающих оказывается сформировавшимся своеобразный крицетидно-муридный комплекс, в составе которого доминируют среди *Cricetini* – *Kowalskia*, среди *Muridae* – *Parapodemus*. Обе группы имеют явно средиземноморское происхождение. Таким образом, развитие сообществ мелких млекопитающих в Восточном Средиземье в указанное время, по-видимому, протекало по классической средиземноморской схеме, свойственной и зонам Центрального и Западного Паратетиса. По прямым связям с этими регионами происходит и формирование сообщества зайцеобразных, представленных только *Prolagomys*, имеющими средиземноморское происхождение, а до этого времени и распространение. Вместе с тем сохраняется азиатский элемент – *Lophocricetinae*. Следует также подчеркнуть, что на этом временном уровне впервые фиксируется первое появление здесь *Pseudocricetus*, составивший впоследствии один из компонентов фона грызунов. Следовательно, древнетуролийское сообщество мелких млекопитающих является средиземноморским по своему происхождению, формируясь при резком ослаблении связей с азиатскими фаунами.

*Мэотис* (средний и верхний туролий, 12–13-я биозоны Мейна). В мэотическое время ландшафтно-климатическая обстановка в пределах северной части Восточного Средиземья во многом сохраняет специфику, свойственную верхнему сармату. Повсеместно в ландшафтах доминирует теплая лесостепь, сравнимая с саванной, хотя начинает четко прослеживаться общая тенденция к дальнейшей аридизации кли-

мата. По колытным эта тенденция максимально проявляется в раннюю новоелизаветовскую фазу развития белкинского фаунистического комплекса и в завершающую фазу развития мэотических териофаун — черевичанский фаунистический комплекс [17]. В обоих случаях саванно-степные формы составляют в экосистемах величины, близкие либо превышающие 70 %. К сожалению, этот процесс не столь четко улавливается на избранный для изучения группе (если не считать смену фона Kowalskia фоном *Pseudocricetus*) — возможные предшественники, если не предки, *Allocricetus*, широко представленные впоследствии как раз в аридных микротериофаунах ханровского и таманского фаунистических комплексов. В сущности, в это время Северное Причерноморье становится ареной эволюции этой ветви *Cricetini*, о чем свидетельствует трансформация видовых форм рода *Pseudocricetus* во времени. Среди *Cricetini* появляется также специфичная группа — род *Stylocricetus*, проявляющая в строении постоянных коренных параллелизм с крицетодонтинами русциномисной ветви — адаптация хотя бы к частичной зеленоядности. Кроме того, в древнюю и среднюю фазы мэотиса из древней Эгейды сюда вторично проникают и собственно *Cricetodontini* русциномисного филума на эволюционном уровне *Byzantinia*. В среднем мэотисе, вероятно, при некотором ослаблении аридности климата из зоны Центрального Паратетиса сюда вторично проникают *Kowalskia* и реликтовые *Cricetodontinae* рода *Democricetodon*. По эгейскому пути в пределы этого региона вселяются косматые хомяки *Lophiomyidae* и собственно спленышевые *Spalacidae*. В конечную черевичанскую фазу мэотиса последние по численности достигают даже уровня фоновой группы, что само по себе может служить индикатором расширения лесостепного ландшафта. И те и другие могут фиксировать связь северной части Восточной Паратетиды с Передней Азией и Африкой. В этом плане особое значение имеют *Lophiomyidae*, поскольку их находки в Северо-Западном Причерноморье Украины могут указывать и на возможное смещение центра эволюции этой группы в зону древнего Средиземья. Резко сокращается плотность популяций представителей собственно Азиатской фауны, в первую очередь *Lophocricetinae*, хотя в начальной фазе мэотиса сюда проникают древнейшие полевковые — *Microtoscopetes*. Таким образом, мэотические сообщества мелких млекопитающих мэотиса северной части Восточного Средиземья, несомненно представляя собой функцию развития лесостепи при сравнительно теплом климате, формировались в условиях широких континентальных связей с Центральным Средиземьем, прежде всего с древней Эгейской сушей при ослаблении традиционных связей со Средней и Центральной Азией.

Понта (древний русцинский, 14-я биозона Мейна). В отличие от сармата, находясь в преддверии последующей крупной морской трансгрессии — понта, мэотис северной части Восточного Средиземья фиксирует

некоторую стабилизацию сушки. Эта стабилизация, по всей вероятности, в сообществах мелких млекопитающих сохраняется, по крайней мере, и в начальную фазу понта — фонтановский фаунистический комплекс, принципиально мало чем отличающийся от предшествующего во времени черевичанского. По существу на этом временном уровне в сравнении с предыдущим резко возрастает численность *Spalacinae* — род *Nannospalax*. Преимущественно сохранив свои прежние связи с Центральным Паратетисом, северная часть Восточного Средиземья не утрастила таковые и с Азией. Во всяком случае, сохраняющаяся в указанное время природная обстановка не препятствовала проникновению сюда древних полевковых рода *Polonomys*, широко представленных в древнем плиоцене юга Западной Сибири, Казахстана и Монголии. Среди низших хомякообразных продолжают доминировать *Pseudocricetus*, хотя ассоциация *Cricetini* по сравнению с мэотисом представлена в несколько упрощенном виде. Исходя из всего этого есть основание полагать, что ландшафтно-климатическая обстановка этого времени в полной мере сохранила специфику, свойственную и позднему мэотису.

В последующую фазу нижнего понта — фрунзсовский (таврический) фаунистический комплекс — ландшафтно-климатическая обстановка в этом регионе в корне меняется. В это время в пределах Северного Причерноморья Украины формируется своеобразное аридное сообщество, фон которого составляют полевковые *Ischytomys* и пятитипные тушканчики рода *Paralagtaga*, азиатское происхождение которых несомненно. *Cricetini* теряют свое доминантное положение, хотя численность их остается высокой. Изменяется также видовой состав последних, хотя группа и сохраняет свое автохтонное ядро — *Pseudocricetus*. Отмечается третье массовое вселение сюда *Kowalskia* из смежных районов Западной Европы. Среди последних появляется форма *K. complicidens* с усилившимися адаптациями к зеленоядности. Полностью отсутствуют спленышевые, не выдерживающие условий повышенной сухости. В сообществе почти не представлены лесные формы. Даже *Gliridae* представлены родом *Miomimus*, обитавших в условиях каменистой степи. Древесных летяг сменяют скальные формы *Cryptopterus*. Среди *Lagomysidae* наблюдается второй бурный проход через формы азиатского происхождения — роды *Ochotona* и *Proochoptona*. Если к этому добавить первое появление среди крупных млекопитающих верблюдовых, то едва ли приходится отрицать смену умеренно аридных саванно-степных ландшафтов таковыми сухих степей и полупустынь. В целом это сообщество, характеризуясь фоном, составленным пришельцами из Азии, демонстрирует не только расширение связей в восточном направлении, но и сохранение, а скорее всего даже упрочнение традиционных связей с западными и юго-западными районами Центрального и Западного Средиземья. Указанное сообщество, вероятно, отражает очень короткий этап локального во времени регressiveного цикла, в скором

времени поглощенного последующей морской трансгрессией. Отмеченное усиление континентальных связей как в западном, так и восточном направлениях должно быть сопряжено с максимально низким уровнем стояния морского бассейна. Последнее наряду с резкой аридизацией климата, очевидно, и должно отражать в Северном Причерноморье Украины один из возможных уровней такого глобального для Средиземья явления, как мессинский кризис. Во всяком случае, ни в мэотии, ни в последующих фазах понта, ни в древнейшем киммерии подобные зоны повышенной сухости пока не зафиксированы.

Во второй половине древнего понта опять в значительной степени ослабевают связи северной части Восточной Паратетиды с Азией и вновь усиливается обмен с фаунистическими сообществами в зоне Центрального Паратетиса. Все это происходит на фоне резко выраженной гумидизации климата. Примером может служить виноградовский фаунистический комплекс. Как показано ранее, на этом временном уровне начинают закладываться лагоморфные по фону сообщества мелких млекопитающих, получившие впоследствии достаточно широкое распространение в пределах этого региона. Однако на обсуждаемом этапе формирования лагомиды, собственно и составляющие лагоморфный фон, представлены только средиземноморским элементом *Prolagus*. Резко увеличивают численность слепышевые. Однако они представлены только древними слепышевыми *Prospalacinae*, т.е. группой, сформировавшейся, вероятно, в зоне Центрального Паратетиса. Возрастает численность форм, непосредственно связанных с лесной растительностью, — *Pteromyidae*, *Gliidae*. Низшие хомякообразные образуют очень обедненную ассоциацию, представленную только *Kowalskia*, близкими к *K. polonica* и *K. magna*.

Отмеченная выше природная обстановка в полной мере сохраняется и в регressiveвой фазе верхнего понта, что нашло свое воплощение в кучурганском фаунистическом комплексе млекопитающих. Следует подчеркнуть, что с этого времени в северной части Восточного Средиземья происходит стабилизация суши, не нарушающая либо слабо нарушающая, за исключением Крыма, морскими трансгрессиями во все последующие отрезки времени геологической истории этого региона, включая современность. В силу этих причин в отличие от предыдущего виноградовского кучурганский фаунистический комплекс опять демонстрирует расширение связей с азиатскими микротериофуналами. Во всяком случае, усиление лагоморфного фона здесь происходит за счет лагомид рода *Ochotona* при полном вымирании средиземноморского элемента *Prolagus*. Имеет место также некоторое обогащение ассоциации *Cricetini*. Наряду с *Kowalskia*, близкими к *K. magna*, *K. polonica* и очень крупной слабо изученной *Kowalskia* sp., здесь появляются первые проблематичные *Cricetus* из группы *angustidens* — *barrierei*, а главное — первые представители мелких хомячков — *Odessamys*,

получивших впоследствии широкое распространение в составе киммерийских микротериофунал этого региона. По всей вероятности, эта группа проникает в северную часть Восточного Средиземья по восточным каналам. Как и в составе виноградовского фаунистического комплекса, среди грызунов по-прежнему доминирует *Polomys*.

Киммерий (поздний русцинский, 15-я биозона Мейна). Фиксируется в Северном Причерноморье Украины по сообществам млекопитающих молдавского фаунистического комплекса, являясь по *Microtinae* зоной высокой численности и повсеместного распространения *Promimotus*. В пределах изучаемого региона пока не известны отложения, которые могли бы прямо сопоставляться со средним и верхним понтом. Возможно, этот пробел частично заполнится при дальнейшем изучении местонахождений антизовско-чугуновской группы на Среднем Дону. Однако при современном состоянии их изученности они принципиально мало чем отличаются от кучурганских. Вместе с тем, микротериофуны древнейшего киммерия, по крайней мере по составу лагоморфного фона, демонстрируют четко выраженную преемственность по отношению к более древней, верхнепонтической кучурганской, что уже само по себе ставит под сомнение длительность перерыва между ними. К сожалению, континентальный киммерий Причерноморья и Приазовья Украины не имеет точек прямой корреляции со своими морскими аналогами. Исходя из этого не исключено, что древнейшие, лагоморфные по фону сообщества зоны *Promimotus* могут оказаться здесь позднепонтическими. Но этот отрезок геологической истории Северного Причерноморья Украины в сравнении с предыдущим, очевидно, характеризуется дальнейшим расширением связей с териофуналами Средней и Центральной Азии и тенденцией к дальнейшей аридизации климата, достигшей максимума в конечной фазе развития молдавского фаунистического комплекса. Во всяком случае, во второй половине киммерия здесь фиксируется второй проходрез *Camelidae*. Существенные изменения претерпевает и ассоциация низших хомякообразных — представителей рода *Kowalskia* сменяют мелкие хомячки рода *Odessamys*, родственные, по-видимому, серым хомячкам *Cricetulus*. В завершающие фазы киммерия хомячки этой группы по численности доминируют среди грызунов, превосходя даже полевковых. Близость к хомячкам рода *Cricetulus* позволяет рассматривать их как типично степной элемент, что уже само по себе свидетельствует о значительном сокращении лесной растительности, а к концу киммерия — появление обширных участков аридных степей и даже полупустынь. По происхождению эта группа имеет азиатские корни. Вероятно, по каналам восточных связей сюда проникают и *Cricetinus*, остатки которых найдены в отложениях конечной фазы развития молдавского фаунистического комплекса. В западном направлении эта группа не фиксируется далее зоны Паннонского бассейна (Венгрия). Вероятнее всего,

киммерий северной части Восточного Средиземья представляет собой как раз тот отрезок времени, когда в формировании сообществ млекопитающих юга Восточной Европы стабильно начинают доминировать восточные, а не средиземноморские связи.

Акчагыло-куяльник (вилланий, 17-я биозона Мейна), эоплейстоцен (древний бихарий). Начиная с позднего киммерия, вплоть до позднего эоплейстоцена в Причерноморье и Приазовье Украины складывается аридная зона открытых пространств. На начальном этапе (акчагыло-куяльницкое время) и в древнем эоплейстоцене господствующим ландшафтом были сравнительно теплые аридные степи, сменявшиеся в позднем эоплейстоцене умеренно холодными. Указанный отрезок времени, фиксируемый ханровским и таманским фаунистическими комплексами, представляет собой зону интенсивного развития виллангино-мимомисных, а в эоплейстоцене – лагуродонтно-аллофайомисных сообществ мелких млекопитающих [37]. В условиях умеренно холодных аридных степей позднего эоплейстоцена в элементы фона включаются и наземные беличьи. В составе перечисленных выше сухостепенных сообществ *Cricetini*, вплоть до поздних фаз эоплейстоцена, оказываются представленными различными видами рода *Allocricetus*, появляющимися в Восточной Европе ранее, чем в Западной. Во всяком случае, уже в среднеханровское время здесь совместно существуют крупная и мелкая формы, соответственно составляющие филумы *A. ehiki* и *A. bursae*. Не исключено также, что указанная территория являлась также зоной трансформации видов этого рода. Поэтому эта территория может войти в центр эволюции рода как его существенная часть. Это тем более правдоподобно, поскольку в отдельные отрезки развития среднеханровских микротериофаун численность хомяков этой группы, по крайней мере мелкой формы, приближалась к величинам фона (куяльницкая виллангино-крицетидная ассоциация). Лишь однократно – в тарханкутской лагуродонто-аллофайомисно-цителлоидной ассоциации позднего эоплейстоцена Крыма фиксируются единичные находки *Cricetusulus*. Впоследствии в конечной фазе эоплейстоцена в условиях частичной гумидизации климата хомячки этой группы вновь уступают место мелким *Allocricetus*, близким к *A. bursae*. В преддверии конечной фазы эоплейстоцена отмечено появление первых достоверных представителей рода *Cricetus* (тарханкутская ассоциация), которые уже в последующей ногайской пролагурусно-мимомисно-цителлоидной ассоциации вытесняют крупных *Allocricetus* из группы *A. ehiki*. На этом уровне *Cricetus* представлены сравнительно мелкой формой, описанной как *C. pannus*, и только начиная с завершающей фазы эоплейстоцена, на уровне *C. praeglacialis*, становятся обыденными компонентами в составе умеренно аридных степных микротериофаун Северного Причерноморья и Приазовья. Таким образом, род *Allocricetus*, по всей вероятности, объединяет достаточно сухолюбивые виды *Cric-*

*tini*, причем наиболее крупные его формы оказались более чувствительными не только к гумидизации, но и к похолоданию. Во всяком случае, только в преддверии последнего и происходит смена крупных *Allocricetus* представителями *Cricetus*, в то время как популяции мелких *A. bursae* продолжали сохраняться на изучаемой территории, как и в Западной Европе, вплоть до последующих оледенений.

**Древний плейстоцен** (поздний бихарий). Фиксируется тираспольским фаунистическим комплексом, являясь зоной появления и развития современных родов *Microtus*, *Lagurus*, *Eolagurus*, а впоследствии *Arvicola*. *Cricetini*, как показано ранее, представлены ассоциацией *C. praeglacialis* – *A. cf. bursae*. Не изменяясь, ассоциация проходит через все циклы похолоданий и потеплений, аридизации и гумидизации, которые фиксируются по полевковым. Вероятно, отражает специфику природной обстановки юга Восточной Европы по сравнению с таковой Центральной Европой, где наряду с *A. bursae* в это время существовал викарный вид *C. major*. Не исключено, что именно последний окажется предком позднеплейстоценовых и recentных *C. cicutus*. Во всяком случае, польские позднеплейстоценовые популяции, отнесенные к современному виду, имеют более выраженную гофрированность эмали жевательной поверхности постоянных коренных, которая практически гладкая у *C. praeglacialis*.

## СПИСОК ЛИТЕРАТУРЫ

---

1. Агаджанян А.К., Ербаева М.А. Позднекайнозойские грызуны и зайцеобразные территории СССР. – М. : Наука, 1983. – 8 с.
2. Алексеев А.К. О новой форме оленей из окрестностей м. Петрововки // Зап. Новорос. о-ва естествоиспытателей. – 1913. – 40. – С. 1–13.
3. Алексеев А.К. Фауна позвоночных д. Ново-Елизаветовка. – Одесса : Техник, 1915. – 453 с.
4. Аргиропуло А.И. К фауне третичных Cricetidae СССР // Докл. АН СССР. – 1938. – 20, № 2/3. – С. 223–226.
5. Воронцов Н.Н. Система хомячков (Cricetinae) мировой фауны и их филогенетические связи // Бюл. Моск. о-ва испытателей природы. Отд. биол. – 1959. – 64, вып. 5. – С. 134–137.
6. Воронцов Н.Н. Виды хомячков Палеарктики (Cricetinae, Rodentia) in statu nascendi // Докл. АН СССР. – 1960. – 132, № 6. – С. 1448–1451.
7. Воронцов Н.Н. О механизме жевательных движений у грызунов и эволюции челюстного аппарата у хомякообразных (Cricetidae) // Тр. Моск. о-ва испытателей природы. Отд. биол. – 1963. – 10. – С. 75–104.
8. Воронцов Н.Н. Эволюция пищеварительной системы грызунов (мышеобразные). – Новосибирск : Наука, 1967. – С. 28–86.
9. Воронцов Н.Н. Историческая зоogeография мышебобразных (Muroidea) грызунов // Проблемы эволюции. – Новосибирск : Наука, 1968 – Т. 1. – С. 119–121.
10. Воронцов Н.Н. Низшие хомякообразные (Cricetidae) мировой фауны // Fauna СССР. Млекопитающие. – Л. : Наука, 1982. – Т. 3, вып. 6. – С. 201–206.
11. Габуния Л.К., Бендукидзе О.Г. Мелкие млекопитающие Беломечетской (Северный Кавказ, Чокрак) и их биостратиграфическое значение // Сообщ. АН ГССР. – 1984. – 113, № 1. – С. 93–95.
12. Громов И.И. Отряд Rodentia – грызуны // Млекопитающие фауны СССР. – Л. : Изд-во АН СССР, 1963. – С. 472–506.
13. Громов И.М., Поляков И.Я. Полевки (Microtinae) // Fauna СССР. Млекопитающие. – Л. : Наука, 1977. – Т. 3, вып. 8. – С. 210–211.
14. Громов И.М., Баранова Г.И. Каталог млекопитающих СССР (плиоцен – современность). – Л. : Наука, 1981. – С. 152–158.
15. Захаргин В.С. Обзор исследований фауны эоплейстоцена Западного Забайкалья // Млекопитающие эоплейстоцена Западного Забайкалья: Тр. Геол. ин-та АН СССР. – М. : Наука, 1966. – С. 31–34.
16. Короткевич Е.Л. Важнейшие местонахождения гиппарионовой фауны на территории УССР // Вестн. зоологии. – 1976. – № 6. – С. 65–72.
17. Короткевич Е.Л. История формирования гиппарионовой фауны Восточной Европы. – Киев : Наук. думка, 1988. – С. 101–124.
18. Короткевич Е.Л., Кушнирук В.Н., Семенов Ю.А., Чепалыга А.Л. Новое местонахождение среднесарматских позвоночных на Украине // Вестн. зоологии. – 1985. – № 3. – С. 81–82.
19. Лунгу А.Н. Гиппарионовая фауна среднего сармата Молдавии (хищные млекопитающие). – Кишинев : Штиинца, 1978. – С. 119–123.
20. Лунгу А.Н. Гиппарионовая фауна среднего сармата Молдавии (насекомоядные, зайцеобразные грызуны). – Кишинев : Штиинца, 1981. – С. 91–106.
21. Лунгу А.Н. Гиппарионовая фауна среднего сармата Молдавии (копытные млекопитающие). – Кишинев : Штиинца, 1984. – С. 120–124.
22. Маркова А.К. Плейстоценовые грызуны Русской равнины. – М. : Наука, 1982. – С. 33–42.
23. Пидопличко И.Г. Хом'ячки виду *Cricetus migratorius* Pallas // Тр. фіз.-мат. від. Укр. АН. – 1928. – 6, вип. 3. – С. 411–462.
24. Пидопличко И.Г. О ледниковом периоде. Биологические и географические особенности европейских представителей четвертичной фауны. – Киев : Изд-во АН УССР, 1951. – Вып. 2. – С. 126–130.
25. Пидопличко И.Г. О ледниковом периоде. История четвертичной фауны европейской части СССР. – Киев : Изд-во АН УССР, 1954. – Вып. 3. – С. 86–98.
26. Присяжнюк В.А., Шевченко А.И. Точка прямой корреляции морских континентальных нижнепонтических образований // Докл. АН УССР. Сер. Б. – 1987. – № 6. – С. 23–25.
27. Савинов П.Ф. Миоценовые полевки (Rodentia, Microtinae) из Северного Казахстана // Fauna позвоночных и флора мезозоя и кайнозоя северо-востока и юга Казахстана: Материалы по истории фауны и флоры Казахстана. – Алма-Ата : Наука, 1982. – Т. 8. – С. 50–64.
28. Соколов В.Е. Систематика млекопитающих (Отряды: зайцеобразных, грызунов) // Учеб. пособие для ун-тов. – М. : Высш. шк., 1977. – С. 212–213.
29. Топачевский В.А. Насекомоядные и грызуны ногайской позднеплиоценовой фауны. – Киев : Наук. думка, 1965. – С. 91–96.
30. Топачевский В.О. Давні полівкові (Rodentia, Microtidae) пізнього міоцену Східної Європи // Доп. АН УРСР. Сер. біол. – 1971. – № 1. – С. 81–83.
31. Топачевский В.А. Грызуны таманского фаунистического комплекса Крыма. – Киев : Наук. думка, 1973. – С. 94–116.
32. Топачевский В.А., Скорик А.Ф. Грызуны раннетаманской фауны тилигульского разреза. – Киев : Наук. думка, 1977. – С. 79–87.
33. Топачевский В.А., Скорик А.Ф., Рековец Л.И. Древнейшие полевки трибы Microtini (Rodentia, Microtidae) юга УССР // Вестн. зоологии. – 1978. – № 2. – С. 35–41.
34. Топачевский В.А., Скорик А.Ф. Систематический обзор позднемиоценовых и раннеантропогеновых грызунов (Mammalia, Rodentia) Северного Причерноморья // Там же. – 1979. – № 6. – С. 11–17.
35. Топачевский В.А., Скорик А.Ф. Первая находка ископаемых остатков косматых хомяков – Lophiomyinae (Rodentia, Cricetidae) // Там же. – 1984. – № 2. – С. 57–60.
36. Топачевский В.А., Скорик А.Ф., Рековец Л.И. Древнейшие тушканчиковые подсемейства Lophocricetinae (Rodentia, Dipodidae) юго-запада европейской части СССР // Там же. – 1984. – № 4. – С. 32–39.
37. Топачевский В.А., Скорик А.Ф., Рековец Л.И. Грызуны верхненеогеновых и раннеантропогеновых отложений Хаджибейского лимана. – Киев : Наук. думка, 1987. – С. 82–90.
38. Топачевский В.А., Скорик А.Ф. Новые полевкозубые Cricetodontinae (Rodentia, Cricetidae) из валлезия Евразии и некоторые вопросы надродовой систематики подсемейства // Вестн. зоологии. – 1988. – № 5. – С. 37–45.
39. Топачевский В.А., Чепалыга А.Л., Несин В.А. и др. Микротериофауна (Insectivora, Lagomorpha, Rodentia) пектостратотипа понта // Докл. АН УССР. Сер. Б. – 1988. – № 4. – С. 73–76.
40. Топачевский В.А., Несин В.А., Рековец Л.И. и др. Новое местонахождение остатков мелких млекопитающих (Mammalia) плиоцена северного Приазовья // Там же. – 1988. – № 11. – С. 19–22.
41. Топачевский В.А., Несин В.А. Грызуны молдавского и хапровского фаунистических комплексов // Там же. – 1988. – № 12. – С. 19–22.

- тических комплексов котловинского разреза. — Киев : Наук. думка, 1989. — С. 12–20.
42. Флеров К.К. О перестройке териофауны Северного полушария в плейстоцене // Докл. АН СССР. — 1979. — 246, № 4. — С. 971–973.
  43. Шевченко А.И. Опорные комплексы мелких млекопитающих плиоценена и нижнего антропогена юго-западной части Русской равнины // Стратиграфическое значение антропогеновой фауны мелких млекопитающих. — М., 1965. — С. 7–59.
  44. Agusti J. Roedores miomorfos del neogeno de Cataluna (Tesis para la obtencion del grado de Doctor en C.Biologicas por. universidad de Barcelona). — Barcelona, 1981. — P. 90–141.
  45. Antunes M. et Mein P. Le Gisement de freiria de rio major Portugal. Et sa faune de mammiferes nouvelle espace de Rotundomys. Consequences stratigraphiques // Geobios. — 1979. — N 12, fasc. 6. — P. 913–918.
  46. Bachmayer F., Wilson R. Die fauna der altpliozänen Höhlen – und Spaltenfüllungen bei Konfödensch, Burgenland (Österreich). Small mammals (Insectivora, Chiroptera, Lagomorpha, Rodentia) from the Kohfidisch fissures of Burgenland Austria // Ann. Naturhist. Mus. Wien. — 1970. — 74. — S. 533–587.
  47. Bruijn H. Vallesian and Turolian Rodents from Biotia Attica and Rhodes (Greece) I // Kon. Nederl. Acad. van Wetenschappen. Proc. Ser. B. — 1976. — 79, N 5. — P. 361–384.
  48. Bruijn H., Mein P., Montenat C., Weerd A. Correlations entre les gisements de rongeurs et les formations marines du miocene terminal D'Espagne méridionale. Part I–II // Ibid. — 1975. — 78, N 4. — P. 282–313.
  49. Chaline J. Les Rongeurs du Pleistocene moyen et supérieur de France. (Systématique – Biostratigraphie – Paléoclimatologie) // Cahiers de paleontologie. — Paris, 1972. — P. 66–82.
  50. Chaline J. Les Rongeurs de L'aven I des Abîmes de la Fage a Noailles (Corrèze) // Nouv. Arch. Mus. Hist. nat. Lyon. — 1972. — Fasc. 10. — P. 67–70.
  51. Daams R. and Freudenthal M. Early Miocene Cricetidae (Rodentia, Mammalia) from Bunol (Prov. Valencia, Spain) // Scr. Geol. — 1974. — 24. — S. 1–19.
  52. Daxner-Höck G. Die Wirbeltier fauna aus dem Alt-Pliozän (O-Ponnon) vom Eichkogel bei Mödling (N. Ö.) III. Rodentia // Ann. Natur. histor. Mus. Wien. — 1970. — 74. — P. 597–605.
  53. Daxner-Höck G. Cricetidae aus dem Alt-Pliozän vom Eichkogel bei Mödling (Niederösterreich) und von Vösendorf bei Wien // Paläontol. Z. — 1972. — 46, N 3/4, pl. 21–22, fig. 3. — P. 133–150.
  54. Ellerman J.R. The families and genera of living rodents, London // Brit. Mus. (Natur. Hist.). — 1940. — 1. — 689 p.
  55. Fahlbusch V. Die Cricetiden (Mamm.) der Oberen Süßwasser-molasse Bayerns // Abh. Bayer. Akad. Wiss. Math.-Naturw. Kl., N.F.München. — 1964. — 118. — P. 10–11.
  56. Fahlbusch V. Pliocène und pleistozäne Cricetinae (Rodentia, Mammalia) aus Polen // Acta zool. crac. — 1969. — 14, N 5, pl. 8–18, fig. 4. — P. 99–137.
  57. Fahlbusch V. Cricetus major Woldrich (Mammalia, Rodentia) aus der mittel pleistozänen Spaltenfüllung Petersbuch I // Mitt. Bayer. Staatssamml. Paläontol. hist. Geol. — München, 1976. — 16. — S. 71–81.
  58. Fahlbusch V. und Mayer H. Microtoide Cricetiden (Mammalia, Rodentia) der Oberen Süßwasser – molasse Bayerns // Paläontol. Z. — 1975. — 19, N 1/2. — S. 79–90.
  59. Feifar O. Die Plio-Pleistozänen wirbeltierfaunen von Hajnacka und Ivanovca (Slowakei, CSSR) VI. Cricetidae (Rodentia, Mammalia) // Mitt. Bayer. Staatssamml. Paläontol. hist. Geol. München. — 1970. — 10. — S. 277–296.
  60. Feifar O., Heinrich D. Zur Bedeutung der Wirbeltiersfundstätten von Ivanovca und Hajnacka für die Säugeterpalaontologie im Pliozän und frühen Pleistozän in Europa: Kenntnisstand und Probleme // Vestn. Ustredniho ustanov geologickeho. — 1985. — 60, N 4. — S. 213–224.
  61. Freudenthal M. Entwicklungsfugen der Miozänen Cricetodontinae (Mammalia, Rodentia) Mittelspaniens und ihre stratigraphische Bedeutung // Beaufortia. — 1963. — 10, N 119. — S. 51–157.
  62. Freudenthal M. On the Mammalian fauna of the Hipparium-beds in the Calataynd-Teruel Basin (Prov. Zaragoza, Spain). Part III. Democricetodon and Rotundomys (Rodentia) // Proc. Kon. ned. akad. wetensch. B. — 1967. — 70. — P. 298–315.
  63. Freudenthal M. A new Ruscinomys (Mammalia, Rodentia) from the late Tertiary (Pikermian) of Samos, Greece // Amer. Mus. Novit. — New York, 1970. — N 2402. — P. 1–10.
  64. Ginsburg L. Etude paleontologique des Vertebres pliocene de Pont-de-Gail (Cantal) // Bull. Soc. géol. France. 7. — 1975. — 7, N 5. — P. 754–755.
  65. Grasse P. Ordre des Rongeurs // Trait. de Zoologie. — 1955. — 17. — P. 1440–1441.
  66. Hartenberger J.-L. Les Cricetidae (Rodentia) de Can Llobateres (Neogene, d'Espagne) // Bull. Soc. géol. France. 7. — 1965. — 7. — P. 488–495.
  67. Heller F. Ein Nachtrag zur Forest-Bed Fauna aus der Sackdillinger Höhle (Oberpfalz) // Zbl. Mineral. Geol. Paläontol. — 1933. — 1, Abt. B. — P. 60–68.
  68. Heller F. Eine oberpliozane wirbeltierfauna aus Rheinhessen // Neuse Jahr. Mineral. Geol. und Paläontol. Abh. Abt. B. — 1936. — 76, H. 1. — S. 99–160.
  69. Heller F. Eine neue altquartäre Wierberltierfauna von Erpfingen (Schwäbische abb.) // Ibid. — 1958. — 107, H. 1. — S. 1–102.
  70. Joung C. On the Insectivora, Chiroptera, Rodentia and Primates other than Sinanthropus from Locality 1 in Choukoutien // Palaentol. Sinica. Ser. C. — 1934. — 8, fasc. 3. — P. 1–124.
  71. Kretzoi M. Die unterpleistozäne Säugetierfauna von Betsia bei Nagyvarad // Földt. Közl. — 1941. — 71(7–12), 7 Abb. — S. 308–335.
  72. Kretzoi M. Csakvari Hipparium-fauna // Ibid. — 1951. — 81.
  73. Kretzoi M. Die altpleistozäne Wirbeltierfaunen des Villanyer Gebirges // Geol. Rung. Ser. palaeontol. — 1956. — Fasc. 27. — S. 1–264.
  74. Kretzoi M. Pannonicola brevidens n.g., n.sp., einechter Arvicolid aus dem ungarischen Interpliozän // Vertebrata Hungarica. — 1966. — 7(1–2). — S. 131–139.
  75. Kurten B. Chronology and Faunal Evolution of the Earlier European Glaciations // Comment. biol. Soc. sci. fenn. — 1960. — 21(5). — P. 1–62.
  76. Kurten B. Pleistocene mammals of Europe. — London: Weidenfeld and Nicolson, 1968. — 8. — 317 p.
  77. Lavocat R. Le gisement de vertebres miocene de Beni Mellal (Maroc) // Notes et mem. Serv. géol. Maroc. — 1961. — N 155. — P. 39–44.
  78. Mayr H., Fahlbusch V. Eine unterpliozäne Kleinsäuger fauna aus der Oberen Süßwasser-Molasse Bayerns // Mitt. Bayer. Staatssamml. Paläontol. hist. Geol. München. — 1975. — 15. — C. 61–63.
  79. Mein P. Rotundomys, nouveau genre de Cricetidae (Mammalia, Rodentia) de la faune Neogene de Montredon (Hérault) // Bull. Soc. géol. France. 7. — 1965. — 7. — P. 421–425.
  80. Mein P. Une forme de transition entre deux familles de Rongeurs // Coll. intern. C.N.R.S. Paris. — 1975. — N 218. — P. 759–763.
  81. Mein P., Freudenthal M. Une nouvelle classification des Cricetidae (Mammalia, Rodentia) du Tertiaire de l'Europe // Scr. Geol. Leiden. — 1971. — 2. — S. 1–37.
  82. Newton E. Hamster remains from the Norfolk Forest Bed // Geol. Mag. London. — 1909. — 6. — P. 110–117.
  83. Pei W.C. On the mammalian remains from locality 3 et Chaunoutien // Palaeontol. Sinica. Ser. C. — 1936. — 7. — P. 1–108.

84. Pradel A. Fossil hamster (Cricetina, Rodentia) from the Pliocene and Quaternary of Poland // Acta zool. crac. – 1988. – 31, N 6. – P. 235–296.
85. Schaub S. Die Hamsterartigen Nagetiere des Tertiars // Abh. Schweiz. Paleont. Ges. – 1925. – 45. – P. 1–110.
86. Schaub S. Quartäre und jungtertiäre Hamster // Ibid. – 1930. – 49, N 6. – P. 1–49.
87. Schaub S. Cricetus simionescui Schaub // Bull. de la Sect. Stient. Academ. Roumaine. – 1931. – 14, N 10. – P. 243–244.
88. Schaub S. Über einige fossile Simplicidentaten aus China und der Mongolei // Abh. Schweiz. Paläontol. Ges. – 1934. – 54. – P. 1–40.
89. Stehlin H.G., Schaub S. Die Trigonodontie der simplicidentaten Nayer // Abh. Schweiz. Paläontol., Basel. – 1950. – 67. – 2 p.
90. Steininger F., Rögl F. Stratigraphic correlation of the Tethys–Paratethys Neogene // Projet 25. Geological Correlation, JGCP spec. Issue., UNESCO, Paris. – 1983. – P. 65–66.
91. Teilhard C.P., Pei W.C. The fossil mammals from locality 13 of Choukoutien // Palaeontol. Sinica. New Ser. C. – 1941. – N 11. – P. 49–52.
92. Winge H. Pattedyr–Slaegter. Copenhagen, H.Hagerups Ferlag, Rodentia, Carnivora, Primates. – 1924. – 2. – 321 p.
93. Wolrich J. Über die diluviale Fauna von Zurlawitz // Sitzungsber. Math.–Naturwiss. Kl. Kais. Akad. Wiss., Wien. – 1980. – 82. – P. 1–60.
94. Young C. On the Insectivora, Chirontera, Rodentia and Primate other than Sinanthropus from Locality 1 in Choukoutien // Palaeontol. Sinica. Ser. C. – 1934. – 8, fasc. 3. – P. 1–124.
95. Zdansky O. Die Säugetiere der Quartärfauna von Chounontien // Ibid. – 1928. – 5, fasc. 4. – 28 p.

## ОГЛАВЛЕНИЕ

---

ПРЕДИСЛОВИЕ . . . . .	3
ПЕРЕЧЕНЬ ГЛАВНЫХ МЕСТОНАХОЖДЕНИЙ ОСТАТКОВ НИЗШИХ ХОМЯКОБРАЗНЫХ (CRICETODONTINAE, CRICETINAE, LOPHIOMYIDAE) ПОЗДНЕГО МИОЦЕНА – ДРЕВНЕГО ПЛЕЙСТОЦЕНА ЮГА ВОСТОЧНОЙ ЕВРОПЫ . . . . .	6
СИСТЕМАТИЧЕСКАЯ ЧАСТЬ . . . . .	12
ОТРЯД RODENTIA BOWDICH, 1821 . . . . .	12
СЕМЕЙСТВО CRICETIDAE ROCHEBRUNE, 1883 . . . . .	12
Подсемейство Cricetodontinae Stehlin et Schaub, 1951 . . . . .	12
Триба Cricetodontini Simpson, 1945 . . . . .	12
Под Byzantinia Bruijn, 1976 . . . . .	12
Триба Megacricetodontini . . . . .	15
Под Democricetodon Fahlsbusch, 1964 . . . . .	15
Под Cricetulodon Hartenberger, 1965 . . . . .	16
Триба Microtocrinini Topachevski et Scorik, 1988 . . . . .	33
Под Microtocrinetus Fahlsbusch et Mayr, 1975 . . . . .	36
Под Sarmatomys Topachevski et Scorik, 1988 . . . . .	37
Подсемейство Cricetinae Murray, 1866 . . . . .	39
Под Kowalskia Fahlsbusch, 1969 . . . . .	39
Под Pseudocricetus Topachevski et Scorik, gen. nov. . . . .	71
Под Stylocricetus Topachevski et Scorik, gen. nov. . . . .	110
Под Odessamys Topachevski et Scorik, gen. nov. . . . .	121
Под Allocricetus Schaub, 1930 . . . . .	148
Под Cricetinus Zdansky, 1928 . . . . .	177
Под Cricetus Leske, 1779 . . . . .	184
СЕМЕЙСТВО LOPHIOMYIDAE THOMAS, 1897 . . . . .	205
Под Microlophiomys Topachevski et Scorik, 1984 . . . . .	205

СООБЩЕСТВА НИЗШИХ ХОМЯКООБРАЗНЫХ (CRICETODONTINAE, CRICETINAE, LOPHIOMYIDAE) НЕОГЕНА И ПЛЕЙСТОЦЕНА ВОСТОЧНОЙ ЕВРОПЫ, ИХ БИОСТРАТИГРАФИЧЕСКОЕ ЗНАЧЕНИЕ ..... 208

НЕКОТОРЫЕ ПАЛЕОЗООГЕОГРАФИЧЕСКИЕ, ПАЛЕОКЛИМАТИЧЕСКИЕ И ПАЛЕОЛАНДШАФТНЫЕ АСПЕКТЫ РАЗВИТИЯ И СМЕНЫ ВО ВРЕМЕНИ СООБЩЕСТВ НИЗШИХ ХОМЯКООБРАЗНЫХ НЕОГЕНА, ЭОПЛЕЙСТОЦЕНА И ДРЕВНЕГО ПЛЕЙСТОЦЕНА ВОСТОЧНОЙ ПАРАТЕТИДЫ ..... 226

СПИСОК ЛИТЕРАТУРЫ ..... 236

Наукове видання

АКАДЕМІЯ НАУК УКРАЇНИ

Інститут зоології ім. І. І. Шмальгаузена

ТОПАЧЕВСЬКИЙ Вадим Олександрович

СКОРИК Олександра Федорівна

НЕОГЕНОВІ І ПЛЕЙСТОЦЕНОВІ  
НИЖЧІ ХОМ'ЯКОПОДІБНІ  
ПІВДНЯ СХІДНОЇ ЄВРОПИ

Київ, видавництво "Наукова думка"

Російською мовою

Обкладинка художника М. Е. Кропивницької

---

Здано до набору 15.01.92. Підп. до друку 24.04.92. Формат 60x84/16. Папір офс. № 1. Гарн. Прес Роман. Друк. офс. Ум. друк. арк. 14,18. Ум. фарбо-вілб. 14,41. Обл.-вид. арк. 16,50. Тираж 250 прим. Зам. 2-397.

Оригінал-макет підготовлено у видавництві "Наукова думка". 252601, Київ 4, вул. Рєпіна, 3.  
Київська книжкова друкарня наукової книги. 252004 Київ 4, вул. Рєпіна, 4.